



LAWRENCE
LIVERMORE
NATIONAL
LABORATORY

LLNL-TR-401633

Neutron capture cross sections of $^{151,153}\text{Eu}$

U. Agvaanluvsan, J. A. Becker, R. A. Macri, W. E. Parker, P. A. Wilk, C. Y. Wu, T. A. Bredeweg, E.-I. Esch, R. C. Haight, J. M. O'Donnell, R. Reifarth, R. S. Rundberg, J. M. Schwantes, J. L. Ullmann, D. J. Vieira, J. B. Wilhelmy, J. M. Wouters, G. E. Mitchell, S. A. Sheets, M. Krticka, F. Becvar

February 25, 2008

Disclaimer

This document was prepared as an account of work sponsored by an agency of the United States government. Neither the United States government nor Lawrence Livermore National Security, LLC, nor any of their employees makes any warranty, expressed or implied, or assumes any legal liability or responsibility for the accuracy, completeness, or usefulness of any information, apparatus, product, or process disclosed, or represents that its use would not infringe privately owned rights. Reference herein to any specific commercial product, process, or service by trade name, trademark, manufacturer, or otherwise does not necessarily constitute or imply its endorsement, recommendation, or favoring by the United States government or Lawrence Livermore National Security, LLC. The views and opinions of authors expressed herein do not necessarily state or reflect those of the United States government or Lawrence Livermore National Security, LLC, and shall not be used for advertising or product endorsement purposes.

This work performed under the auspices of the U.S. Department of Energy by Lawrence Livermore National Laboratory under Contract DE-AC52-07NA27344.

Neutron capture cross sections of $^{151,153}\text{Eu}$

U. Agvaanluvsan,[†] J. A. Becker, R. A. Macri, W. E. Parker, P. A. Wilk, and C. Y. Wu

Lawrence Livermore National Laboratory, Livermore, California 94551

T. A. Bredeweg, E.-I. Esch, R. C. Haight, J. M. O'Donnell, R. Reifarth, R. S. Rundberg,
J. M. Schwantes, J. L. Ullmann, D. J. Vieira, J. B. Wilhelmy, and J. M. Wouters

Los Alamos National Laboratory, Los Alamos, New Mexico, 87545

G. E. Mitchell and S. A. Sheets

North Carolina State University, Raleigh, North Carolina 27695 and

Triangle Universities Nuclear Laboratory, Durham, North Carolina 27708

M. Krtička and F. Bečvář

Charles University in Prague, CZ-180 00 Prague 8, Czech Republic

(Dated: February 13, 2008)

[†]Electronic address: agvaanluvsan1@llnl.gov

ABSTRACT. The neutron capture cross section of $^{151,153}\text{Eu}$ nuclei was measured using the Detector for Advanced Neutron Capture Experiments (DANCE) at the Los Alamos Neutron Science Center (LANSCE). Neutrons were produced at the Lujan Neutron Scattering Center and their energies were determined by the time-of-flight technique. The relative yield versus neutron incident energy from 0.1 eV to 2.0 keV for both $^{151}\text{Eu}(n,\gamma)$ and $^{153}\text{Eu}(n,\gamma)$ reactions was derived from events gated on the total energy and multiplicity measured by the DANCE array. The absolute cross section was determined by scaling the relative yield to the measured cross sections of well-known resonances. The shape of the yield curve agrees well with previous measurements in the resonance region for both ^{151}Eu and ^{153}Eu capture cross sections. New data are reported for neutron incident energies between 100 eV and 2.0 keV. The trend of data in the 0.3 keV to 2.0 keV region of neutron incident energy is consistent with the ENDF/B-VI and the measurements of Macklin and Young. Crucial skills, acquired from these measurements in the early implementation of DANCE, are important to plan future experiments, which will yield results up to a few hundred keV neutron incident energy.

I. INTRODUCTION

Accurate measurement of the neutron capture cross section of $^{151,153}\text{Eu}$ is important for applied nuclear physics and for modeling of stellar s- and r-processes in the mass $A \approx 150$ region. These cross sections have been measured in the past, see Refs. [1–6], and the existing data in the 1-100 keV neutron energy region have discrepancies of as much as 30-40%. One of the motivations for this work is to resolve this significant discrepancy.

The current measurement of neutron-capture cross section of $^{151,153}\text{Eu}$ was carried out at LANSCE using the DANCE array and neutrons with incident energy from thermal up to

a few hundred keV. The DANCE array [7, 8] is a 4π γ -ray calorimeter and consists of 160 BaF₂ crystals, which is designed to capture all the decay γ rays for any given reaction in a very high background environment. Previous measurements were made with much thicker targets, which have different multiple-scattering effects, and with C₆D₆ detectors where the background are qualitatively different. It is thus an important aspect of this work to compare results obtained by these different methods.

The measured total γ -ray energy and multiplicity also can be used to characterize the γ -ray strength function in ^{152,154}Eu, which is important to our understanding of statistical properties in nuclei. This will be discussed in a separate report.

II. EXPERIMENTAL DETAILS

The capture cross section was derived from events in the DANCE data stream with attributes unique to the capture reaction in the measured total γ -ray energy and multiplicity. First, events with a γ -ray multiplicity 3 or more were selected to maximize the signal-to-background ratio. After the multiplicity selection, the summed γ -ray energy gate was selected around the reaction Q-value plus neutron incident energy. Background from the scattered neutrons was collected using a blank backing foil, which was then subtracted from the above selected events. The relative yield versus the neutron incident energy was determined from those background-subtracted events. The absolute cross section was obtained by normalizing the relative yield to the measured cross sections of well-known resonances.

Decay γ rays following the neutron capture of ^{151,153}Eu were detected by the DANCE array, which is located at the flight path 14 at the Lujan Neutron Scattering Center at Los Alamos National Laboratory. The targets were made with highly isotopic enriched samples and were electroplated on 2.29 mg/cm² (0.0005 inches) thick Be backings. The ¹⁵¹Eu target, enriched to 96.83%, had a thickness of 0.836±0.040 mg/cm². The ¹⁵³Eu target, enriched to 98.76%, had a thickness of 1.06±0.05 mg/cm². The diameter of the deposits was approximately 2.5 cm. The most significant impurity in the enriched ¹⁵¹Eu isotope was ¹⁵³Eu, and vice-versa for ¹⁵³Eu. A blank Be foil was used for background studies. Since this

experiment was fielded in the early implementation of the DANCE array, a large fraction of beam time was spent for optimization, and the effective data collection time was about a day for each isotope used in the final analysis.

A The DANCE array

The DANCE array consists of 160 BaF₂ crystals forming a sphere with an inner radius of 18 cm. A ⁶LiH shell with an inner radius of 10.5 cm and outer radius of 16.2 cm is placed surrounding the target as a neutron absorber to minimize the background caused by scattered neutrons. The high segmentation and close packing of the detector array enable the γ -ray multiplicity measurements. The DANCE array has an efficiency of about 86% for a single γ ray and an energy resolution about 14%. Details of the DANCE array, its operation, the data acquisition system, and the initial results can be found in numerous references; wnr.lanl.gov/dance/workshop_2004/proceedings.html, [7–12, 15, 16]. The description of the data collection is as follows.

The pulse from BaF₂ scintillation is digitized using the Acqiris Model 265 digitizer at 500 MHz sample rate and stored as a waveform along with a time stamp. Data are collected separately by either continuous or segmented trigger mode. In the continuous mode, the digitization starts at a fixed time relative to the beam burst and continues for approximately 100 μ s, the time duration set by the memory limitation of front-end computers. This is a relatively short “looking time” compared to the 14 ms time duration covered by the segmented mode, where events are triggered by a hardware requirement of at least two BaF₂’s having signals above threshold within the coincidence time window of 100 ns. The disadvantage of segmented mode is that the total deadtime is 3 μ sec (\sim 2 μ sec for digitization and 1 μ sec to re-arm) resulting in a deadtime greater than 50% near 2 keV neutron incident energy. Data correction for the deadtime will be described in the next section. For the current measurement, the data were collected in both modes and are consistent with each other. The final results are mainly derived from the data collected in the segmented mode.

B Neutron source and monitoring

The moderated neutron white source, with an energy range from thermal up to a few hundred keV, was generated using a proton beam of 800 MeV and 100 μA average current at a 20 Hz repetition rate on a W target. The neutron incident energy is determined by time-of-flight. The flight path length is 20.25 m. The neutron flux is measured by three different neutron monitors which are located about 2.4 m downstream from the target. They utilized the ${}^6\text{Li}(\text{n},\text{t})$, ${}^{10}\text{B}(\text{n},\alpha)$, and ${}^{235}\text{U}(\text{n},\text{f})$ reactions, respectively. The flux averages $\approx 3 \times 10^5 \text{ n/s/cm}^2$ per energy decade and can be expressed in terms of a composite formula [17] given by

$$\begin{aligned} F(E_n) = & p_0 E_n^{-p_1} \left\{ 1 - e^{-z} \left(1 + z + \frac{z^2}{2} \right) \right\} \\ & + p_5 E_n^{-p_6} \left\{ 1 - e^{-z} \left(1 + z + \frac{z^2}{2} \right) \right\} \\ & + \frac{2\lambda p_3 E_n e^{-E_n/Kp_4}}{Kp_4 \sqrt{0.0253\pi Kp_4}}, \end{aligned} \quad (1)$$

for $E_n > p_2$ and

$$F(E_n) = \frac{2\lambda p_3 E_n e^{-E_n/Kp_4}}{Kp_4 \sqrt{0.0253\pi Kp_4}}, \quad (2)$$

for $E_n < p_2$ where

$$z = (E_n - p_2)\alpha_3, \quad (3)$$

and $\alpha_3 = 50$, $\lambda = 220000$, $K = 8.62 \times 10^{-5}$. The resulting parameters obtained from the fit to the flux monitor readings are shown in Table I. The neutron flux and analytical formulae given by Eqs. (1,2) are plotted in Fig. 1. The dips in the flux are due to strong resonances in Mn and Al that are part of the beam components.

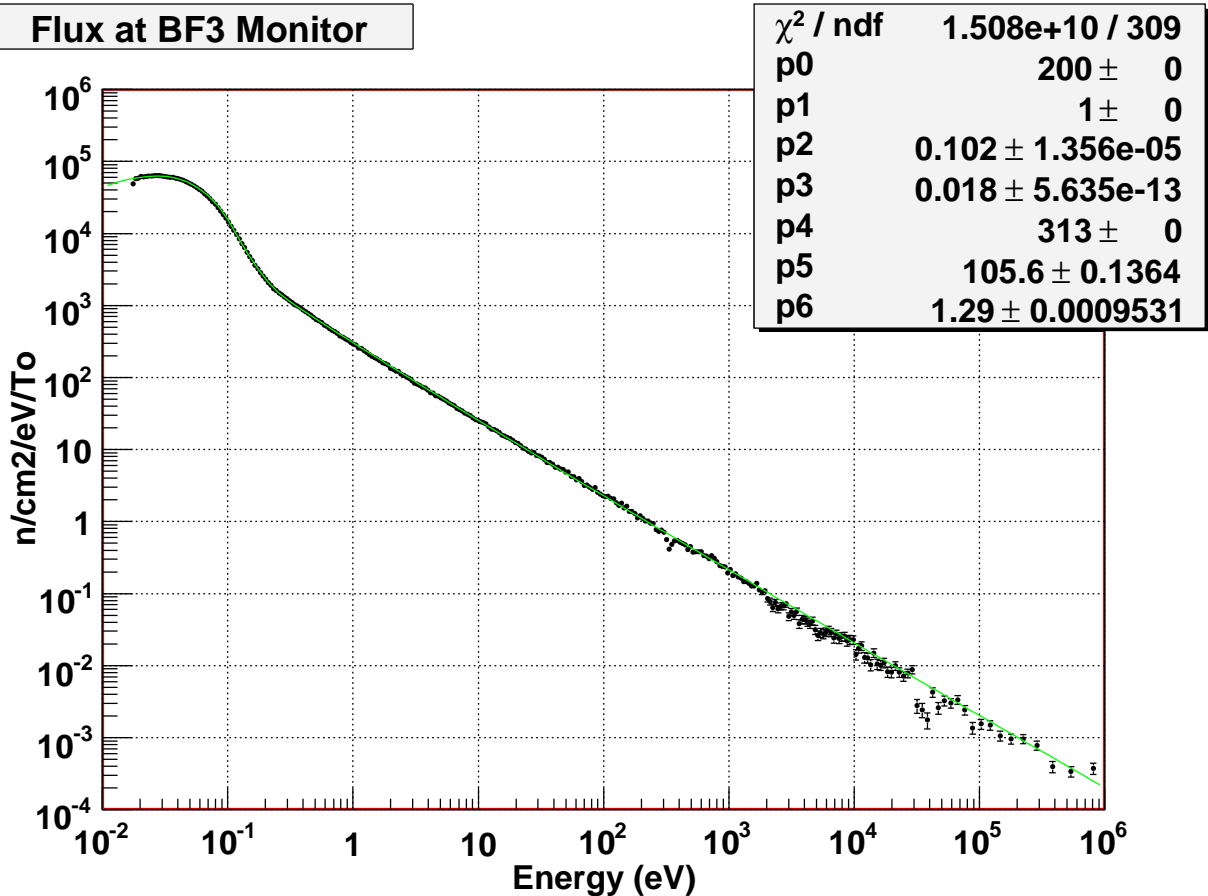


FIG. 1: The measured neutron flux at DANCE using the BF_3 monitor. The solid green line is the fit to data. The description of the fit function is given in text.

III. DATA ANALYSIS

The neutron capture cross section on $^{151,153}\text{Eu}$ was derived from events gated on the total energy and multiplicity measured by the DANCE array. In this section, the necessary procedures to extract these quantities (the total energy and multiplicity) as well as the analysis procedures for the deadtime correction, the background subtraction, *etc* are described.

A The total γ -ray energy and multiplicity

The event time and energy deposit for detected γ rays in each BaF_2 crystal are deduced from the recorded waveform using the sorting program called ANALYZER [12]. The waveform was determined using the Acqiris digitizer. The relative timing between each crystal

TABLE I: Fit parameters for the neutron flux function for 100 μA current.

Parameter	p_0	p_1	p_2	p_3	p_4	p_5	p_6
Value	200	1	0.102	0.018	313	105.6	1.29

and crystal # 0 had a width of about 10 ns FWHM. The centroids of the time distribution of various crystals were offset, and adjusted to 0 offset in software. The total γ -ray multiplicity for a given capture event is defined by the number of the individual DANCE detectors triggered within a coincident time window of 50 ns. The total γ -ray energy is the energy sum of all the coincident γ rays. Adjacent DANCE detectors which triggered within the coincident time window are grouped together and counted as (cluster) multiplicity one.

A single γ ray may deposit its total energy in a several crystals because of Compton scatter and pair production. Adjacent crystals that fire in an event are grouped together as a “cluster”, and this “cluster multiplicity” is a good representation of the true γ ray multiplicity, as shown by Monte-Carlo simulation [13, 14]. Multiplicity in this report refers to the “cluster multiplicity”.

Sum energy spectra without background subtraction for the ^{151}Eu target with a cluster multiplicity of 3 to 6 are shown in Fig. 2 for three neutron incident energy regions. Since the DANCE array is a γ -ray calorimeter, the summed energy should be close to the reaction Q-value, 6.3 MeV for the neutron capture on ^{151}Eu . However, the peak of this summed energy is shifted to below 6 MeV because of the incomplete γ -ray energy collection due to the detector threshold, internal conversion, isomers, and finite solid-angle coverage.

A peak in the sum energy spectrum above 8 MeV is caused by the capture of scattered neutrons by the DANCE detector elements [13], which include $^{135,137}\text{Ba}$ with Q-values 9.1 MeV and 8.6 MeV. This is a major source of background in the neutron-capture cross section measurements using DANCE, in particular, for the neutron incident energy in the keV region where the 8-9 MeV summed energy peak becomes prominent. However, this background can be suppressed with a multiplicity requirement, since capture events originating in the DANCE detector elements deposit most of the γ -ray energy within one cluster and therefore

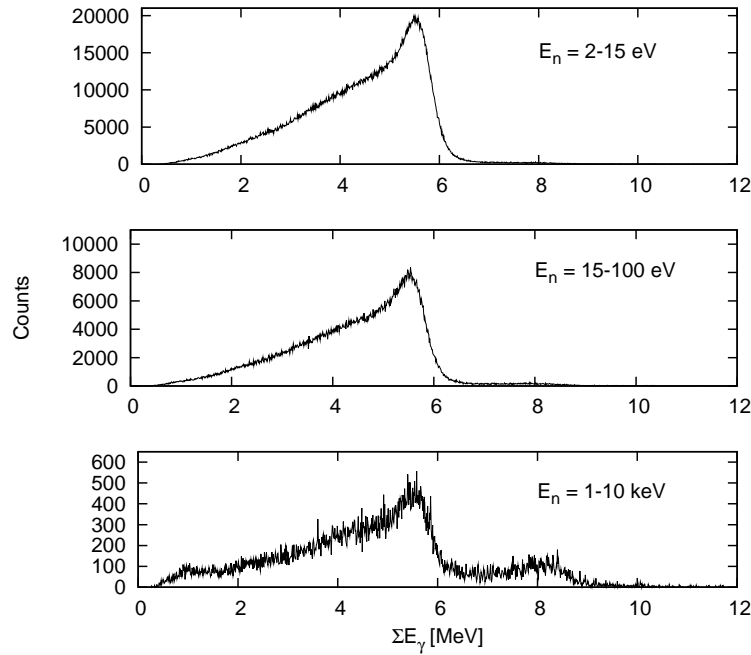


FIG. 2: Sum energy spectra for the neutron capture on ^{151}Eu in three neutron incident energy regions, 2-15 eV, 15-100 eV, and 1-10 keV, are shown in separate panel. These data are for multiplicities 3 through 6.

are characterized by low multiplicity. The more difficult component of the background due to the Ba material is underneath the main Eu total energy peak. The even isotopes of the detector scintillators ^{138}Ba and $^{134,136}\text{Ba}$ have Q-values 4.7 MeV and 6.9 MeV, respectively.

The relative yield versus the neutron incident energy for ^{151}Eu determined by gating on the multiplicity 3 and higher and the summed energy between 5.5 and 6.9 MeV, is shown in Fig. 3. The left panel of this figure is the data with the neutron incident energy between 0.01 and 100 eV. The density of resonances increases dramatically as the neutron incident energy increases. The data with the incident neutron energy up to 4.5 eV are shown in the right panel. There are 10 resonances for the incident energy from 2 to 15 eV and approximately 70 for the incident energy from 15 to 100 eV.

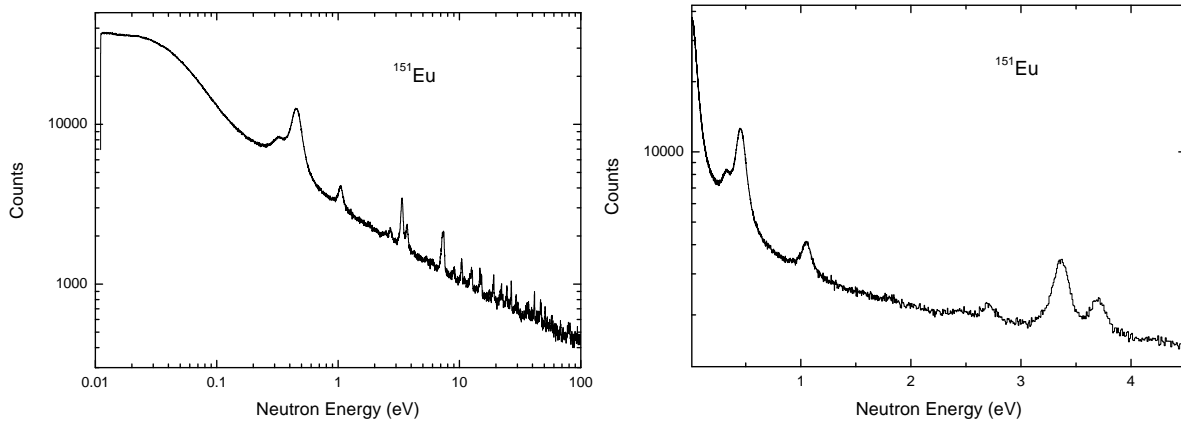


FIG. 3: Relative yield versus the neutron incident energy for ^{151}Eu . The panel on the right enlarges the graph for the incident energy below 4.5 eV

B The deadtime correction

As mentioned earlier, data collection was made with two trigger modes, continuous and segmented. Counting rate losses due to the data acquisition deadtime are not an issue for the continuous mode [9], where the Acqiris digitizer runs freely once the data acquisition is triggered. However, the deadtime is substantial for the data collected in the segmented mode, since an event triggered by external logic introduces a fixed $3\ \mu\text{s}$ deadtime including about $2\ \mu\text{s}$ for event digitization. Correction for deadtime in the segmented mode was performed analytically using the procedure outlined in [18] and details of this formulation are described in Appendix A.

The relative yield with and without the deadtime correction versus the neutron incident energy is shown in the upper panel of Fig. 4. The corresponding correction factor is shown in the lower panel of this figure. Deadtime correction is considered unreliable when the correction factor above $f = 1.8$, which corresponds to a neutron energy of approximately 1.9 keV (indicated by an arrow in the lower panel of Fig. 4.) This cut-off was established to be about 10% less than the value where f begins to oscillate (about $f = 2$ in this experiment).

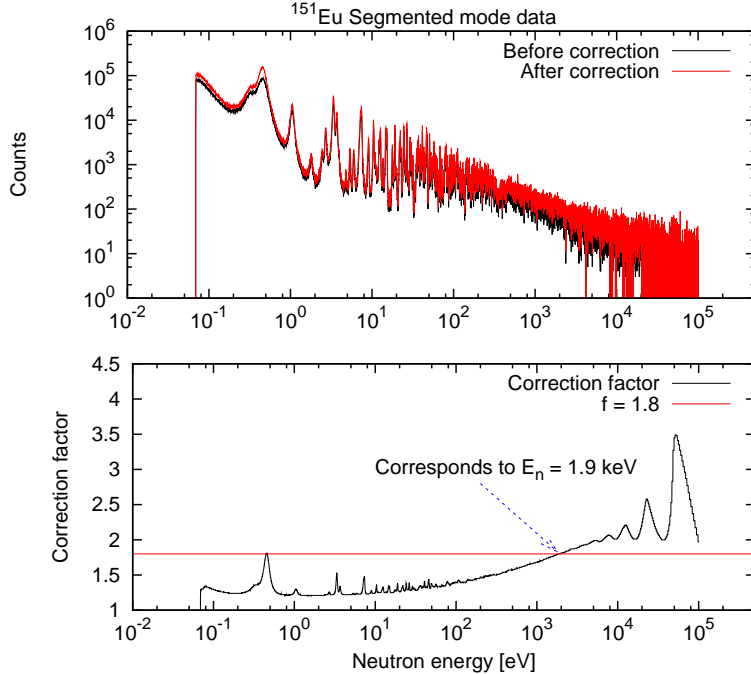


FIG. 4: The deadtime-corrected relative yield for the segmented-mode data for ^{151}Eu . In the upper panel, the raw data prior to the deadtime correction are shown in black and the deadtime-corrected data are shown in red. The corresponding correction factor is shown in the lower panel.

C The background subtraction

Event timing relative to the LANSCE beam pulse is used to determine the incident energy of neutrons from a white source (the time-of-flight technique). The pulse shape difference is used for identification of alpha activity events which result from radium impurity in BaF_2 crystals. Difference in the response of the BaF_2 scintillator to alpha particles and γ -rays is such that one can separate events due to alpha particle in the plot of the fast integral vs. total (fast and slow) integral in Fig. 5. The pentagon shown in solid lines identifies events due to alpha particle and is used to make cuts to exclude those events.

For the neutron-capture event, the calorimetric approach is used for the measurement of total γ -ray energy (also called the summed γ -ray energy) events. The total γ -ray energy

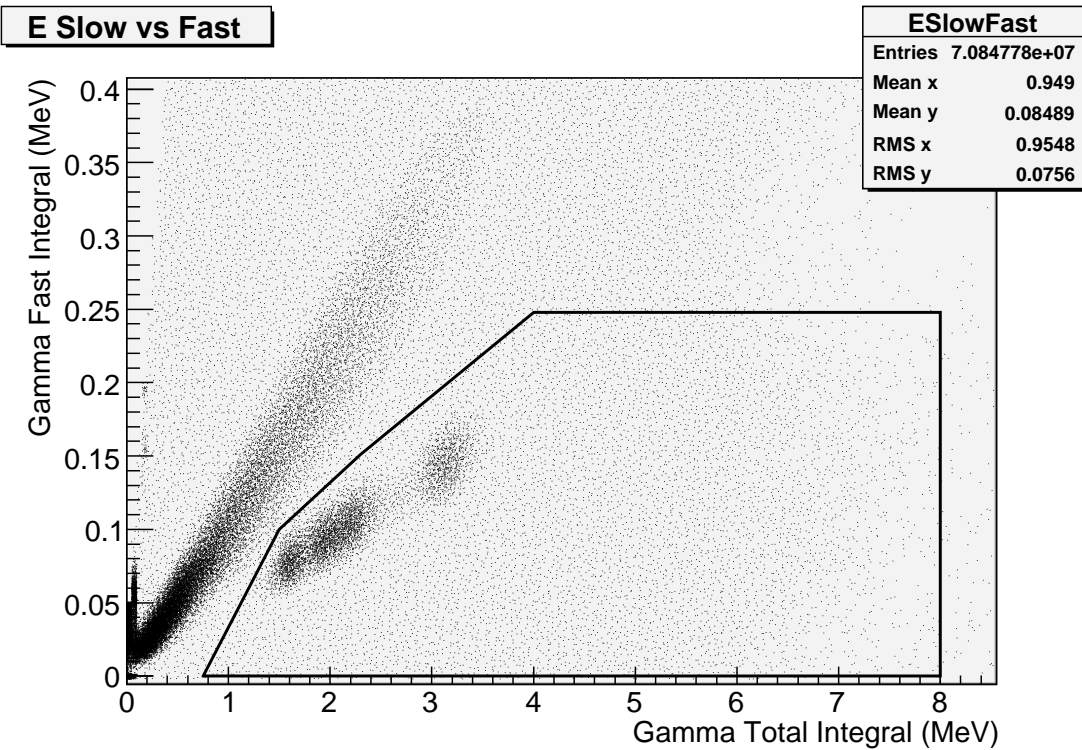


FIG. 5: The fast integral vs. total integral plot provides a clean identification of background due to alpha activity in the BaF₂ scintillators. The events from the alpha particles have dominantly slow components, and therefore easily identified in the plot of the fast integral vs. total integral, as enclosed in the pentagon.

peak should be close to the reaction Q-value plus the neutron incident energy. Background exists under the peak of interest due to the finite energy resolution of the DANCE array. For instance, the tail of the sum energy peak at 8 MeV, shown in the bottom panel of Fig. 2, contributes to the background for the sum energy peak at 5.8 MeV which results from the neutron capture on ¹⁵¹Eu. The sum energy peak at 8 MeV results from the capture of scattered neutrons on the detector elements of the array, ^{135,137}Ba. The origin of scattered neutrons can be the target material itself, the backing material, or the material surrounding the target. This background can be suppressed due to the multiplicity difference between Eu capture events. Also, Ba capture, specially the tail of ^{135,137}Ba capture peak which lies underneath the 5.8 MeV Eu capture peak, can be estimated by the measurement with a blank Be target.

The sum energy spectra obtained by gating on the neutron incident energy in the vicinity of 0.321 eV and 0.460 eV resonances for both the $^{151}\text{Eu} + \text{Be}$ data (the strongest resonance) and the background, generated by a blank Be target, are shown in Fig. 6 as a function of multiplicity gate. The background is dominated by events with $M = 1$, as expected. Thus the multiplicity gate on the data will suppress the background due to the scattered neutrons. This is particularly important for the data in keV region of neutron incident energy.

The estimate of residual background, after the multiplicity selection, was made by matching the intensity of the sum energy peak at 8 MeV between the Eu+Be data (7-9 MeV) and the blank Be data. Since this background is a function of the neutron incident energy, the subtraction procedure was performed for individual neutron energy bins. The raw yield, derived from events with multiplicity 3 and higher, for both the $^{151}\text{Eu} + \text{Be}$ data and the scaled blank Be data, as a function of neutron incident energy are shown in Fig. 7. Evidently, from Fig. 7, the signal-to-background ratio deteriorates as the neutron incident energy increased above the 10 keV region.

The quality of this subtraction is demonstrated in Fig. 8 and Fig. 9, where sum energy spectra for the neutron incident energy of 15-100 eV and 1-10 keV, respectively, before and after background subtraction are shown.

IV. RESULTS AND DISCUSSION

In this section, we address first the characteristics of γ -ray multiplicity, more specifically the cluster multiplicity, for the neutron-capture reaction on $^{151,153}\text{Eu}$, and then the deduced cross section.

A The cluster multiplicity distribution

Study of the γ cascade following the neutron capture is important to our understanding of not only the nuclear statistical properties but also the reaction mechanism itself. We will describe the property of this γ cascade from the point of view of the measured cluster multiplicity. In Fig. 10, three cluster multiplicity distributions are shown with gates on the

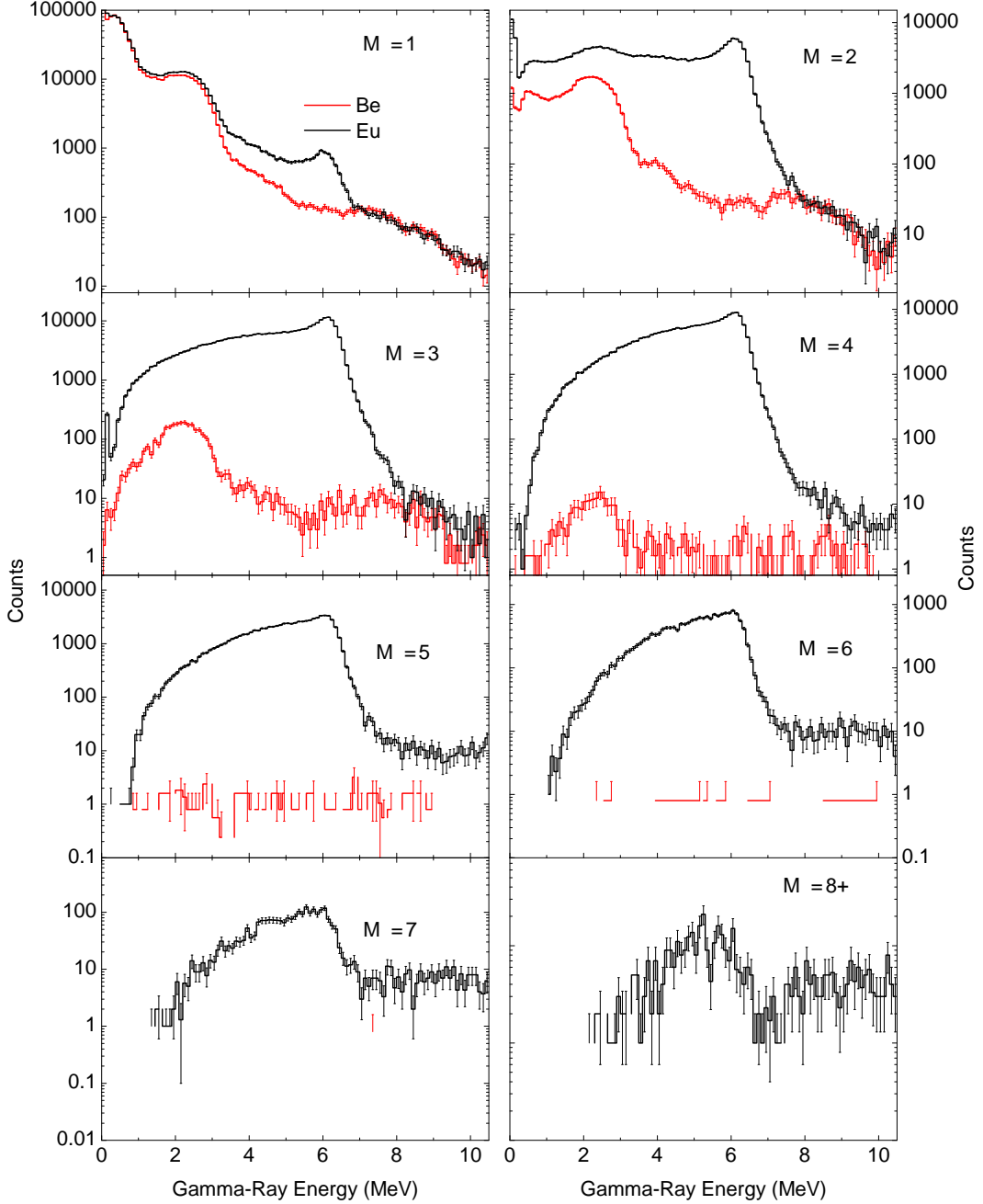


FIG. 6: Sum energy spectra for the ^{151}Eu data, shown in black, together with the background, generated by the Be foil shown in red. The neutron energy window is $0.24 \text{ eV} < E_n < 0.66 \text{ eV}$, around the strong resonances at 0.321 eV and 0.460 eV . The bump at 2 MeV for $M = 1$ and 2 is due to beta decay electrons from ^{214}Bi .

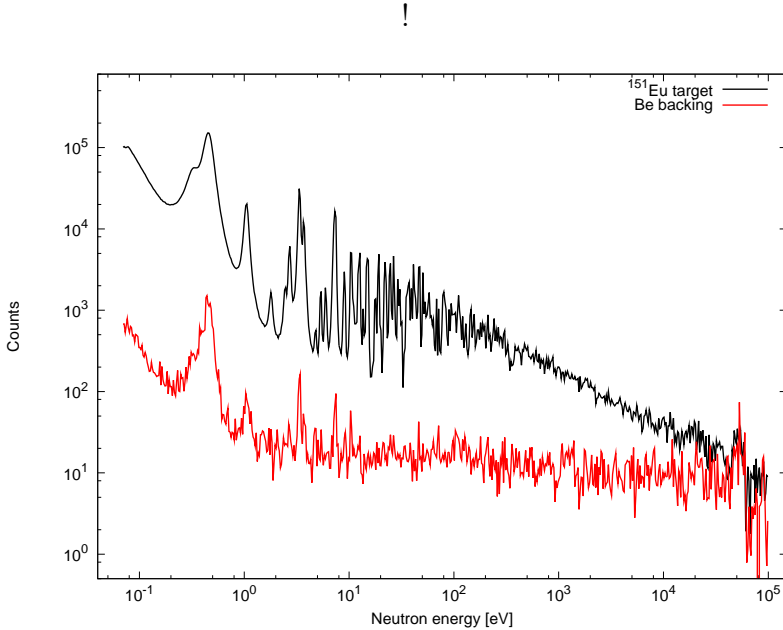


FIG. 7: The raw yield for the ^{151}Eu and the scaled background. A neutron-energy dependent factor, obtained from the ratio of counts Be and $^{151}\text{Eu}+\text{Be}$ in the region around 8 MeV (7-9 MeV), is applied to scale the background spectrum. The peak structure in the background spectrum results from the pile-up and the Eu scattering events, which account for less than 1% of total events.

neutron incident energy 0.25 - 0.63 eV, 0.9 - 1.5 eV, and 200 - 500 eV. The first gate includes the first two s-wave resonances in $^{151}\text{Eu}+\text{n}$ at $E_n = 0.321$ eV and 0.460 eV. The resonance in $^{151}\text{Eu}+\text{n}$ at incident neutron energy 1.055 eV is included within the second gate. The third gate includes a region of multiple unresolved resonances.

One striking feature of Fig. 10 is that the cluster multiplicity remains approximately the same, which is an important property in the determination of cross section. The same feature is also observed for the neutron-capture reaction on ^{153}Eu , shown in Fig. 11, where three cluster multiplicity distributions are displayed with gates on the neutron incident energy 2 - 10 eV, 10 - 20 eV, and 200 - 500 eV.

The cluster multiplicity distribution in two Eu isotopes is approximately independent of the neutron energy, which is most likely due to the interplay between the high level density (near the initial or capture, intermediate, and final levels), and the small spin difference

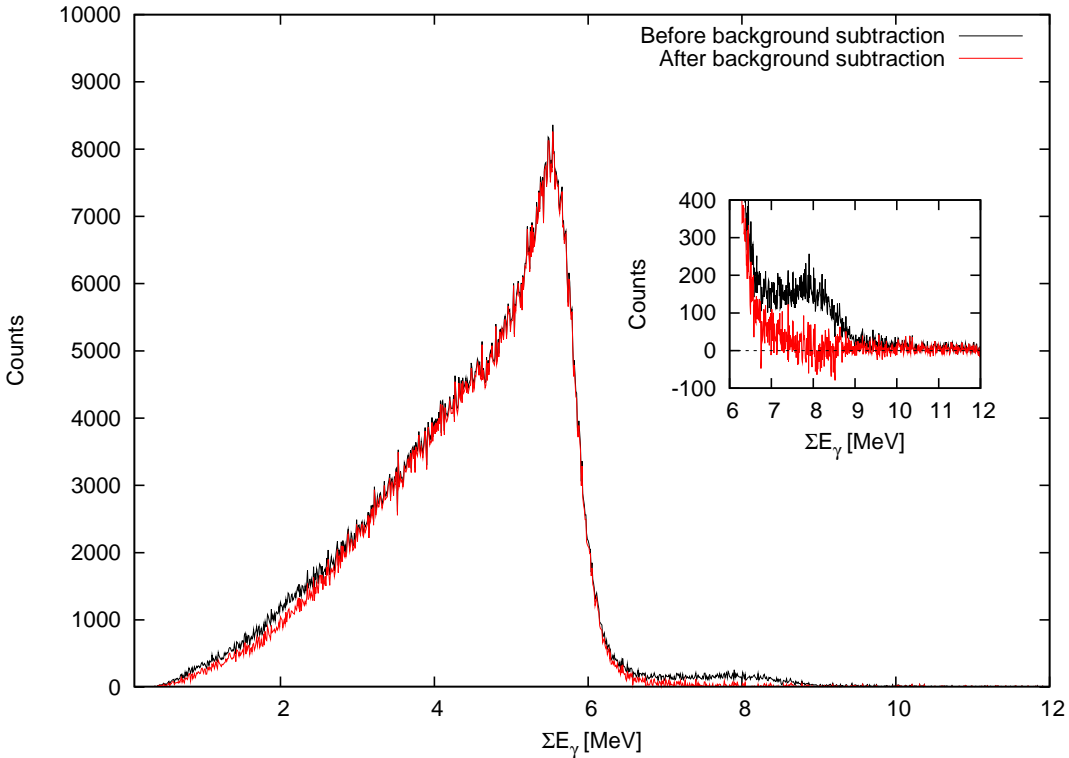


FIG. 8: The sum energy spectrum before and after background subtraction. The neutron energy spans from 15 to 100 eV. The inset shows a close look of the sum energy peak at 8 MeV before and after background subtraction.

between the capture and final states. The observed neutron resonances are essentially all s-wave resonances in these Eu isotopes, which are located near the maximum of the 4s neutron strength function. Since the ground states of both ^{151}Eu and ^{153}Eu have $J^\pi = 5/2^+$, the s-wave resonances have $J^\pi = 2^+$ or 3^+ . The ground states for both ^{152}Eu and ^{154}Eu have $J^\pi = 3^-$. The difference in spin is 0 or 1 between the initial (capture) and final (ground) states. The level density in either the initial or final states is very high for the odd-odd compound nuclei, $^{152,154}\text{Eu}$.

It is worthwhile to mention that the γ ray multiplicity is not constant with neutron energy for all nuclei, in certain cases varies with the spin of neutron resonances when the difference in the spin of the initial and final states is appreciable (i.e. at least two units). For example, in our previous work with the ^{95}Mo target [11, 19], the ground state spin of the compound

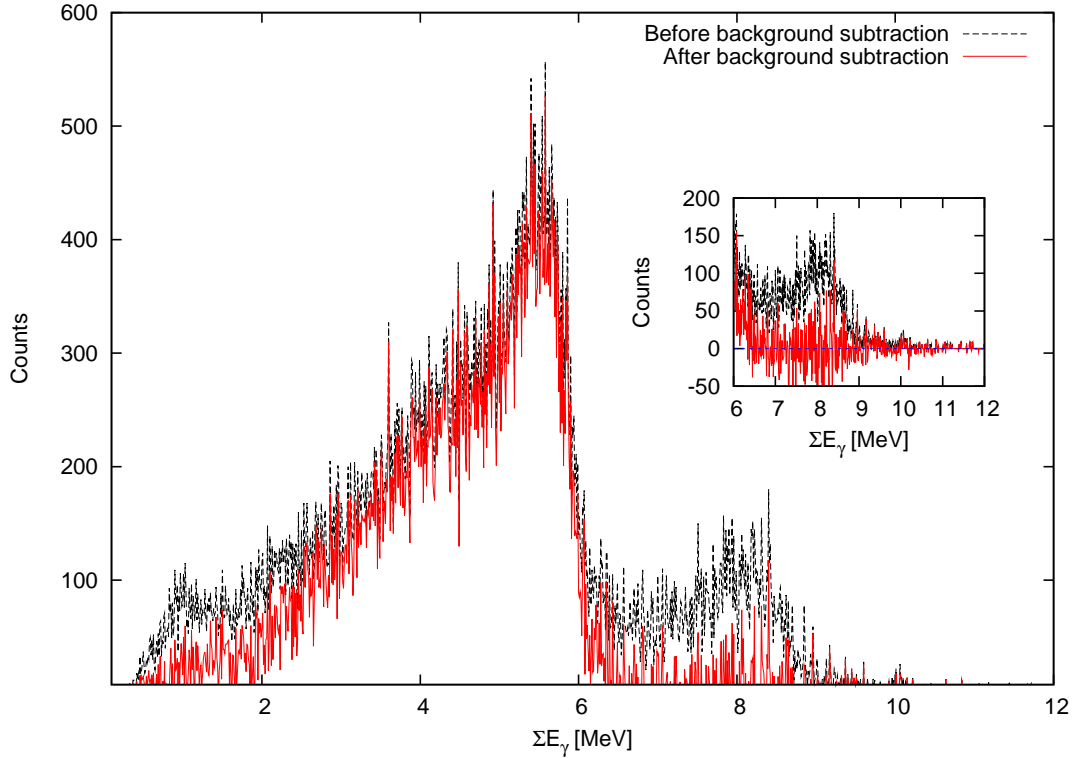


FIG. 9: The same as in Fig. 8 but for the neutron energy region 1 to 10 keV.

nucleus is 0 and the capture state spin for s-wave resonances are 2 or 3, where $\Delta J = 2$ or 3 is higher than 0 or 1 in Eu. Since the majority of the transitions are of dipole nature which change the spin by 0 or 1 unit, the decay in this case may require more steps in the cascade. The level density in Mo is much lower than in Eu as well, therefore fewer options exist through which cascades proceed in the intermediate excitation region. As a result, the multiplicity distribution in ^{96}Mo is impacted more by the spin difference and varies significantly for resonances with different spins. Such variation enables the resonance spin assignment. For ^{147}Sm [20], the spin difference between the initial and final states of the compound nucleus is $\Delta J = 3$ or 4 for s-wave resonances. This spin difference is even larger than the ^{96}Mo case (even though the level density is larger for Sm than for Mo) and leads to a difference in the γ -ray multiplicity distribution for two spin possibilities, thus the spin assignment for resonance can be made. A similar argument holds for p-wave resonances.

The cluster multiplicity distribution peaks at 3 and 4 for neutron-capture reactions on

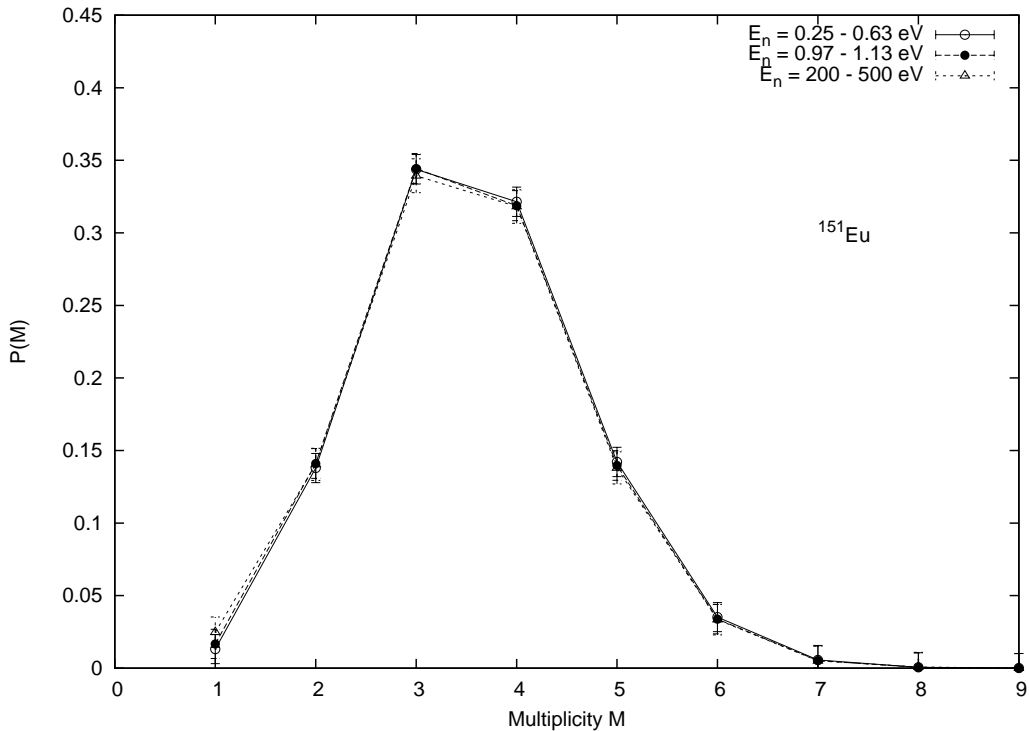


FIG. 10: The cluster multiplicity distribution $P(M)$ for the $^{151}\text{Eu}(n,\gamma)$ reaction is shown for three neutron incident energy regions for the 4.7 - 6.3 MeV summed energy gate. The distribution is found to be approximately independent of the neutron energy.

$^{151,153}\text{Eu}$. For the ^{151}Eu target, the percentage of the total counts with cluster multiplicity 3 - 7 is $85 \pm 1.0\%$ and the percentage of the counts with cluster multiplicity 1 and 2 is $15 \pm 1\%$. The contribution from cluster multiplicity 8 and higher is negligible. The comparison of this cluster multiplicity distribution from both the ^{151}Eu sample and the Be foil is shown in Fig. 12.

B Neutron capture cross section on $^{151,153}\text{Eu}$

For the determination of the neutron capture cross section of $^{151,153}\text{Eu}$, the events were chosen with the cluster multiplicity between 3 and 6 and summed energy between 5.5 and 6.9 MeV. The background subtraction was applied to those selected events after the deadtime correction was applied to the target and background events. The relative yield as a function

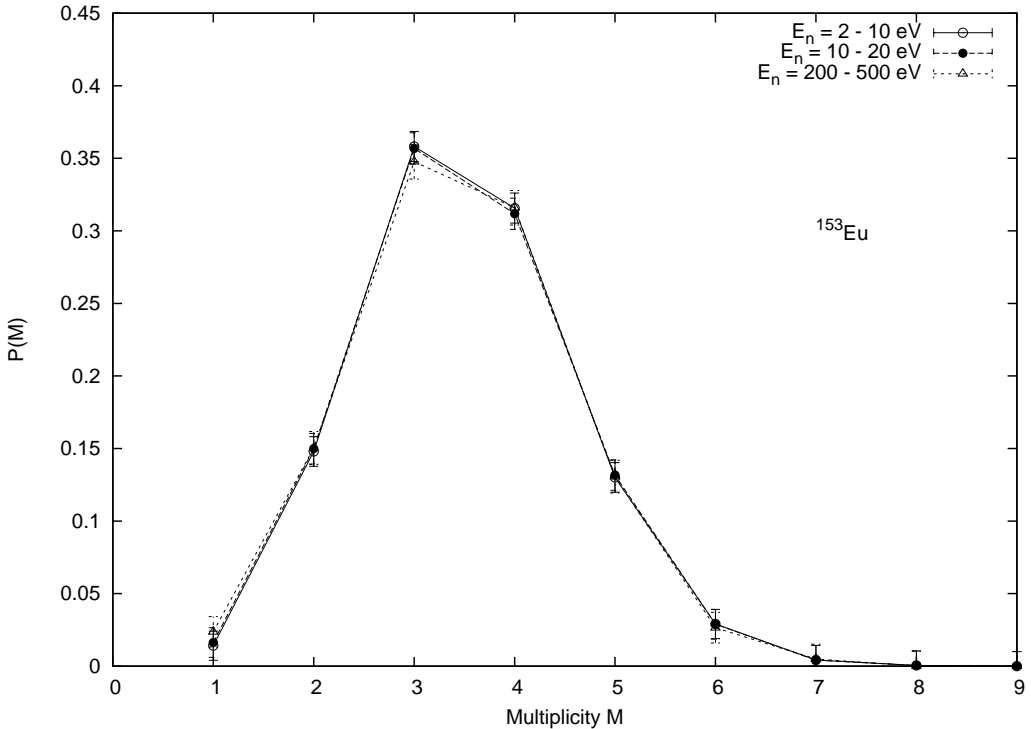


FIG. 11: The cluster multiplicity distribution $P(M)$ for the $^{153}\text{Eu}(n,\gamma)$ for three neutron energy regions. As observed in ^{151}Eu , the multiplicity distribution is found to be approximately independent of the neutron energy.

of the incident neutron energy was derived from those events by taking the neutron flux into account.

The absolute cross section for the $^{151}\text{Eu}(n,\gamma)$, shown in red filled circles in Fig. 13, was obtained by scaling the relative yield data to the measured cross sections using the area of the well-determined resonances at neutron energies 0.321, 0.460, and 1.055 eV given by Widder et al. [1], shown in filled blue squares. We include new data up to 2 keV up to which the deadtime correction is assumed to be reliable. Several measurements for the neutron incident energy between 1 and 100 keV also are shown in the figure, which include the data from Macklin et al. [2] plotted in open black triangles, Mizumoto et al. [4] in filled magenta squares, Kononov et al. [3] in open blue circles, and the Maxwellian averaged cross section data of Best et al. [6] in red filled triangles. The data from ENDF/B-VI are plotted with a dashed line. Only the statistical error is shown for our data set. The systematic uncertainty

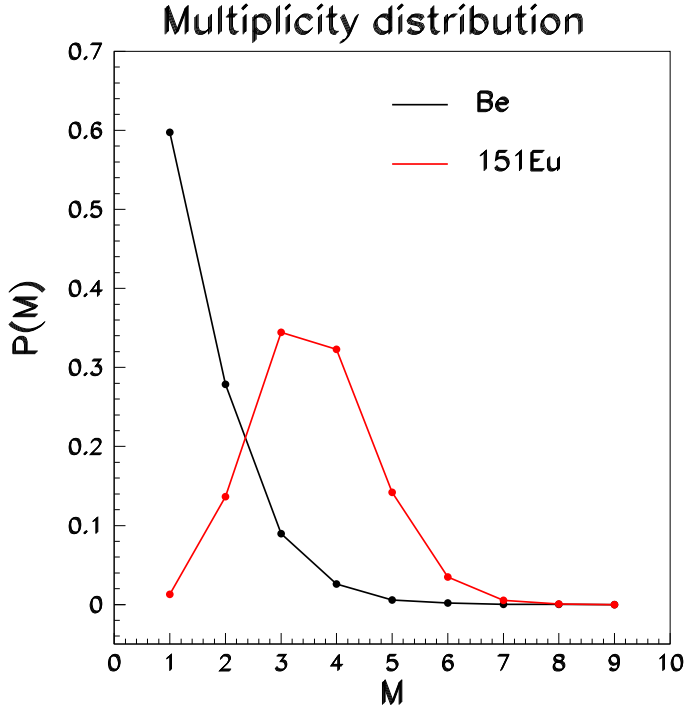


FIG. 12: Comparison of the cluster multiplicity distributions $P(M)$ of the ^{151}Eu sample and the Be foil.

associated with this experiment is estimated to be 5%, which includes the uncertainty in the scaling procedure using the measured cross sections given by Widder et al. [1] and in the background subtraction. The current cross section data derived from the measurement using the DANCE array are indeed impressive; DANCE data presented here covers five decades of neutron incident energy in one single measurement with only one day of effective running time.

The quality of data is demonstrated by comparison between the current and previous measurements at specific energy regions, shown in Figs. 14, 15, and 16. Fig. 14 shows the comparison for the resonances at energies 0.321 and 0.460 eV, which were used in part to obtain the scaling factor for the determination of absolute cross section. The ENDF representations include the Doppler broadening. The comparison for resonances in $^{151}\text{Eu} + \text{n}$ with the neutron incident energy between 1 and 10 eV is shown in Fig. 15. The agreement with the data from ENDF/B-VI is reasonable and the difference is about 10 - 15%. The

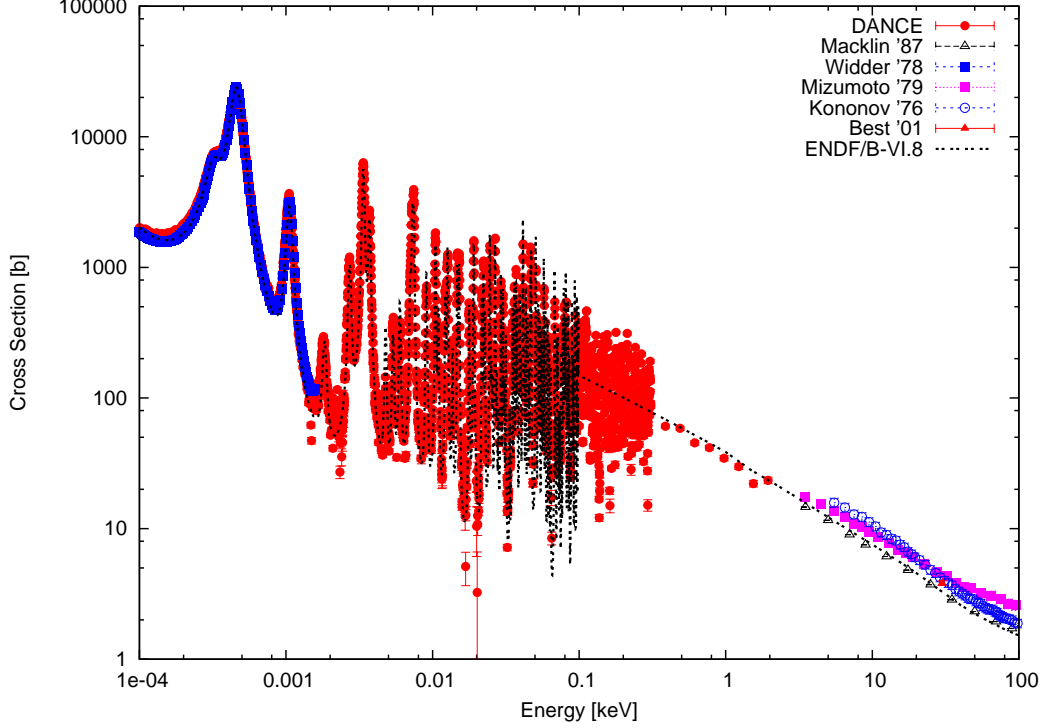


FIG. 13: Neutron capture cross section of ^{151}Eu .

comparison for neutron energy above 300 eV up to 100 keV is shown in Fig. 16. The previous measurements for the neutron incident energy between 10 and 100 keV disagree with each other by as much as 30 - 40%. By looking at the comparison of all data to ENDF, the trend of present results is consistent with the data given by Macklin et al. [2] and the data from ENDF/B-VI. For comparison, a scaled $1/v$ curve also is plotted using the dot-dashed green lines. All data seem to deviate from the trend of $1/v$.

Similar to ^{151}Eu , the absolute cross section for the $^{153}\text{Eu}(n,\gamma)$ reaction, shown in Fig. 17, was obtained by scaling the relative yield to the measured cross sections of the area of well-determined resonances at the neutron energies between 1 and 10 eV given by Widder et al. [1]. Note that the ^{153}Eu data given by Widder et al. were extracted by taking the difference in data between a natural Eu and an enriched ^{151}Eu sample. Only the statistical error is shown for our data set. The systematic uncertainty is estimated to be 8%, which includes the uncertainty in the scaling procedure using the measured cross sections given by Widder et al. [1] and in the background subtraction.

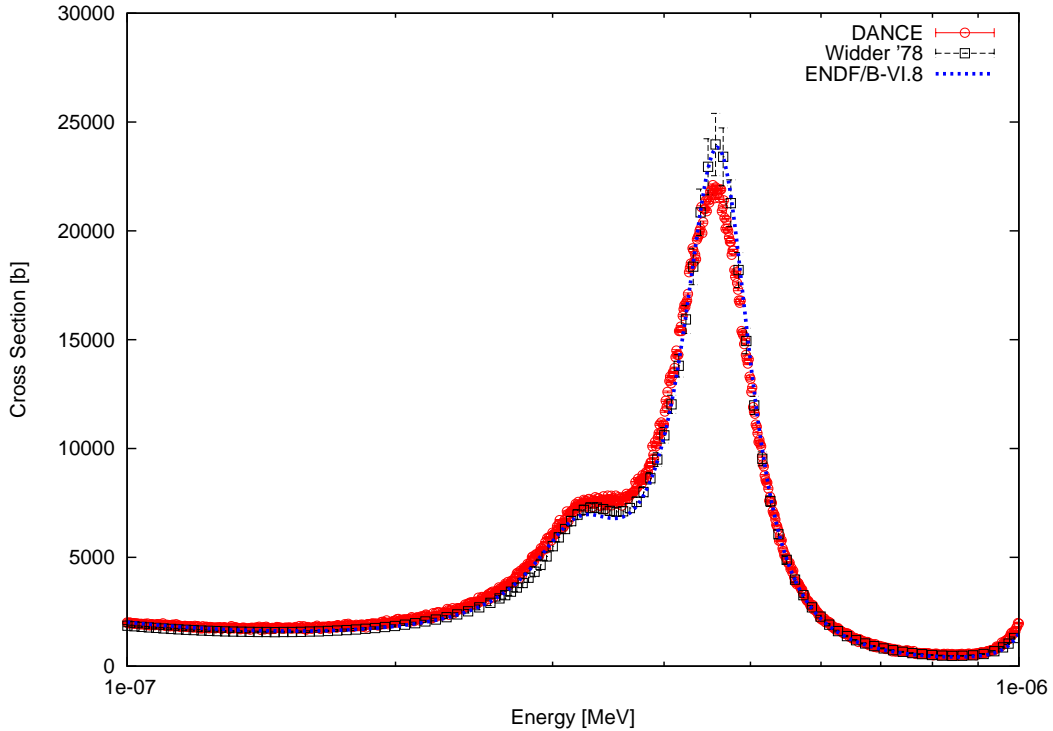


FIG. 14: Neutron resonances for $^{151}\text{Eu} + \text{n}$ for $E_n = 0.1 - 1 \text{ eV}$.

The absolute cross section of the $^{153}\text{Eu}(\text{n},\gamma)$ in comparison with other measurements is given in Figs. 18, 19 and 20. There is no visible resonance for the neutron energy between 0.1 and 1 eV in the ^{153}Eu data, shown in Fig. 18, and the observed fluctuation near 0.4 - 0.5 eV neutron incident energy is the remnant after subtracting the trace contribution by ^{151}Eu , the impurity in the ^{153}Eu target. The comparison of resonances with the neutron incident energy between 1 - 10 eV in $^{153}\text{Eu}+\text{n}$ is shown in Fig. 19. Again, the agreement with the data from ENDF/B-VI is about 10 - 15%. For the neutron incident energy above 300 eV up to 100 keV, shown in Fig. 20, comparison of the trend of the present results with the ENDF evaluation does not provide any new insights and a more accurate measurement in this energy range is necessary. The measured neutron capture cross sections are listed in the table format in Appendix B. The neutron energy in the table is at the center of each bin.

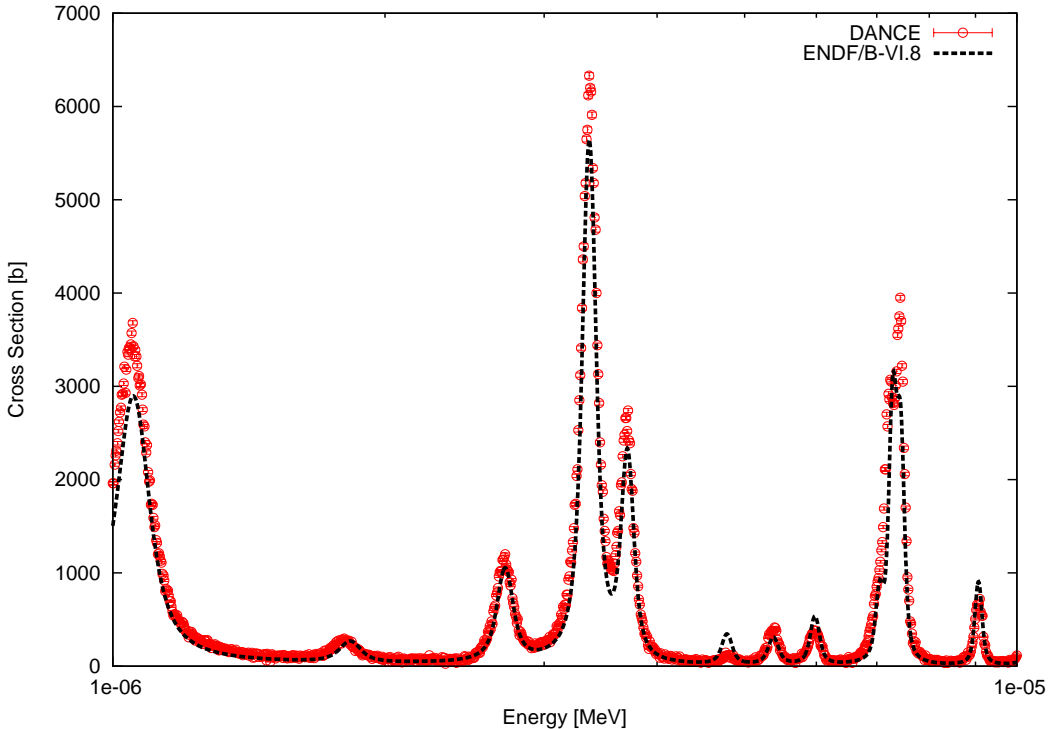


FIG. 15: Neutron resonances for $^{151}\text{Eu} + \text{n}$ for $E_n = 1 - 10 \text{ eV}$.

V. CONCLUSION

The neutron capture cross sections of $^{151,153}\text{Eu}$ was measured for neutron incident energies from 0.1 eV to 2.0 keV using the DANCE array at Los Alamos National Laboratory. New data between 100 eV and 2.0 keV neutron incident energy have been added. The trend of these new data is in agreement with the work of Macklin and Young. Another significant aspect of data analysis, the statistical nuclear study using the present DANCE data, shall be published in a separate article [21]. This experiment was fielded during the early implementation of the DANCE array. Since then, both the data acquisition and the data analysis have been improved significantly. Most notably, with faster data acquisition computers the time-of-flight range for the continuous trigger was extended by a factor of five (to 500 microseconds) by introducing the second “looking time” window and by lengthening the time duration. At the same time, experimenters have gained experience in both fielding these experiments and using the sorting code, Analyzer. DANCE is a very

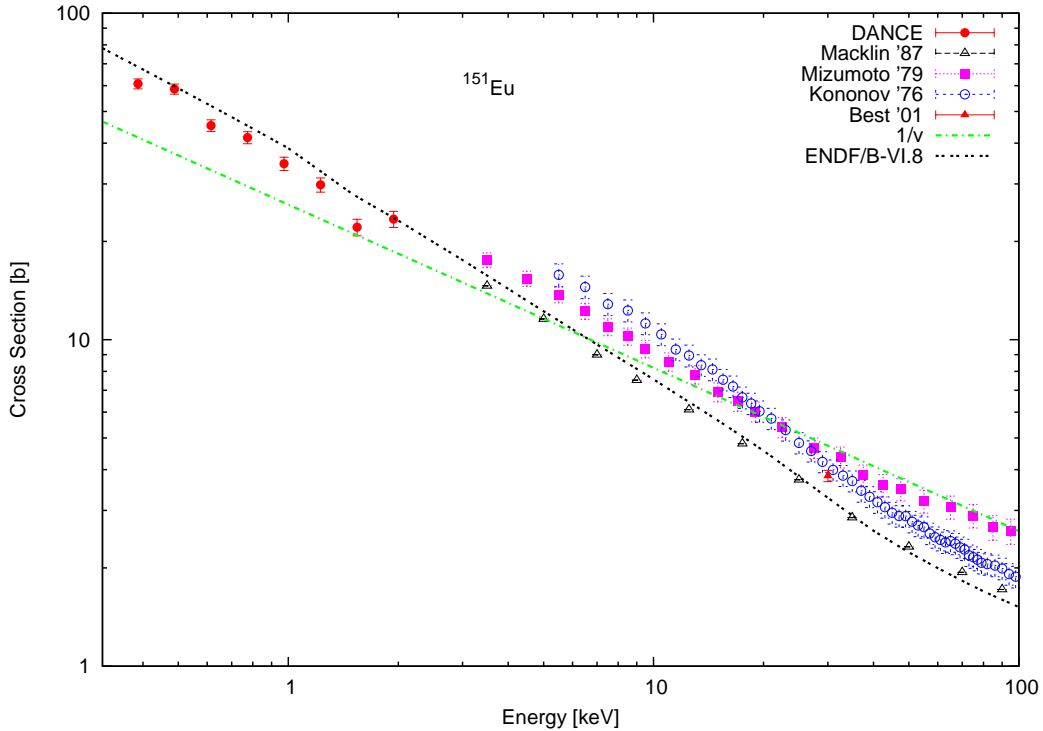


FIG. 16: A closer look at the keV neutron energy region in ^{151}Eu .

complex and powerful spectrometer. The measurement of neutron-capture cross sections in the keV region is very difficult with the DANCE spectrometer at its current location. However, methods to improve the reliability of neutron capture cross section measurement have been identified as a result of this experiment, such as the use of a thicker self-supported target. We believe it is plausible to measure the (n,γ) cross section for neutron incident energy up to several hundred keV in the future.

VI. ACKNOWLEDGEMENT

This work is performed under the auspices of the U.S. Department of Energy by Lawrence Livermore National Laboratory in part under Contract W-7405-Eng-48 and in part under Contract DE-AC52-07NA27344, and Los Alamos National Laboratory in part under Contract W-7405-Eng-36 and in part under Contract DE-AC52-06NA25396. This work was also supported by in part the U.S. Department of Energy Grants No. DE-FG52-06NA26194 and

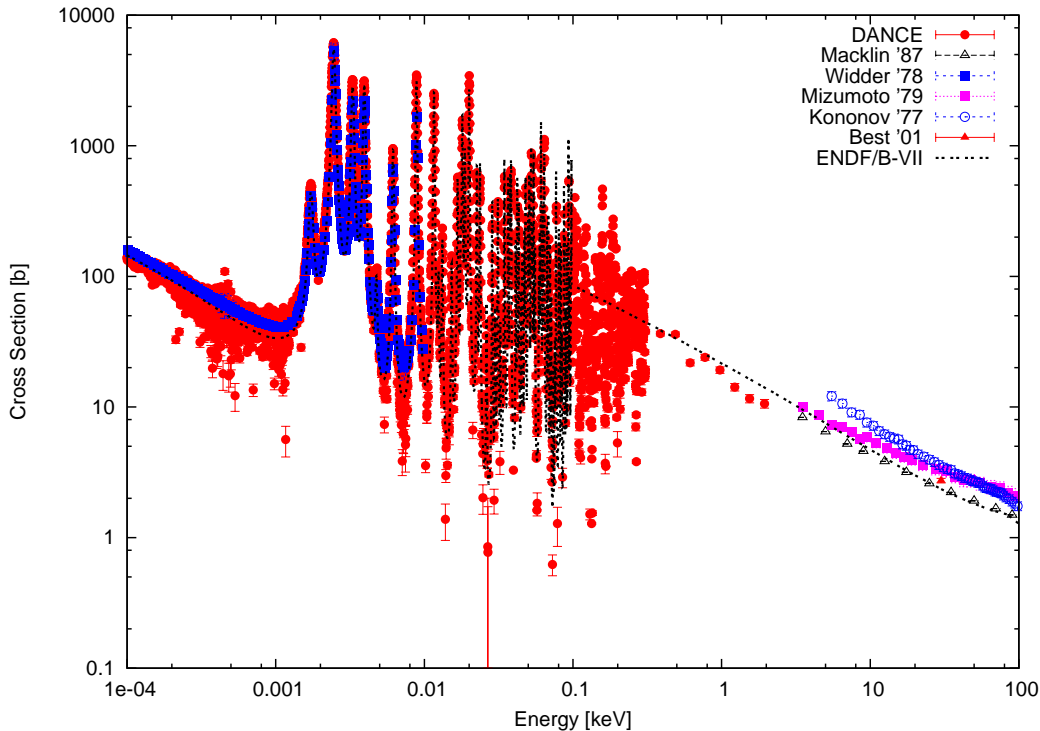


FIG. 17: Neutron capture cross section of ^{153}Eu .

No. DE-FG02-97-ER41042.

REFERENCES

- [1] F. Widder, Eidg. Inst. Reaktorforsch. Wuerenlingen Reports; No. 217 (1975).
- [2] R. L. Macklin and P. G. Young, Nucl. Sci. Eng. **95**, 189 (1987).
- [3] V. A. Konks, Yu. P. Popov, and Yu. I. Fenin, Sov. J. Nucl. Phys. **7**, 310 (1968).
- [4] M. Mizumoto, A. Asami, Y. Nakajima, T. Fuketa, H. Takekoshi, J. Nucl. Sci. Tech., Tokyo, **16**, 711 (1979).
- [5] V. N. Kononov and B. D. Yurlov, Proceedings of 4th All-Union Conf. Nucl. Phys., Kiev, 1977.
- [6] J. Best et al., Phys. Rev. C.**64**, 015801 (2001).
- [7] M. Heil, R. Reifarth, M. Fowler, R. C. Haight, F. Kaeppeler, R. S. Rundberg,

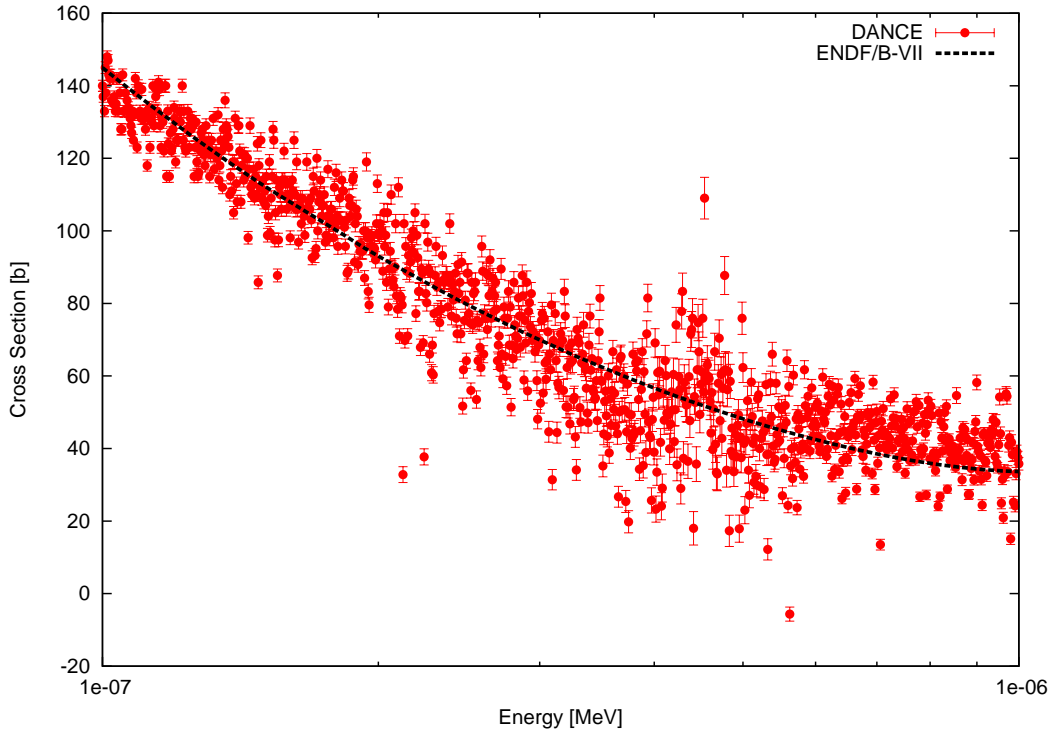


FIG. 18: There is no resonance in the neutron energy region 0.1 - 1 eV for ^{153}Eu and the fluctuation visible near 0.4 - 0.5 eV is due to the subtraction of trace contribution by ^{151}Eu in the main sample.

E. Seabury, J. L. Ullmann, J. B. Wilhelmy, M. K. Wissak, Nucl. Inst. Methods. Phys. Res. **A459**, 229 (2001).

- [8] R. Reifarth, T. A. Bredeweg, A. Alpizar-Vicente, J. Browne, E.-I. Esch, U. Greife, R. C. Haight, R. Hatarik, A. Kronenberg, J. M. O'Donnell, R. S. Rundberg, J. L. Ullmann, D. J. Vieira, J. B. Wilhelmy, and J. M. Wouters, Nucl. Inst. Methods. Phys. Res. **A531**, 528 (2004).
- [9] R. Hatarik, Ph.D. dissertation, Colorado School of Mines, 2005.
- [10] A. Alpizar-Vicente, Ph.D. dissertation, Colorado School of Mines, 2005.
- [11] S. A. Sheets, Ph.D. dissertation, North Carolina State University, 2007.
- [12] J. M. Wouters et al., IEEE Transactions on Nuclear Science **53(3)**, 880 (2006).
- [13] R. Reifarth et al., "Review of GEANT simulations and comparison with first experiments at DANCE", LANL report, LA-UR-03-5560, 2003.

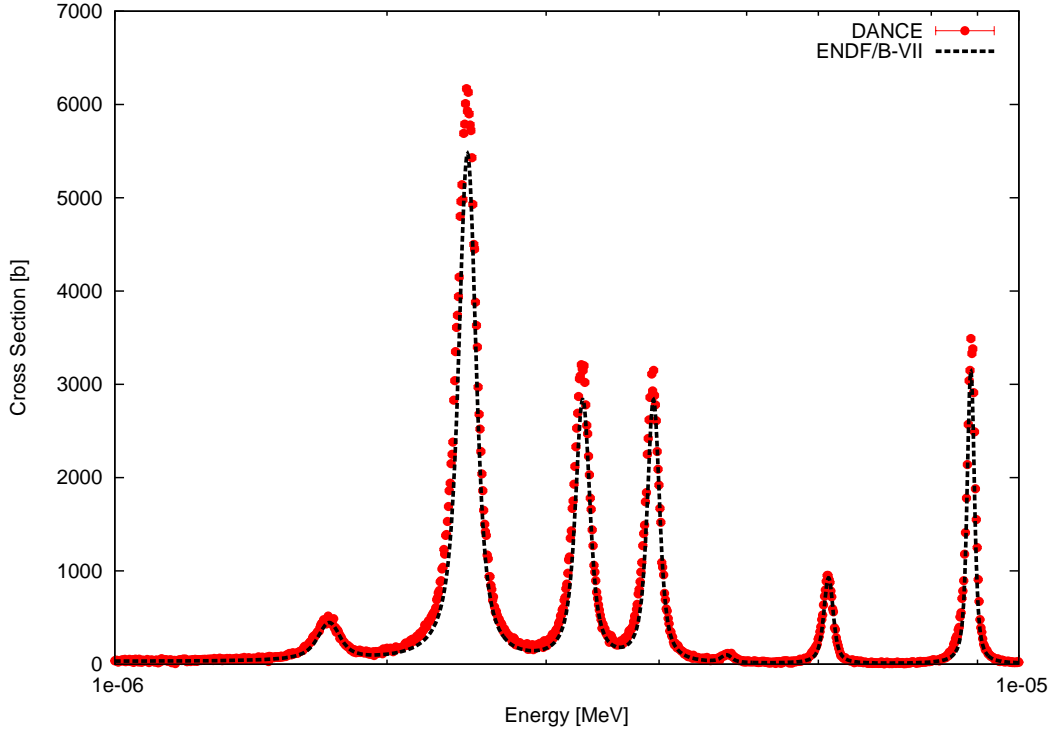


FIG. 19: Neutron resonances for $^{153}\text{Eu} + \text{n}$ for $E_n = 1 - 10 \text{ eV}$.

- [14] E.-I. Esch et al., “The $^{237}\text{Np}(\text{n},\gamma)$ cross section between 20 meV and 500 keV,” submitted for publication.
- [15] J. L. Ullmann, U. Agvaanluvsan, A. Alpizar-Vicente, E. Bond, T. A. Bredeweg, E.-I. Esch, C. Folden, U. Greife, R. Hatarik, R. C. Haight, D. Hoffman et al., AIP Proceedings for Conference on Nuclear Data for Science and Technology, Santa Fe, NM, 2004.
- [16] R. S. Rundberg, T. A. Bredeweg, E. M. Bond, R. C. Haight, L. F. Hunt, A. Kronenberg, J. M. O’Donnell, J. M. Schwantes, J. L. Ullmann, D. J. Vieira, J. B. Wilhelmy, and J. M. Wouters, AIP Proceedings of the 12th International Conference on the Capture Gamma-ray Spectroscopy and Related Topics, edited by A. Woehr and A. Aprahamian, 2006.
- [17] P. E. Koehler, Nucl. Inst. Methods. Phys. Res. **A292**, 541 (1990).
- [18] C. D. Bowman, unpublished, (see also M. S. Moore, Nucl. Inst. Methods. **169**, 245 (1980) for extended derivation).

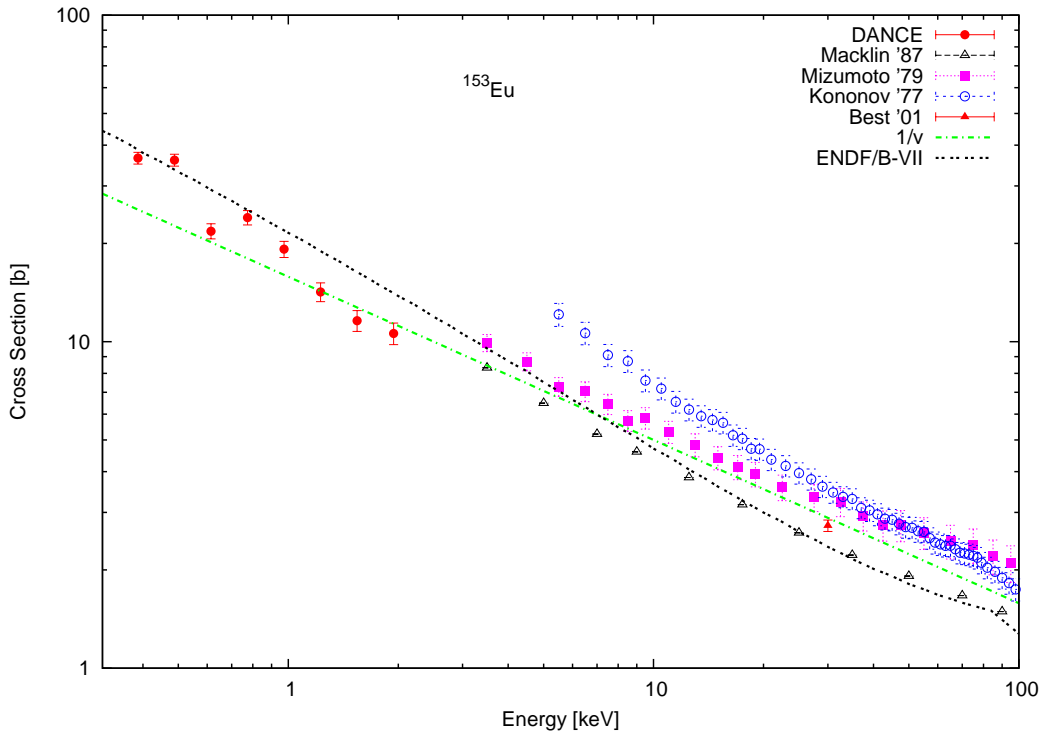


FIG. 20: A close look at the keV neutron energy region in ^{153}Eu .

- [19] G. E. Mitchell, U. Agvaanluvsan, J. A. Becker, F. Bečvář, T. A. Bredeweg, R. C. Haight, M. Krtička, J. M. O'Donnell, W. E. Parker, R. Reifarth, R. S. Rundberg, E. I. Sharapov, S. A. Sheets, I. Tomandl, J. L. Ullmann, D. J. Vieira, J. M. Wouters, J. B. Wilhelmy, C. Y. Wu, Proceedings of the Workshop on Photon Strength Function and Related Topics, June 17-20, Prague, Czech Republic, 2007.
- [20] P. E. Koehler, J. L. Ullmann, T. A. Bredeweg, J. M. O'Donnell, R. Reifarth, R. S. Rundberg, D. J. Vieira, J. M. Wouters, Phys. Rev. C **76**, 025804 (2007).
- [21] U. Agvaanluvsan et al., in preparation.

APPENDIX A: ANALYTICAL DEADTIME CORRECTION FOR THE SEGMENTED-MODE DATA

The deadtime correction procedure given in reference [18] is outlined here. Let the observed number of counts in a given time-of-flight bin n be C_n and the number of bins affected (blocked) be n_d . The total number of counts N is a sum of C_n for all channels $n = 1, \dots, n_{max}$ where n_{max} is the highest channel. For a specific bin is n , the probability P_d of the bin is dead is given by

$$P_d = \sum_{j=n-n_d}^{n-1} C_j. \quad (\text{A1})$$

Assuming that the count rate for a given bin stays constant for the duration of the run, the probability to observe k events in bin n is given by the Poisson distribution

$$P_n(k) = \frac{\lambda_n^k}{k!} e^{-\lambda_n}, \quad (\text{A2})$$

where λ_n is the true number of counts for bin n . Every bin (with a bin width smaller than the deadtime) can have only one count per beam burst. Suppose k counts are lost in a given bin. That can happen for two reasons: 1) the bin is dead and k counts happened or 2) the bin was alive and $k + 1$ counts happened. The probability to lose k counts is the sum of these two scenarios,

$$P_l(k) = P_d(k)P_n(k) + (1 - P_d(k))P_n(k + 1), \quad (\text{A3})$$

where the probabilities P_d and P_n are given by Eqs. (A1,A2). The observed number of counts C_n is difference between the true (or corrected) counts and the lost counts,

$$C_n = \sum_{k=1}^{\inf} k(P_n(k) - P_l(k)), \quad (\text{A4})$$

where the probabilities P_n and P_l are given by Eqs. (A2,A3). After using Eqs (A2,A3) and simplifying, one obtains the equation for the deadtime correction

$$\lambda_n = -\log \left(1 - \frac{C_n}{1 - P_d} \right). \quad (\text{A5})$$

The equation (A5) is applied for the analytical deadtime correction for the segmented-mode data.

APPENDIX B: THE MEASURED NEUTRON CAPTURE CROSS SECTION DATA

The tables contain the neutron energy in eV, the neutron capture cross sections in barn. The tabulated energies are at the center of each bin.

Table 1: Neutron capture cross sections of ^{151}Eu .

E_n (eV)	$\sigma_{n,\gamma}$ (b)	$\Delta\sigma_{n,\gamma}$ (b)	E_n (eV)	$\sigma_{n,\gamma}$ (b)	$\Delta\sigma_{n,\gamma}$ (b)
0.6902E-01	0.170E+03	0.189E+01	0.7586E-01	0.240E+04	0.685E+01
0.6918E-01	0.184E+04	0.592E+01	0.7603E-01	0.240E+04	0.688E+01
0.6934E-01	0.222E+04	0.643E+01	0.7621E-01	0.236E+04	0.684E+01
0.6950E-01	0.225E+04	0.636E+01	0.7638E-01	0.239E+04	0.694E+01
0.6966E-01	0.227E+04	0.653E+01	0.7656E-01	0.237E+04	0.677E+01
0.6982E-01	0.228E+04	0.650E+01	0.7674E-01	0.238E+04	0.688E+01
0.6998E-01	0.226E+04	0.645E+01	0.7691E-01	0.239E+04	0.687E+01
0.7015E-01	0.226E+04	0.643E+01	0.7709E-01	0.238E+04	0.684E+01
0.7031E-01	0.225E+04	0.649E+01	0.7727E-01	0.245E+04	0.700E+01
0.7047E-01	0.225E+04	0.643E+01	0.7745E-01	0.242E+04	0.702E+01
0.7063E-01	0.226E+04	0.645E+01	0.7762E-01	0.243E+04	0.701E+01
0.7079E-01	0.232E+04	0.653E+01	0.7780E-01	0.243E+04	0.699E+01
0.7096E-01	0.228E+04	0.654E+01	0.7798E-01	0.242E+04	0.702E+01
0.7112E-01	0.225E+04	0.643E+01	0.7816E-01	0.248E+04	0.716E+01
0.7129E-01	0.227E+04	0.655E+01	0.7834E-01	0.244E+04	0.703E+01
0.7145E-01	0.226E+04	0.652E+01	0.7852E-01	0.242E+04	0.707E+01
0.7161E-01	0.231E+04	0.658E+01	0.7870E-01	0.246E+04	0.706E+01
0.7178E-01	0.231E+04	0.662E+01	0.7889E-01	0.247E+04	0.716E+01
0.7194E-01	0.228E+04	0.658E+01	0.7907E-01	0.242E+04	0.703E+01
0.7211E-01	0.228E+04	0.657E+01	0.7925E-01	0.243E+04	0.702E+01
0.7228E-01	0.227E+04	0.657E+01	0.7943E-01	0.244E+04	0.723E+01
0.7244E-01	0.225E+04	0.659E+01	0.7962E-01	0.244E+04	0.709E+01
0.7261E-01	0.228E+04	0.654E+01	0.7980E-01	0.244E+04	0.710E+01
0.7278E-01	0.231E+04	0.665E+01	0.7998E-01	0.240E+04	0.704E+01
0.7295E-01	0.225E+04	0.652E+01	0.8017E-01	0.242E+04	0.717E+01
0.7311E-01	0.224E+04	0.655E+01	0.8035E-01	0.243E+04	0.715E+01
0.7328E-01	0.225E+04	0.663E+01	0.8054E-01	0.241E+04	0.713E+01
0.7345E-01	0.225E+04	0.658E+01	0.8072E-01	0.241E+04	0.713E+01
0.7362E-01	0.227E+04	0.663E+01	0.8091E-01	0.239E+04	0.703E+01
0.7379E-01	0.227E+04	0.663E+01	0.8110E-01	0.237E+04	0.709E+01
0.7396E-01	0.225E+04	0.660E+01	0.8128E-01	0.230E+04	0.693E+01
0.7413E-01	0.224E+04	0.655E+01	0.8147E-01	0.242E+04	0.717E+01
0.7430E-01	0.222E+04	0.654E+01	0.8166E-01	0.237E+04	0.710E+01
0.7447E-01	0.234E+04	0.684E+01	0.8185E-01	0.237E+04	0.710E+01
0.7464E-01	0.229E+04	0.661E+01	0.8203E-01	0.235E+04	0.705E+01
0.7482E-01	0.232E+04	0.666E+01	0.8222E-01	0.239E+04	0.722E+01
0.7499E-01	0.231E+04	0.670E+01	0.8241E-01	0.232E+04	0.707E+01
0.7516E-01	0.226E+04	0.663E+01	0.8260E-01	0.234E+04	0.708E+01
0.7534E-01	0.233E+04	0.678E+01	0.8279E-01	0.236E+04	0.714E+01
0.7551E-01	0.238E+04	0.676E+01	0.8298E-01	0.239E+04	0.710E+01
0.7568E-01	0.233E+04	0.676E+01	0.8318E-01	0.229E+04	0.694E+01

Table 1: (Continued).

E_n (eV)	$\sigma_{n,\gamma}$ (b)	$\Delta\sigma_{n,\gamma}$ (b)	E_n (eV)	$\sigma_{n,\gamma}$ (b)	$\Delta\sigma_{n,\gamma}$ (b)
0.8337E-01	0.231E+04	0.704E+01	0.9162E-01	0.215E+04	0.728E+01
0.8356E-01	0.235E+04	0.714E+01	0.9183E-01	0.214E+04	0.728E+01
0.8375E-01	0.230E+04	0.711E+01	0.9205E-01	0.213E+04	0.723E+01
0.8395E-01	0.235E+04	0.720E+01	0.9226E-01	0.215E+04	0.715E+01
0.8414E-01	0.232E+04	0.713E+01	0.9247E-01	0.214E+04	0.722E+01
0.8433E-01	0.232E+04	0.707E+01	0.9268E-01	0.212E+04	0.718E+01
0.8453E-01	0.228E+04	0.710E+01	0.9290E-01	0.210E+04	0.714E+01
0.8472E-01	0.229E+04	0.716E+01	0.9311E-01	0.210E+04	0.722E+01
0.8492E-01	0.231E+04	0.715E+01	0.9332E-01	0.216E+04	0.734E+01
0.8511E-01	0.226E+04	0.705E+01	0.9354E-01	0.211E+04	0.736E+01
0.8531E-01	0.231E+04	0.724E+01	0.9376E-01	0.207E+04	0.712E+01
0.8551E-01	0.225E+04	0.714E+01	0.9397E-01	0.209E+04	0.717E+01
0.8570E-01	0.221E+04	0.701E+01	0.9419E-01	0.205E+04	0.720E+01
0.8590E-01	0.227E+04	0.722E+01	0.9441E-01	0.207E+04	0.716E+01
0.8610E-01	0.229E+04	0.719E+01	0.9462E-01	0.212E+04	0.735E+01
0.8630E-01	0.223E+04	0.706E+01	0.9484E-01	0.208E+04	0.729E+01
0.8650E-01	0.225E+04	0.717E+01	0.9506E-01	0.208E+04	0.716E+01
0.8670E-01	0.223E+04	0.717E+01	0.9528E-01	0.212E+04	0.745E+01
0.8690E-01	0.221E+04	0.718E+01	0.9550E-01	0.201E+04	0.716E+01
0.8710E-01	0.225E+04	0.719E+01	0.9572E-01	0.201E+04	0.723E+01
0.8730E-01	0.225E+04	0.717E+01	0.9594E-01	0.209E+04	0.733E+01
0.8750E-01	0.225E+04	0.717E+01	0.9616E-01	0.199E+04	0.717E+01
0.8770E-01	0.221E+04	0.708E+01	0.9638E-01	0.204E+04	0.730E+01
0.8790E-01	0.222E+04	0.709E+01	0.9661E-01	0.206E+04	0.734E+01
0.8811E-01	0.226E+04	0.730E+01	0.9683E-01	0.208E+04	0.739E+01
0.8831E-01	0.224E+04	0.721E+01	0.9705E-01	0.206E+04	0.735E+01
0.8851E-01	0.220E+04	0.720E+01	0.9727E-01	0.205E+04	0.744E+01
0.8872E-01	0.219E+04	0.711E+01	0.9750E-01	0.203E+04	0.727E+01
0.8892E-01	0.222E+04	0.724E+01	0.9772E-01	0.206E+04	0.750E+01
0.8912E-01	0.220E+04	0.726E+01	0.9795E-01	0.201E+04	0.724E+01
0.8933E-01	0.218E+04	0.711E+01	0.9817E-01	0.197E+04	0.722E+01
0.8954E-01	0.218E+04	0.719E+01	0.9840E-01	0.203E+04	0.725E+01
0.8974E-01	0.216E+04	0.711E+01	0.9863E-01	0.205E+04	0.745E+01
0.8995E-01	0.221E+04	0.731E+01	0.9886E-01	0.200E+04	0.742E+01
0.9016E-01	0.216E+04	0.711E+01	0.9908E-01	0.202E+04	0.744E+01
0.9037E-01	0.215E+04	0.724E+01	0.9931E-01	0.201E+04	0.738E+01
0.9057E-01	0.218E+04	0.723E+01	0.9954E-01	0.196E+04	0.729E+01
0.9078E-01	0.214E+04	0.713E+01	0.9977E-01	0.200E+04	0.727E+01
0.9099E-01	0.211E+04	0.710E+01	0.1000E+00	0.201E+04	0.745E+01
0.9120E-01	0.220E+04	0.730E+01	0.1002E+00	0.198E+04	0.748E+01
0.9141E-01	0.216E+04	0.717E+01	0.1005E+00	0.197E+04	0.739E+01

Table 1: (Continued).

E_n (eV)	$\sigma_{n,\gamma}$ (b)	$\Delta\sigma_{n,\gamma}$ (b)	E_n (eV)	$\sigma_{n,\gamma}$ (b)	$\Delta\sigma_{n,\gamma}$ (b)
0.1007E+00	0.201E+04	0.750E+01	0.1107E+00	0.187E+04	0.779E+01
0.1009E+00	0.198E+04	0.744E+01	0.1109E+00	0.190E+04	0.794E+01
0.1012E+00	0.198E+04	0.747E+01	0.1112E+00	0.187E+04	0.790E+01
0.1014E+00	0.197E+04	0.737E+01	0.1114E+00	0.188E+04	0.775E+01
0.1016E+00	0.197E+04	0.739E+01	0.1117E+00	0.184E+04	0.772E+01
0.1019E+00	0.197E+04	0.742E+01	0.1119E+00	0.184E+04	0.774E+01
0.1021E+00	0.195E+04	0.733E+01	0.1122E+00	0.189E+04	0.781E+01
0.1023E+00	0.196E+04	0.747E+01	0.1125E+00	0.191E+04	0.799E+01
0.1026E+00	0.196E+04	0.747E+01	0.1127E+00	0.186E+04	0.798E+01
0.1028E+00	0.193E+04	0.742E+01	0.1130E+00	0.182E+04	0.784E+01
0.1030E+00	0.195E+04	0.743E+01	0.1132E+00	0.186E+04	0.783E+01
0.1033E+00	0.193E+04	0.742E+01	0.1135E+00	0.193E+04	0.819E+01
0.1035E+00	0.193E+04	0.742E+01	0.1138E+00	0.184E+04	0.782E+01
0.1037E+00	0.195E+04	0.759E+01	0.1140E+00	0.188E+04	0.797E+01
0.1040E+00	0.193E+04	0.757E+01	0.1143E+00	0.184E+04	0.789E+01
0.1042E+00	0.193E+04	0.753E+01	0.1146E+00	0.186E+04	0.796E+01
0.1045E+00	0.193E+04	0.763E+01	0.1148E+00	0.180E+04	0.792E+01
0.1047E+00	0.195E+04	0.758E+01	0.1151E+00	0.184E+04	0.795E+01
0.1050E+00	0.191E+04	0.752E+01	0.1154E+00	0.183E+04	0.807E+01
0.1052E+00	0.189E+04	0.747E+01	0.1156E+00	0.183E+04	0.802E+01
0.1054E+00	0.196E+04	0.767E+01	0.1159E+00	0.182E+04	0.787E+01
0.1057E+00	0.191E+04	0.754E+01	0.1161E+00	0.185E+04	0.801E+01
0.1059E+00	0.188E+04	0.753E+01	0.1164E+00	0.184E+04	0.810E+01
0.1062E+00	0.188E+04	0.743E+01	0.1167E+00	0.180E+04	0.797E+01
0.1064E+00	0.193E+04	0.750E+01	0.1169E+00	0.183E+04	0.808E+01
0.1067E+00	0.193E+04	0.765E+01	0.1172E+00	0.182E+04	0.800E+01
0.1069E+00	0.189E+04	0.761E+01	0.1175E+00	0.180E+04	0.792E+01
0.1072E+00	0.190E+04	0.760E+01	0.1178E+00	0.184E+04	0.816E+01
0.1074E+00	0.189E+04	0.758E+01	0.1180E+00	0.181E+04	0.800E+01
0.1076E+00	0.191E+04	0.762E+01	0.1183E+00	0.180E+04	0.803E+01
0.1079E+00	0.190E+04	0.763E+01	0.1186E+00	0.177E+04	0.803E+01
0.1081E+00	0.193E+04	0.775E+01	0.1189E+00	0.181E+04	0.799E+01
0.1084E+00	0.193E+04	0.772E+01	0.1191E+00	0.185E+04	0.822E+01
0.1086E+00	0.189E+04	0.775E+01	0.1194E+00	0.179E+04	0.807E+01
0.1089E+00	0.187E+04	0.769E+01	0.1197E+00	0.178E+04	0.823E+01
0.1091E+00	0.191E+04	0.771E+01	0.1199E+00	0.184E+04	0.831E+01
0.1094E+00	0.190E+04	0.782E+01	0.1202E+00	0.182E+04	0.831E+01
0.1097E+00	0.197E+04	0.802E+01	0.1205E+00	0.174E+04	0.800E+01
0.1099E+00	0.190E+04	0.783E+01	0.1208E+00	0.177E+04	0.808E+01
0.1102E+00	0.186E+04	0.766E+01	0.1211E+00	0.176E+04	0.804E+01
0.1104E+00	0.187E+04	0.780E+01	0.1213E+00	0.173E+04	0.800E+01

Table 1: (Continued).

E_n (eV)	$\sigma_{n,\gamma}$ (b)	$\Delta\sigma_{n,\gamma}$ (b)	E_n (eV)	$\sigma_{n,\gamma}$ (b)	$\Delta\sigma_{n,\gamma}$ (b)
0.1216E+00	0.183E+04	0.838E+01	0.1337E+00	0.171E+04	0.881E+01
0.1219E+00	0.178E+04	0.820E+01	0.1340E+00	0.170E+04	0.870E+01
0.1222E+00	0.176E+04	0.824E+01	0.1343E+00	0.175E+04	0.881E+01
0.1225E+00	0.177E+04	0.833E+01	0.1346E+00	0.174E+04	0.891E+01
0.1227E+00	0.181E+04	0.842E+01	0.1349E+00	0.177E+04	0.909E+01
0.1230E+00	0.179E+04	0.828E+01	0.1352E+00	0.174E+04	0.891E+01
0.1233E+00	0.177E+04	0.824E+01	0.1355E+00	0.176E+04	0.918E+01
0.1236E+00	0.174E+04	0.837E+01	0.1358E+00	0.172E+04	0.886E+01
0.1239E+00	0.180E+04	0.864E+01	0.1361E+00	0.171E+04	0.900E+01
0.1242E+00	0.176E+04	0.837E+01	0.1365E+00	0.171E+04	0.874E+01
0.1244E+00	0.178E+04	0.845E+01	0.1368E+00	0.174E+04	0.900E+01
0.1247E+00	0.175E+04	0.818E+01	0.1371E+00	0.174E+04	0.918E+01
0.1250E+00	0.178E+04	0.863E+01	0.1374E+00	0.168E+04	0.891E+01
0.1253E+00	0.176E+04	0.849E+01	0.1377E+00	0.176E+04	0.936E+01
0.1256E+00	0.174E+04	0.831E+01	0.1380E+00	0.176E+04	0.927E+01
0.1259E+00	0.177E+04	0.849E+01	0.1384E+00	0.176E+04	0.918E+01
0.1262E+00	0.178E+04	0.854E+01	0.1387E+00	0.174E+04	0.927E+01
0.1265E+00	0.176E+04	0.848E+01	0.1390E+00	0.176E+04	0.909E+01
0.1268E+00	0.176E+04	0.848E+01	0.1393E+00	0.176E+04	0.927E+01
0.1271E+00	0.179E+04	0.862E+01	0.1396E+00	0.177E+04	0.954E+01
0.1274E+00	0.175E+04	0.858E+01	0.1400E+00	0.176E+04	0.918E+01
0.1276E+00	0.172E+04	0.839E+01	0.1403E+00	0.177E+04	0.936E+01
0.1279E+00	0.176E+04	0.853E+01	0.1406E+00	0.181E+04	0.963E+01
0.1282E+00	0.176E+04	0.848E+01	0.1409E+00	0.175E+04	0.936E+01
0.1285E+00	0.179E+04	0.867E+01	0.1412E+00	0.167E+04	0.927E+01
0.1288E+00	0.176E+04	0.857E+01	0.1416E+00	0.174E+04	0.936E+01
0.1291E+00	0.176E+04	0.876E+01	0.1419E+00	0.175E+04	0.963E+01
0.1294E+00	0.176E+04	0.881E+01	0.1422E+00	0.179E+04	0.954E+01
0.1297E+00	0.174E+04	0.862E+01	0.1426E+00	0.169E+04	0.936E+01
0.1300E+00	0.174E+04	0.872E+01	0.1429E+00	0.173E+04	0.936E+01
0.1303E+00	0.172E+04	0.857E+01	0.1432E+00	0.181E+04	0.954E+01
0.1306E+00	0.178E+04	0.876E+01	0.1435E+00	0.177E+04	0.954E+01
0.1309E+00	0.184E+04	0.891E+01	0.1439E+00	0.176E+04	0.963E+01
0.1312E+00	0.176E+04	0.886E+01	0.1442E+00	0.175E+04	0.936E+01
0.1315E+00	0.175E+04	0.881E+01	0.1445E+00	0.170E+04	0.927E+01
0.1318E+00	0.174E+04	0.871E+01	0.1449E+00	0.170E+04	0.963E+01
0.1321E+00	0.179E+04	0.900E+01	0.1452E+00	0.174E+04	0.963E+01
0.1324E+00	0.177E+04	0.876E+01	0.1455E+00	0.176E+04	0.980E+01
0.1327E+00	0.176E+04	0.881E+01	0.1459E+00	0.175E+04	0.963E+01
0.1330E+00	0.176E+04	0.891E+01	0.1462E+00	0.171E+04	0.963E+01
0.1333E+00	0.173E+04	0.875E+01	0.1465E+00	0.173E+04	0.945E+01

Table 1: (Continued).

E_n (eV)	$\sigma_{n,\gamma}$ (b)	$\Delta\sigma_{n,\gamma}$ (b)	E_n (eV)	$\sigma_{n,\gamma}$ (b)	$\Delta\sigma_{n,\gamma}$ (b)
0.1469E+00	0.176E+04	0.971E+01	0.1614E+00	0.175E+04	0.107E+02
0.1472E+00	0.180E+04	0.989E+01	0.1618E+00	0.180E+04	0.110E+02
0.1476E+00	0.178E+04	0.998E+01	0.1622E+00	0.177E+04	0.104E+02
0.1479E+00	0.176E+04	0.971E+01	0.1626E+00	0.178E+04	0.107E+02
0.1482E+00	0.178E+04	0.971E+01	0.1629E+00	0.181E+04	0.108E+02
0.1486E+00	0.174E+04	0.963E+01	0.1633E+00	0.186E+04	0.111E+02
0.1489E+00	0.176E+04	0.101E+02	0.1637E+00	0.178E+04	0.107E+02
0.1493E+00	0.175E+04	0.998E+01	0.1641E+00	0.180E+04	0.108E+02
0.1496E+00	0.173E+04	0.989E+01	0.1644E+00	0.174E+04	0.107E+02
0.1500E+00	0.176E+04	0.101E+02	0.1648E+00	0.171E+04	0.104E+02
0.1503E+00	0.173E+04	0.980E+01	0.1652E+00	0.178E+04	0.109E+02
0.1507E+00	0.177E+04	0.989E+01	0.1656E+00	0.181E+04	0.107E+02
0.1510E+00	0.175E+04	0.998E+01	0.1660E+00	0.179E+04	0.111E+02
0.1514E+00	0.176E+04	0.102E+02	0.1663E+00	0.176E+04	0.107E+02
0.1517E+00	0.176E+04	0.101E+02	0.1667E+00	0.181E+04	0.111E+02
0.1521E+00	0.178E+04	0.102E+02	0.1671E+00	0.179E+04	0.113E+02
0.1524E+00	0.174E+04	0.989E+01	0.1675E+00	0.180E+04	0.111E+02
0.1528E+00	0.176E+04	0.103E+02	0.1679E+00	0.177E+04	0.109E+02
0.1531E+00	0.173E+04	0.989E+01	0.1683E+00	0.184E+04	0.113E+02
0.1535E+00	0.176E+04	0.102E+02	0.1687E+00	0.173E+04	0.107E+02
0.1538E+00	0.176E+04	0.102E+02	0.1690E+00	0.178E+04	0.110E+02
0.1542E+00	0.174E+04	0.101E+02	0.1694E+00	0.179E+04	0.109E+02
0.1545E+00	0.180E+04	0.103E+02	0.1698E+00	0.182E+04	0.112E+02
0.1549E+00	0.176E+04	0.104E+02	0.1702E+00	0.180E+04	0.113E+02
0.1552E+00	0.174E+04	0.998E+01	0.1706E+00	0.183E+04	0.112E+02
0.1556E+00	0.173E+04	0.998E+01	0.1710E+00	0.182E+04	0.111E+02
0.1560E+00	0.184E+04	0.106E+02	0.1714E+00	0.182E+04	0.116E+02
0.1563E+00	0.174E+04	0.101E+02	0.1718E+00	0.177E+04	0.114E+02
0.1567E+00	0.175E+04	0.102E+02	0.1722E+00	0.189E+04	0.114E+02
0.1570E+00	0.176E+04	0.102E+02	0.1726E+00	0.185E+04	0.116E+02
0.1574E+00	0.183E+04	0.106E+02	0.1730E+00	0.185E+04	0.117E+02
0.1578E+00	0.171E+04	0.102E+02	0.1734E+00	0.182E+04	0.113E+02
0.1581E+00	0.182E+04	0.106E+02	0.1738E+00	0.180E+04	0.111E+02
0.1585E+00	0.170E+04	0.102E+02	0.1742E+00	0.183E+04	0.117E+02
0.1588E+00	0.168E+04	0.102E+02	0.1746E+00	0.182E+04	0.114E+02
0.1592E+00	0.176E+04	0.104E+02	0.1750E+00	0.179E+04	0.110E+02
0.1596E+00	0.180E+04	0.106E+02	0.1754E+00	0.193E+04	0.120E+02
0.1600E+00	0.174E+04	0.104E+02	0.1758E+00	0.185E+04	0.117E+02
0.1603E+00	0.176E+04	0.106E+02	0.1762E+00	0.191E+04	0.121E+02
0.1607E+00	0.175E+04	0.111E+02	0.1766E+00	0.185E+04	0.118E+02
0.1611E+00	0.172E+04	0.105E+02	0.1770E+00	0.195E+04	0.119E+02

Table 1: (Continued).

E_n (eV)	$\sigma_{n,\gamma}$ (b)	$\Delta\sigma_{n,\gamma}$ (b)	E_n (eV)	$\sigma_{n,\gamma}$ (b)	$\Delta\sigma_{n,\gamma}$ (b)
0.1774E+00	0.186E+04	0.119E+02	0.1950E+00	0.200E+04	0.127E+02
0.1778E+00	0.183E+04	0.116E+02	0.1954E+00	0.210E+04	0.133E+02
0.1782E+00	0.189E+04	0.117E+02	0.1959E+00	0.199E+04	0.132E+02
0.1787E+00	0.185E+04	0.119E+02	0.1963E+00	0.193E+04	0.127E+02
0.1791E+00	0.180E+04	0.115E+02	0.1968E+00	0.200E+04	0.128E+02
0.1795E+00	0.183E+04	0.117E+02	0.1972E+00	0.200E+04	0.130E+02
0.1799E+00	0.185E+04	0.120E+02	0.1977E+00	0.199E+04	0.128E+02
0.1803E+00	0.186E+04	0.117E+02	0.1981E+00	0.201E+04	0.131E+02
0.1807E+00	0.190E+04	0.120E+02	0.1986E+00	0.207E+04	0.133E+02
0.1811E+00	0.186E+04	0.119E+02	0.1991E+00	0.201E+04	0.134E+02
0.1815E+00	0.184E+04	0.123E+02	0.1995E+00	0.209E+04	0.134E+02
0.1820E+00	0.186E+04	0.119E+02	0.2000E+00	0.210E+04	0.135E+02
0.1824E+00	0.188E+04	0.121E+02	0.2005E+00	0.200E+04	0.128E+02
0.1828E+00	0.191E+04	0.120E+02	0.2009E+00	0.216E+04	0.139E+02
0.1832E+00	0.182E+04	0.117E+02	0.2014E+00	0.217E+04	0.140E+02
0.1837E+00	0.191E+04	0.120E+02	0.2018E+00	0.204E+04	0.135E+02
0.1841E+00	0.182E+04	0.118E+02	0.2023E+00	0.210E+04	0.136E+02
0.1845E+00	0.186E+04	0.119E+02	0.2028E+00	0.212E+04	0.142E+02
0.1849E+00	0.188E+04	0.121E+02	0.2032E+00	0.211E+04	0.135E+02
0.1854E+00	0.178E+04	0.116E+02	0.2037E+00	0.209E+04	0.139E+02
0.1858E+00	0.192E+04	0.123E+02	0.2042E+00	0.215E+04	0.140E+02
0.1862E+00	0.192E+04	0.124E+02	0.2046E+00	0.210E+04	0.135E+02
0.1866E+00	0.193E+04	0.125E+02	0.2051E+00	0.215E+04	0.138E+02
0.1871E+00	0.192E+04	0.125E+02	0.2056E+00	0.212E+04	0.138E+02
0.1875E+00	0.192E+04	0.126E+02	0.2061E+00	0.210E+04	0.137E+02
0.1879E+00	0.193E+04	0.124E+02	0.2065E+00	0.216E+04	0.143E+02
0.1884E+00	0.197E+04	0.127E+02	0.2070E+00	0.213E+04	0.139E+02
0.1888E+00	0.190E+04	0.122E+02	0.2075E+00	0.204E+04	0.136E+02
0.1892E+00	0.192E+04	0.126E+02	0.2080E+00	0.218E+04	0.143E+02
0.1897E+00	0.196E+04	0.129E+02	0.2085E+00	0.225E+04	0.146E+02
0.1901E+00	0.191E+04	0.123E+02	0.2089E+00	0.219E+04	0.143E+02
0.1905E+00	0.195E+04	0.127E+02	0.2094E+00	0.211E+04	0.136E+02
0.1910E+00	0.187E+04	0.121E+02	0.2099E+00	0.207E+04	0.137E+02
0.1914E+00	0.189E+04	0.124E+02	0.2104E+00	0.217E+04	0.143E+02
0.1919E+00	0.193E+04	0.123E+02	0.2109E+00	0.222E+04	0.142E+02
0.1923E+00	0.192E+04	0.127E+02	0.2113E+00	0.224E+04	0.143E+02
0.1928E+00	0.203E+04	0.127E+02	0.2118E+00	0.224E+04	0.141E+02
0.1932E+00	0.193E+04	0.125E+02	0.2123E+00	0.217E+04	0.137E+02
0.1936E+00	0.204E+04	0.130E+02	0.2128E+00	0.210E+04	0.137E+02
0.1941E+00	0.201E+04	0.128E+02	0.2133E+00	0.223E+04	0.143E+02
0.1945E+00	0.195E+04	0.127E+02	0.2138E+00	0.229E+04	0.147E+02

Table 1: (Continued).

E_n (eV)	$\sigma_{n,\gamma}$ (b)	$\Delta\sigma_{n,\gamma}$ (b)	E_n (eV)	$\sigma_{n,\gamma}$ (b)	$\Delta\sigma_{n,\gamma}$ (b)
0.2143E+00	0.227E+04	0.148E+02	0.2355E+00	0.266E+04	0.162E+02
0.2148E+00	0.226E+04	0.145E+02	0.2360E+00	0.266E+04	0.165E+02
0.2153E+00	0.225E+04	0.141E+02	0.2366E+00	0.266E+04	0.162E+02
0.2158E+00	0.232E+04	0.147E+02	0.2371E+00	0.266E+04	0.164E+02
0.2163E+00	0.237E+04	0.151E+02	0.2377E+00	0.261E+04	0.164E+02
0.2168E+00	0.233E+04	0.154E+02	0.2382E+00	0.273E+04	0.164E+02
0.2173E+00	0.226E+04	0.145E+02	0.2388E+00	0.269E+04	0.167E+02
0.2178E+00	0.228E+04	0.149E+02	0.2393E+00	0.283E+04	0.169E+02
0.2183E+00	0.223E+04	0.144E+02	0.2399E+00	0.272E+04	0.166E+02
0.2188E+00	0.226E+04	0.146E+02	0.2404E+00	0.274E+04	0.172E+02
0.2193E+00	0.219E+04	0.140E+02	0.2410E+00	0.287E+04	0.172E+02
0.2198E+00	0.221E+04	0.146E+02	0.2415E+00	0.285E+04	0.176E+02
0.2203E+00	0.243E+04	0.159E+02	0.2421E+00	0.290E+04	0.177E+02
0.2208E+00	0.229E+04	0.149E+02	0.2427E+00	0.293E+04	0.176E+02
0.2213E+00	0.227E+04	0.151E+02	0.2432E+00	0.280E+04	0.169E+02
0.2218E+00	0.244E+04	0.153E+02	0.2438E+00	0.293E+04	0.171E+02
0.2223E+00	0.228E+04	0.146E+02	0.2443E+00	0.285E+04	0.171E+02
0.2228E+00	0.247E+04	0.154E+02	0.2449E+00	0.293E+04	0.176E+02
0.2234E+00	0.247E+04	0.156E+02	0.2455E+00	0.285E+04	0.171E+02
0.2239E+00	0.247E+04	0.154E+02	0.2460E+00	0.295E+04	0.175E+02
0.2244E+00	0.235E+04	0.155E+02	0.2466E+00	0.296E+04	0.177E+02
0.2249E+00	0.236E+04	0.152E+02	0.2472E+00	0.292E+04	0.174E+02
0.2254E+00	0.233E+04	0.152E+02	0.2477E+00	0.315E+04	0.183E+02
0.2259E+00	0.239E+04	0.152E+02	0.2483E+00	0.297E+04	0.173E+02
0.2265E+00	0.248E+04	0.157E+02	0.2489E+00	0.296E+04	0.177E+02
0.2270E+00	0.238E+04	0.151E+02	0.2495E+00	0.307E+04	0.174E+02
0.2275E+00	0.246E+04	0.154E+02	0.2500E+00	0.318E+04	0.184E+02
0.2280E+00	0.242E+04	0.153E+02	0.2506E+00	0.316E+04	0.184E+02
0.2286E+00	0.263E+04	0.161E+02	0.2512E+00	0.312E+04	0.181E+02
0.2291E+00	0.257E+04	0.159E+02	0.2518E+00	0.301E+04	0.178E+02
0.2296E+00	0.236E+04	0.151E+02	0.2524E+00	0.316E+04	0.182E+02
0.2301E+00	0.252E+04	0.156E+02	0.2529E+00	0.320E+04	0.186E+02
0.2307E+00	0.259E+04	0.160E+02	0.2535E+00	0.324E+04	0.183E+02
0.2312E+00	0.248E+04	0.154E+02	0.2541E+00	0.330E+04	0.189E+02
0.2317E+00	0.266E+04	0.164E+02	0.2547E+00	0.308E+04	0.180E+02
0.2323E+00	0.242E+04	0.151E+02	0.2553E+00	0.332E+04	0.192E+02
0.2328E+00	0.256E+04	0.160E+02	0.2559E+00	0.338E+04	0.190E+02
0.2333E+00	0.252E+04	0.158E+02	0.2564E+00	0.336E+04	0.193E+02
0.2339E+00	0.253E+04	0.158E+02	0.2570E+00	0.342E+04	0.193E+02
0.2344E+00	0.266E+04	0.164E+02	0.2576E+00	0.316E+04	0.180E+02
0.2350E+00	0.260E+04	0.167E+02	0.2582E+00	0.334E+04	0.184E+02

Table 1: (Continued).

E_n (eV)	$\sigma_{n,\gamma}$ (b)	$\Delta\sigma_{n,\gamma}$ (b)	E_n (eV)	$\sigma_{n,\gamma}$ (b)	$\Delta\sigma_{n,\gamma}$ (b)
0.2588E+00	0.333E+04	0.186E+02	0.2844E+00	0.501E+04	0.247E+02
0.2594E+00	0.346E+04	0.194E+02	0.2851E+00	0.504E+04	0.247E+02
0.2600E+00	0.341E+04	0.193E+02	0.2858E+00	0.480E+04	0.234E+02
0.2606E+00	0.344E+04	0.193E+02	0.2864E+00	0.504E+04	0.239E+02
0.2612E+00	0.362E+04	0.198E+02	0.2871E+00	0.511E+04	0.238E+02
0.2618E+00	0.356E+04	0.195E+02	0.2877E+00	0.515E+04	0.244E+02
0.2624E+00	0.357E+04	0.199E+02	0.2884E+00	0.508E+04	0.238E+02
0.2630E+00	0.353E+04	0.193E+02	0.2891E+00	0.504E+04	0.239E+02
0.2636E+00	0.351E+04	0.198E+02	0.2897E+00	0.506E+04	0.240E+02
0.2642E+00	0.366E+04	0.203E+02	0.2904E+00	0.528E+04	0.249E+02
0.2648E+00	0.367E+04	0.199E+02	0.2911E+00	0.542E+04	0.248E+02
0.2655E+00	0.379E+04	0.202E+02	0.2917E+00	0.528E+04	0.245E+02
0.2661E+00	0.374E+04	0.204E+02	0.2924E+00	0.538E+04	0.246E+02
0.2667E+00	0.369E+04	0.208E+02	0.2931E+00	0.549E+04	0.251E+02
0.2673E+00	0.387E+04	0.209E+02	0.2938E+00	0.545E+04	0.248E+02
0.2679E+00	0.370E+04	0.197E+02	0.2944E+00	0.570E+04	0.258E+02
0.2685E+00	0.378E+04	0.201E+02	0.2951E+00	0.540E+04	0.244E+02
0.2691E+00	0.383E+04	0.204E+02	0.2958E+00	0.588E+04	0.258E+02
0.2698E+00	0.393E+04	0.209E+02	0.2965E+00	0.570E+04	0.258E+02
0.2704E+00	0.385E+04	0.204E+02	0.2972E+00	0.592E+04	0.262E+02
0.2710E+00	0.393E+04	0.210E+02	0.2979E+00	0.589E+04	0.258E+02
0.2716E+00	0.386E+04	0.207E+02	0.2985E+00	0.593E+04	0.261E+02
0.2723E+00	0.407E+04	0.215E+02	0.2992E+00	0.578E+04	0.257E+02
0.2729E+00	0.410E+04	0.215E+02	0.2999E+00	0.613E+04	0.266E+02
0.2735E+00	0.426E+04	0.217E+02	0.3006E+00	0.606E+04	0.266E+02
0.2742E+00	0.429E+04	0.217E+02	0.3013E+00	0.606E+04	0.266E+02
0.2748E+00	0.425E+04	0.223E+02	0.3020E+00	0.605E+04	0.268E+02
0.2754E+00	0.405E+04	0.208E+02	0.3027E+00	0.618E+04	0.271E+02
0.2761E+00	0.439E+04	0.221E+02	0.3034E+00	0.643E+04	0.275E+02
0.2767E+00	0.427E+04	0.214E+02	0.3041E+00	0.626E+04	0.267E+02
0.2773E+00	0.418E+04	0.216E+02	0.3048E+00	0.652E+04	0.275E+02
0.2780E+00	0.443E+04	0.221E+02	0.3055E+00	0.671E+04	0.283E+02
0.2786E+00	0.452E+04	0.224E+02	0.3062E+00	0.633E+04	0.273E+02
0.2792E+00	0.450E+04	0.222E+02	0.3069E+00	0.644E+04	0.271E+02
0.2799E+00	0.451E+04	0.228E+02	0.3076E+00	0.659E+04	0.275E+02
0.2805E+00	0.457E+04	0.227E+02	0.3083E+00	0.637E+04	0.270E+02
0.2812E+00	0.470E+04	0.235E+02	0.3090E+00	0.643E+04	0.270E+02
0.2818E+00	0.462E+04	0.226E+02	0.3097E+00	0.675E+04	0.281E+02
0.2825E+00	0.470E+04	0.227E+02	0.3105E+00	0.672E+04	0.280E+02
0.2831E+00	0.474E+04	0.233E+02	0.3112E+00	0.711E+04	0.293E+02
0.2838E+00	0.481E+04	0.231E+02	0.3119E+00	0.699E+04	0.286E+02

Table 1: (Continued).

E_n (eV)	$\sigma_{n,\gamma}$ (b)	$\Delta\sigma_{n,\gamma}$ (b)	E_n (eV)	$\sigma_{n,\gamma}$ (b)	$\Delta\sigma_{n,\gamma}$ (b)
0.3126E+00	0.668E+04	0.281E+02	0.3436E+00	0.721E+04	0.291E+02
0.3133E+00	0.699E+04	0.282E+02	0.3444E+00	0.754E+04	0.298E+02
0.3140E+00	0.705E+04	0.287E+02	0.3451E+00	0.742E+04	0.296E+02
0.3148E+00	0.713E+04	0.290E+02	0.3459E+00	0.784E+04	0.312E+02
0.3155E+00	0.715E+04	0.286E+02	0.3467E+00	0.750E+04	0.299E+02
0.3162E+00	0.709E+04	0.288E+02	0.3475E+00	0.767E+04	0.302E+02
0.3170E+00	0.720E+04	0.291E+02	0.3483E+00	0.758E+04	0.302E+02
0.3177E+00	0.731E+04	0.292E+02	0.3491E+00	0.783E+04	0.310E+02
0.3184E+00	0.745E+04	0.296E+02	0.3499E+00	0.739E+04	0.295E+02
0.3192E+00	0.713E+04	0.290E+02	0.3507E+00	0.772E+04	0.302E+02
0.3199E+00	0.742E+04	0.295E+02	0.3516E+00	0.763E+04	0.302E+02
0.3206E+00	0.755E+04	0.301E+02	0.3524E+00	0.759E+04	0.299E+02
0.3214E+00	0.742E+04	0.298E+02	0.3532E+00	0.784E+04	0.311E+02
0.3221E+00	0.742E+04	0.296E+02	0.3540E+00	0.760E+04	0.301E+02
0.3228E+00	0.735E+04	0.293E+02	0.3548E+00	0.746E+04	0.296E+02
0.3236E+00	0.748E+04	0.296E+02	0.3556E+00	0.776E+04	0.305E+02
0.3243E+00	0.715E+04	0.289E+02	0.3564E+00	0.761E+04	0.301E+02
0.3251E+00	0.764E+04	0.307E+02	0.3573E+00	0.769E+04	0.304E+02
0.3258E+00	0.759E+04	0.300E+02	0.3581E+00	0.775E+04	0.303E+02
0.3266E+00	0.745E+04	0.296E+02	0.3589E+00	0.738E+04	0.292E+02
0.3273E+00	0.759E+04	0.296E+02	0.3598E+00	0.767E+04	0.303E+02
0.3281E+00	0.756E+04	0.298E+02	0.3606E+00	0.764E+04	0.299E+02
0.3289E+00	0.766E+04	0.299E+02	0.3614E+00	0.777E+04	0.308E+02
0.3296E+00	0.768E+04	0.305E+02	0.3622E+00	0.765E+04	0.302E+02
0.3304E+00	0.746E+04	0.297E+02	0.3631E+00	0.792E+04	0.307E+02
0.3311E+00	0.747E+04	0.296E+02	0.3639E+00	0.783E+04	0.306E+02
0.3319E+00	0.751E+04	0.294E+02	0.3647E+00	0.771E+04	0.303E+02
0.3327E+00	0.732E+04	0.291E+02	0.3656E+00	0.783E+04	0.308E+02
0.3334E+00	0.764E+04	0.301E+02	0.3664E+00	0.787E+04	0.306E+02
0.3342E+00	0.746E+04	0.292E+02	0.3673E+00	0.789E+04	0.308E+02
0.3350E+00	0.776E+04	0.306E+02	0.3681E+00	0.795E+04	0.307E+02
0.3357E+00	0.752E+04	0.300E+02	0.3690E+00	0.797E+04	0.307E+02
0.3365E+00	0.758E+04	0.300E+02	0.3698E+00	0.799E+04	0.313E+02
0.3373E+00	0.772E+04	0.308E+02	0.3707E+00	0.806E+04	0.310E+02
0.3381E+00	0.771E+04	0.307E+02	0.3715E+00	0.845E+04	0.323E+02
0.3388E+00	0.737E+04	0.291E+02	0.3724E+00	0.819E+04	0.315E+02
0.3396E+00	0.737E+04	0.293E+02	0.3733E+00	0.821E+04	0.317E+02
0.3404E+00	0.758E+04	0.299E+02	0.3741E+00	0.861E+04	0.326E+02
0.3412E+00	0.764E+04	0.302E+02	0.3750E+00	0.849E+04	0.320E+02
0.3420E+00	0.780E+04	0.308E+02	0.3758E+00	0.853E+04	0.320E+02
0.3428E+00	0.747E+04	0.292E+02	0.3767E+00	0.853E+04	0.324E+02

Table 1: (Continued).

E_n (eV)	$\sigma_{n,\gamma}$ (b)	$\Delta\sigma_{n,\gamma}$ (b)	E_n (eV)	$\sigma_{n,\gamma}$ (b)	$\Delta\sigma_{n,\gamma}$ (b)
0.3776E+00	0.838E+04	0.316E+02	0.4150E+00	0.143E+05	0.429E+02
0.3784E+00	0.878E+04	0.324E+02	0.4159E+00	0.154E+05	0.446E+02
0.3793E+00	0.860E+04	0.322E+02	0.4169E+00	0.154E+05	0.444E+02
0.3802E+00	0.862E+04	0.317E+02	0.4178E+00	0.156E+05	0.444E+02
0.3811E+00	0.883E+04	0.329E+02	0.4188E+00	0.154E+05	0.441E+02
0.3819E+00	0.891E+04	0.330E+02	0.4198E+00	0.161E+05	0.453E+02
0.3828E+00	0.867E+04	0.323E+02	0.4207E+00	0.164E+05	0.460E+02
0.3837E+00	0.889E+04	0.328E+02	0.4217E+00	0.166E+05	0.463E+02
0.3846E+00	0.918E+04	0.330E+02	0.4227E+00	0.165E+05	0.459E+02
0.3855E+00	0.918E+04	0.333E+02	0.4236E+00	0.167E+05	0.458E+02
0.3864E+00	0.936E+04	0.338E+02	0.4246E+00	0.168E+05	0.462E+02
0.3873E+00	0.936E+04	0.337E+02	0.4256E+00	0.171E+05	0.472E+02
0.3882E+00	0.101E+05	0.352E+02	0.4266E+00	0.181E+05	0.488E+02
0.3891E+00	0.971E+04	0.341E+02	0.4276E+00	0.183E+05	0.485E+02
0.3899E+00	0.954E+04	0.339E+02	0.4286E+00	0.185E+05	0.487E+02
0.3908E+00	0.103E+05	0.361E+02	0.4295E+00	0.184E+05	0.490E+02
0.3917E+00	0.101E+05	0.347E+02	0.4305E+00	0.192E+05	0.499E+02
0.3926E+00	0.102E+05	0.353E+02	0.4315E+00	0.191E+05	0.494E+02
0.3936E+00	0.105E+05	0.363E+02	0.4325E+00	0.186E+05	0.484E+02
0.3945E+00	0.107E+05	0.364E+02	0.4335E+00	0.189E+05	0.487E+02
0.3954E+00	0.111E+05	0.372E+02	0.4345E+00	0.187E+05	0.482E+02
0.3963E+00	0.107E+05	0.360E+02	0.4355E+00	0.196E+05	0.504E+02
0.3972E+00	0.112E+05	0.375E+02	0.4365E+00	0.197E+05	0.505E+02
0.3981E+00	0.108E+05	0.356E+02	0.4375E+00	0.198E+05	0.504E+02
0.3990E+00	0.111E+05	0.373E+02	0.4385E+00	0.200E+05	0.500E+02
0.3999E+00	0.111E+05	0.362E+02	0.4395E+00	0.201E+05	0.510E+02
0.4009E+00	0.117E+05	0.381E+02	0.4405E+00	0.211E+05	0.540E+02
0.4018E+00	0.122E+05	0.393E+02	0.4416E+00	0.199E+05	0.494E+02
0.4027E+00	0.119E+05	0.387E+02	0.4426E+00	0.204E+05	0.501E+02
0.4036E+00	0.126E+05	0.404E+02	0.4436E+00	0.210E+05	0.523E+02
0.4046E+00	0.121E+05	0.387E+02	0.4446E+00	0.210E+05	0.515E+02
0.4055E+00	0.131E+05	0.409E+02	0.4457E+00	0.214E+05	0.532E+02
0.4064E+00	0.133E+05	0.406E+02	0.4467E+00	0.209E+05	0.519E+02
0.4074E+00	0.130E+05	0.406E+02	0.4477E+00	0.215E+05	0.531E+02
0.4083E+00	0.133E+05	0.410E+02	0.4487E+00	0.214E+05	0.520E+02
0.4093E+00	0.135E+05	0.415E+02	0.4498E+00	0.213E+05	0.519E+02
0.4102E+00	0.135E+05	0.407E+02	0.4508E+00	0.218E+05	0.542E+02
0.4112E+00	0.137E+05	0.417E+02	0.4519E+00	0.219E+05	0.533E+02
0.4121E+00	0.142E+05	0.427E+02	0.4529E+00	0.217E+05	0.529E+02
0.4130E+00	0.145E+05	0.435E+02	0.4539E+00	0.221E+05	0.538E+02
0.4140E+00	0.143E+05	0.432E+02	0.4550E+00	0.219E+05	0.537E+02

Table 1: (Continued).

E_n (eV)	$\sigma_{n,\gamma}$ (b)	$\Delta\sigma_{n,\gamma}$ (b)	E_n (eV)	$\sigma_{n,\gamma}$ (b)	$\Delta\sigma_{n,\gamma}$ (b)
0.4560E+00	0.215E+05	0.521E+02	0.5012E+00	0.126E+05	0.411E+02
0.4571E+00	0.220E+05	0.539E+02	0.5023E+00	0.128E+05	0.414E+02
0.4581E+00	0.219E+05	0.536E+02	0.5035E+00	0.119E+05	0.398E+02
0.4592E+00	0.217E+05	0.529E+02	0.5047E+00	0.117E+05	0.391E+02
0.4603E+00	0.219E+05	0.537E+02	0.5058E+00	0.116E+05	0.393E+02
0.4613E+00	0.215E+05	0.521E+02	0.5070E+00	0.111E+05	0.383E+02
0.4624E+00	0.219E+05	0.537E+02	0.5082E+00	0.110E+05	0.383E+02
0.4635E+00	0.219E+05	0.545E+02	0.5093E+00	0.107E+05	0.373E+02
0.4645E+00	0.209E+05	0.526E+02	0.5105E+00	0.103E+05	0.364E+02
0.4656E+00	0.211E+05	0.529E+02	0.5117E+00	0.104E+05	0.373E+02
0.4667E+00	0.214E+05	0.531E+02	0.5129E+00	0.102E+05	0.373E+02
0.4677E+00	0.206E+05	0.512E+02	0.5140E+00	0.101E+05	0.369E+02
0.4688E+00	0.201E+05	0.512E+02	0.5152E+00	0.963E+04	0.354E+02
0.4699E+00	0.205E+05	0.521E+02	0.5164E+00	0.927E+04	0.351E+02
0.4710E+00	0.201E+05	0.514E+02	0.5176E+00	0.918E+04	0.348E+02
0.4721E+00	0.200E+05	0.512E+02	0.5188E+00	0.877E+04	0.343E+02
0.4732E+00	0.197E+05	0.504E+02	0.5200E+00	0.856E+04	0.338E+02
0.4742E+00	0.195E+05	0.504E+02	0.5212E+00	0.845E+04	0.336E+02
0.4753E+00	0.195E+05	0.507E+02	0.5224E+00	0.843E+04	0.337E+02
0.4764E+00	0.189E+05	0.494E+02	0.5236E+00	0.816E+04	0.327E+02
0.4775E+00	0.191E+05	0.504E+02	0.5248E+00	0.760E+04	0.323E+02
0.4786E+00	0.191E+05	0.506E+02	0.5260E+00	0.778E+04	0.318E+02
0.4797E+00	0.182E+05	0.489E+02	0.5272E+00	0.756E+04	0.315E+02
0.4808E+00	0.179E+05	0.491E+02	0.5285E+00	0.750E+04	0.318E+02
0.4820E+00	0.181E+05	0.492E+02	0.5297E+00	0.712E+04	0.306E+02
0.4831E+00	0.176E+05	0.479E+02	0.5309E+00	0.701E+04	0.303E+02
0.4842E+00	0.173E+05	0.476E+02	0.5321E+00	0.695E+04	0.302E+02
0.4853E+00	0.168E+05	0.462E+02	0.5333E+00	0.674E+04	0.299E+02
0.4864E+00	0.167E+05	0.471E+02	0.5346E+00	0.649E+04	0.293E+02
0.4875E+00	0.168E+05	0.472E+02	0.5358E+00	0.643E+04	0.292E+02
0.4886E+00	0.154E+05	0.448E+02	0.5370E+00	0.628E+04	0.296E+02
0.4898E+00	0.153E+05	0.443E+02	0.5383E+00	0.576E+04	0.281E+02
0.4909E+00	0.152E+05	0.452E+02	0.5395E+00	0.600E+04	0.287E+02
0.4920E+00	0.148E+05	0.439E+02	0.5408E+00	0.574E+04	0.271E+02
0.4932E+00	0.150E+05	0.444E+02	0.5420E+00	0.578E+04	0.276E+02
0.4943E+00	0.143E+05	0.437E+02	0.5433E+00	0.541E+04	0.269E+02
0.4954E+00	0.141E+05	0.430E+02	0.5445E+00	0.529E+04	0.259E+02
0.4966E+00	0.139E+05	0.436E+02	0.5458E+00	0.510E+04	0.257E+02
0.4977E+00	0.141E+05	0.437E+02	0.5470E+00	0.511E+04	0.261E+02
0.4989E+00	0.133E+05	0.422E+02	0.5483E+00	0.496E+04	0.250E+02
0.5000E+00	0.132E+05	0.414E+02	0.5495E+00	0.493E+04	0.256E+02

Table 1: (Continued).

E_n (eV)	$\sigma_{n,\gamma}$ (b)	$\Delta\sigma_{n,\gamma}$ (b)	E_n (eV)	$\sigma_{n,\gamma}$ (b)	$\Delta\sigma_{n,\gamma}$ (b)
0.5508E+00	0.477E+04	0.250E+02	0.6053E+00	0.219E+04	0.174E+02
0.5521E+00	0.471E+04	0.243E+02	0.6067E+00	0.203E+04	0.160E+02
0.5533E+00	0.475E+04	0.251E+02	0.6081E+00	0.200E+04	0.160E+02
0.5546E+00	0.447E+04	0.244E+02	0.6095E+00	0.206E+04	0.163E+02
0.5559E+00	0.451E+04	0.250E+02	0.6109E+00	0.205E+04	0.163E+02
0.5572E+00	0.430E+04	0.235E+02	0.6123E+00	0.198E+04	0.160E+02
0.5585E+00	0.438E+04	0.253E+02	0.6138E+00	0.201E+04	0.167E+02
0.5598E+00	0.409E+04	0.231E+02	0.6152E+00	0.193E+04	0.157E+02
0.5610E+00	0.387E+04	0.224E+02	0.6166E+00	0.182E+04	0.157E+02
0.5623E+00	0.387E+04	0.221E+02	0.6180E+00	0.185E+04	0.156E+02
0.5636E+00	0.377E+04	0.219E+02	0.6194E+00	0.176E+04	0.153E+02
0.5649E+00	0.384E+04	0.223E+02	0.6209E+00	0.179E+04	0.154E+02
0.5662E+00	0.380E+04	0.219E+02	0.6223E+00	0.170E+04	0.144E+02
0.5675E+00	0.370E+04	0.224E+02	0.6237E+00	0.168E+04	0.146E+02
0.5688E+00	0.363E+04	0.217E+02	0.6252E+00	0.171E+04	0.147E+02
0.5702E+00	0.352E+04	0.215E+02	0.6266E+00	0.175E+04	0.154E+02
0.5715E+00	0.352E+04	0.220E+02	0.6281E+00	0.170E+04	0.148E+02
0.5728E+00	0.334E+04	0.204E+02	0.6295E+00	0.166E+04	0.144E+02
0.5741E+00	0.330E+04	0.209E+02	0.6310E+00	0.160E+04	0.145E+02
0.5754E+00	0.327E+04	0.207E+02	0.6324E+00	0.160E+04	0.155E+02
0.5768E+00	0.313E+04	0.200E+02	0.6339E+00	0.158E+04	0.146E+02
0.5781E+00	0.303E+04	0.197E+02	0.6353E+00	0.154E+04	0.143E+02
0.5794E+00	0.299E+04	0.194E+02	0.6368E+00	0.149E+04	0.140E+02
0.5808E+00	0.299E+04	0.200E+02	0.6383E+00	0.149E+04	0.135E+02
0.5821E+00	0.291E+04	0.195E+02	0.6397E+00	0.152E+04	0.139E+02
0.5835E+00	0.279E+04	0.195E+02	0.6412E+00	0.147E+04	0.133E+02
0.5848E+00	0.274E+04	0.189E+02	0.6427E+00	0.150E+04	0.139E+02
0.5861E+00	0.281E+04	0.192E+02	0.6442E+00	0.146E+04	0.139E+02
0.5875E+00	0.280E+04	0.194E+02	0.6457E+00	0.135E+04	0.130E+02
0.5888E+00	0.260E+04	0.187E+02	0.6471E+00	0.143E+04	0.138E+02
0.5902E+00	0.267E+04	0.184E+02	0.6486E+00	0.134E+04	0.134E+02
0.5916E+00	0.256E+04	0.181E+02	0.6501E+00	0.129E+04	0.129E+02
0.5929E+00	0.253E+04	0.182E+02	0.6516E+00	0.126E+04	0.128E+02
0.5943E+00	0.249E+04	0.179E+02	0.6531E+00	0.126E+04	0.122E+02
0.5957E+00	0.238E+04	0.184E+02	0.6546E+00	0.130E+04	0.128E+02
0.5970E+00	0.240E+04	0.181E+02	0.6561E+00	0.124E+04	0.129E+02
0.5984E+00	0.222E+04	0.170E+02	0.6577E+00	0.126E+04	0.127E+02
0.5998E+00	0.217E+04	0.171E+02	0.6592E+00	0.124E+04	0.136E+02
0.6012E+00	0.228E+04	0.176E+02	0.6607E+00	0.111E+04	0.119E+02
0.6026E+00	0.211E+04	0.165E+02	0.6622E+00	0.124E+04	0.125E+02
0.6040E+00	0.219E+04	0.170E+02	0.6637E+00	0.122E+04	0.127E+02

Table 1: (Continued).

E_n (eV)	$\sigma_{n,\gamma}$ (b)	$\Delta\sigma_{n,\gamma}$ (b)	E_n (eV)	$\sigma_{n,\gamma}$ (b)	$\Delta\sigma_{n,\gamma}$ (b)
0.6653E+00	0.116E+04	0.120E+02	0.7311E+00	0.709E+03	0.954E+01
0.6668E+00	0.113E+04	0.119E+02	0.7328E+00	0.752E+03	0.980E+01
0.6683E+00	0.115E+04	0.117E+02	0.7345E+00	0.697E+03	0.101E+02
0.6699E+00	0.114E+04	0.127E+02	0.7362E+00	0.674E+03	0.878E+01
0.6714E+00	0.106E+04	0.117E+02	0.7379E+00	0.686E+03	0.909E+01
0.6730E+00	0.108E+04	0.118E+02	0.7396E+00	0.695E+03	0.936E+01
0.6745E+00	0.105E+04	0.118E+02	0.7413E+00	0.701E+03	0.918E+01
0.6761E+00	0.111E+04	0.123E+02	0.7430E+00	0.673E+03	0.945E+01
0.6776E+00	0.109E+04	0.118E+02	0.7447E+00	0.667E+03	0.101E+02
0.6792E+00	0.963E+03	0.109E+02	0.7465E+00	0.698E+03	0.954E+01
0.6808E+00	0.989E+03	0.114E+02	0.7482E+00	0.725E+03	0.954E+01
0.6823E+00	0.103E+04	0.115E+02	0.7499E+00	0.644E+03	0.848E+01
0.6839E+00	0.101E+04	0.114E+02	0.7516E+00	0.717E+03	0.945E+01
0.6855E+00	0.945E+03	0.119E+02	0.7534E+00	0.687E+03	0.963E+01
0.6871E+00	0.980E+03	0.110E+02	0.7551E+00	0.623E+03	0.877E+01
0.6887E+00	0.881E+03	0.103E+02	0.7568E+00	0.656E+03	0.927E+01
0.6902E+00	0.101E+04	0.119E+02	0.7586E+00	0.646E+03	0.954E+01
0.6918E+00	0.945E+03	0.105E+02	0.7603E+00	0.627E+03	0.879E+01
0.6934E+00	0.860E+03	0.102E+02	0.7621E+00	0.694E+03	0.945E+01
0.6950E+00	0.891E+03	0.104E+02	0.7638E+00	0.590E+03	0.827E+01
0.6966E+00	0.909E+03	0.104E+02	0.7656E+00	0.577E+03	0.859E+01
0.6982E+00	0.927E+03	0.111E+02	0.7674E+00	0.560E+03	0.817E+01
0.6998E+00	0.900E+03	0.107E+02	0.7691E+00	0.607E+03	0.849E+01
0.7015E+00	0.869E+03	0.103E+02	0.7709E+00	0.578E+03	0.812E+01
0.7031E+00	0.888E+03	0.104E+02	0.7727E+00	0.607E+03	0.891E+01
0.7047E+00	0.886E+03	0.107E+02	0.7745E+00	0.582E+03	0.828E+01
0.7063E+00	0.824E+03	0.102E+02	0.7763E+00	0.563E+03	0.843E+01
0.7079E+00	0.861E+03	0.103E+02	0.7780E+00	0.583E+03	0.832E+01
0.7096E+00	0.791E+03	0.102E+02	0.7798E+00	0.572E+03	0.823E+01
0.7112E+00	0.824E+03	0.102E+02	0.7816E+00	0.577E+03	0.822E+01
0.7128E+00	0.833E+03	0.105E+02	0.7834E+00	0.600E+03	0.861E+01
0.7145E+00	0.832E+03	0.104E+02	0.7852E+00	0.578E+03	0.824E+01
0.7161E+00	0.784E+03	0.103E+02	0.7871E+00	0.570E+03	0.874E+01
0.7178E+00	0.783E+03	0.101E+02	0.7889E+00	0.555E+03	0.807E+01
0.7194E+00	0.803E+03	0.101E+02	0.7907E+00	0.590E+03	0.909E+01
0.7211E+00	0.680E+03	0.900E+01	0.7925E+00	0.570E+03	0.840E+01
0.7228E+00	0.739E+03	0.963E+01	0.7943E+00	0.570E+03	0.845E+01
0.7244E+00	0.787E+03	0.108E+02	0.7962E+00	0.518E+03	0.813E+01
0.7261E+00	0.714E+03	0.900E+01	0.7980E+00	0.529E+03	0.793E+01
0.7278E+00	0.665E+03	0.918E+01	0.7998E+00	0.556E+03	0.835E+01
0.7295E+00	0.746E+03	0.936E+01	0.8017E+00	0.496E+03	0.781E+01

Table 1: (Continued).

E_n (eV)	$\sigma_{n,\gamma}$ (b)	$\Delta\sigma_{n,\gamma}$ (b)	E_n (eV)	$\sigma_{n,\gamma}$ (b)	$\Delta\sigma_{n,\gamma}$ (b)
0.8035E+00	0.521E+03	0.837E+01	0.8831E+00	0.512E+03	0.816E+01
0.8054E+00	0.571E+03	0.852E+01	0.8851E+00	0.533E+03	0.832E+01
0.8072E+00	0.553E+03	0.802E+01	0.8872E+00	0.561E+03	0.881E+01
0.8091E+00	0.572E+03	0.818E+01	0.8892E+00	0.569E+03	0.831E+01
0.8110E+00	0.539E+03	0.805E+01	0.8913E+00	0.539E+03	0.824E+01
0.8128E+00	0.497E+03	0.771E+01	0.8933E+00	0.570E+03	0.834E+01
0.8147E+00	0.522E+03	0.772E+01	0.8954E+00	0.508E+03	0.773E+01
0.8166E+00	0.505E+03	0.758E+01	0.8974E+00	0.594E+03	0.873E+01
0.8185E+00	0.525E+03	0.806E+01	0.8995E+00	0.560E+03	0.809E+01
0.8203E+00	0.505E+03	0.772E+01	0.9016E+00	0.592E+03	0.945E+01
0.8222E+00	0.553E+03	0.831E+01	0.9036E+00	0.556E+03	0.809E+01
0.8241E+00	0.563E+03	0.830E+01	0.9057E+00	0.621E+03	0.873E+01
0.8260E+00	0.538E+03	0.799E+01	0.9078E+00	0.643E+03	0.858E+01
0.8279E+00	0.510E+03	0.771E+01	0.9099E+00	0.579E+03	0.830E+01
0.8299E+00	0.512E+03	0.828E+01	0.9120E+00	0.620E+03	0.891E+01
0.8318E+00	0.563E+03	0.824E+01	0.9141E+00	0.619E+03	0.857E+01
0.8337E+00	0.532E+03	0.824E+01	0.9162E+00	0.616E+03	0.877E+01
0.8356E+00	0.486E+03	0.745E+01	0.9183E+00	0.623E+03	0.918E+01
0.8375E+00	0.473E+03	0.742E+01	0.9204E+00	0.668E+03	0.927E+01
0.8395E+00	0.520E+03	0.810E+01	0.9226E+00	0.695E+03	0.963E+01
0.8414E+00	0.557E+03	0.835E+01	0.9247E+00	0.671E+03	0.936E+01
0.8433E+00	0.517E+03	0.807E+01	0.9268E+00	0.691E+03	0.936E+01
0.8453E+00	0.527E+03	0.790E+01	0.9290E+00	0.705E+03	0.971E+01
0.8472E+00	0.506E+03	0.781E+01	0.9311E+00	0.741E+03	0.954E+01
0.8492E+00	0.532E+03	0.855E+01	0.9333E+00	0.734E+03	0.102E+02
0.8511E+00	0.524E+03	0.772E+01	0.9354E+00	0.742E+03	0.971E+01
0.8531E+00	0.529E+03	0.814E+01	0.9376E+00	0.737E+03	0.936E+01
0.8551E+00	0.485E+03	0.860E+01	0.9397E+00	0.747E+03	0.963E+01
0.8570E+00	0.536E+03	0.820E+01	0.9419E+00	0.825E+03	0.102E+02
0.8590E+00	0.555E+03	0.848E+01	0.9441E+00	0.900E+03	0.118E+02
0.8610E+00	0.528E+03	0.771E+01	0.9462E+00	0.880E+03	0.108E+02
0.8630E+00	0.566E+03	0.936E+01	0.9484E+00	0.862E+03	0.102E+02
0.8650E+00	0.527E+03	0.900E+01	0.9506E+00	0.883E+03	0.103E+02
0.8670E+00	0.532E+03	0.816E+01	0.9528E+00	0.885E+03	0.109E+02
0.8690E+00	0.512E+03	0.814E+01	0.9550E+00	0.918E+03	0.111E+02
0.8710E+00	0.513E+03	0.793E+01	0.9572E+00	0.109E+04	0.120E+02
0.8730E+00	0.542E+03	0.866E+01	0.9594E+00	0.101E+04	0.114E+02
0.8750E+00	0.559E+03	0.848E+01	0.9616E+00	0.110E+04	0.120E+02
0.8770E+00	0.548E+03	0.829E+01	0.9638E+00	0.102E+04	0.113E+02
0.8790E+00	0.577E+03	0.863E+01	0.9661E+00	0.117E+04	0.122E+02
0.8810E+00	0.519E+03	0.778E+01	0.9683E+00	0.118E+04	0.128E+02

Table 1: (Continued).

E_n (eV)	$\sigma_{n,\gamma}$ (b)	$\Delta\sigma_{n,\gamma}$ (b)	E_n (eV)	$\sigma_{n,\gamma}$ (b)	$\Delta\sigma_{n,\gamma}$ (b)
0.9705E+00	0.122E+04	0.138E+02	0.1067E+01	0.309E+04	0.211E+02
0.9728E+00	0.127E+04	0.130E+02	0.1069E+01	0.311E+04	0.213E+02
0.9750E+00	0.124E+04	0.130E+02	0.1071E+01	0.301E+04	0.204E+02
0.9772E+00	0.137E+04	0.135E+02	0.1074E+01	0.302E+04	0.209E+02
0.9795E+00	0.148E+04	0.143E+02	0.1077E+01	0.291E+04	0.212E+02
0.9818E+00	0.154E+04	0.147E+02	0.1079E+01	0.275E+04	0.201E+02
0.9840E+00	0.145E+04	0.139E+02	0.1081E+01	0.259E+04	0.195E+02
0.9863E+00	0.153E+04	0.146E+02	0.1084E+01	0.257E+04	0.189E+02
0.9886E+00	0.162E+04	0.149E+02	0.1086E+01	0.240E+04	0.181E+02
0.9908E+00	0.159E+04	0.143E+02	0.1089E+01	0.229E+04	0.178E+02
0.9931E+00	0.175E+04	0.159E+02	0.1091E+01	0.237E+04	0.184E+02
0.9954E+00	0.181E+04	0.162E+02	0.1094E+01	0.208E+04	0.169E+02
0.9977E+00	0.198E+04	0.167E+02	0.1097E+01	0.198E+04	0.162E+02
0.1000E+01	0.196E+04	0.163E+02	0.1099E+01	0.199E+04	0.164E+02
0.1002E+01	0.196E+04	0.166E+02	0.1102E+01	0.173E+04	0.160E+02
0.1005E+01	0.216E+04	0.177E+02	0.1104E+01	0.174E+04	0.152E+02
0.1007E+01	0.226E+04	0.179E+02	0.1107E+01	0.173E+04	0.156E+02
0.1009E+01	0.231E+04	0.184E+02	0.1109E+01	0.159E+04	0.147E+02
0.1012E+01	0.239E+04	0.184E+02	0.1112E+01	0.149E+04	0.139E+02
0.1014E+01	0.252E+04	0.194E+02	0.1114E+01	0.151E+04	0.146E+02
0.1016E+01	0.262E+04	0.192E+02	0.1117E+01	0.135E+04	0.132E+02
0.1019E+01	0.272E+04	0.200E+02	0.1119E+01	0.132E+04	0.133E+02
0.1021E+01	0.277E+04	0.198E+02	0.1122E+01	0.120E+04	0.126E+02
0.1023E+01	0.291E+04	0.201E+02	0.1125E+01	0.121E+04	0.127E+02
0.1026E+01	0.292E+04	0.204E+02	0.1127E+01	0.118E+04	0.126E+02
0.1028E+01	0.303E+04	0.205E+02	0.1130E+01	0.113E+04	0.126E+02
0.1030E+01	0.321E+04	0.217E+02	0.1132E+01	0.111E+04	0.122E+02
0.1033E+01	0.293E+04	0.206E+02	0.1135E+01	0.989E+03	0.116E+02
0.1035E+01	0.318E+04	0.209E+02	0.1138E+01	0.971E+03	0.116E+02
0.1038E+01	0.337E+04	0.219E+02	0.1140E+01	0.918E+03	0.113E+02
0.1040E+01	0.334E+04	0.217E+02	0.1143E+01	0.804E+03	0.102E+02
0.1042E+01	0.341E+04	0.218E+02	0.1145E+01	0.828E+03	0.105E+02
0.1045E+01	0.341E+04	0.219E+02	0.1148E+01	0.809E+03	0.103E+02
0.1047E+01	0.345E+04	0.224E+02	0.1151E+01	0.811E+03	0.104E+02
0.1049E+01	0.357E+04	0.226E+02	0.1153E+01	0.758E+03	0.101E+02
0.1052E+01	0.368E+04	0.232E+02	0.1156E+01	0.696E+03	0.945E+01
0.1054E+01	0.343E+04	0.221E+02	0.1159E+01	0.696E+03	0.945E+01
0.1057E+01	0.332E+04	0.218E+02	0.1161E+01	0.639E+03	0.918E+01
0.1059E+01	0.339E+04	0.218E+02	0.1164E+01	0.585E+03	0.900E+01
0.1062E+01	0.332E+04	0.217E+02	0.1167E+01	0.544E+03	0.828E+01
0.1064E+01	0.322E+04	0.215E+02	0.1169E+01	0.557E+03	0.859E+01

Table 1: (Continued).

E_n (eV)	$\sigma_{n,\gamma}$ (b)	$\Delta\sigma_{n,\gamma}$ (b)	E_n (eV)	$\sigma_{n,\gamma}$ (b)	$\Delta\sigma_{n,\gamma}$ (b)
0.1172E+01	0.551E+03	0.807E+01	0.1288E+01	0.227E+03	0.502E+01
0.1175E+01	0.522E+03	0.847E+01	0.1291E+01	0.216E+03	0.496E+01
0.1178E+01	0.545E+03	0.831E+01	0.1294E+01	0.221E+03	0.506E+01
0.1180E+01	0.500E+03	0.800E+01	0.1297E+01	0.234E+03	0.553E+01
0.1183E+01	0.492E+03	0.758E+01	0.1300E+01	0.213E+03	0.490E+01
0.1186E+01	0.473E+03	0.807E+01	0.1303E+01	0.203E+03	0.502E+01
0.1189E+01	0.459E+03	0.857E+01	0.1306E+01	0.217E+03	0.532E+01
0.1191E+01	0.454E+03	0.758E+01	0.1309E+01	0.172E+03	0.447E+01
0.1194E+01	0.473E+03	0.867E+01	0.1312E+01	0.171E+03	0.462E+01
0.1197E+01	0.462E+03	0.764E+01	0.1315E+01	0.204E+03	0.464E+01
0.1199E+01	0.433E+03	0.718E+01	0.1318E+01	0.197E+03	0.496E+01
0.1202E+01	0.381E+03	0.652E+01	0.1321E+01	0.177E+03	0.535E+01
0.1205E+01	0.381E+03	0.696E+01	0.1324E+01	0.193E+03	0.505E+01
0.1208E+01	0.359E+03	0.683E+01	0.1327E+01	0.185E+03	0.439E+01
0.1211E+01	0.378E+03	0.656E+01	0.1331E+01	0.168E+03	0.458E+01
0.1213E+01	0.309E+03	0.615E+01	0.1334E+01	0.187E+03	0.494E+01
0.1216E+01	0.369E+03	0.668E+01	0.1337E+01	0.177E+03	0.463E+01
0.1219E+01	0.328E+03	0.587E+01	0.1340E+01	0.157E+03	0.439E+01
0.1222E+01	0.367E+03	0.668E+01	0.1343E+01	0.162E+03	0.423E+01
0.1225E+01	0.346E+03	0.642E+01	0.1346E+01	0.151E+03	0.409E+01
0.1227E+01	0.332E+03	0.608E+01	0.1349E+01	0.162E+03	0.464E+01
0.1230E+01	0.296E+03	0.613E+01	0.1352E+01	0.183E+03	0.462E+01
0.1233E+01	0.275E+03	0.570E+01	0.1355E+01	0.177E+03	0.453E+01
0.1236E+01	0.310E+03	0.619E+01	0.1358E+01	0.164E+03	0.468E+01
0.1239E+01	0.304E+03	0.623E+01	0.1361E+01	0.156E+03	0.460E+01
0.1242E+01	0.283E+03	0.591E+01	0.1365E+01	0.161E+03	0.509E+01
0.1245E+01	0.293E+03	0.643E+01	0.1368E+01	0.176E+03	0.455E+01
0.1247E+01	0.255E+03	0.641E+01	0.1371E+01	0.145E+03	0.432E+01
0.1250E+01	0.273E+03	0.566E+01	0.1374E+01	0.149E+03	0.404E+01
0.1253E+01	0.275E+03	0.618E+01	0.1377E+01	0.139E+03	0.373E+01
0.1256E+01	0.256E+03	0.579E+01	0.1380E+01	0.145E+03	0.480E+01
0.1259E+01	0.239E+03	0.520E+01	0.1384E+01	0.130E+03	0.388E+01
0.1262E+01	0.280E+03	0.561E+01	0.1387E+01	0.146E+03	0.394E+01
0.1265E+01	0.269E+03	0.535E+01	0.1390E+01	0.151E+03	0.422E+01
0.1268E+01	0.262E+03	0.617E+01	0.1393E+01	0.118E+03	0.335E+01
0.1271E+01	0.272E+03	0.621E+01	0.1396E+01	0.138E+03	0.414E+01
0.1273E+01	0.279E+03	0.585E+01	0.1400E+01	0.125E+03	0.370E+01
0.1276E+01	0.217E+03	0.532E+01	0.1403E+01	0.141E+03	0.480E+01
0.1279E+01	0.219E+03	0.549E+01	0.1406E+01	0.127E+03	0.346E+01
0.1282E+01	0.235E+03	0.608E+01	0.1409E+01	0.131E+03	0.379E+01
0.1285E+01	0.195E+03	0.471E+01	0.1413E+01	0.145E+03	0.437E+01

Table 1: (Continued).

E_n (eV)	$\sigma_{n,\gamma}$ (b)	$\Delta\sigma_{n,\gamma}$ (b)	E_n (eV)	$\sigma_{n,\gamma}$ (b)	$\Delta\sigma_{n,\gamma}$ (b)
0.1416E+01	0.112E+03	0.334E+01	0.1556E+01	0.909E+02	0.301E+01
0.1419E+01	0.125E+03	0.361E+01	0.1560E+01	0.832E+02	0.299E+01
0.1422E+01	0.126E+03	0.365E+01	0.1563E+01	0.105E+03	0.343E+01
0.1426E+01	0.143E+03	0.431E+01	0.1567E+01	0.103E+03	0.326E+01
0.1429E+01	0.909E+02	0.324E+01	0.1570E+01	0.980E+02	0.340E+01
0.1432E+01	0.125E+03	0.405E+01	0.1574E+01	0.872E+02	0.281E+01
0.1436E+01	0.963E+02	0.322E+01	0.1578E+01	0.110E+03	0.348E+01
0.1439E+01	0.135E+03	0.355E+01	0.1581E+01	0.116E+03	0.326E+01
0.1442E+01	0.131E+03	0.369E+01	0.1585E+01	0.114E+03	0.345E+01
0.1445E+01	0.134E+03	0.373E+01	0.1589E+01	0.909E+02	0.320E+01
0.1449E+01	0.989E+02	0.301E+01	0.1592E+01	0.954E+02	0.334E+01
0.1452E+01	0.129E+03	0.337E+01	0.1596E+01	0.113E+03	0.384E+01
0.1456E+01	0.119E+03	0.389E+01	0.1600E+01	0.918E+02	0.299E+01
0.1459E+01	0.107E+03	0.349E+01	0.1603E+01	0.105E+03	0.341E+01
0.1462E+01	0.101E+03	0.334E+01	0.1607E+01	0.801E+02	0.276E+01
0.1465E+01	0.116E+03	0.346E+01	0.1611E+01	0.113E+03	0.356E+01
0.1469E+01	0.125E+03	0.359E+01	0.1614E+01	0.963E+02	0.304E+01
0.1472E+01	0.127E+03	0.348E+01	0.1618E+01	0.998E+02	0.373E+01
0.1476E+01	0.126E+03	0.397E+01	0.1622E+01	0.108E+03	0.362E+01
0.1479E+01	0.620E+02	0.310E+01	0.1625E+01	0.102E+03	0.419E+01
0.1482E+01	0.132E+03	0.408E+01	0.1629E+01	0.998E+02	0.417E+01
0.1486E+01	0.113E+03	0.333E+01	0.1633E+01	0.963E+02	0.299E+01
0.1489E+01	0.989E+02	0.409E+01	0.1637E+01	0.117E+03	0.365E+01
0.1493E+01	0.471E+02	0.263E+01	0.1641E+01	0.998E+02	0.339E+01
0.1496E+01	0.110E+03	0.384E+01	0.1644E+01	0.107E+03	0.366E+01
0.1500E+01	0.127E+03	0.463E+01	0.1648E+01	0.127E+03	0.362E+01
0.1503E+01	0.115E+03	0.371E+01	0.1652E+01	0.900E+02	0.324E+01
0.1507E+01	0.110E+03	0.363E+01	0.1656E+01	0.909E+02	0.408E+01
0.1510E+01	0.971E+02	0.274E+01	0.1660E+01	0.111E+03	0.385E+01
0.1514E+01	0.837E+02	0.301E+01	0.1663E+01	0.101E+03	0.362E+01
0.1517E+01	0.112E+03	0.385E+01	0.1667E+01	0.122E+03	0.394E+01
0.1520E+01	0.109E+03	0.321E+01	0.1671E+01	0.868E+02	0.303E+01
0.1524E+01	0.112E+03	0.342E+01	0.1675E+01	0.105E+03	0.384E+01
0.1528E+01	0.102E+03	0.346E+01	0.1679E+01	0.131E+03	0.397E+01
0.1531E+01	0.115E+03	0.382E+01	0.1683E+01	0.120E+03	0.406E+01
0.1535E+01	0.105E+03	0.420E+01	0.1687E+01	0.119E+03	0.386E+01
0.1538E+01	0.113E+03	0.344E+01	0.1690E+01	0.117E+03	0.388E+01
0.1542E+01	0.900E+02	0.273E+01	0.1694E+01	0.120E+03	0.398E+01
0.1545E+01	0.119E+03	0.319E+01	0.1698E+01	0.140E+03	0.432E+01
0.1549E+01	0.112E+03	0.311E+01	0.1702E+01	0.127E+03	0.398E+01
0.1552E+01	0.111E+03	0.373E+01	0.1706E+01	0.115E+03	0.366E+01

Table 1: (Continued).

E_n (eV)	$\sigma_{n,\gamma}$ (b)	$\Delta\sigma_{n,\gamma}$ (b)	E_n (eV)	$\sigma_{n,\gamma}$ (b)	$\Delta\sigma_{n,\gamma}$ (b)
0.1710E+01	0.111E+03	0.376E+01	0.1879E+01	0.153E+03	0.438E+01
0.1714E+01	0.165E+03	0.471E+01	0.1884E+01	0.135E+03	0.437E+01
0.1718E+01	0.127E+03	0.406E+01	0.1888E+01	0.117E+03	0.447E+01
0.1722E+01	0.168E+03	0.503E+01	0.1892E+01	0.129E+03	0.398E+01
0.1726E+01	0.153E+03	0.457E+01	0.1897E+01	0.134E+03	0.394E+01
0.1730E+01	0.149E+03	0.427E+01	0.1901E+01	0.127E+03	0.387E+01
0.1734E+01	0.160E+03	0.440E+01	0.1906E+01	0.123E+03	0.370E+01
0.1738E+01	0.193E+03	0.603E+01	0.1910E+01	0.122E+03	0.364E+01
0.1742E+01	0.177E+03	0.471E+01	0.1914E+01	0.117E+03	0.322E+01
0.1746E+01	0.201E+03	0.512E+01	0.1919E+01	0.122E+03	0.396E+01
0.1750E+01	0.193E+03	0.533E+01	0.1923E+01	0.118E+03	0.447E+01
0.1754E+01	0.224E+03	0.561E+01	0.1928E+01	0.101E+03	0.364E+01
0.1758E+01	0.212E+03	0.556E+01	0.1932E+01	0.980E+02	0.340E+01
0.1762E+01	0.190E+03	0.492E+01	0.1936E+01	0.791E+02	0.291E+01
0.1766E+01	0.254E+03	0.688E+01	0.1941E+01	0.106E+03	0.323E+01
0.1770E+01	0.264E+03	0.598E+01	0.1945E+01	0.110E+03	0.440E+01
0.1774E+01	0.233E+03	0.544E+01	0.1950E+01	0.900E+02	0.323E+01
0.1778E+01	0.275E+03	0.697E+01	0.1954E+01	0.104E+03	0.372E+01
0.1782E+01	0.249E+03	0.586E+01	0.1959E+01	0.963E+02	0.328E+01
0.1786E+01	0.277E+03	0.593E+01	0.1963E+01	0.111E+03	0.366E+01
0.1791E+01	0.243E+03	0.518E+01	0.1968E+01	0.866E+02	0.313E+01
0.1795E+01	0.286E+03	0.647E+01	0.1972E+01	0.980E+02	0.326E+01
0.1799E+01	0.283E+03	0.627E+01	0.1977E+01	0.766E+02	0.279E+01
0.1803E+01	0.296E+03	0.699E+01	0.1982E+01	0.752E+02	0.290E+01
0.1807E+01	0.275E+03	0.626E+01	0.1986E+01	0.101E+03	0.362E+01
0.1811E+01	0.266E+03	0.580E+01	0.1991E+01	0.673E+02	0.270E+01
0.1816E+01	0.273E+03	0.555E+01	0.1995E+01	0.880E+02	0.302E+01
0.1820E+01	0.268E+03	0.571E+01	0.2000E+01	0.783E+02	0.301E+01
0.1824E+01	0.273E+03	0.676E+01	0.2004E+01	0.750E+02	0.299E+01
0.1828E+01	0.250E+03	0.539E+01	0.2009E+01	0.793E+02	0.302E+01
0.1832E+01	0.229E+03	0.524E+01	0.2014E+01	0.519E+02	0.214E+01
0.1837E+01	0.263E+03	0.600E+01	0.2018E+01	0.936E+02	0.340E+01
0.1841E+01	0.209E+03	0.545E+01	0.2023E+01	0.801E+02	0.300E+01
0.1845E+01	0.217E+03	0.523E+01	0.2028E+01	0.954E+02	0.355E+01
0.1849E+01	0.202E+03	0.480E+01	0.2032E+01	0.544E+02	0.241E+01
0.1854E+01	0.164E+03	0.454E+01	0.2037E+01	0.745E+02	0.249E+01
0.1858E+01	0.193E+03	0.498E+01	0.2042E+01	0.692E+02	0.249E+01
0.1862E+01	0.185E+03	0.520E+01	0.2046E+01	0.761E+02	0.263E+01
0.1866E+01	0.168E+03	0.539E+01	0.2051E+01	0.572E+02	0.206E+01
0.1871E+01	0.178E+03	0.457E+01	0.2056E+01	0.694E+02	0.301E+01
0.1875E+01	0.168E+03	0.462E+01	0.2061E+01	0.909E+02	0.400E+01

Table 1: (Continued).

E_n (eV)	$\sigma_{n,\gamma}$ (b)	$\Delta\sigma_{n,\gamma}$ (b)	E_n (eV)	$\sigma_{n,\gamma}$ (b)	$\Delta\sigma_{n,\gamma}$ (b)
0.2065E+01	0.536E+02	0.217E+01	0.2270E+01	0.879E+02	0.398E+01
0.2070E+01	0.101E+03	0.373E+01	0.2275E+01	0.658E+02	0.312E+01
0.2075E+01	0.787E+02	0.242E+01	0.2280E+01	0.816E+02	0.447E+01
0.2080E+01	0.679E+02	0.240E+01	0.2286E+01	0.675E+02	0.353E+01
0.2085E+01	0.738E+02	0.320E+01	0.2291E+01	0.502E+02	0.397E+01
0.2089E+01	0.412E+02	0.194E+01	0.2296E+01	0.664E+02	0.339E+01
0.2094E+01	0.742E+02	0.276E+01	0.2301E+01	0.641E+02	0.341E+01
0.2099E+01	0.811E+02	0.314E+01	0.2307E+01	0.577E+02	0.332E+01
0.2104E+01	0.560E+02	0.250E+01	0.2312E+01	0.963E+02	0.406E+01
0.2109E+01	0.684E+02	0.248E+01	0.2317E+01	0.594E+02	0.351E+01
0.2114E+01	0.651E+02	0.270E+01	0.2323E+01	0.891E+02	0.460E+01
0.2118E+01	0.639E+02	0.266E+01	0.2328E+01	0.880E+02	0.443E+01
0.2123E+01	0.653E+02	0.277E+01	0.2333E+01	0.271E+02	0.296E+01
0.2128E+01	0.723E+02	0.319E+01	0.2339E+01	0.570E+02	0.374E+01
0.2133E+01	0.768E+02	0.339E+01	0.2344E+01	0.766E+02	0.460E+01
0.2138E+01	0.820E+02	0.297E+01	0.2350E+01	0.452E+02	0.362E+01
0.2143E+01	0.674E+02	0.268E+01	0.2355E+01	0.648E+02	0.404E+01
0.2148E+01	0.822E+02	0.312E+01	0.2361E+01	0.784E+02	0.499E+01
0.2153E+01	0.731E+02	0.270E+01	0.2366E+01	0.752E+02	0.467E+01
0.2158E+01	0.788E+02	0.303E+01	0.2371E+01	0.560E+02	0.447E+01
0.2163E+01	0.553E+02	0.240E+01	0.2377E+01	0.728E+02	0.517E+01
0.2168E+01	0.810E+02	0.404E+01	0.2382E+01	0.766E+02	0.635E+01
0.2173E+01	0.765E+02	0.294E+01	0.2388E+01	0.595E+02	0.574E+01
0.2178E+01	0.718E+02	0.291E+01	0.2393E+01	0.837E+02	0.591E+01
0.2183E+01	0.621E+02	0.292E+01	0.2399E+01	0.355E+02	0.530E+01
0.2188E+01	0.846E+02	0.340E+01	0.2404E+01	0.566E+02	0.556E+01
0.2193E+01	0.662E+02	0.375E+01	0.2410E+01	0.824E+02	0.650E+01
0.2198E+01	0.661E+02	0.295E+01	0.2415E+01	0.645E+02	0.600E+01
0.2203E+01	0.685E+02	0.308E+01	0.2421E+01	0.574E+02	0.629E+01
0.2208E+01	0.800E+02	0.321E+01	0.2427E+01	0.563E+02	0.611E+01
0.2213E+01	0.777E+02	0.402E+01	0.2432E+01	0.456E+02	0.645E+01
0.2218E+01	0.568E+02	0.314E+01	0.2438E+01	0.679E+02	0.748E+01
0.2223E+01	0.664E+02	0.278E+01	0.2443E+01	0.618E+02	0.679E+01
0.2228E+01	0.728E+02	0.392E+01	0.2449E+01	0.107E+03	0.739E+01
0.2234E+01	0.613E+02	0.273E+01	0.2455E+01	0.998E+02	0.791E+01
0.2239E+01	0.116E+03	0.484E+01	0.2460E+01	0.822E+02	0.697E+01
0.2244E+01	0.679E+02	0.284E+01	0.2466E+01	0.800E+02	0.678E+01
0.2249E+01	0.819E+02	0.337E+01	0.2472E+01	0.663E+02	0.684E+01
0.2254E+01	0.722E+02	0.324E+01	0.2477E+01	0.102E+03	0.732E+01
0.2259E+01	0.834E+02	0.349E+01	0.2483E+01	0.793E+02	0.750E+01
0.2265E+01	0.708E+02	0.332E+01	0.2489E+01	0.971E+02	0.669E+01

Table 1: (Continued).

E_n (eV)	$\sigma_{n,\gamma}$ (b)	$\Delta\sigma_{n,\gamma}$ (b)	E_n (eV)	$\sigma_{n,\gamma}$ (b)	$\Delta\sigma_{n,\gamma}$ (b)
0.2495E+01	0.998E+02	0.641E+01	0.2742E+01	0.101E+04	0.127E+02
0.2500E+01	0.887E+02	0.659E+01	0.2748E+01	0.900E+03	0.112E+02
0.2506E+01	0.879E+02	0.615E+01	0.2754E+01	0.863E+03	0.110E+02
0.2512E+01	0.936E+02	0.579E+01	0.2761E+01	0.927E+03	0.119E+02
0.2518E+01	0.139E+03	0.713E+01	0.2767E+01	0.730E+03	0.107E+02
0.2523E+01	0.143E+03	0.601E+01	0.2773E+01	0.678E+03	0.101E+02
0.2529E+01	0.145E+03	0.575E+01	0.2780E+01	0.632E+03	0.954E+01
0.2535E+01	0.158E+03	0.570E+01	0.2786E+01	0.560E+03	0.857E+01
0.2541E+01	0.145E+03	0.567E+01	0.2793E+01	0.529E+03	0.832E+01
0.2547E+01	0.143E+03	0.545E+01	0.2799E+01	0.463E+03	0.829E+01
0.2553E+01	0.196E+03	0.595E+01	0.2805E+01	0.506E+03	0.824E+01
0.2559E+01	0.204E+03	0.604E+01	0.2812E+01	0.382E+03	0.711E+01
0.2565E+01	0.201E+03	0.580E+01	0.2818E+01	0.330E+03	0.649E+01
0.2570E+01	0.232E+03	0.628E+01	0.2825E+01	0.368E+03	0.716E+01
0.2576E+01	0.277E+03	0.677E+01	0.2831E+01	0.348E+03	0.709E+01
0.2582E+01	0.250E+03	0.642E+01	0.2838E+01	0.311E+03	0.614E+01
0.2588E+01	0.277E+03	0.660E+01	0.2845E+01	0.286E+03	0.699E+01
0.2594E+01	0.299E+03	0.648E+01	0.2851E+01	0.272E+03	0.620E+01
0.2600E+01	0.369E+03	0.776E+01	0.2858E+01	0.260E+03	0.622E+01
0.2606E+01	0.361E+03	0.734E+01	0.2864E+01	0.253E+03	0.552E+01
0.2612E+01	0.430E+03	0.789E+01	0.2871E+01	0.267E+03	0.574E+01
0.2618E+01	0.393E+03	0.783E+01	0.2877E+01	0.234E+03	0.539E+01
0.2624E+01	0.479E+03	0.891E+01	0.2884E+01	0.263E+03	0.602E+01
0.2630E+01	0.455E+03	0.798E+01	0.2891E+01	0.226E+03	0.621E+01
0.2636E+01	0.586E+03	0.101E+02	0.2897E+01	0.224E+03	0.525E+01
0.2642E+01	0.631E+03	0.102E+02	0.2904E+01	0.193E+03	0.469E+01
0.2648E+01	0.649E+03	0.989E+01	0.2911E+01	0.226E+03	0.548E+01
0.2655E+01	0.758E+03	0.110E+02	0.2917E+01	0.209E+03	0.490E+01
0.2661E+01	0.789E+03	0.104E+02	0.2924E+01	0.197E+03	0.532E+01
0.2667E+01	0.838E+03	0.114E+02	0.2931E+01	0.243E+03	0.657E+01
0.2673E+01	0.963E+03	0.121E+02	0.2938E+01	0.223E+03	0.566E+01
0.2679E+01	0.101E+04	0.123E+02	0.2944E+01	0.207E+03	0.512E+01
0.2685E+01	0.102E+04	0.124E+02	0.2951E+01	0.225E+03	0.524E+01
0.2691E+01	0.102E+04	0.123E+02	0.2958E+01	0.239E+03	0.638E+01
0.2698E+01	0.114E+04	0.131E+02	0.2965E+01	0.249E+03	0.585E+01
0.2704E+01	0.114E+04	0.135E+02	0.2972E+01	0.237E+03	0.594E+01
0.2710E+01	0.117E+04	0.138E+02	0.2978E+01	0.258E+03	0.593E+01
0.2716E+01	0.120E+04	0.143E+02	0.2985E+01	0.248E+03	0.675E+01
0.2723E+01	0.109E+04	0.128E+02	0.2992E+01	0.227E+03	0.537E+01
0.2729E+01	0.104E+04	0.116E+02	0.2999E+01	0.258E+03	0.602E+01
0.2735E+01	0.102E+04	0.123E+02	0.3006E+01	0.237E+03	0.556E+01

Table 1: (Continued).

E_n (eV)	$\sigma_{n,\gamma}$ (b)	$\Delta\sigma_{n,\gamma}$ (b)	E_n (eV)	$\sigma_{n,\gamma}$ (b)	$\Delta\sigma_{n,\gamma}$ (b)
0.3013E+01	0.272E+03	0.643E+01	0.3311E+01	0.436E+04	0.273E+02
0.3020E+01	0.266E+03	0.610E+01	0.3319E+01	0.450E+04	0.277E+02
0.3027E+01	0.282E+03	0.699E+01	0.3327E+01	0.504E+04	0.284E+02
0.3034E+01	0.270E+03	0.619E+01	0.3334E+01	0.518E+04	0.298E+02
0.3041E+01	0.313E+03	0.658E+01	0.3342E+01	0.565E+04	0.307E+02
0.3048E+01	0.258E+03	0.627E+01	0.3350E+01	0.575E+04	0.307E+02
0.3055E+01	0.295E+03	0.625E+01	0.3357E+01	0.612E+04	0.316E+02
0.3062E+01	0.313E+03	0.747E+01	0.3365E+01	0.633E+04	0.326E+02
0.3069E+01	0.342E+03	0.703E+01	0.3373E+01	0.620E+04	0.314E+02
0.3076E+01	0.337E+03	0.673E+01	0.3381E+01	0.616E+04	0.323E+02
0.3083E+01	0.340E+03	0.710E+01	0.3388E+01	0.591E+04	0.310E+02
0.3090E+01	0.358E+03	0.707E+01	0.3396E+01	0.534E+04	0.286E+02
0.3097E+01	0.430E+03	0.818E+01	0.3404E+01	0.518E+04	0.283E+02
0.3105E+01	0.394E+03	0.777E+01	0.3412E+01	0.481E+04	0.276E+02
0.3112E+01	0.438E+03	0.838E+01	0.3420E+01	0.468E+04	0.277E+02
0.3119E+01	0.455E+03	0.833E+01	0.3428E+01	0.400E+04	0.263E+02
0.3126E+01	0.468E+03	0.927E+01	0.3436E+01	0.344E+04	0.231E+02
0.3133E+01	0.553E+03	0.927E+01	0.3444E+01	0.313E+04	0.223E+02
0.3141E+01	0.523E+03	0.879E+01	0.3451E+01	0.282E+04	0.212E+02
0.3148E+01	0.639E+03	0.101E+02	0.3459E+01	0.240E+04	0.189E+02
0.3155E+01	0.612E+03	0.945E+01	0.3467E+01	0.216E+04	0.193E+02
0.3162E+01	0.661E+03	0.998E+01	0.3475E+01	0.194E+04	0.181E+02
0.3170E+01	0.655E+03	0.998E+01	0.3483E+01	0.187E+04	0.176E+02
0.3177E+01	0.768E+03	0.110E+02	0.3491E+01	0.158E+04	0.153E+02
0.3184E+01	0.764E+03	0.105E+02	0.3500E+01	0.145E+04	0.148E+02
0.3191E+01	0.927E+03	0.124E+02	0.3507E+01	0.134E+04	0.146E+02
0.3199E+01	0.963E+03	0.125E+02	0.3516E+01	0.117E+04	0.131E+02
0.3206E+01	0.112E+04	0.130E+02	0.3524E+01	0.110E+04	0.125E+02
0.3214E+01	0.111E+04	0.135E+02	0.3532E+01	0.113E+04	0.135E+02
0.3221E+01	0.124E+04	0.151E+02	0.3540E+01	0.112E+04	0.140E+02
0.3228E+01	0.133E+04	0.153E+02	0.3548E+01	0.108E+04	0.141E+02
0.3236E+01	0.148E+04	0.157E+02	0.3556E+01	0.104E+04	0.135E+02
0.3243E+01	0.173E+04	0.168E+02	0.3565E+01	0.104E+04	0.127E+02
0.3251E+01	0.174E+04	0.170E+02	0.3573E+01	0.103E+04	0.123E+02
0.3258E+01	0.204E+04	0.187E+02	0.3581E+01	0.102E+04	0.121E+02
0.3266E+01	0.211E+04	0.184E+02	0.3589E+01	0.110E+04	0.138E+02
0.3273E+01	0.253E+04	0.202E+02	0.3598E+01	0.119E+04	0.137E+02
0.3281E+01	0.285E+04	0.213E+02	0.3606E+01	0.128E+04	0.138E+02
0.3289E+01	0.312E+04	0.225E+02	0.3614E+01	0.143E+04	0.149E+02
0.3296E+01	0.341E+04	0.232E+02	0.3622E+01	0.145E+04	0.152E+02
0.3304E+01	0.384E+04	0.252E+02	0.3631E+01	0.166E+04	0.172E+02

Table 1: (Continued).

E_n (eV)	$\sigma_{n,\gamma}$ (b)	$\Delta\sigma_{n,\gamma}$ (b)	E_n (eV)	$\sigma_{n,\gamma}$ (b)	$\Delta\sigma_{n,\gamma}$ (b)
0.3639E+01	0.162E+04	0.153E+02	0.3999E+01	0.145E+03	0.649E+01
0.3648E+01	0.194E+04	0.176E+02	0.4009E+01	0.140E+03	0.539E+01
0.3656E+01	0.197E+04	0.173E+02	0.4018E+01	0.126E+03	0.592E+01
0.3664E+01	0.225E+04	0.192E+02	0.4027E+01	0.909E+02	0.395E+01
0.3673E+01	0.242E+04	0.193E+02	0.4036E+01	0.138E+03	0.486E+01
0.3681E+01	0.248E+04	0.201E+02	0.4046E+01	0.106E+03	0.433E+01
0.3690E+01	0.266E+04	0.207E+02	0.4055E+01	0.945E+02	0.388E+01
0.3698E+01	0.266E+04	0.205E+02	0.4064E+01	0.998E+02	0.414E+01
0.3707E+01	0.252E+04	0.195E+02	0.4074E+01	0.824E+02	0.426E+01
0.3715E+01	0.274E+04	0.209E+02	0.4083E+01	0.126E+03	0.428E+01
0.3724E+01	0.242E+04	0.196E+02	0.4093E+01	0.106E+03	0.423E+01
0.3733E+01	0.239E+04	0.192E+02	0.4102E+01	0.104E+03	0.471E+01
0.3741E+01	0.206E+04	0.171E+02	0.4111E+01	0.900E+02	0.418E+01
0.3750E+01	0.190E+04	0.169E+02	0.4121E+01	0.793E+02	0.300E+01
0.3758E+01	0.188E+04	0.176E+02	0.4130E+01	0.936E+02	0.370E+01
0.3767E+01	0.148E+04	0.147E+02	0.4140E+01	0.110E+03	0.386E+01
0.3776E+01	0.143E+04	0.158E+02	0.4149E+01	0.102E+03	0.332E+01
0.3784E+01	0.121E+04	0.135E+02	0.4159E+01	0.713E+02	0.270E+01
0.3793E+01	0.112E+04	0.134E+02	0.4169E+01	0.927E+02	0.343E+01
0.3802E+01	0.971E+03	0.127E+02	0.4178E+01	0.800E+02	0.310E+01
0.3811E+01	0.857E+03	0.117E+02	0.4188E+01	0.829E+02	0.318E+01
0.3819E+01	0.716E+03	0.104E+02	0.4198E+01	0.105E+03	0.392E+01
0.3828E+01	0.660E+03	0.104E+02	0.4207E+01	0.694E+02	0.299E+01
0.3837E+01	0.553E+03	0.971E+01	0.4217E+01	0.900E+02	0.350E+01
0.3846E+01	0.517E+03	0.945E+01	0.4227E+01	0.840E+02	0.269E+01
0.3855E+01	0.479E+03	0.900E+01	0.4236E+01	0.103E+03	0.356E+01
0.3864E+01	0.414E+03	0.856E+01	0.4246E+01	0.655E+02	0.284E+01
0.3873E+01	0.348E+03	0.740E+01	0.4256E+01	0.618E+02	0.265E+01
0.3882E+01	0.353E+03	0.807E+01	0.4266E+01	0.457E+02	0.220E+01
0.3891E+01	0.304E+03	0.756E+01	0.4276E+01	0.654E+02	0.264E+01
0.3899E+01	0.317E+03	0.760E+01	0.4286E+01	0.680E+02	0.300E+01
0.3908E+01	0.225E+03	0.659E+01	0.4295E+01	0.728E+02	0.283E+01
0.3917E+01	0.186E+03	0.655E+01	0.4305E+01	0.670E+02	0.279E+01
0.3926E+01	0.265E+03	0.793E+01	0.4315E+01	0.709E+02	0.308E+01
0.3935E+01	0.205E+03	0.767E+01	0.4325E+01	0.628E+02	0.251E+01
0.3945E+01	0.207E+03	0.790E+01	0.4335E+01	0.567E+02	0.221E+01
0.3954E+01	0.209E+03	0.717E+01	0.4345E+01	0.586E+02	0.264E+01
0.3963E+01	0.199E+03	0.683E+01	0.4355E+01	0.615E+02	0.252E+01
0.3972E+01	0.164E+03	0.660E+01	0.4365E+01	0.591E+02	0.279E+01
0.3981E+01	0.177E+03	0.652E+01	0.4375E+01	0.637E+02	0.266E+01
0.3990E+01	0.130E+03	0.521E+01	0.4385E+01	0.658E+02	0.235E+01

Table 1: (Continued).

E_n (eV)	$\sigma_{n,\gamma}$ (b)	$\Delta\sigma_{n,\gamma}$ (b)	E_n (eV)	$\sigma_{n,\gamma}$ (b)	$\Delta\sigma_{n,\gamma}$ (b)
0.4395E+01	0.547E+02	0.269E+01	0.4831E+01	0.857E+02	0.301E+01
0.4405E+01	0.610E+02	0.274E+01	0.4842E+01	0.105E+03	0.447E+01
0.4416E+01	0.757E+02	0.373E+01	0.4853E+01	0.120E+03	0.387E+01
0.4426E+01	0.614E+02	0.263E+01	0.4864E+01	0.855E+02	0.334E+01
0.4436E+01	0.502E+02	0.245E+01	0.4875E+01	0.712E+02	0.284E+01
0.4446E+01	0.586E+02	0.240E+01	0.4886E+01	0.680E+02	0.236E+01
0.4457E+01	0.572E+02	0.242E+01	0.4898E+01	0.643E+02	0.347E+01
0.4467E+01	0.397E+02	0.224E+01	0.4909E+01	0.792E+02	0.365E+01
0.4477E+01	0.412E+02	0.195E+01	0.4920E+01	0.613E+02	0.332E+01
0.4488E+01	0.711E+02	0.281E+01	0.4932E+01	0.489E+02	0.193E+01
0.4498E+01	0.510E+02	0.306E+01	0.4943E+01	0.687E+02	0.250E+01
0.4508E+01	0.554E+02	0.311E+01	0.4955E+01	0.551E+02	0.235E+01
0.4519E+01	0.627E+02	0.283E+01	0.4966E+01	0.539E+02	0.235E+01
0.4529E+01	0.647E+02	0.235E+01	0.4977E+01	0.484E+02	0.221E+01
0.4539E+01	0.512E+02	0.222E+01	0.4989E+01	0.538E+02	0.216E+01
0.4550E+01	0.522E+02	0.231E+01	0.5000E+01	0.449E+02	0.200E+01
0.4560E+01	0.365E+02	0.154E+01	0.5012E+01	0.482E+02	0.246E+01
0.4571E+01	0.514E+02	0.251E+01	0.5023E+01	0.615E+02	0.248E+01
0.4581E+01	0.490E+02	0.201E+01	0.5035E+01	0.488E+02	0.214E+01
0.4592E+01	0.551E+02	0.241E+01	0.5047E+01	0.392E+02	0.186E+01
0.4603E+01	0.561E+02	0.227E+01	0.5058E+01	0.526E+02	0.217E+01
0.4613E+01	0.541E+02	0.258E+01	0.5070E+01	0.458E+02	0.226E+01
0.4624E+01	0.649E+02	0.258E+01	0.5082E+01	0.488E+02	0.204E+01
0.4635E+01	0.584E+02	0.261E+01	0.5093E+01	0.701E+02	0.272E+01
0.4645E+01	0.502E+02	0.217E+01	0.5105E+01	0.477E+02	0.226E+01
0.4656E+01	0.683E+02	0.272E+01	0.5117E+01	0.463E+02	0.229E+01
0.4667E+01	0.524E+02	0.205E+01	0.5129E+01	0.648E+02	0.332E+01
0.4677E+01	0.542E+02	0.231E+01	0.5140E+01	0.936E+02	0.351E+01
0.4688E+01	0.760E+02	0.324E+01	0.5152E+01	0.750E+02	0.301E+01
0.4699E+01	0.716E+02	0.306E+01	0.5164E+01	0.628E+02	0.246E+01
0.4710E+01	0.747E+02	0.266E+01	0.5176E+01	0.681E+02	0.219E+01
0.4721E+01	0.817E+02	0.299E+01	0.5188E+01	0.757E+02	0.274E+01
0.4732E+01	0.819E+02	0.307E+01	0.5200E+01	0.111E+03	0.346E+01
0.4742E+01	0.101E+03	0.432E+01	0.5212E+01	0.101E+03	0.362E+01
0.4753E+01	0.107E+03	0.386E+01	0.5224E+01	0.122E+03	0.359E+01
0.4764E+01	0.145E+03	0.520E+01	0.5236E+01	0.111E+03	0.367E+01
0.4775E+01	0.116E+03	0.389E+01	0.5248E+01	0.125E+03	0.415E+01
0.4786E+01	0.971E+02	0.410E+01	0.5260E+01	0.173E+03	0.462E+01
0.4797E+01	0.120E+03	0.401E+01	0.5272E+01	0.193E+03	0.581E+01
0.4808E+01	0.118E+03	0.373E+01	0.5285E+01	0.175E+03	0.480E+01
0.4819E+01	0.113E+03	0.348E+01	0.5297E+01	0.205E+03	0.474E+01

Table 1: (Continued).

E_n (eV)	$\sigma_{n,\gamma}$ (b)	$\Delta\sigma_{n,\gamma}$ (b)	E_n (eV)	$\sigma_{n,\gamma}$ (b)	$\Delta\sigma_{n,\gamma}$ (b)
0.5309E+01	0.304E+03	0.645E+01	0.5834E+01	0.146E+03	0.407E+01
0.5321E+01	0.344E+03	0.743E+01	0.5848E+01	0.164E+03	0.458E+01
0.5333E+01	0.330E+03	0.668E+01	0.5861E+01	0.191E+03	0.483E+01
0.5346E+01	0.366E+03	0.743E+01	0.5875E+01	0.214E+03	0.526E+01
0.5358E+01	0.382E+03	0.761E+01	0.5888E+01	0.250E+03	0.593E+01
0.5370E+01	0.376E+03	0.726E+01	0.5902E+01	0.302E+03	0.646E+01
0.5383E+01	0.374E+03	0.707E+01	0.5916E+01	0.312E+03	0.643E+01
0.5395E+01	0.415E+03	0.816E+01	0.5929E+01	0.341E+03	0.664E+01
0.5407E+01	0.408E+03	0.788E+01	0.5943E+01	0.353E+03	0.747E+01
0.5420E+01	0.379E+03	0.773E+01	0.5957E+01	0.352E+03	0.738E+01
0.5432E+01	0.284E+03	0.700E+01	0.5970E+01	0.384E+03	0.739E+01
0.5445E+01	0.254E+03	0.596E+01	0.5984E+01	0.377E+03	0.733E+01
0.5458E+01	0.237E+03	0.539E+01	0.5998E+01	0.378E+03	0.729E+01
0.5470E+01	0.170E+03	0.453E+01	0.6012E+01	0.347E+03	0.701E+01
0.5483E+01	0.193E+03	0.496E+01	0.6026E+01	0.336E+03	0.776E+01
0.5495E+01	0.141E+03	0.454E+01	0.6040E+01	0.307E+03	0.691E+01
0.5508E+01	0.119E+03	0.398E+01	0.6053E+01	0.272E+03	0.624E+01
0.5521E+01	0.936E+02	0.311E+01	0.6067E+01	0.222E+03	0.581E+01
0.5534E+01	0.963E+02	0.361E+01	0.6081E+01	0.207E+03	0.602E+01
0.5546E+01	0.971E+02	0.419E+01	0.6095E+01	0.213E+03	0.615E+01
0.5559E+01	0.835E+02	0.384E+01	0.6109E+01	0.164E+03	0.481E+01
0.5572E+01	0.681E+02	0.278E+01	0.6123E+01	0.117E+03	0.446E+01
0.5585E+01	0.668E+02	0.265E+01	0.6138E+01	0.114E+03	0.445E+01
0.5598E+01	0.737E+02	0.361E+01	0.6152E+01	0.720E+02	0.389E+01
0.5610E+01	0.763E+02	0.272E+01	0.6166E+01	0.575E+02	0.345E+01
0.5623E+01	0.631E+02	0.332E+01	0.6180E+01	0.701E+02	0.384E+01
0.5636E+01	0.650E+02	0.276E+01	0.6194E+01	0.705E+02	0.355E+01
0.5649E+01	0.643E+02	0.267E+01	0.6209E+01	0.689E+02	0.357E+01
0.5662E+01	0.852E+02	0.331E+01	0.6223E+01	0.535E+02	0.372E+01
0.5675E+01	0.791E+02	0.302E+01	0.6237E+01	0.599E+02	0.315E+01
0.5688E+01	0.351E+02	0.202E+01	0.6252E+01	0.621E+02	0.300E+01
0.5702E+01	0.702E+02	0.224E+01	0.6266E+01	0.555E+02	0.243E+01
0.5715E+01	0.836E+02	0.305E+01	0.6281E+01	0.631E+02	0.295E+01
0.5728E+01	0.860E+02	0.389E+01	0.6295E+01	0.594E+02	0.282E+01
0.5741E+01	0.873E+02	0.322E+01	0.6310E+01	0.496E+02	0.238E+01
0.5754E+01	0.875E+02	0.342E+01	0.6324E+01	0.489E+02	0.254E+01
0.5768E+01	0.945E+02	0.318E+01	0.6339E+01	0.532E+02	0.322E+01
0.5781E+01	0.133E+03	0.484E+01	0.6353E+01	0.646E+02	0.266E+01
0.5794E+01	0.980E+02	0.322E+01	0.6368E+01	0.467E+02	0.200E+01
0.5808E+01	0.130E+03	0.406E+01	0.6383E+01	0.723E+02	0.314E+01
0.5821E+01	0.139E+03	0.417E+01	0.6397E+01	0.526E+02	0.213E+01

Table 1: (Continued).

E_n (eV)	$\sigma_{n,\gamma}$ (b)	$\Delta\sigma_{n,\gamma}$ (b)	E_n (eV)	$\sigma_{n,\gamma}$ (b)	$\Delta\sigma_{n,\gamma}$ (b)
0.6412E+01	0.595E+02	0.332E+01	0.7047E+01	0.103E+04	0.131E+02
0.6427E+01	0.649E+02	0.227E+01	0.7063E+01	0.112E+04	0.142E+02
0.6442E+01	0.587E+02	0.271E+01	0.7080E+01	0.124E+04	0.142E+02
0.6457E+01	0.610E+02	0.326E+01	0.7096E+01	0.133E+04	0.147E+02
0.6471E+01	0.345E+02	0.181E+01	0.7112E+01	0.149E+04	0.156E+02
0.6486E+01	0.528E+02	0.218E+01	0.7128E+01	0.169E+04	0.174E+02
0.6501E+01	0.738E+02	0.277E+01	0.7145E+01	0.211E+04	0.192E+02
0.6516E+01	0.971E+02	0.418E+01	0.7161E+01	0.211E+04	0.180E+02
0.6531E+01	0.681E+02	0.272E+01	0.7178E+01	0.270E+04	0.215E+02
0.6546E+01	0.815E+02	0.339E+01	0.7194E+01	0.257E+04	0.209E+02
0.6562E+01	0.783E+02	0.383E+01	0.7211E+01	0.292E+04	0.223E+02
0.6577E+01	0.365E+02	0.236E+01	0.7228E+01	0.286E+04	0.215E+02
0.6592E+01	0.804E+02	0.311E+01	0.7244E+01	0.307E+04	0.225E+02
0.6607E+01	0.945E+02	0.355E+01	0.7261E+01	0.305E+04	0.227E+02
0.6622E+01	0.829E+02	0.318E+01	0.7278E+01	0.288E+04	0.214E+02
0.6637E+01	0.945E+02	0.325E+01	0.7295E+01	0.282E+04	0.222E+02
0.6653E+01	0.963E+02	0.295E+01	0.7311E+01	0.280E+04	0.208E+02
0.6668E+01	0.107E+03	0.357E+01	0.7328E+01	0.287E+04	0.226E+02
0.6683E+01	0.108E+03	0.431E+01	0.7345E+01	0.301E+04	0.230E+02
0.6699E+01	0.129E+03	0.429E+01	0.7362E+01	0.316E+04	0.226E+02
0.6714E+01	0.145E+03	0.521E+01	0.7379E+01	0.355E+04	0.242E+02
0.6730E+01	0.149E+03	0.426E+01	0.7396E+01	0.362E+04	0.242E+02
0.6745E+01	0.142E+03	0.494E+01	0.7413E+01	0.375E+04	0.244E+02
0.6761E+01	0.167E+03	0.535E+01	0.7430E+01	0.395E+04	0.255E+02
0.6776E+01	0.172E+03	0.463E+01	0.7447E+01	0.370E+04	0.258E+02
0.6792E+01	0.215E+03	0.514E+01	0.7464E+01	0.322E+04	0.229E+02
0.6808E+01	0.228E+03	0.538E+01	0.7482E+01	0.305E+04	0.225E+02
0.6823E+01	0.247E+03	0.582E+01	0.7499E+01	0.234E+04	0.193E+02
0.6839E+01	0.262E+03	0.600E+01	0.7516E+01	0.206E+04	0.184E+02
0.6855E+01	0.323E+03	0.648E+01	0.7534E+01	0.170E+04	0.166E+02
0.6871E+01	0.374E+03	0.749E+01	0.7551E+01	0.134E+04	0.144E+02
0.6886E+01	0.406E+03	0.747E+01	0.7568E+01	0.954E+03	0.122E+02
0.6902E+01	0.447E+03	0.793E+01	0.7586E+01	0.823E+03	0.114E+02
0.6918E+01	0.510E+03	0.842E+01	0.7603E+01	0.701E+03	0.106E+02
0.6934E+01	0.537E+03	0.886E+01	0.7621E+01	0.480E+03	0.864E+01
0.6950E+01	0.668E+03	0.108E+02	0.7638E+01	0.456E+03	0.909E+01
0.6966E+01	0.751E+03	0.108E+02	0.7656E+01	0.349E+03	0.684E+01
0.6982E+01	0.774E+03	0.103E+02	0.7674E+01	0.248E+03	0.575E+01
0.6998E+01	0.852E+03	0.112E+02	0.7691E+01	0.271E+03	0.622E+01
0.7015E+01	0.909E+03	0.119E+02	0.7709E+01	0.214E+03	0.505E+01
0.7031E+01	0.945E+03	0.117E+02	0.7727E+01	0.257E+03	0.591E+01

Table 1: (Continued).

E_n (eV)	$\sigma_{n,\gamma}$ (b)	$\Delta\sigma_{n,\gamma}$ (b)	E_n (eV)	$\sigma_{n,\gamma}$ (b)	$\Delta\sigma_{n,\gamma}$ (b)
0.7745E+01	0.160E+03	0.467E+01	0.8511E+01	0.502E+02	0.333E+01
0.7762E+01	0.160E+03	0.419E+01	0.8531E+01	0.442E+02	0.230E+01
0.7780E+01	0.137E+03	0.486E+01	0.8551E+01	0.525E+02	0.247E+01
0.7798E+01	0.150E+03	0.410E+01	0.8570E+01	0.466E+02	0.333E+01
0.7816E+01	0.152E+03	0.388E+01	0.8590E+01	0.605E+02	0.321E+01
0.7834E+01	0.132E+03	0.400E+01	0.8610E+01	0.560E+02	0.293E+01
0.7852E+01	0.111E+03	0.332E+01	0.8630E+01	0.600E+02	0.293E+01
0.7871E+01	0.115E+03	0.350E+01	0.8650E+01	0.382E+02	0.275E+01
0.7889E+01	0.102E+03	0.328E+01	0.8670E+01	0.677E+02	0.351E+01
0.7907E+01	0.659E+02	0.252E+01	0.8690E+01	0.553E+02	0.352E+01
0.7925E+01	0.114E+03	0.383E+01	0.8710E+01	0.714E+02	0.416E+01
0.7943E+01	0.727E+02	0.316E+01	0.8730E+01	0.971E+02	0.470E+01
0.7962E+01	0.774E+02	0.288E+01	0.8750E+01	0.927E+02	0.552E+01
0.7980E+01	0.676E+02	0.230E+01	0.8770E+01	0.106E+03	0.522E+01
0.7998E+01	0.645E+02	0.225E+01	0.8790E+01	0.691E+02	0.509E+01
0.8017E+01	0.763E+02	0.318E+01	0.8811E+01	0.971E+02	0.648E+01
0.8035E+01	0.593E+02	0.283E+01	0.8831E+01	0.148E+03	0.653E+01
0.8054E+01	0.577E+02	0.321E+01	0.8851E+01	0.112E+03	0.702E+01
0.8072E+01	0.488E+02	0.199E+01	0.8872E+01	0.125E+03	0.613E+01
0.8091E+01	0.638E+02	0.246E+01	0.8892E+01	0.158E+03	0.688E+01
0.8110E+01	0.677E+02	0.293E+01	0.8913E+01	0.208E+03	0.706E+01
0.8128E+01	0.541E+02	0.234E+01	0.8933E+01	0.256E+03	0.816E+01
0.8147E+01	0.643E+02	0.242E+01	0.8954E+01	0.316E+03	0.750E+01
0.8166E+01	0.676E+02	0.255E+01	0.8974E+01	0.414E+03	0.954E+01
0.8185E+01	0.495E+02	0.198E+01	0.8995E+01	0.505E+03	0.101E+02
0.8203E+01	0.572E+02	0.249E+01	0.9016E+01	0.602E+03	0.102E+02
0.8222E+01	0.471E+02	0.301E+01	0.9036E+01	0.661E+03	0.112E+02
0.8241E+01	0.550E+02	0.237E+01	0.9057E+01	0.649E+03	0.945E+01
0.8260E+01	0.544E+02	0.238E+01	0.9078E+01	0.663E+03	0.102E+02
0.8279E+01	0.526E+02	0.311E+01	0.9099E+01	0.720E+03	0.116E+02
0.8299E+01	0.513E+02	0.266E+01	0.9120E+01	0.584E+03	0.102E+02
0.8318E+01	0.345E+02	0.156E+01	0.9141E+01	0.542E+03	0.936E+01
0.8337E+01	0.483E+02	0.304E+01	0.9162E+01	0.539E+03	0.927E+01
0.8356E+01	0.614E+02	0.346E+01	0.9183E+01	0.314E+03	0.664E+01
0.8375E+01	0.340E+02	0.266E+01	0.9205E+01	0.242E+03	0.613E+01
0.8395E+01	0.430E+02	0.185E+01	0.9226E+01	0.223E+03	0.591E+01
0.8414E+01	0.488E+02	0.211E+01	0.9247E+01	0.152E+03	0.436E+01
0.8433E+01	0.434E+02	0.209E+01	0.9268E+01	0.113E+03	0.391E+01
0.8453E+01	0.575E+02	0.298E+01	0.9290E+01	0.114E+03	0.450E+01
0.8472E+01	0.503E+02	0.251E+01	0.9311E+01	0.890E+02	0.320E+01
0.8492E+01	0.513E+02	0.346E+01	0.9333E+01	0.613E+02	0.257E+01

Table 1: (Continued).

E_n (eV)	$\sigma_{n,\gamma}$ (b)	$\Delta\sigma_{n,\gamma}$ (b)	E_n (eV)	$\sigma_{n,\gamma}$ (b)	$\Delta\sigma_{n,\gamma}$ (b)
0.9354E+01	0.554E+02	0.245E+01	0.1028E+02	0.485E+03	0.909E+01
0.9376E+01	0.544E+02	0.225E+01	0.1030E+02	0.599E+03	0.909E+01
0.9397E+01	0.555E+02	0.320E+01	0.1033E+02	0.795E+03	0.118E+02
0.9419E+01	0.556E+02	0.226E+01	0.1035E+02	0.918E+03	0.122E+02
0.9441E+01	0.504E+02	0.251E+01	0.1038E+02	0.106E+04	0.127E+02
0.9462E+01	0.408E+02	0.205E+01	0.1040E+02	0.149E+04	0.156E+02
0.9484E+01	0.499E+02	0.229E+01	0.1042E+02	0.168E+04	0.161E+02
0.9506E+01	0.496E+02	0.196E+01	0.1045E+02	0.182E+04	0.169E+02
0.9528E+01	0.403E+02	0.182E+01	0.1047E+02	0.184E+04	0.176E+02
0.9550E+01	0.503E+02	0.221E+01	0.1049E+02	0.158E+04	0.152E+02
0.9572E+01	0.433E+02	0.198E+01	0.1052E+02	0.157E+04	0.169E+02
0.9594E+01	0.521E+02	0.239E+01	0.1054E+02	0.133E+04	0.152E+02
0.9616E+01	0.502E+02	0.310E+01	0.1057E+02	0.909E+03	0.118E+02
0.9638E+01	0.550E+02	0.233E+01	0.1059E+02	0.742E+03	0.105E+02
0.9660E+01	0.444E+02	0.285E+01	0.1062E+02	0.561E+03	0.918E+01
0.9683E+01	0.524E+02	0.298E+01	0.1064E+02	0.392E+03	0.726E+01
0.9705E+01	0.468E+02	0.230E+01	0.1067E+02	0.321E+03	0.711E+01
0.9727E+01	0.466E+02	0.242E+01	0.1069E+02	0.230E+03	0.542E+01
0.9750E+01	0.429E+02	0.203E+01	0.1072E+02	0.234E+03	0.560E+01
0.9772E+01	0.499E+02	0.213E+01	0.1074E+02	0.191E+03	0.523E+01
0.9795E+01	0.396E+02	0.192E+01	0.1077E+02	0.238E+03	0.651E+01
0.9818E+01	0.677E+02	0.292E+01	0.1079E+02	0.186E+03	0.514E+01
0.9840E+01	0.599E+02	0.259E+01	0.1081E+02	0.268E+03	0.709E+01
0.9863E+01	0.498E+02	0.212E+01	0.1084E+02	0.245E+03	0.626E+01
0.9885E+01	0.570E+02	0.234E+01	0.1086E+02	0.295E+03	0.728E+01
0.9908E+01	0.594E+02	0.254E+01	0.1089E+02	0.325E+03	0.684E+01
0.9931E+01	0.717E+02	0.282E+01	0.1091E+02	0.333E+03	0.719E+01
0.9954E+01	0.816E+02	0.297E+01	0.1094E+02	0.328E+03	0.717E+01
0.9977E+01	0.971E+02	0.423E+01	0.1097E+02	0.355E+03	0.746E+01
0.1000E+02	0.115E+03	0.394E+01	0.1099E+02	0.308E+03	0.661E+01
0.1002E+02	0.104E+03	0.435E+01	0.1102E+02	0.272E+03	0.647E+01
0.1005E+02	0.118E+03	0.360E+01	0.1104E+02	0.237E+03	0.586E+01
0.1007E+02	0.139E+03	0.398E+01	0.1107E+02	0.169E+03	0.443E+01
0.1009E+02	0.142E+03	0.390E+01	0.1109E+02	0.135E+03	0.389E+01
0.1012E+02	0.204E+03	0.505E+01	0.1112E+02	0.133E+03	0.416E+01
0.1014E+02	0.176E+03	0.455E+01	0.1114E+02	0.117E+03	0.381E+01
0.1016E+02	0.230E+03	0.587E+01	0.1117E+02	0.120E+03	0.396E+01
0.1019E+02	0.250E+03	0.566E+01	0.1119E+02	0.145E+03	0.443E+01
0.1021E+02	0.297E+03	0.703E+01	0.1122E+02	0.150E+03	0.460E+01
0.1023E+02	0.355E+03	0.717E+01	0.1125E+02	0.172E+03	0.519E+01
0.1026E+02	0.434E+03	0.831E+01	0.1127E+02	0.166E+03	0.484E+01

Table 1: (Continued).

E_n (eV)	$\sigma_{n,\gamma}$ (b)	$\Delta\sigma_{n,\gamma}$ (b)	E_n (eV)	$\sigma_{n,\gamma}$ (b)	$\Delta\sigma_{n,\gamma}$ (b)
0.1130E+02	0.126E+03	0.397E+01	0.1242E+02	0.534E+03	0.863E+01
0.1132E+02	0.128E+03	0.528E+01	0.1244E+02	0.717E+03	0.111E+02
0.1135E+02	0.786E+02	0.324E+01	0.1247E+02	0.773E+03	0.111E+02
0.1138E+02	0.660E+02	0.290E+01	0.1250E+02	0.980E+03	0.122E+02
0.1140E+02	0.586E+02	0.305E+01	0.1253E+02	0.980E+03	0.132E+02
0.1143E+02	0.681E+02	0.439E+01	0.1256E+02	0.102E+04	0.127E+02
0.1145E+02	0.632E+02	0.336E+01	0.1259E+02	0.110E+04	0.133E+02
0.1148E+02	0.308E+02	0.272E+01	0.1262E+02	0.108E+04	0.127E+02
0.1151E+02	0.260E+02	0.360E+01	0.1265E+02	0.116E+04	0.136E+02
0.1153E+02	0.340E+02	0.367E+01	0.1268E+02	0.121E+04	0.141E+02
0.1156E+02	0.239E+02	0.365E+01	0.1271E+02	0.126E+04	0.143E+02
0.1159E+02	0.400E+02	0.528E+01	0.1273E+02	0.117E+04	0.142E+02
0.1161E+02	0.279E+02	0.447E+01	0.1276E+02	0.103E+04	0.129E+02
0.1164E+02	0.247E+02	0.422E+01	0.1279E+02	0.809E+03	0.111E+02
0.1167E+02	0.524E+02	0.529E+01	0.1282E+02	0.573E+03	0.936E+01
0.1169E+02	0.254E+02	0.414E+01	0.1285E+02	0.398E+03	0.850E+01
0.1172E+02	0.414E+02	0.384E+01	0.1288E+02	0.243E+03	0.603E+01
0.1175E+02	0.432E+02	0.348E+01	0.1291E+02	0.175E+03	0.460E+01
0.1178E+02	0.664E+02	0.457E+01	0.1294E+02	0.137E+03	0.450E+01
0.1180E+02	0.703E+02	0.367E+01	0.1297E+02	0.111E+03	0.449E+01
0.1183E+02	0.989E+02	0.383E+01	0.1300E+02	0.980E+02	0.344E+01
0.1186E+02	0.101E+03	0.346E+01	0.1303E+02	0.104E+03	0.321E+01
0.1189E+02	0.113E+03	0.381E+01	0.1306E+02	0.807E+02	0.323E+01
0.1191E+02	0.124E+03	0.406E+01	0.1309E+02	0.709E+02	0.373E+01
0.1194E+02	0.144E+03	0.522E+01	0.1312E+02	0.608E+02	0.348E+01
0.1197E+02	0.148E+03	0.522E+01	0.1315E+02	0.743E+02	0.309E+01
0.1199E+02	0.228E+03	0.504E+01	0.1318E+02	0.601E+02	0.287E+01
0.1202E+02	0.257E+03	0.623E+01	0.1321E+02	0.581E+02	0.273E+01
0.1205E+02	0.314E+03	0.639E+01	0.1324E+02	0.513E+02	0.280E+01
0.1208E+02	0.361E+03	0.677E+01	0.1327E+02	0.508E+02	0.233E+01
0.1211E+02	0.475E+03	0.870E+01	0.1331E+02	0.659E+02	0.357E+01
0.1213E+02	0.533E+03	0.886E+01	0.1334E+02	0.632E+02	0.270E+01
0.1216E+02	0.660E+03	0.989E+01	0.1337E+02	0.669E+02	0.361E+01
0.1219E+02	0.639E+03	0.108E+02	0.1340E+02	0.813E+02	0.337E+01
0.1222E+02	0.667E+03	0.101E+02	0.1343E+02	0.736E+02	0.261E+01
0.1225E+02	0.699E+03	0.105E+02	0.1346E+02	0.674E+02	0.264E+01
0.1227E+02	0.587E+03	0.102E+02	0.1349E+02	0.858E+02	0.302E+01
0.1230E+02	0.537E+03	0.891E+01	0.1352E+02	0.785E+02	0.302E+01
0.1233E+02	0.462E+03	0.831E+01	0.1355E+02	0.135E+03	0.500E+01
0.1236E+02	0.471E+03	0.874E+01	0.1358E+02	0.197E+03	0.539E+01
0.1239E+02	0.575E+03	0.936E+01	0.1361E+02	0.237E+03	0.642E+01

Table 1: (Continued).

E_n (eV)	$\sigma_{n,\gamma}$ (b)	$\Delta\sigma_{n,\gamma}$ (b)	E_n (eV)	$\sigma_{n,\gamma}$ (b)	$\Delta\sigma_{n,\gamma}$ (b)
0.1365E+02	0.277E+03	0.718E+01	0.1500E+02	0.562E+03	0.918E+01
0.1368E+02	0.265E+03	0.586E+01	0.1503E+02	0.581E+03	0.927E+01
0.1371E+02	0.250E+03	0.660E+01	0.1507E+02	0.717E+03	0.107E+02
0.1374E+02	0.214E+03	0.628E+01	0.1510E+02	0.887E+03	0.127E+02
0.1377E+02	0.230E+03	0.578E+01	0.1514E+02	0.106E+04	0.132E+02
0.1380E+02	0.165E+03	0.554E+01	0.1517E+02	0.122E+04	0.143E+02
0.1384E+02	0.139E+03	0.414E+01	0.1520E+02	0.127E+04	0.145E+02
0.1387E+02	0.107E+03	0.334E+01	0.1524E+02	0.114E+04	0.136E+02
0.1390E+02	0.936E+02	0.418E+01	0.1528E+02	0.109E+04	0.134E+02
0.1393E+02	0.860E+02	0.326E+01	0.1531E+02	0.800E+03	0.123E+02
0.1396E+02	0.587E+02	0.219E+01	0.1535E+02	0.575E+03	0.927E+01
0.1400E+02	0.579E+02	0.330E+01	0.1538E+02	0.350E+03	0.791E+01
0.1403E+02	0.644E+02	0.346E+01	0.1542E+02	0.261E+03	0.618E+01
0.1406E+02	0.589E+02	0.230E+01	0.1545E+02	0.177E+03	0.480E+01
0.1409E+02	0.802E+02	0.335E+01	0.1549E+02	0.109E+03	0.336E+01
0.1412E+02	0.734E+02	0.320E+01	0.1552E+02	0.867E+02	0.316E+01
0.1416E+02	0.685E+02	0.296E+01	0.1556E+02	0.854E+02	0.268E+01
0.1419E+02	0.725E+02	0.249E+01	0.1560E+02	0.742E+02	0.279E+01
0.1422E+02	0.918E+02	0.421E+01	0.1563E+02	0.499E+02	0.213E+01
0.1426E+02	0.844E+02	0.308E+01	0.1567E+02	0.538E+02	0.265E+01
0.1429E+02	0.110E+03	0.367E+01	0.1570E+02	0.539E+02	0.257E+01
0.1432E+02	0.106E+03	0.355E+01	0.1574E+02	0.461E+02	0.299E+01
0.1435E+02	0.122E+03	0.463E+01	0.1578E+02	0.322E+02	0.156E+01
0.1439E+02	0.154E+03	0.443E+01	0.1581E+02	0.295E+02	0.158E+01
0.1442E+02	0.146E+03	0.449E+01	0.1585E+02	0.161E+02	0.807E+00
0.1445E+02	0.187E+03	0.517E+01	0.1589E+02	0.334E+02	0.177E+01
0.1449E+02	0.220E+03	0.550E+01	0.1592E+02	0.146E+02	0.804E+00
0.1452E+02	0.299E+03	0.692E+01	0.1596E+02	0.357E+02	0.151E+01
0.1456E+02	0.340E+03	0.709E+01	0.1600E+02	0.400E+02	0.270E+01
0.1459E+02	0.528E+03	0.945E+01	0.1603E+02	0.216E+02	0.149E+01
0.1462E+02	0.618E+03	0.998E+01	0.1607E+02	0.209E+02	0.129E+01
0.1465E+02	0.785E+03	0.110E+02	0.1611E+02	0.150E+02	0.106E+01
0.1469E+02	0.963E+03	0.125E+02	0.1614E+02	0.162E+02	0.881E+00
0.1472E+02	0.121E+04	0.149E+02	0.1618E+02	0.265E+02	0.142E+01
0.1476E+02	0.126E+04	0.144E+02	0.1622E+02	0.212E+02	0.107E+01
0.1479E+02	0.129E+04	0.149E+02	0.1625E+02	0.338E+02	0.250E+01
0.1482E+02	0.118E+04	0.141E+02	0.1629E+02	0.309E+02	0.194E+01
0.1486E+02	0.971E+03	0.135E+02	0.1633E+02	0.190E+02	0.111E+01
0.1489E+02	0.807E+03	0.120E+02	0.1637E+02	0.223E+02	0.125E+01
0.1493E+02	0.710E+03	0.109E+02	0.1641E+02	0.159E+02	0.192E+01
0.1496E+02	0.551E+03	0.900E+01	0.1644E+02	0.174E+02	0.121E+01

Table 1: (Continued).

E_n (eV)	$\sigma_{n,\gamma}$ (b)	$\Delta\sigma_{n,\gamma}$ (b)	E_n (eV)	$\sigma_{n,\gamma}$ (b)	$\Delta\sigma_{n,\gamma}$ (b)
0.1648E+02	0.143E+02	0.980E+00	0.1811E+02	0.766E+02	0.396E+01
0.1652E+02	0.237E+02	0.164E+01	0.1816E+02	0.672E+02	0.406E+01
0.1656E+02	0.172E+02	0.143E+01	0.1820E+02	0.448E+02	0.303E+01
0.1660E+02	0.146E+02	0.176E+01	0.1824E+02	0.677E+02	0.298E+01
0.1663E+02	0.164E+02	0.245E+01	0.1828E+02	0.648E+02	0.280E+01
0.1667E+02	0.273E+02	0.296E+01	0.1832E+02	0.599E+02	0.295E+01
0.1671E+02	0.124E+02	0.270E+01	0.1836E+02	0.680E+02	0.401E+01
0.1675E+02	0.270E+02	0.250E+01	0.1841E+02	0.101E+03	0.342E+01
0.1679E+02	0.512E+01	0.147E+01	0.1845E+02	0.971E+02	0.307E+01
0.1683E+02	0.234E+02	0.180E+01	0.1849E+02	0.102E+03	0.357E+01
0.1687E+02	0.297E+02	0.204E+01	0.1853E+02	0.963E+02	0.385E+01
0.1690E+02	0.127E+02	0.125E+01	0.1858E+02	0.104E+03	0.354E+01
0.1694E+02	0.287E+02	0.258E+01	0.1862E+02	0.165E+03	0.530E+01
0.1698E+02	0.167E+02	0.197E+01	0.1866E+02	0.217E+03	0.611E+01
0.1702E+02	0.422E+02	0.199E+01	0.1871E+02	0.209E+03	0.673E+01
0.1706E+02	0.326E+02	0.163E+01	0.1875E+02	0.267E+03	0.727E+01
0.1710E+02	0.209E+02	0.111E+01	0.1879E+02	0.343E+03	0.837E+01
0.1714E+02	0.476E+02	0.242E+01	0.1884E+02	0.414E+03	0.845E+01
0.1718E+02	0.447E+02	0.225E+01	0.1888E+02	0.489E+03	0.851E+01
0.1722E+02	0.599E+02	0.252E+01	0.1892E+02	0.691E+03	0.110E+02
0.1726E+02	0.316E+02	0.258E+01	0.1897E+02	0.872E+03	0.111E+02
0.1730E+02	0.437E+02	0.234E+01	0.1901E+02	0.112E+04	0.134E+02
0.1734E+02	0.577E+02	0.216E+01	0.1906E+02	0.135E+04	0.149E+02
0.1738E+02	0.777E+02	0.398E+01	0.1910E+02	0.160E+04	0.167E+02
0.1742E+02	0.954E+02	0.429E+01	0.1914E+02	0.155E+04	0.160E+02
0.1746E+02	0.111E+03	0.377E+01	0.1919E+02	0.138E+04	0.148E+02
0.1750E+02	0.136E+03	0.459E+01	0.1923E+02	0.111E+04	0.134E+02
0.1754E+02	0.163E+03	0.464E+01	0.1927E+02	0.909E+03	0.120E+02
0.1758E+02	0.187E+03	0.536E+01	0.1932E+02	0.676E+03	0.107E+02
0.1762E+02	0.301E+03	0.649E+01	0.1936E+02	0.450E+03	0.918E+01
0.1766E+02	0.430E+03	0.811E+01	0.1941E+02	0.301E+03	0.649E+01
0.1770E+02	0.447E+03	0.918E+01	0.1945E+02	0.178E+03	0.482E+01
0.1774E+02	0.535E+03	0.900E+01	0.1950E+02	0.104E+03	0.356E+01
0.1778E+02	0.474E+03	0.945E+01	0.1954E+02	0.954E+02	0.405E+01
0.1782E+02	0.395E+03	0.816E+01	0.1959E+02	0.882E+02	0.359E+01
0.1786E+02	0.328E+03	0.799E+01	0.1963E+02	0.963E+02	0.382E+01
0.1791E+02	0.261E+03	0.693E+01	0.1968E+02	0.102E+03	0.504E+01
0.1795E+02	0.193E+03	0.580E+01	0.1972E+02	0.998E+02	0.497E+01
0.1799E+02	0.151E+03	0.540E+01	0.1977E+02	0.101E+03	0.522E+01
0.1803E+02	0.119E+03	0.524E+01	0.1982E+02	0.728E+02	0.447E+01
0.1807E+02	0.980E+02	0.564E+01	0.1986E+02	0.590E+02	0.389E+01

Table 1: (Continued).

E_n (eV)	$\sigma_{n,\gamma}$ (b)	$\Delta\sigma_{n,\gamma}$ (b)	E_n (eV)	$\sigma_{n,\gamma}$ (b)	$\Delta\sigma_{n,\gamma}$ (b)
0.1991E+02	0.232E+02	0.428E+01	0.2188E+02	0.388E+03	0.698E+01
0.1995E+02	0.231E+02	0.396E+01	0.2193E+02	0.407E+03	0.872E+01
0.2000E+02	0.104E+02	0.429E+01	0.2198E+02	0.415E+03	0.798E+01
0.2005E+02	-0.578E+01	0.447E+01	0.2203E+02	0.514E+03	0.909E+01
0.2009E+02	-0.122E+02	0.476E+01	0.2208E+02	0.692E+03	0.114E+02
0.2014E+02	0.275E+02	0.471E+01	0.2213E+02	0.861E+03	0.119E+02
0.2018E+02	0.324E+01	0.338E+01	0.2218E+02	0.106E+04	0.133E+02
0.2023E+02	-0.295E+01	0.259E+01	0.2223E+02	0.109E+04	0.138E+02
0.2028E+02	0.125E+02	0.217E+01	0.2228E+02	0.112E+04	0.133E+02
0.2032E+02	0.108E+02	0.196E+01	0.2234E+02	0.989E+03	0.127E+02
0.2037E+02	0.219E+02	0.218E+01	0.2239E+02	0.653E+03	0.102E+02
0.2042E+02	0.191E+02	0.170E+01	0.2244E+02	0.459E+03	0.945E+01
0.2046E+02	0.206E+02	0.143E+01	0.2249E+02	0.329E+03	0.797E+01
0.2051E+02	0.204E+02	0.143E+01	0.2254E+02	0.246E+03	0.627E+01
0.2056E+02	0.221E+02	0.160E+01	0.2259E+02	0.265E+03	0.673E+01
0.2061E+02	0.244E+02	0.169E+01	0.2265E+02	0.293E+03	0.664E+01
0.2065E+02	0.136E+02	0.971E+00	0.2270E+02	0.448E+03	0.859E+01
0.2070E+02	0.296E+02	0.183E+01	0.2275E+02	0.455E+03	0.843E+01
0.2075E+02	0.168E+02	0.122E+01	0.2280E+02	0.450E+03	0.918E+01
0.2080E+02	0.183E+02	0.127E+01	0.2286E+02	0.365E+03	0.806E+01
0.2084E+02	0.423E+02	0.237E+01	0.2291E+02	0.245E+03	0.595E+01
0.2089E+02	0.349E+02	0.256E+01	0.2296E+02	0.147E+03	0.463E+01
0.2094E+02	0.490E+02	0.243E+01	0.2301E+02	0.963E+02	0.345E+01
0.2099E+02	0.525E+02	0.225E+01	0.2307E+02	0.660E+02	0.300E+01
0.2104E+02	0.824E+02	0.398E+01	0.2312E+02	0.438E+02	0.256E+01
0.2109E+02	0.641E+02	0.299E+01	0.2317E+02	0.612E+02	0.250E+01
0.2114E+02	0.766E+02	0.383E+01	0.2323E+02	0.525E+02	0.325E+01
0.2118E+02	0.448E+02	0.253E+01	0.2328E+02	0.415E+02	0.221E+01
0.2123E+02	0.840E+02	0.299E+01	0.2333E+02	0.382E+02	0.205E+01
0.2128E+02	0.123E+03	0.482E+01	0.2339E+02	0.482E+02	0.261E+01
0.2133E+02	0.111E+03	0.389E+01	0.2344E+02	0.570E+02	0.277E+01
0.2138E+02	0.143E+03	0.402E+01	0.2350E+02	0.429E+02	0.242E+01
0.2143E+02	0.184E+03	0.594E+01	0.2355E+02	0.839E+02	0.353E+01
0.2148E+02	0.212E+03	0.537E+01	0.2360E+02	0.709E+02	0.318E+01
0.2153E+02	0.298E+03	0.651E+01	0.2366E+02	0.328E+02	0.254E+01
0.2158E+02	0.418E+03	0.804E+01	0.2371E+02	0.865E+02	0.372E+01
0.2163E+02	0.570E+03	0.945E+01	0.2377E+02	0.891E+02	0.407E+01
0.2168E+02	0.640E+03	0.101E+02	0.2382E+02	0.732E+02	0.323E+01
0.2173E+02	0.653E+03	0.989E+01	0.2388E+02	0.124E+03	0.446E+01
0.2178E+02	0.601E+03	0.980E+01	0.2393E+02	0.164E+03	0.498E+01
0.2183E+02	0.629E+03	0.111E+02	0.2399E+02	0.215E+03	0.578E+01

Table 1: (Continued).

E_n (eV)	$\sigma_{n,\gamma}$ (b)	$\Delta\sigma_{n,\gamma}$ (b)	E_n (eV)	$\sigma_{n,\gamma}$ (b)	$\Delta\sigma_{n,\gamma}$ (b)
0.2404E+02	0.272E+03	0.660E+01	0.2642E+02	0.380E+03	0.778E+01
0.2410E+02	0.299E+03	0.663E+01	0.2649E+02	0.509E+03	0.876E+01
0.2416E+02	0.373E+03	0.761E+01	0.2655E+02	0.658E+03	0.989E+01
0.2421E+02	0.470E+03	0.867E+01	0.2661E+02	0.998E+03	0.127E+02
0.2427E+02	0.528E+03	0.891E+01	0.2667E+02	0.134E+04	0.147E+02
0.2432E+02	0.627E+03	0.989E+01	0.2673E+02	0.164E+04	0.170E+02
0.2438E+02	0.725E+03	0.107E+02	0.2679E+02	0.167E+04	0.165E+02
0.2443E+02	0.827E+03	0.119E+02	0.2685E+02	0.132E+04	0.153E+02
0.2449E+02	0.918E+03	0.119E+02	0.2692E+02	0.927E+03	0.119E+02
0.2455E+02	0.102E+04	0.127E+02	0.2698E+02	0.560E+03	0.102E+02
0.2460E+02	0.146E+04	0.155E+02	0.2704E+02	0.379E+03	0.756E+01
0.2466E+02	0.135E+04	0.148E+02	0.2710E+02	0.235E+03	0.561E+01
0.2472E+02	0.114E+04	0.131E+02	0.2716E+02	0.155E+03	0.429E+01
0.2477E+02	0.833E+03	0.116E+02	0.2723E+02	0.107E+03	0.384E+01
0.2483E+02	0.538E+03	0.909E+01	0.2729E+02	0.102E+03	0.308E+01
0.2489E+02	0.324E+03	0.774E+01	0.2735E+02	0.105E+03	0.353E+01
0.2495E+02	0.257E+03	0.614E+01	0.2742E+02	0.111E+03	0.324E+01
0.2500E+02	0.168E+03	0.458E+01	0.2748E+02	0.150E+03	0.457E+01
0.2506E+02	0.196E+03	0.625E+01	0.2754E+02	0.900E+02	0.292E+01
0.2512E+02	0.192E+03	0.475E+01	0.2761E+02	0.135E+03	0.425E+01
0.2518E+02	0.209E+03	0.509E+01	0.2767E+02	0.103E+03	0.354E+01
0.2524E+02	0.237E+03	0.669E+01	0.2773E+02	0.806E+02	0.327E+01
0.2529E+02	0.243E+03	0.591E+01	0.2780E+02	0.105E+03	0.312E+01
0.2535E+02	0.225E+03	0.513E+01	0.2786E+02	0.727E+02	0.357E+01
0.2541E+02	0.168E+03	0.529E+01	0.2792E+02	0.756E+02	0.276E+01
0.2547E+02	0.158E+03	0.426E+01	0.2799E+02	0.900E+02	0.305E+01
0.2553E+02	0.153E+03	0.469E+01	0.2805E+02	0.918E+02	0.375E+01
0.2559E+02	0.153E+03	0.520E+01	0.2812E+02	0.118E+03	0.374E+01
0.2565E+02	0.184E+03	0.475E+01	0.2818E+02	0.737E+02	0.276E+01
0.2570E+02	0.159E+03	0.524E+01	0.2825E+02	0.900E+02	0.354E+01
0.2576E+02	0.131E+03	0.345E+01	0.2831E+02	0.611E+02	0.192E+01
0.2582E+02	0.115E+03	0.355E+01	0.2838E+02	0.455E+02	0.229E+01
0.2588E+02	0.122E+03	0.387E+01	0.2844E+02	0.669E+02	0.258E+01
0.2594E+02	0.124E+03	0.375E+01	0.2851E+02	0.676E+02	0.259E+01
0.2600E+02	0.103E+03	0.370E+01	0.2858E+02	0.772E+02	0.336E+01
0.2606E+02	0.135E+03	0.412E+01	0.2864E+02	0.107E+03	0.406E+01
0.2612E+02	0.165E+03	0.495E+01	0.2871E+02	0.773E+02	0.290E+01
0.2618E+02	0.198E+03	0.496E+01	0.2877E+02	0.123E+03	0.496E+01
0.2624E+02	0.230E+03	0.575E+01	0.2884E+02	0.141E+03	0.471E+01
0.2630E+02	0.252E+03	0.586E+01	0.2891E+02	0.151E+03	0.539E+01
0.2636E+02	0.315E+03	0.691E+01	0.2897E+02	0.215E+03	0.521E+01

Table 1: (Continued).

E_n (eV)	$\sigma_{n,\gamma}$ (b)	$\Delta\sigma_{n,\gamma}$ (b)	E_n (eV)	$\sigma_{n,\gamma}$ (b)	$\Delta\sigma_{n,\gamma}$ (b)
0.2904E+02	0.317E+03	0.642E+01	0.3192E+02	0.109E+03	0.349E+01
0.2911E+02	0.422E+03	0.857E+01	0.3199E+02	0.838E+02	0.387E+01
0.2917E+02	0.529E+03	0.886E+01	0.3206E+02	0.396E+02	0.265E+01
0.2924E+02	0.673E+03	0.102E+02	0.3214E+02	0.186E+02	0.853E+00
0.2931E+02	0.780E+03	0.106E+02	0.3221E+02	0.247E+02	0.123E+01
0.2938E+02	0.719E+03	0.998E+01	0.3228E+02	0.137E+02	0.107E+01
0.2944E+02	0.592E+03	0.891E+01	0.3236E+02	0.717E+01	0.406E+00
0.2951E+02	0.355E+03	0.693E+01	0.3243E+02	0.217E+02	0.126E+01
0.2958E+02	0.286E+03	0.635E+01	0.3251E+02	0.229E+02	0.155E+01
0.2965E+02	0.198E+03	0.494E+01	0.3258E+02	0.133E+02	0.321E+00
0.2972E+02	0.164E+03	0.505E+01	0.3266E+02	0.143E+02	0.169E+01
0.2978E+02	0.126E+03	0.323E+01	0.3273E+02	0.169E+02	0.104E+01
0.2985E+02	0.137E+03	0.406E+01	0.3281E+02	0.257E+02	0.221E+01
0.2992E+02	0.146E+03	0.418E+01	0.3288E+02	0.184E+02	0.875E+00
0.2999E+02	0.161E+03	0.495E+01	0.3296E+02	0.168E+02	0.105E+01
0.3006E+02	0.242E+03	0.577E+01	0.3304E+02	0.300E+02	0.234E+01
0.3013E+02	0.314E+03	0.702E+01	0.3311E+02	0.193E+02	0.998E+00
0.3020E+02	0.516E+03	0.873E+01	0.3319E+02	0.303E+02	0.190E+01
0.3027E+02	0.578E+03	0.971E+01	0.3327E+02	0.373E+02	0.208E+01
0.3034E+02	0.615E+03	0.954E+01	0.3334E+02	0.566E+02	0.203E+01
0.3041E+02	0.499E+03	0.846E+01	0.3342E+02	0.678E+02	0.275E+01
0.3048E+02	0.441E+03	0.889E+01	0.3350E+02	0.490E+02	0.170E+01
0.3055E+02	0.271E+03	0.625E+01	0.3357E+02	0.802E+02	0.260E+01
0.3062E+02	0.157E+03	0.439E+01	0.3365E+02	0.708E+02	0.261E+01
0.3069E+02	0.142E+03	0.517E+01	0.3373E+02	0.677E+02	0.361E+01
0.3076E+02	0.160E+03	0.497E+01	0.3381E+02	0.552E+02	0.250E+01
0.3083E+02	0.164E+03	0.460E+01	0.3388E+02	0.377E+02	0.175E+01
0.3090E+02	0.199E+03	0.602E+01	0.3396E+02	0.296E+02	0.140E+01
0.3097E+02	0.135E+03	0.379E+01	0.3404E+02	0.401E+02	0.183E+01
0.3105E+02	0.114E+03	0.368E+01	0.3412E+02	0.356E+02	0.206E+01
0.3112E+02	0.851E+02	0.336E+01	0.3420E+02	0.325E+02	0.190E+01
0.3119E+02	0.669E+02	0.320E+01	0.3428E+02	0.509E+02	0.275E+01
0.3126E+02	0.493E+02	0.253E+01	0.3436E+02	0.616E+02	0.279E+01
0.3133E+02	0.936E+02	0.468E+01	0.3444E+02	0.591E+02	0.313E+01
0.3141E+02	0.103E+03	0.350E+01	0.3451E+02	0.637E+02	0.324E+01
0.3148E+02	0.135E+03	0.425E+01	0.3459E+02	0.134E+03	0.473E+01
0.3155E+02	0.220E+03	0.566E+01	0.3467E+02	0.168E+03	0.483E+01
0.3162E+02	0.267E+03	0.598E+01	0.3475E+02	0.162E+03	0.486E+01
0.3170E+02	0.327E+03	0.722E+01	0.3483E+02	0.172E+03	0.492E+01
0.3177E+02	0.293E+03	0.746E+01	0.3491E+02	0.211E+03	0.545E+01
0.3184E+02	0.176E+03	0.471E+01	0.3499E+02	0.262E+03	0.659E+01

Table 1: (Continued).

E_n (eV)	$\sigma_{n,\gamma}$ (b)	$\Delta\sigma_{n,\gamma}$ (b)	E_n (eV)	$\sigma_{n,\gamma}$ (b)	$\Delta\sigma_{n,\gamma}$ (b)
0.3508E+02	0.358E+03	0.736E+01	0.3855E+02	0.803E+02	0.442E+01
0.3516E+02	0.454E+03	0.855E+01	0.3864E+02	0.684E+02	0.301E+01
0.3524E+02	0.381E+03	0.767E+01	0.3873E+02	0.116E+03	0.386E+01
0.3532E+02	0.341E+03	0.746E+01	0.3881E+02	0.127E+03	0.417E+01
0.3540E+02	0.214E+03	0.538E+01	0.3890E+02	0.159E+03	0.455E+01
0.3548E+02	0.133E+03	0.419E+01	0.3899E+02	0.200E+03	0.608E+01
0.3556E+02	0.121E+03	0.398E+01	0.3908E+02	0.332E+03	0.665E+01
0.3565E+02	0.137E+03	0.449E+01	0.3917E+02	0.353E+03	0.795E+01
0.3573E+02	0.143E+03	0.447E+01	0.3926E+02	0.473E+03	0.837E+01
0.3581E+02	0.177E+03	0.560E+01	0.3935E+02	0.575E+03	0.954E+01
0.3589E+02	0.290E+03	0.776E+01	0.3945E+02	0.575E+03	0.103E+02
0.3597E+02	0.364E+03	0.825E+01	0.3954E+02	0.471E+03	0.909E+01
0.3606E+02	0.533E+03	0.936E+01	0.3963E+02	0.343E+03	0.738E+01
0.3614E+02	0.693E+03	0.103E+02	0.3972E+02	0.180E+03	0.463E+01
0.3622E+02	0.718E+03	0.119E+02	0.3981E+02	0.127E+03	0.482E+01
0.3631E+02	0.553E+03	0.998E+01	0.3990E+02	0.167E+03	0.461E+01
0.3639E+02	0.408E+03	0.743E+01	0.3999E+02	0.164E+03	0.447E+01
0.3647E+02	0.269E+03	0.661E+01	0.4009E+02	0.177E+03	0.576E+01
0.3656E+02	0.238E+03	0.611E+01	0.4018E+02	0.168E+03	0.587E+01
0.3664E+02	0.186E+03	0.506E+01	0.4027E+02	0.184E+03	0.598E+01
0.3673E+02	0.234E+03	0.602E+01	0.4037E+02	0.129E+03	0.368E+01
0.3681E+02	0.250E+03	0.606E+01	0.4046E+02	0.132E+03	0.501E+01
0.3690E+02	0.394E+03	0.784E+01	0.4055E+02	0.140E+03	0.465E+01
0.3698E+02	0.538E+03	0.909E+01	0.4064E+02	0.160E+03	0.454E+01
0.3707E+02	0.690E+03	0.103E+02	0.4074E+02	0.202E+03	0.569E+01
0.3715E+02	0.963E+03	0.138E+02	0.4083E+02	0.252E+03	0.601E+01
0.3724E+02	0.879E+03	0.126E+02	0.4093E+02	0.323E+03	0.721E+01
0.3733E+02	0.571E+03	0.963E+01	0.4102E+02	0.357E+03	0.688E+01
0.3741E+02	0.331E+03	0.823E+01	0.4112E+02	0.463E+03	0.945E+01
0.3750E+02	0.185E+03	0.621E+01	0.4121E+02	0.636E+03	0.111E+02
0.3758E+02	0.181E+03	0.527E+01	0.4131E+02	0.840E+03	0.113E+02
0.3767E+02	0.219E+03	0.673E+01	0.4140E+02	0.119E+04	0.142E+02
0.3776E+02	0.294E+03	0.734E+01	0.4149E+02	0.151E+04	0.160E+02
0.3784E+02	0.390E+03	0.783E+01	0.4159E+02	0.148E+04	0.167E+02
0.3793E+02	0.406E+03	0.776E+01	0.4169E+02	0.114E+04	0.139E+02
0.3802E+02	0.284E+03	0.660E+01	0.4178E+02	0.705E+03	0.108E+02
0.3811E+02	0.214E+03	0.539E+01	0.4188E+02	0.412E+03	0.927E+01
0.3819E+02	0.155E+03	0.465E+01	0.4198E+02	0.225E+03	0.667E+01
0.3828E+02	0.766E+02	0.354E+01	0.4207E+02	0.185E+03	0.528E+01
0.3837E+02	0.549E+02	0.345E+01	0.4217E+02	0.193E+03	0.538E+01
0.3846E+02	0.668E+02	0.325E+01	0.4227E+02	0.197E+03	0.542E+01

Table 1: (Continued).

E_n (eV)	$\sigma_{n,\gamma}$ (b)	$\Delta\sigma_{n,\gamma}$ (b)	E_n (eV)	$\sigma_{n,\gamma}$ (b)	$\Delta\sigma_{n,\gamma}$ (b)
0.4236E+02	0.160E+03	0.465E+01	0.4656E+02	0.143E+04	0.167E+02
0.4246E+02	0.141E+03	0.540E+01	0.4667E+02	0.131E+04	0.152E+02
0.4256E+02	0.104E+03	0.402E+01	0.4677E+02	0.106E+04	0.145E+02
0.4266E+02	0.771E+02	0.326E+01	0.4688E+02	0.684E+03	0.115E+02
0.4276E+02	0.113E+03	0.368E+01	0.4699E+02	0.654E+03	0.116E+02
0.4285E+02	0.141E+03	0.529E+01	0.4710E+02	0.681E+03	0.103E+02
0.4295E+02	0.154E+03	0.448E+01	0.4721E+02	0.909E+03	0.125E+02
0.4305E+02	0.209E+03	0.549E+01	0.4731E+02	0.890E+03	0.115E+02
0.4315E+02	0.351E+03	0.732E+01	0.4742E+02	0.802E+03	0.118E+02
0.4325E+02	0.410E+03	0.762E+01	0.4753E+02	0.602E+03	0.998E+01
0.4335E+02	0.516E+03	0.102E+02	0.4764E+02	0.319E+03	0.705E+01
0.4345E+02	0.414E+03	0.794E+01	0.4775E+02	0.229E+03	0.611E+01
0.4355E+02	0.277E+03	0.626E+01	0.4786E+02	0.160E+03	0.568E+01
0.4365E+02	0.160E+03	0.459E+01	0.4797E+02	0.107E+03	0.420E+01
0.4375E+02	0.112E+03	0.374E+01	0.4808E+02	0.622E+02	0.315E+01
0.4385E+02	0.721E+02	0.254E+01	0.4819E+02	0.434E+02	0.256E+01
0.4395E+02	0.918E+02	0.360E+01	0.4831E+02	0.331E+02	0.186E+01
0.4406E+02	0.936E+02	0.386E+01	0.4842E+02	0.223E+02	0.148E+01
0.4416E+02	0.108E+03	0.440E+01	0.4853E+02	0.225E+02	0.161E+01
0.4426E+02	0.141E+03	0.428E+01	0.4864E+02	0.527E+02	0.236E+01
0.4436E+02	0.194E+03	0.548E+01	0.4875E+02	0.311E+02	0.184E+01
0.4446E+02	0.258E+03	0.651E+01	0.4887E+02	0.626E+02	0.275E+01
0.4457E+02	0.348E+03	0.721E+01	0.4898E+02	0.437E+02	0.297E+01
0.4467E+02	0.306E+03	0.659E+01	0.4909E+02	0.525E+02	0.209E+01
0.4477E+02	0.239E+03	0.545E+01	0.4920E+02	0.662E+02	0.363E+01
0.4488E+02	0.165E+03	0.564E+01	0.4932E+02	0.569E+02	0.242E+01
0.4498E+02	0.103E+03	0.455E+01	0.4943E+02	0.769E+02	0.401E+01
0.4508E+02	0.115E+03	0.421E+01	0.4954E+02	0.795E+02	0.302E+01
0.4519E+02	0.126E+03	0.420E+01	0.4966E+02	0.756E+02	0.344E+01
0.4529E+02	0.139E+03	0.413E+01	0.4977E+02	0.113E+03	0.463E+01
0.4539E+02	0.186E+03	0.532E+01	0.4989E+02	0.147E+03	0.422E+01
0.4550E+02	0.229E+03	0.589E+01	0.5000E+02	0.213E+03	0.541E+01
0.4560E+02	0.268E+03	0.603E+01	0.5012E+02	0.268E+03	0.640E+01
0.4571E+02	0.269E+03	0.600E+01	0.5023E+02	0.324E+03	0.721E+01
0.4581E+02	0.298E+03	0.702E+01	0.5035E+02	0.369E+03	0.753E+01
0.4592E+02	0.245E+03	0.580E+01	0.5047E+02	0.406E+03	0.831E+01
0.4603E+02	0.346E+03	0.779E+01	0.5058E+02	0.578E+03	0.106E+02
0.4613E+02	0.384E+03	0.762E+01	0.5070E+02	0.733E+03	0.117E+02
0.4624E+02	0.542E+03	0.954E+01	0.5082E+02	0.971E+03	0.128E+02
0.4635E+02	0.824E+03	0.112E+02	0.5093E+02	0.927E+03	0.127E+02
0.4645E+02	0.115E+04	0.139E+02	0.5105E+02	0.703E+03	0.110E+02

Table 1: (Continued).

E_n (eV)	$\sigma_{n,\gamma}$ (b)	$\Delta\sigma_{n,\gamma}$ (b)	E_n (eV)	$\sigma_{n,\gamma}$ (b)	$\Delta\sigma_{n,\gamma}$ (b)
0.5117E+02	0.429E+03	0.842E+01	0.5623E+02	0.163E+03	0.576E+01
0.5129E+02	0.272E+03	0.640E+01	0.5636E+02	0.192E+03	0.531E+01
0.5140E+02	0.186E+03	0.599E+01	0.5649E+02	0.216E+03	0.570E+01
0.5152E+02	0.101E+03	0.316E+01	0.5662E+02	0.194E+03	0.501E+01
0.5164E+02	0.821E+02	0.338E+01	0.5675E+02	0.172E+03	0.471E+01
0.5176E+02	0.850E+02	0.339E+01	0.5688E+02	0.155E+03	0.462E+01
0.5188E+02	0.787E+02	0.398E+01	0.5702E+02	0.169E+03	0.474E+01
0.5200E+02	0.138E+03	0.446E+01	0.5715E+02	0.231E+03	0.582E+01
0.5212E+02	0.193E+03	0.573E+01	0.5728E+02	0.392E+03	0.873E+01
0.5224E+02	0.232E+03	0.690E+01	0.5741E+02	0.586E+03	0.998E+01
0.5236E+02	0.306E+03	0.694E+01	0.5754E+02	0.691E+03	0.109E+02
0.5248E+02	0.319E+03	0.736E+01	0.5768E+02	0.668E+03	0.102E+02
0.5260E+02	0.272E+03	0.672E+01	0.5781E+02	0.658E+03	0.102E+02
0.5272E+02	0.342E+03	0.754E+01	0.5794E+02	0.510E+03	0.980E+01
0.5285E+02	0.332E+03	0.792E+01	0.5808E+02	0.231E+03	0.601E+01
0.5297E+02	0.319E+03	0.719E+01	0.5821E+02	0.123E+03	0.413E+01
0.5309E+02	0.203E+03	0.527E+01	0.5835E+02	0.936E+02	0.429E+01
0.5321E+02	0.112E+03	0.394E+01	0.5848E+02	0.839E+02	0.322E+01
0.5333E+02	0.102E+03	0.363E+01	0.5861E+02	0.123E+03	0.430E+01
0.5346E+02	0.153E+03	0.454E+01	0.5875E+02	0.139E+03	0.393E+01
0.5358E+02	0.155E+03	0.508E+01	0.5888E+02	0.250E+03	0.600E+01
0.5370E+02	0.111E+03	0.326E+01	0.5902E+02	0.287E+03	0.632E+01
0.5383E+02	0.143E+03	0.484E+01	0.5916E+02	0.378E+03	0.791E+01
0.5395E+02	0.181E+03	0.541E+01	0.5929E+02	0.258E+03	0.635E+01
0.5408E+02	0.242E+03	0.626E+01	0.5943E+02	0.150E+03	0.538E+01
0.5420E+02	0.256E+03	0.713E+01	0.5957E+02	0.699E+02	0.306E+01
0.5433E+02	0.245E+03	0.644E+01	0.5970E+02	0.568E+02	0.271E+01
0.5445E+02	0.110E+03	0.504E+01	0.5984E+02	0.652E+02	0.304E+01
0.5458E+02	0.607E+02	0.348E+01	0.5998E+02	0.403E+02	0.305E+01
0.5470E+02	0.632E+02	0.337E+01	0.6012E+02	0.393E+02	0.200E+01
0.5483E+02	0.618E+02	0.274E+01	0.6026E+02	0.515E+02	0.325E+01
0.5495E+02	0.725E+02	0.299E+01	0.6040E+02	0.661E+02	0.299E+01
0.5508E+02	0.107E+03	0.457E+01	0.6053E+02	0.608E+02	0.274E+01
0.5521E+02	0.119E+03	0.381E+01	0.6067E+02	0.835E+02	0.432E+01
0.5533E+02	0.203E+03	0.609E+01	0.6081E+02	0.160E+03	0.538E+01
0.5546E+02	0.240E+03	0.561E+01	0.6095E+02	0.207E+03	0.555E+01
0.5559E+02	0.309E+03	0.689E+01	0.6109E+02	0.295E+03	0.791E+01
0.5572E+02	0.200E+03	0.529E+01	0.6124E+02	0.284E+03	0.744E+01
0.5585E+02	0.170E+03	0.592E+01	0.6138E+02	0.200E+03	0.585E+01
0.5598E+02	0.128E+03	0.370E+01	0.6152E+02	0.118E+03	0.405E+01
0.5610E+02	0.157E+03	0.482E+01	0.6166E+02	0.579E+02	0.353E+01

Table 1: (Continued).

E_n (eV)	$\sigma_{n,\gamma}$ (b)	$\Delta\sigma_{n,\gamma}$ (b)	E_n (eV)	$\sigma_{n,\gamma}$ (b)	$\Delta\sigma_{n,\gamma}$ (b)
0.6180E+02	0.536E+02	0.274E+01	0.6792E+02	0.294E+03	0.646E+01
0.6194E+02	0.654E+02	0.278E+01	0.6808E+02	0.426E+03	0.849E+01
0.6209E+02	0.467E+02	0.251E+01	0.6823E+02	0.546E+03	0.971E+01
0.6223E+02	0.838E+02	0.315E+01	0.6839E+02	0.485E+03	0.875E+01
0.6237E+02	0.900E+02	0.315E+01	0.6855E+02	0.350E+03	0.701E+01
0.6252E+02	0.181E+03	0.499E+01	0.6871E+02	0.172E+03	0.516E+01
0.6266E+02	0.234E+03	0.606E+01	0.6886E+02	0.945E+02	0.361E+01
0.6281E+02	0.260E+03	0.639E+01	0.6902E+02	0.594E+02	0.278E+01
0.6295E+02	0.180E+03	0.580E+01	0.6918E+02	0.593E+02	0.256E+01
0.6310E+02	0.142E+03	0.463E+01	0.6934E+02	0.525E+02	0.257E+01
0.6324E+02	0.186E+03	0.576E+01	0.6950E+02	0.574E+02	0.255E+01
0.6339E+02	0.174E+03	0.484E+01	0.6966E+02	0.294E+02	0.184E+01
0.6353E+02	0.156E+03	0.480E+01	0.6982E+02	0.275E+02	0.127E+01
0.6368E+02	0.135E+03	0.525E+01	0.6998E+02	0.479E+02	0.216E+01
0.6383E+02	0.114E+03	0.533E+01	0.7015E+02	0.351E+02	0.189E+01
0.6397E+02	0.778E+02	0.471E+01	0.7031E+02	0.573E+02	0.275E+01
0.6412E+02	0.927E+02	0.509E+01	0.7047E+02	0.583E+02	0.232E+01
0.6427E+02	0.802E+02	0.409E+01	0.7063E+02	0.927E+02	0.422E+01
0.6442E+02	0.372E+02	0.330E+01	0.7079E+02	0.126E+03	0.381E+01
0.6457E+02	0.173E+02	0.232E+01	0.7096E+02	0.209E+03	0.580E+01
0.6471E+02	0.251E+02	0.225E+01	0.7112E+02	0.206E+03	0.502E+01
0.6486E+02	0.291E+02	0.165E+01	0.7129E+02	0.241E+03	0.511E+01
0.6501E+02	0.845E+01	0.945E+00	0.7145E+02	0.226E+03	0.529E+01
0.6516E+02	0.458E+02	0.207E+01	0.7161E+02	0.207E+03	0.524E+01
0.6531E+02	0.620E+02	0.353E+01	0.7178E+02	0.278E+03	0.639E+01
0.6546E+02	0.824E+02	0.330E+01	0.7194E+02	0.289E+03	0.688E+01
0.6561E+02	0.111E+03	0.328E+01	0.7211E+02	0.182E+03	0.520E+01
0.6577E+02	0.160E+03	0.492E+01	0.7228E+02	0.104E+03	0.361E+01
0.6592E+02	0.116E+03	0.481E+01	0.7244E+02	0.569E+02	0.235E+01
0.6607E+02	0.927E+02	0.407E+01	0.7261E+02	0.635E+02	0.253E+01
0.6622E+02	0.531E+02	0.333E+01	0.7278E+02	0.890E+02	0.315E+01
0.6637E+02	0.519E+02	0.260E+01	0.7295E+02	0.980E+02	0.356E+01
0.6653E+02	0.285E+02	0.156E+01	0.7311E+02	0.420E+02	0.294E+01
0.6668E+02	0.420E+02	0.209E+01	0.7328E+02	0.389E+02	0.202E+01
0.6683E+02	0.471E+02	0.200E+01	0.7345E+02	0.540E+02	0.323E+01
0.6699E+02	0.515E+02	0.329E+01	0.7362E+02	0.538E+02	0.267E+01
0.6714E+02	0.399E+02	0.213E+01	0.7379E+02	0.586E+02	0.256E+01
0.6730E+02	0.839E+02	0.351E+01	0.7396E+02	0.755E+02	0.283E+01
0.6745E+02	0.927E+02	0.341E+01	0.7413E+02	0.568E+02	0.269E+01
0.6761E+02	0.133E+03	0.508E+01	0.7430E+02	0.845E+02	0.422E+01
0.6776E+02	0.192E+03	0.481E+01	0.7447E+02	0.701E+02	0.274E+01

Table 1: (Continued).

E_n (eV)	$\sigma_{n,\gamma}$ (b)	$\Delta\sigma_{n,\gamma}$ (b)	E_n (eV)	$\sigma_{n,\gamma}$ (b)	$\Delta\sigma_{n,\gamma}$ (b)
0.7464E+02	0.830E+02	0.356E+01	0.8204E+02	0.195E+03	0.514E+01
0.7482E+02	0.467E+02	0.291E+01	0.8222E+02	0.106E+03	0.393E+01
0.7499E+02	0.364E+02	0.157E+01	0.8241E+02	0.835E+02	0.291E+01
0.7516E+02	0.333E+02	0.203E+01	0.8260E+02	0.645E+02	0.267E+01
0.7534E+02	0.404E+02	0.281E+01	0.8279E+02	0.750E+02	0.289E+01
0.7551E+02	0.651E+02	0.240E+01	0.8299E+02	0.717E+02	0.283E+01
0.7568E+02	0.788E+02	0.324E+01	0.8318E+02	0.107E+03	0.458E+01
0.7586E+02	0.843E+02	0.289E+01	0.8337E+02	0.159E+03	0.453E+01
0.7603E+02	0.140E+03	0.424E+01	0.8356E+02	0.136E+03	0.438E+01
0.7621E+02	0.157E+03	0.480E+01	0.8375E+02	0.184E+03	0.501E+01
0.7638E+02	0.135E+03	0.345E+01	0.8395E+02	0.157E+03	0.508E+01
0.7656E+02	0.734E+02	0.389E+01	0.8414E+02	0.262E+03	0.704E+01
0.7674E+02	0.833E+02	0.306E+01	0.8433E+02	0.299E+03	0.658E+01
0.7691E+02	0.520E+02	0.209E+01	0.8453E+02	0.310E+03	0.696E+01
0.7709E+02	0.945E+02	0.422E+01	0.8472E+02	0.273E+03	0.729E+01
0.7727E+02	0.954E+02	0.407E+01	0.8492E+02	0.190E+03	0.512E+01
0.7745E+02	0.136E+03	0.456E+01	0.8511E+02	0.117E+03	0.372E+01
0.7762E+02	0.215E+03	0.570E+01	0.8531E+02	0.739E+02	0.380E+01
0.7780E+02	0.309E+03	0.729E+01	0.8551E+02	0.602E+02	0.239E+01
0.7798E+02	0.333E+03	0.745E+01	0.8570E+02	0.918E+02	0.365E+01
0.7816E+02	0.239E+03	0.602E+01	0.8590E+02	0.980E+02	0.424E+01
0.7834E+02	0.242E+03	0.725E+01	0.8610E+02	0.131E+03	0.381E+01
0.7852E+02	0.163E+03	0.433E+01	0.8630E+02	0.174E+03	0.443E+01
0.7871E+02	0.225E+03	0.594E+01	0.8650E+02	0.103E+03	0.370E+01
0.7889E+02	0.363E+03	0.690E+01	0.8670E+02	0.638E+02	0.280E+01
0.7907E+02	0.485E+03	0.900E+01	0.8690E+02	0.248E+02	0.150E+01
0.7925E+02	0.510E+03	0.900E+01	0.8710E+02	0.276E+02	0.266E+01
0.7943E+02	0.412E+03	0.850E+01	0.8730E+02	0.304E+02	0.188E+01
0.7962E+02	0.280E+03	0.674E+01	0.8750E+02	0.265E+02	0.184E+01
0.7980E+02	0.281E+03	0.747E+01	0.8770E+02	0.351E+02	0.193E+01
0.7998E+02	0.316E+03	0.673E+01	0.8790E+02	0.352E+02	0.194E+01
0.8017E+02	0.306E+03	0.663E+01	0.8811E+02	0.542E+02	0.258E+01
0.8035E+02	0.269E+03	0.643E+01	0.8831E+02	0.782E+02	0.292E+01
0.8054E+02	0.298E+03	0.772E+01	0.8851E+02	0.971E+02	0.448E+01
0.8072E+02	0.414E+03	0.816E+01	0.8872E+02	0.132E+03	0.463E+01
0.8091E+02	0.381E+03	0.742E+01	0.8892E+02	0.124E+03	0.387E+01
0.8110E+02	0.388E+03	0.796E+01	0.8912E+02	0.167E+03	0.447E+01
0.8128E+02	0.514E+03	0.909E+01	0.8933E+02	0.181E+03	0.527E+01
0.8147E+02	0.533E+03	0.881E+01	0.8954E+02	0.228E+03	0.541E+01
0.8166E+02	0.545E+03	0.963E+01	0.8974E+02	0.275E+03	0.739E+01
0.8185E+02	0.323E+03	0.653E+01	0.8995E+02	0.316E+03	0.672E+01

Table 1: (Continued).

E_n (eV)	$\sigma_{n,\gamma}$ (b)	$\Delta\sigma_{n,\gamma}$ (b)	E_n (eV)	$\sigma_{n,\gamma}$ (b)	$\Delta\sigma_{n,\gamma}$ (b)
0.9016E+02	0.255E+03	0.630E+01	0.9908E+02	0.271E+03	0.670E+01
0.9036E+02	0.183E+03	0.536E+01	0.9931E+02	0.379E+03	0.726E+01
0.9057E+02	0.159E+03	0.471E+01	0.9954E+02	0.269E+03	0.572E+01
0.9078E+02	0.173E+03	0.597E+01	0.9977E+02	0.149E+03	0.444E+01
0.9099E+02	0.179E+03	0.568E+01	0.1000E+03	0.836E+02	0.332E+01
0.9120E+02	0.118E+03	0.475E+01	0.1002E+03	0.609E+02	0.205E+01
0.9141E+02	0.135E+03	0.512E+01	0.1005E+03	0.927E+02	0.316E+01
0.9162E+02	0.143E+03	0.431E+01	0.1007E+03	0.124E+03	0.412E+01
0.9183E+02	0.147E+03	0.414E+01	0.1009E+03	0.212E+03	0.555E+01
0.9204E+02	0.111E+03	0.368E+01	0.1012E+03	0.308E+03	0.728E+01
0.9226E+02	0.918E+02	0.330E+01	0.1014E+03	0.352E+03	0.840E+01
0.9247E+02	0.441E+02	0.207E+01	0.1016E+03	0.233E+03	0.593E+01
0.9268E+02	0.731E+02	0.316E+01	0.1019E+03	0.165E+03	0.479E+01
0.9290E+02	0.102E+03	0.365E+01	0.1021E+03	0.160E+03	0.427E+01
0.9311E+02	0.136E+03	0.413E+01	0.1023E+03	0.139E+03	0.387E+01
0.9332E+02	0.192E+03	0.628E+01	0.1026E+03	0.226E+03	0.556E+01
0.9354E+02	0.291E+03	0.655E+01	0.1028E+03	0.259E+03	0.653E+01
0.9376E+02	0.340E+03	0.708E+01	0.1030E+03	0.281E+03	0.792E+01
0.9397E+02	0.428E+03	0.805E+01	0.1033E+03	0.212E+03	0.536E+01
0.9419E+02	0.330E+03	0.754E+01	0.1035E+03	0.222E+03	0.667E+01
0.9441E+02	0.251E+03	0.734E+01	0.1038E+03	0.202E+03	0.549E+01
0.9462E+02	0.207E+03	0.558E+01	0.1040E+03	0.119E+03	0.361E+01
0.9484E+02	0.103E+03	0.304E+01	0.1042E+03	0.752E+02	0.267E+01
0.9506E+02	0.945E+02	0.321E+01	0.1045E+03	0.101E+03	0.319E+01
0.9528E+02	0.634E+02	0.262E+01	0.1047E+03	0.184E+03	0.469E+01
0.9550E+02	0.553E+02	0.242E+01	0.1049E+03	0.122E+03	0.414E+01
0.9572E+02	0.871E+02	0.357E+01	0.1052E+03	0.963E+02	0.341E+01
0.9594E+02	0.553E+02	0.214E+01	0.1054E+03	0.796E+02	0.319E+01
0.9616E+02	0.126E+03	0.422E+01	0.1057E+03	0.455E+02	0.193E+01
0.9638E+02	0.181E+03	0.483E+01	0.1059E+03	0.466E+02	0.253E+01
0.9661E+02	0.276E+03	0.684E+01	0.1062E+03	0.734E+02	0.416E+01
0.9683E+02	0.295E+03	0.652E+01	0.1064E+03	0.801E+02	0.426E+01
0.9705E+02	0.306E+03	0.667E+01	0.1067E+03	0.101E+03	0.350E+01
0.9728E+02	0.234E+03	0.582E+01	0.1069E+03	0.180E+03	0.532E+01
0.9750E+02	0.145E+03	0.459E+01	0.1072E+03	0.201E+03	0.559E+01
0.9772E+02	0.623E+02	0.275E+01	0.1074E+03	0.211E+03	0.570E+01
0.9795E+02	0.998E+02	0.388E+01	0.1077E+03	0.258E+03	0.742E+01
0.9818E+02	0.129E+03	0.397E+01	0.1079E+03	0.210E+03	0.543E+01
0.9840E+02	0.105E+03	0.302E+01	0.1081E+03	0.165E+03	0.573E+01
0.9863E+02	0.122E+03	0.430E+01	0.1084E+03	0.154E+03	0.494E+01
0.9886E+02	0.199E+03	0.529E+01	0.1086E+03	0.201E+03	0.512E+01

Table 1: (Continued).

E_n (eV)	$\sigma_{n,\gamma}$ (b)	$\Delta\sigma_{n,\gamma}$ (b)	E_n (eV)	$\sigma_{n,\gamma}$ (b)	$\Delta\sigma_{n,\gamma}$ (b)
0.1089E+03	0.203E+03	0.573E+01	0.1197E+03	0.106E+03	0.455E+01
0.1091E+03	0.179E+03	0.471E+01	0.1199E+03	0.927E+02	0.321E+01
0.1094E+03	0.212E+03	0.548E+01	0.1202E+03	0.112E+03	0.358E+01
0.1097E+03	0.328E+03	0.740E+01	0.1205E+03	0.116E+03	0.381E+01
0.1099E+03	0.373E+03	0.755E+01	0.1208E+03	0.170E+03	0.471E+01
0.1102E+03	0.397E+03	0.790E+01	0.1211E+03	0.248E+03	0.588E+01
0.1104E+03	0.372E+03	0.701E+01	0.1213E+03	0.237E+03	0.562E+01
0.1107E+03	0.286E+03	0.611E+01	0.1216E+03	0.234E+03	0.615E+01
0.1109E+03	0.338E+03	0.731E+01	0.1219E+03	0.158E+03	0.439E+01
0.1112E+03	0.351E+03	0.737E+01	0.1222E+03	0.160E+03	0.541E+01
0.1114E+03	0.177E+03	0.508E+01	0.1225E+03	0.147E+03	0.488E+01
0.1117E+03	0.229E+03	0.700E+01	0.1227E+03	0.122E+03	0.399E+01
0.1119E+03	0.311E+03	0.660E+01	0.1230E+03	0.538E+02	0.220E+01
0.1122E+03	0.460E+03	0.849E+01	0.1233E+03	0.758E+02	0.312E+01
0.1125E+03	0.465E+03	0.830E+01	0.1236E+03	0.579E+02	0.271E+01
0.1127E+03	0.316E+03	0.805E+01	0.1239E+03	0.710E+02	0.255E+01
0.1130E+03	0.165E+03	0.503E+01	0.1242E+03	0.602E+02	0.258E+01
0.1132E+03	0.889E+02	0.332E+01	0.1244E+03	0.345E+02	0.157E+01
0.1135E+03	0.775E+02	0.285E+01	0.1247E+03	0.345E+02	0.225E+01
0.1138E+03	0.764E+02	0.275E+01	0.1250E+03	0.429E+02	0.201E+01
0.1140E+03	0.741E+02	0.281E+01	0.1253E+03	0.998E+02	0.381E+01
0.1143E+03	0.136E+03	0.426E+01	0.1256E+03	0.140E+03	0.401E+01
0.1146E+03	0.174E+03	0.494E+01	0.1259E+03	0.178E+03	0.544E+01
0.1148E+03	0.209E+03	0.536E+01	0.1262E+03	0.111E+03	0.344E+01
0.1151E+03	0.182E+03	0.480E+01	0.1265E+03	0.102E+03	0.388E+01
0.1153E+03	0.155E+03	0.464E+01	0.1268E+03	0.108E+03	0.368E+01
0.1156E+03	0.190E+03	0.540E+01	0.1271E+03	0.900E+02	0.291E+01
0.1159E+03	0.145E+03	0.463E+01	0.1273E+03	0.507E+02	0.260E+01
0.1161E+03	0.180E+03	0.504E+01	0.1276E+03	0.458E+02	0.209E+01
0.1164E+03	0.153E+03	0.435E+01	0.1279E+03	0.881E+02	0.459E+01
0.1167E+03	0.128E+03	0.404E+01	0.1282E+03	0.954E+02	0.322E+01
0.1169E+03	0.824E+02	0.402E+01	0.1285E+03	0.119E+03	0.378E+01
0.1172E+03	0.772E+02	0.279E+01	0.1288E+03	0.149E+03	0.428E+01
0.1175E+03	0.115E+03	0.488E+01	0.1291E+03	0.127E+03	0.425E+01
0.1178E+03	0.117E+03	0.430E+01	0.1294E+03	0.187E+03	0.549E+01
0.1180E+03	0.989E+02	0.394E+01	0.1297E+03	0.205E+03	0.530E+01
0.1183E+03	0.766E+02	0.401E+01	0.1300E+03	0.302E+03	0.740E+01
0.1186E+03	0.359E+02	0.217E+01	0.1303E+03	0.260E+03	0.786E+01
0.1188E+03	0.751E+02	0.263E+01	0.1306E+03	0.139E+03	0.459E+01
0.1191E+03	0.333E+02	0.138E+01	0.1309E+03	0.971E+02	0.373E+01
0.1194E+03	0.721E+02	0.260E+01	0.1312E+03	0.725E+02	0.280E+01

Table 1: (Continued).

E_n (eV)	$\sigma_{n,\gamma}$ (b)	$\Delta\sigma_{n,\gamma}$ (b)	E_n (eV)	$\sigma_{n,\gamma}$ (b)	$\Delta\sigma_{n,\gamma}$ (b)
0.1315E+03	0.529E+02	0.193E+01	0.1445E+03	0.111E+03	0.390E+01
0.1318E+03	0.658E+02	0.232E+01	0.1449E+03	0.121E+03	0.489E+01
0.1321E+03	0.111E+03	0.422E+01	0.1452E+03	0.207E+03	0.575E+01
0.1324E+03	0.105E+03	0.363E+01	0.1456E+03	0.218E+03	0.555E+01
0.1327E+03	0.884E+02	0.316E+01	0.1459E+03	0.190E+03	0.494E+01
0.1331E+03	0.474E+02	0.316E+01	0.1462E+03	0.259E+03	0.730E+01
0.1334E+03	0.575E+02	0.283E+01	0.1466E+03	0.231E+03	0.568E+01
0.1337E+03	0.352E+02	0.161E+01	0.1469E+03	0.250E+03	0.597E+01
0.1340E+03	0.372E+02	0.191E+01	0.1472E+03	0.296E+03	0.770E+01
0.1343E+03	0.515E+02	0.238E+01	0.1476E+03	0.174E+03	0.514E+01
0.1346E+03	0.109E+03	0.381E+01	0.1479E+03	0.138E+03	0.472E+01
0.1349E+03	0.127E+03	0.436E+01	0.1482E+03	0.111E+03	0.355E+01
0.1352E+03	0.118E+03	0.482E+01	0.1486E+03	0.119E+03	0.384E+01
0.1355E+03	0.875E+02	0.301E+01	0.1489E+03	0.765E+02	0.315E+01
0.1358E+03	0.693E+02	0.379E+01	0.1493E+03	0.114E+03	0.358E+01
0.1361E+03	0.537E+02	0.258E+01	0.1496E+03	0.153E+03	0.561E+01
0.1365E+03	0.303E+02	0.235E+01	0.1500E+03	0.860E+02	0.304E+01
0.1368E+03	0.168E+02	0.785E+00	0.1503E+03	0.594E+02	0.343E+01
0.1371E+03	0.121E+02	0.751E+00	0.1507E+03	0.461E+02	0.230E+01
0.1374E+03	0.258E+02	0.120E+01	0.1510E+03	0.544E+02	0.287E+01
0.1377E+03	0.269E+02	0.232E+01	0.1514E+03	0.582E+02	0.243E+01
0.1380E+03	0.193E+02	0.121E+01	0.1517E+03	0.587E+02	0.230E+01
0.1384E+03	0.222E+02	0.219E+01	0.1521E+03	0.638E+02	0.279E+01
0.1387E+03	0.411E+02	0.193E+01	0.1524E+03	0.963E+02	0.362E+01
0.1390E+03	0.647E+02	0.291E+01	0.1528E+03	0.172E+03	0.546E+01
0.1393E+03	0.557E+02	0.248E+01	0.1531E+03	0.157E+03	0.473E+01
0.1396E+03	0.881E+02	0.392E+01	0.1535E+03	0.185E+03	0.516E+01
0.1400E+03	0.106E+03	0.409E+01	0.1538E+03	0.186E+03	0.616E+01
0.1403E+03	0.678E+02	0.238E+01	0.1542E+03	0.183E+03	0.655E+01
0.1406E+03	0.120E+03	0.378E+01	0.1545E+03	0.156E+03	0.496E+01
0.1409E+03	0.146E+03	0.525E+01	0.1549E+03	0.200E+03	0.545E+01
0.1412E+03	0.184E+03	0.512E+01	0.1552E+03	0.306E+03	0.825E+01
0.1416E+03	0.225E+03	0.596E+01	0.1556E+03	0.244E+03	0.607E+01
0.1419E+03	0.214E+03	0.559E+01	0.1560E+03	0.201E+03	0.541E+01
0.1422E+03	0.258E+03	0.720E+01	0.1563E+03	0.266E+03	0.683E+01
0.1426E+03	0.188E+03	0.477E+01	0.1567E+03	0.267E+03	0.632E+01
0.1429E+03	0.132E+03	0.405E+01	0.1570E+03	0.154E+03	0.482E+01
0.1432E+03	0.170E+03	0.542E+01	0.1574E+03	0.445E+02	0.244E+01
0.1436E+03	0.135E+03	0.430E+01	0.1578E+03	0.491E+02	0.298E+01
0.1439E+03	0.124E+03	0.430E+01	0.1581E+03	0.572E+02	0.295E+01
0.1442E+03	0.118E+03	0.419E+01	0.1585E+03	0.412E+02	0.309E+01

Table 1: (Continued).

E_n (eV)	$\sigma_{n,\gamma}$ (b)	$\Delta\sigma_{n,\gamma}$ (b)	E_n (eV)	$\sigma_{n,\gamma}$ (b)	$\Delta\sigma_{n,\gamma}$ (b)
0.1589E+03	0.658E+02	0.290E+01	0.1746E+03	0.725E+02	0.290E+01
0.1592E+03	0.654E+02	0.269E+01	0.1750E+03	0.567E+02	0.225E+01
0.1596E+03	0.104E+03	0.366E+01	0.1754E+03	0.445E+02	0.173E+01
0.1600E+03	0.886E+02	0.317E+01	0.1758E+03	0.308E+02	0.200E+01
0.1603E+03	0.927E+02	0.377E+01	0.1762E+03	0.822E+02	0.422E+01
0.1607E+03	0.840E+02	0.291E+01	0.1766E+03	0.101E+03	0.330E+01
0.1611E+03	0.495E+02	0.254E+01	0.1770E+03	0.124E+03	0.433E+01
0.1614E+03	0.195E+02	0.122E+01	0.1774E+03	0.216E+03	0.582E+01
0.1618E+03	0.469E+02	0.218E+01	0.1778E+03	0.239E+03	0.619E+01
0.1622E+03	0.150E+02	0.179E+01	0.1782E+03	0.318E+03	0.734E+01
0.1626E+03	0.526E+02	0.266E+01	0.1786E+03	0.239E+03	0.722E+01
0.1629E+03	0.909E+02	0.333E+01	0.1791E+03	0.152E+03	0.555E+01
0.1633E+03	0.132E+03	0.449E+01	0.1795E+03	0.989E+02	0.363E+01
0.1637E+03	0.128E+03	0.406E+01	0.1799E+03	0.697E+02	0.283E+01
0.1641E+03	0.856E+02	0.309E+01	0.1803E+03	0.790E+02	0.321E+01
0.1644E+03	0.103E+03	0.357E+01	0.1807E+03	0.845E+02	0.296E+01
0.1648E+03	0.516E+02	0.235E+01	0.1811E+03	0.945E+02	0.338E+01
0.1652E+03	0.544E+02	0.220E+01	0.1816E+03	0.945E+02	0.348E+01
0.1656E+03	0.654E+02	0.227E+01	0.1820E+03	0.153E+03	0.494E+01
0.1660E+03	0.289E+02	0.124E+01	0.1824E+03	0.127E+03	0.532E+01
0.1663E+03	0.556E+02	0.255E+01	0.1828E+03	0.152E+03	0.484E+01
0.1667E+03	0.696E+02	0.262E+01	0.1832E+03	0.140E+03	0.432E+01
0.1671E+03	0.121E+03	0.399E+01	0.1836E+03	0.106E+03	0.387E+01
0.1675E+03	0.132E+03	0.504E+01	0.1841E+03	0.791E+02	0.337E+01
0.1679E+03	0.165E+03	0.501E+01	0.1845E+03	0.421E+02	0.239E+01
0.1683E+03	0.164E+03	0.516E+01	0.1849E+03	0.482E+02	0.272E+01
0.1687E+03	0.203E+03	0.542E+01	0.1854E+03	0.579E+02	0.278E+01
0.1690E+03	0.205E+03	0.621E+01	0.1858E+03	0.725E+02	0.332E+01
0.1694E+03	0.989E+02	0.457E+01	0.1862E+03	0.107E+03	0.373E+01
0.1698E+03	0.163E+03	0.455E+01	0.1866E+03	0.210E+03	0.615E+01
0.1702E+03	0.180E+03	0.645E+01	0.1871E+03	0.153E+03	0.554E+01
0.1706E+03	0.185E+03	0.602E+01	0.1875E+03	0.124E+03	0.427E+01
0.1710E+03	0.184E+03	0.563E+01	0.1879E+03	0.130E+03	0.432E+01
0.1714E+03	0.152E+03	0.468E+01	0.1884E+03	0.127E+03	0.371E+01
0.1718E+03	0.834E+02	0.354E+01	0.1888E+03	0.119E+03	0.405E+01
0.1722E+03	0.490E+02	0.224E+01	0.1892E+03	0.128E+03	0.433E+01
0.1726E+03	0.414E+02	0.217E+01	0.1897E+03	0.154E+03	0.406E+01
0.1730E+03	0.628E+02	0.278E+01	0.1901E+03	0.200E+03	0.690E+01
0.1734E+03	0.584E+02	0.214E+01	0.1906E+03	0.162E+03	0.553E+01
0.1738E+03	0.761E+02	0.413E+01	0.1910E+03	0.185E+03	0.628E+01
0.1742E+03	0.963E+02	0.381E+01	0.1914E+03	0.909E+02	0.333E+01

Table 1: (Continued).

E_n (eV)	$\sigma_{n,\gamma}$ (b)	$\Delta\sigma_{n,\gamma}$ (b)	E_n (eV)	$\sigma_{n,\gamma}$ (b)	$\Delta\sigma_{n,\gamma}$ (b)
0.1919E+03	0.554E+02	0.378E+01	0.2109E+03	0.136E+03	0.446E+01
0.1923E+03	0.693E+02	0.378E+01	0.2114E+03	0.221E+03	0.589E+01
0.1928E+03	0.799E+02	0.337E+01	0.2118E+03	0.201E+03	0.562E+01
0.1932E+03	0.741E+02	0.319E+01	0.2123E+03	0.257E+03	0.638E+01
0.1936E+03	0.149E+03	0.504E+01	0.2128E+03	0.312E+03	0.823E+01
0.1941E+03	0.103E+03	0.462E+01	0.2133E+03	0.227E+03	0.601E+01
0.1945E+03	0.248E+03	0.659E+01	0.2138E+03	0.222E+03	0.620E+01
0.1950E+03	0.228E+03	0.564E+01	0.2143E+03	0.769E+02	0.294E+01
0.1954E+03	0.166E+03	0.578E+01	0.2148E+03	0.540E+02	0.330E+01
0.1959E+03	0.851E+02	0.352E+01	0.2153E+03	0.357E+02	0.184E+01
0.1963E+03	0.492E+02	0.230E+01	0.2158E+03	0.616E+02	0.273E+01
0.1968E+03	0.573E+02	0.255E+01	0.2163E+03	0.658E+02	0.395E+01
0.1972E+03	0.998E+02	0.366E+01	0.2168E+03	0.103E+03	0.385E+01
0.1977E+03	0.126E+03	0.512E+01	0.2173E+03	0.909E+02	0.324E+01
0.1981E+03	0.164E+03	0.439E+01	0.2178E+03	0.135E+03	0.562E+01
0.1986E+03	0.159E+03	0.402E+01	0.2183E+03	0.105E+03	0.440E+01
0.1991E+03	0.145E+03	0.458E+01	0.2188E+03	0.717E+02	0.262E+01
0.1995E+03	0.854E+02	0.411E+01	0.2193E+03	0.909E+02	0.426E+01
0.2000E+03	0.554E+02	0.284E+01	0.2198E+03	0.945E+02	0.367E+01
0.2004E+03	0.448E+02	0.201E+01	0.2203E+03	0.722E+02	0.312E+01
0.2009E+03	0.718E+02	0.263E+01	0.2208E+03	0.576E+02	0.267E+01
0.2014E+03	0.546E+02	0.334E+01	0.2213E+03	0.909E+02	0.440E+01
0.2018E+03	0.460E+02	0.207E+01	0.2218E+03	0.102E+03	0.389E+01
0.2023E+03	0.644E+02	0.254E+01	0.2223E+03	0.136E+03	0.459E+01
0.2028E+03	0.744E+02	0.290E+01	0.2228E+03	0.117E+03	0.377E+01
0.2032E+03	0.945E+02	0.311E+01	0.2234E+03	0.182E+03	0.602E+01
0.2037E+03	0.114E+03	0.494E+01	0.2239E+03	0.179E+03	0.496E+01
0.2042E+03	0.135E+03	0.510E+01	0.2244E+03	0.748E+02	0.381E+01
0.2046E+03	0.152E+03	0.586E+01	0.2249E+03	0.584E+02	0.253E+01
0.2051E+03	0.888E+02	0.357E+01	0.2254E+03	0.639E+02	0.380E+01
0.2056E+03	0.900E+02	0.332E+01	0.2259E+03	0.283E+02	0.267E+01
0.2061E+03	0.684E+02	0.362E+01	0.2265E+03	0.376E+02	0.225E+01
0.2065E+03	0.900E+02	0.313E+01	0.2270E+03	0.385E+02	0.226E+01
0.2070E+03	0.131E+03	0.467E+01	0.2275E+03	0.383E+02	0.186E+01
0.2075E+03	0.102E+03	0.383E+01	0.2280E+03	0.433E+02	0.228E+01
0.2080E+03	0.954E+02	0.432E+01	0.2286E+03	0.621E+02	0.366E+01
0.2084E+03	0.127E+03	0.523E+01	0.2291E+03	0.615E+02	0.275E+01
0.2089E+03	0.102E+03	0.344E+01	0.2296E+03	0.101E+03	0.359E+01
0.2094E+03	0.136E+03	0.439E+01	0.2301E+03	0.807E+02	0.331E+01
0.2099E+03	0.167E+03	0.514E+01	0.2307E+03	0.890E+02	0.338E+01
0.2104E+03	0.125E+03	0.391E+01	0.2312E+03	0.891E+02	0.355E+01

Table 1: (Continued).

E_n (eV)	$\sigma_{n,\gamma}$ (b)	$\Delta\sigma_{n,\gamma}$ (b)	E_n (eV)	$\sigma_{n,\gamma}$ (b)	$\Delta\sigma_{n,\gamma}$ (b)
0.2317E+03	0.521E+02	0.265E+01	0.2547E+03	0.989E+02	0.474E+01
0.2323E+03	0.676E+02	0.374E+01	0.2553E+03	0.560E+02	0.270E+01
0.2328E+03	0.609E+02	0.366E+01	0.2559E+03	0.515E+02	0.314E+01
0.2334E+03	0.119E+03	0.408E+01	0.2565E+03	0.611E+02	0.275E+01
0.2339E+03	0.119E+03	0.368E+01	0.2570E+03	0.441E+02	0.217E+01
0.2344E+03	0.103E+03	0.322E+01	0.2576E+03	0.796E+02	0.321E+01
0.2350E+03	0.141E+03	0.449E+01	0.2582E+03	0.727E+02	0.401E+01
0.2355E+03	0.113E+03	0.383E+01	0.2588E+03	0.152E+03	0.585E+01
0.2361E+03	0.756E+02	0.376E+01	0.2594E+03	0.153E+03	0.495E+01
0.2366E+03	0.884E+02	0.376E+01	0.2600E+03	0.103E+03	0.408E+01
0.2371E+03	0.747E+02	0.406E+01	0.2606E+03	0.998E+02	0.369E+01
0.2377E+03	0.971E+02	0.367E+01	0.2612E+03	0.600E+02	0.355E+01
0.2382E+03	0.918E+02	0.353E+01	0.2618E+03	0.534E+02	0.271E+01
0.2388E+03	0.111E+03	0.320E+01	0.2624E+03	0.700E+02	0.307E+01
0.2393E+03	0.171E+03	0.576E+01	0.2630E+03	0.689E+02	0.387E+01
0.2399E+03	0.160E+03	0.555E+01	0.2636E+03	0.691E+02	0.257E+01
0.2404E+03	0.178E+03	0.540E+01	0.2642E+03	0.971E+02	0.364E+01
0.2410E+03	0.206E+03	0.578E+01	0.2649E+03	0.185E+03	0.541E+01
0.2416E+03	0.244E+03	0.594E+01	0.2655E+03	0.217E+03	0.574E+01
0.2421E+03	0.209E+03	0.594E+01	0.2661E+03	0.217E+03	0.603E+01
0.2427E+03	0.135E+03	0.493E+01	0.2667E+03	0.120E+03	0.337E+01
0.2432E+03	0.116E+03	0.394E+01	0.2673E+03	0.116E+03	0.407E+01
0.2438E+03	0.102E+03	0.334E+01	0.2679E+03	0.120E+03	0.390E+01
0.2443E+03	0.150E+03	0.504E+01	0.2685E+03	0.980E+02	0.459E+01
0.2449E+03	0.193E+03	0.512E+01	0.2691E+03	0.877E+02	0.324E+01
0.2455E+03	0.184E+03	0.501E+01	0.2698E+03	0.736E+02	0.398E+01
0.2460E+03	0.154E+03	0.578E+01	0.2704E+03	0.927E+02	0.435E+01
0.2466E+03	0.660E+02	0.291E+01	0.2710E+03	0.120E+03	0.461E+01
0.2472E+03	0.436E+02	0.247E+01	0.2716E+03	0.134E+03	0.575E+01
0.2477E+03	0.578E+02	0.300E+01	0.2723E+03	0.109E+03	0.382E+01
0.2483E+03	0.659E+02	0.254E+01	0.2729E+03	0.104E+03	0.328E+01
0.2489E+03	0.419E+02	0.247E+01	0.2735E+03	0.669E+02	0.379E+01
0.2495E+03	0.545E+02	0.335E+01	0.2742E+03	0.672E+02	0.379E+01
0.2500E+03	0.779E+02	0.271E+01	0.2748E+03	0.326E+02	0.178E+01
0.2506E+03	0.891E+02	0.351E+01	0.2754E+03	0.514E+02	0.238E+01
0.2512E+03	0.106E+03	0.475E+01	0.2761E+03	0.664E+02	0.295E+01
0.2518E+03	0.113E+03	0.443E+01	0.2767E+03	0.119E+03	0.536E+01
0.2524E+03	0.146E+03	0.494E+01	0.2773E+03	0.112E+03	0.445E+01
0.2529E+03	0.201E+03	0.533E+01	0.2780E+03	0.101E+03	0.381E+01
0.2535E+03	0.191E+03	0.490E+01	0.2786E+03	0.848E+02	0.283E+01
0.2541E+03	0.139E+03	0.430E+01	0.2792E+03	0.795E+02	0.293E+01

Table 1: (Continued).

E_n (eV)	$\sigma_{n,\gamma}$ (b)	$\Delta\sigma_{n,\gamma}$ (b)	E_n (eV)	$\sigma_{n,\gamma}$ (b)	$\Delta\sigma_{n,\gamma}$ (b)
0.2799E+03	0.732E+02	0.297E+01	0.3076E+03	0.900E+02	0.348E+01
0.2805E+03	0.124E+03	0.428E+01	0.3079E+03	0.859E+02	0.255E+01
0.2812E+03	0.160E+03	0.508E+01	0.3877E+03	0.608E+02	0.214E+01
0.2818E+03	0.143E+03	0.432E+01	0.4881E+03	0.586E+02	0.210E+01
0.2825E+03	0.127E+03	0.474E+01	0.6145E+03	0.453E+02	0.184E+01
0.2831E+03	0.744E+02	0.401E+01	0.7736E+03	0.416E+02	0.177E+01
0.2838E+03	0.780E+02	0.347E+01	0.9738E+03	0.346E+02	0.161E+01
0.2845E+03	0.652E+02	0.306E+01	0.1226E+04	0.298E+02	0.150E+01
0.2851E+03	0.111E+03	0.388E+01	0.1543E+04	0.221E+02	0.129E+01
0.2858E+03	0.963E+02	0.348E+01	0.1943E+04	0.234E+02	0.133E+01
0.2864E+03	0.109E+03	0.512E+01			
0.2871E+03	0.102E+03	0.402E+01			
0.2877E+03	0.109E+03	0.348E+01			
0.2884E+03	0.102E+03	0.372E+01			
0.2891E+03	0.114E+03	0.336E+01			
0.2897E+03	0.130E+03	0.442E+01			
0.2904E+03	0.954E+02	0.348E+01			
0.2911E+03	0.631E+02	0.297E+01			
0.2917E+03	0.548E+02	0.368E+01			
0.2924E+03	0.277E+02	0.160E+01			
0.2931E+03	0.376E+02	0.188E+01			
0.2938E+03	0.151E+02	0.151E+01			
0.2944E+03	0.612E+02	0.389E+01			
0.2951E+03	0.655E+02	0.382E+01			
0.2958E+03	0.927E+02	0.444E+01			
0.2965E+03	0.546E+02	0.227E+01			
0.2972E+03	0.927E+02	0.384E+01			
0.2979E+03	0.810E+02	0.290E+01			
0.2985E+03	0.137E+03	0.447E+01			
0.2992E+03	0.156E+03	0.568E+01			
0.2999E+03	0.168E+03	0.496E+01			
0.3006E+03	0.156E+03	0.504E+01			
0.3013E+03	0.104E+03	0.372E+01			
0.3020E+03	0.111E+03	0.437E+01			
0.3027E+03	0.737E+02	0.305E+01			
0.3034E+03	0.141E+03	0.465E+01			
0.3041E+03	0.146E+03	0.471E+01			
0.3048E+03	0.191E+03	0.671E+01			
0.3055E+03	0.112E+03	0.436E+01			
0.3062E+03	0.135E+03	0.439E+01			
0.3069E+03	0.909E+02	0.444E+01			

Table 2: Neutron capture cross sections of ^{153}Eu .

E_n (eV)	$\sigma_{n,\gamma}$ (b)	$\Delta\sigma_{n,\gamma}$ (b)	E_n (eV)	$\sigma_{n,\gamma}$ (b)	$\Delta\sigma_{n,\gamma}$ (b)
0.6902E-01	0.451E+02	0.722E+00	0.7586E-01	0.165E+03	0.144E+01
0.6918E-01	0.172E+03	0.141E+01	0.7603E-01	0.174E+03	0.148E+01
0.6934E-01	0.186E+03	0.144E+01	0.7621E-01	0.169E+03	0.144E+01
0.6950E-01	0.175E+03	0.140E+01	0.7638E-01	0.165E+03	0.144E+01
0.6966E-01	0.185E+03	0.148E+01	0.7656E-01	0.161E+03	0.142E+01
0.6982E-01	0.176E+03	0.144E+01	0.7674E-01	0.167E+03	0.148E+01
0.6998E-01	0.182E+03	0.143E+01	0.7691E-01	0.170E+03	0.146E+01
0.7015E-01	0.178E+03	0.141E+01	0.7709E-01	0.167E+03	0.146E+01
0.7031E-01	0.181E+03	0.146E+01	0.7727E-01	0.169E+03	0.147E+01
0.7047E-01	0.173E+03	0.141E+01	0.7745E-01	0.172E+03	0.155E+01
0.7063E-01	0.180E+03	0.144E+01	0.7762E-01	0.152E+03	0.137E+01
0.7079E-01	0.177E+03	0.144E+01	0.7780E-01	0.167E+03	0.148E+01
0.7096E-01	0.180E+03	0.145E+01	0.7798E-01	0.170E+03	0.148E+01
0.7112E-01	0.180E+03	0.144E+01	0.7816E-01	0.170E+03	0.146E+01
0.7129E-01	0.169E+03	0.140E+01	0.7834E-01	0.161E+03	0.146E+01
0.7145E-01	0.180E+03	0.145E+01	0.7852E-01	0.164E+03	0.144E+01
0.7161E-01	0.174E+03	0.142E+01	0.7870E-01	0.162E+03	0.143E+01
0.7178E-01	0.185E+03	0.148E+01	0.7889E-01	0.169E+03	0.151E+01
0.7194E-01	0.172E+03	0.146E+01	0.7907E-01	0.170E+03	0.149E+01
0.7211E-01	0.170E+03	0.139E+01	0.7925E-01	0.162E+03	0.144E+01
0.7228E-01	0.177E+03	0.144E+01	0.7943E-01	0.166E+03	0.150E+01
0.7244E-01	0.178E+03	0.144E+01	0.7962E-01	0.163E+03	0.148E+01
0.7261E-01	0.178E+03	0.146E+01	0.7980E-01	0.164E+03	0.146E+01
0.7278E-01	0.177E+03	0.144E+01	0.7998E-01	0.160E+03	0.148E+01
0.7295E-01	0.173E+03	0.142E+01	0.8017E-01	0.167E+03	0.149E+01
0.7311E-01	0.175E+03	0.147E+01	0.8035E-01	0.169E+03	0.151E+01
0.7328E-01	0.178E+03	0.148E+01	0.8054E-01	0.164E+03	0.151E+01
0.7345E-01	0.175E+03	0.147E+01	0.8072E-01	0.167E+03	0.149E+01
0.7362E-01	0.169E+03	0.144E+01	0.8091E-01	0.159E+03	0.145E+01
0.7379E-01	0.175E+03	0.147E+01	0.8110E-01	0.157E+03	0.146E+01
0.7396E-01	0.171E+03	0.146E+01	0.8128E-01	0.148E+03	0.141E+01
0.7413E-01	0.171E+03	0.144E+01	0.8147E-01	0.161E+03	0.149E+01
0.7430E-01	0.175E+03	0.146E+01	0.8166E-01	0.159E+03	0.149E+01
0.7447E-01	0.176E+03	0.144E+01	0.8185E-01	0.159E+03	0.144E+01
0.7464E-01	0.172E+03	0.142E+01	0.8203E-01	0.157E+03	0.148E+01
0.7482E-01	0.170E+03	0.146E+01	0.8222E-01	0.164E+03	0.149E+01
0.7499E-01	0.177E+03	0.147E+01	0.8241E-01	0.162E+03	0.148E+01
0.7516E-01	0.173E+03	0.145E+01	0.8260E-01	0.150E+03	0.143E+01
0.7534E-01	0.164E+03	0.144E+01	0.8279E-01	0.156E+03	0.148E+01
0.7551E-01	0.169E+03	0.145E+01	0.8298E-01	0.159E+03	0.143E+01
0.7568E-01	0.166E+03	0.143E+01	0.8318E-01	0.157E+03	0.145E+01

Table 2: (Continued).

E_n (eV)	$\sigma_{n,\gamma}$ (b)	$\Delta\sigma_{n,\gamma}$ (b)	E_n (eV)	$\sigma_{n,\gamma}$ (b)	$\Delta\sigma_{n,\gamma}$ (b)
0.8337E-01	0.158E+03	0.149E+01	0.9162E-01	0.143E+03	0.150E+01
0.8356E-01	0.159E+03	0.148E+01	0.9183E-01	0.156E+03	0.157E+01
0.8375E-01	0.158E+03	0.148E+01	0.9205E-01	0.143E+03	0.149E+01
0.8395E-01	0.150E+03	0.146E+01	0.9226E-01	0.141E+03	0.146E+01
0.8414E-01	0.156E+03	0.148E+01	0.9247E-01	0.143E+03	0.147E+01
0.8433E-01	0.149E+03	0.141E+01	0.9268E-01	0.152E+03	0.152E+01
0.8453E-01	0.162E+03	0.151E+01	0.9290E-01	0.151E+03	0.149E+01
0.8472E-01	0.162E+03	0.152E+01	0.9311E-01	0.148E+03	0.151E+01
0.8492E-01	0.151E+03	0.144E+01	0.9332E-01	0.138E+03	0.148E+01
0.8511E-01	0.157E+03	0.145E+01	0.9354E-01	0.148E+03	0.156E+01
0.8531E-01	0.154E+03	0.149E+01	0.9376E-01	0.152E+03	0.154E+01
0.8551E-01	0.157E+03	0.151E+01	0.9397E-01	0.143E+03	0.150E+01
0.8570E-01	0.154E+03	0.146E+01	0.9419E-01	0.140E+03	0.148E+01
0.8590E-01	0.149E+03	0.150E+01	0.9441E-01	0.144E+03	0.148E+01
0.8610E-01	0.157E+03	0.151E+01	0.9462E-01	0.145E+03	0.152E+01
0.8630E-01	0.156E+03	0.149E+01	0.9484E-01	0.140E+03	0.150E+01
0.8650E-01	0.149E+03	0.146E+01	0.9506E-01	0.140E+03	0.146E+01
0.8670E-01	0.150E+03	0.147E+01	0.9528E-01	0.140E+03	0.153E+01
0.8690E-01	0.155E+03	0.152E+01	0.9550E-01	0.154E+03	0.158E+01
0.8710E-01	0.152E+03	0.151E+01	0.9572E-01	0.149E+03	0.154E+01
0.8730E-01	0.151E+03	0.146E+01	0.9594E-01	0.137E+03	0.149E+01
0.8750E-01	0.158E+03	0.154E+01	0.9616E-01	0.143E+03	0.152E+01
0.8770E-01	0.154E+03	0.146E+01	0.9638E-01	0.135E+03	0.153E+01
0.8790E-01	0.157E+03	0.148E+01	0.9661E-01	0.143E+03	0.151E+01
0.8811E-01	0.149E+03	0.152E+01	0.9683E-01	0.141E+03	0.154E+01
0.8831E-01	0.146E+03	0.144E+01	0.9705E-01	0.143E+03	0.156E+01
0.8851E-01	0.159E+03	0.153E+01	0.9727E-01	0.150E+03	0.161E+01
0.8872E-01	0.156E+03	0.149E+01	0.9750E-01	0.145E+03	0.154E+01
0.8892E-01	0.154E+03	0.149E+01	0.9772E-01	0.148E+03	0.157E+01
0.8912E-01	0.154E+03	0.153E+01	0.9795E-01	0.138E+03	0.149E+01
0.8933E-01	0.154E+03	0.152E+01	0.9817E-01	0.141E+03	0.152E+01
0.8954E-01	0.152E+03	0.152E+01	0.9840E-01	0.130E+03	0.146E+01
0.8974E-01	0.149E+03	0.149E+01	0.9863E-01	0.142E+03	0.155E+01
0.8995E-01	0.149E+03	0.151E+01	0.9886E-01	0.149E+03	0.158E+01
0.9016E-01	0.150E+03	0.149E+01	0.9908E-01	0.152E+03	0.157E+01
0.9037E-01	0.153E+03	0.157E+01	0.9931E-01	0.141E+03	0.152E+01
0.9057E-01	0.146E+03	0.146E+01	0.9954E-01	0.140E+03	0.154E+01
0.9078E-01	0.146E+03	0.146E+01	0.9977E-01	0.138E+03	0.152E+01
0.9099E-01	0.146E+03	0.150E+01	0.1000E+00	0.140E+03	0.154E+01
0.9120E-01	0.162E+03	0.156E+01	0.1002E+00	0.137E+03	0.154E+01
0.9141E-01	0.146E+03	0.148E+01	0.1005E+00	0.133E+03	0.153E+01

Table 2: (Continued).

E_n (eV)	$\sigma_{n,\gamma}$ (b)	$\Delta\sigma_{n,\gamma}$ (b)	E_n (eV)	$\sigma_{n,\gamma}$ (b)	$\Delta\sigma_{n,\gamma}$ (b)
0.1007E+00	0.145E+03	0.160E+01	0.1107E+00	0.131E+03	0.163E+01
0.1009E+00	0.138E+03	0.152E+01	0.1109E+00	0.131E+03	0.162E+01
0.1012E+00	0.148E+03	0.162E+01	0.1112E+00	0.131E+03	0.169E+01
0.1014E+00	0.147E+03	0.159E+01	0.1114E+00	0.128E+03	0.162E+01
0.1016E+00	0.143E+03	0.156E+01	0.1117E+00	0.133E+03	0.167E+01
0.1019E+00	0.142E+03	0.157E+01	0.1119E+00	0.118E+03	0.156E+01
0.1021E+00	0.143E+03	0.156E+01	0.1122E+00	0.131E+03	0.160E+01
0.1023E+00	0.136E+03	0.159E+01	0.1125E+00	0.134E+03	0.172E+01
0.1026E+00	0.142E+03	0.160E+01	0.1127E+00	0.123E+03	0.162E+01
0.1028E+00	0.135E+03	0.154E+01	0.1130E+00	0.131E+03	0.166E+01
0.1030E+00	0.137E+03	0.156E+01	0.1132E+00	0.130E+03	0.164E+01
0.1033E+00	0.133E+03	0.152E+01	0.1135E+00	0.140E+03	0.177E+01
0.1035E+00	0.135E+03	0.156E+01	0.1138E+00	0.129E+03	0.165E+01
0.1037E+00	0.142E+03	0.158E+01	0.1140E+00	0.133E+03	0.167E+01
0.1040E+00	0.133E+03	0.157E+01	0.1143E+00	0.137E+03	0.170E+01
0.1042E+00	0.142E+03	0.163E+01	0.1146E+00	0.139E+03	0.175E+01
0.1045E+00	0.138E+03	0.158E+01	0.1148E+00	0.133E+03	0.173E+01
0.1047E+00	0.128E+03	0.154E+01	0.1151E+00	0.141E+03	0.177E+01
0.1050E+00	0.128E+03	0.151E+01	0.1154E+00	0.139E+03	0.173E+01
0.1052E+00	0.143E+03	0.164E+01	0.1156E+00	0.129E+03	0.173E+01
0.1054E+00	0.133E+03	0.156E+01	0.1159E+00	0.123E+03	0.163E+01
0.1057E+00	0.133E+03	0.157E+01	0.1161E+00	0.131E+03	0.169E+01
0.1059E+00	0.138E+03	0.157E+01	0.1164E+00	0.130E+03	0.172E+01
0.1062E+00	0.133E+03	0.152E+01	0.1167E+00	0.122E+03	0.164E+01
0.1064E+00	0.136E+03	0.159E+01	0.1169E+00	0.140E+03	0.177E+01
0.1067E+00	0.134E+03	0.159E+01	0.1172E+00	0.140E+03	0.179E+01
0.1069E+00	0.133E+03	0.160E+01	0.1175E+00	0.115E+03	0.165E+01
0.1072E+00	0.131E+03	0.155E+01	0.1178E+00	0.133E+03	0.173E+01
0.1074E+00	0.129E+03	0.159E+01	0.1180E+00	0.124E+03	0.165E+01
0.1076E+00	0.127E+03	0.153E+01	0.1183E+00	0.115E+03	0.161E+01
0.1079E+00	0.133E+03	0.159E+01	0.1186E+00	0.127E+03	0.171E+01
0.1081E+00	0.125E+03	0.159E+01	0.1189E+00	0.122E+03	0.159E+01
0.1084E+00	0.132E+03	0.157E+01	0.1191E+00	0.123E+03	0.167E+01
0.1086E+00	0.142E+03	0.167E+01	0.1194E+00	0.128E+03	0.168E+01
0.1089E+00	0.138E+03	0.162E+01	0.1197E+00	0.134E+03	0.177E+01
0.1091E+00	0.123E+03	0.152E+01	0.1199E+00	0.131E+03	0.178E+01
0.1094E+00	0.140E+03	0.165E+01	0.1202E+00	0.119E+03	0.164E+01
0.1097E+00	0.139E+03	0.171E+01	0.1205E+00	0.125E+03	0.169E+01
0.1099E+00	0.133E+03	0.164E+01	0.1208E+00	0.125E+03	0.170E+01
0.1102E+00	0.131E+03	0.159E+01	0.1211E+00	0.125E+03	0.167E+01
0.1104E+00	0.139E+03	0.167E+01	0.1213E+00	0.133E+03	0.173E+01

Table 2: (Continued).

E_n (eV)	$\sigma_{n,\gamma}$ (b)	$\Delta\sigma_{n,\gamma}$ (b)	E_n (eV)	$\sigma_{n,\gamma}$ (b)	$\Delta\sigma_{n,\gamma}$ (b)
0.1216E+00	0.130E+03	0.173E+01	0.1337E+00	0.132E+03	0.196E+01
0.1219E+00	0.133E+03	0.177E+01	0.1340E+00	0.114E+03	0.178E+01
0.1222E+00	0.140E+03	0.180E+01	0.1343E+00	0.118E+03	0.178E+01
0.1225E+00	0.125E+03	0.175E+01	0.1346E+00	0.125E+03	0.194E+01
0.1227E+00	0.133E+03	0.182E+01	0.1349E+00	0.122E+03	0.191E+01
0.1230E+00	0.123E+03	0.172E+01	0.1352E+00	0.112E+03	0.179E+01
0.1233E+00	0.122E+03	0.168E+01	0.1355E+00	0.128E+03	0.194E+01
0.1236E+00	0.128E+03	0.183E+01	0.1358E+00	0.124E+03	0.186E+01
0.1239E+00	0.133E+03	0.186E+01	0.1361E+00	0.136E+03	0.206E+01
0.1242E+00	0.128E+03	0.173E+01	0.1365E+00	0.129E+03	0.189E+01
0.1244E+00	0.123E+03	0.173E+01	0.1368E+00	0.128E+03	0.190E+01
0.1247E+00	0.131E+03	0.178E+01	0.1371E+00	0.126E+03	0.196E+01
0.1250E+00	0.128E+03	0.184E+01	0.1374E+00	0.123E+03	0.188E+01
0.1253E+00	0.131E+03	0.186E+01	0.1377E+00	0.110E+03	0.178E+01
0.1256E+00	0.129E+03	0.180E+01	0.1380E+00	0.115E+03	0.187E+01
0.1259E+00	0.115E+03	0.172E+01	0.1384E+00	0.111E+03	0.185E+01
0.1262E+00	0.123E+03	0.179E+01	0.1387E+00	0.119E+03	0.189E+01
0.1265E+00	0.130E+03	0.180E+01	0.1390E+00	0.105E+03	0.172E+01
0.1268E+00	0.119E+03	0.176E+01	0.1393E+00	0.119E+03	0.195E+01
0.1271E+00	0.115E+03	0.170E+01	0.1396E+00	0.131E+03	0.201E+01
0.1274E+00	0.116E+03	0.172E+01	0.1400E+00	0.113E+03	0.183E+01
0.1276E+00	0.124E+03	0.181E+01	0.1403E+00	0.108E+03	0.182E+01
0.1279E+00	0.122E+03	0.177E+01	0.1406E+00	0.129E+03	0.208E+01
0.1282E+00	0.127E+03	0.185E+01	0.1409E+00	0.129E+03	0.202E+01
0.1285E+00	0.128E+03	0.186E+01	0.1412E+00	0.122E+03	0.194E+01
0.1288E+00	0.125E+03	0.181E+01	0.1416E+00	0.108E+03	0.179E+01
0.1291E+00	0.121E+03	0.175E+01	0.1419E+00	0.118E+03	0.205E+01
0.1294E+00	0.118E+03	0.180E+01	0.1422E+00	0.121E+03	0.204E+01
0.1297E+00	0.129E+03	0.188E+01	0.1426E+00	0.114E+03	0.190E+01
0.1300E+00	0.123E+03	0.185E+01	0.1429E+00	0.121E+03	0.192E+01
0.1303E+00	0.124E+03	0.181E+01	0.1432E+00	0.115E+03	0.188E+01
0.1306E+00	0.125E+03	0.188E+01	0.1435E+00	0.120E+03	0.198E+01
0.1309E+00	0.115E+03	0.178E+01	0.1439E+00	0.120E+03	0.201E+01
0.1312E+00	0.121E+03	0.186E+01	0.1442E+00	0.981E+02	0.173E+01
0.1315E+00	0.125E+03	0.190E+01	0.1445E+00	0.117E+03	0.188E+01
0.1318E+00	0.122E+03	0.181E+01	0.1449E+00	0.129E+03	0.212E+01
0.1321E+00	0.131E+03	0.193E+01	0.1452E+00	0.112E+03	0.193E+01
0.1324E+00	0.117E+03	0.178E+01	0.1455E+00	0.110E+03	0.193E+01
0.1327E+00	0.121E+03	0.180E+01	0.1459E+00	0.113E+03	0.189E+01
0.1330E+00	0.122E+03	0.178E+01	0.1462E+00	0.117E+03	0.199E+01
0.1333E+00	0.120E+03	0.181E+01	0.1465E+00	0.109E+03	0.184E+01

Table 2: (Continued).

E_n (eV)	$\sigma_{n,\gamma}$ (b)	$\Delta\sigma_{n,\gamma}$ (b)	E_n (eV)	$\sigma_{n,\gamma}$ (b)	$\Delta\sigma_{n,\gamma}$ (b)
0.1469E+00	0.115E+03	0.193E+01	0.1614E+00	0.111E+03	0.213E+01
0.1472E+00	0.110E+03	0.193E+01	0.1618E+00	0.125E+03	0.229E+01
0.1476E+00	0.124E+03	0.199E+01	0.1622E+00	0.110E+03	0.207E+01
0.1479E+00	0.858E+02	0.177E+01	0.1626E+00	0.106E+03	0.214E+01
0.1482E+00	0.118E+03	0.191E+01	0.1629E+00	0.119E+03	0.212E+01
0.1486E+00	0.112E+03	0.191E+01	0.1633E+00	0.106E+03	0.206E+01
0.1489E+00	0.125E+03	0.203E+01	0.1637E+00	0.969E+02	0.192E+01
0.1493E+00	0.109E+03	0.194E+01	0.1641E+00	0.107E+03	0.204E+01
0.1496E+00	0.114E+03	0.197E+01	0.1644E+00	0.109E+03	0.213E+01
0.1500E+00	0.108E+03	0.193E+01	0.1648E+00	0.102E+03	0.202E+01
0.1503E+00	0.111E+03	0.191E+01	0.1652E+00	0.109E+03	0.213E+01
0.1507E+00	0.107E+03	0.194E+01	0.1656E+00	0.106E+03	0.205E+01
0.1510E+00	0.115E+03	0.201E+01	0.1660E+00	0.104E+03	0.217E+01
0.1514E+00	0.988E+02	0.188E+01	0.1663E+00	0.988E+02	0.199E+01
0.1517E+00	0.104E+03	0.197E+01	0.1667E+00	0.106E+03	0.210E+01
0.1521E+00	0.119E+03	0.204E+01	0.1671E+00	0.119E+03	0.231E+01
0.1524E+00	0.994E+02	0.181E+01	0.1675E+00	0.106E+03	0.216E+01
0.1528E+00	0.109E+03	0.202E+01	0.1679E+00	0.108E+03	0.210E+01
0.1531E+00	0.115E+03	0.202E+01	0.1683E+00	0.106E+03	0.210E+01
0.1535E+00	0.128E+03	0.215E+01	0.1687E+00	0.109E+03	0.214E+01
0.1538E+00	0.125E+03	0.223E+01	0.1690E+00	0.103E+03	0.209E+01
0.1542E+00	0.975E+02	0.190E+01	0.1694E+00	0.926E+02	0.192E+01
0.1545E+00	0.105E+03	0.195E+01	0.1698E+00	0.115E+03	0.230E+01
0.1549E+00	0.114E+03	0.208E+01	0.1702E+00	0.111E+03	0.217E+01
0.1552E+00	0.877E+02	0.177E+01	0.1706E+00	0.932E+02	0.194E+01
0.1556E+00	0.975E+02	0.186E+01	0.1710E+00	0.951E+02	0.197E+01
0.1560E+00	0.112E+03	0.201E+01	0.1714E+00	0.120E+03	0.243E+01
0.1563E+00	0.110E+03	0.198E+01	0.1718E+00	0.100E+03	0.221E+01
0.1567E+00	0.106E+03	0.198E+01	0.1722E+00	0.108E+03	0.215E+01
0.1570E+00	0.114E+03	0.206E+01	0.1726E+00	0.110E+03	0.223E+01
0.1574E+00	0.114E+03	0.206E+01	0.1730E+00	0.114E+03	0.226E+01
0.1578E+00	0.122E+03	0.215E+01	0.1734E+00	0.104E+03	0.211E+01
0.1581E+00	0.114E+03	0.210E+01	0.1738E+00	0.107E+03	0.216E+01
0.1585E+00	0.113E+03	0.201E+01	0.1742E+00	0.107E+03	0.234E+01
0.1588E+00	0.106E+03	0.196E+01	0.1746E+00	0.110E+03	0.214E+01
0.1592E+00	0.110E+03	0.210E+01	0.1750E+00	0.969E+02	0.204E+01
0.1596E+00	0.109E+03	0.210E+01	0.1754E+00	0.988E+02	0.207E+01
0.1600E+00	0.113E+03	0.210E+01	0.1758E+00	0.104E+03	0.219E+01
0.1603E+00	0.981E+02	0.190E+01	0.1762E+00	0.117E+03	0.233E+01
0.1607E+00	0.107E+03	0.209E+01	0.1766E+00	0.102E+03	0.216E+01
0.1611E+00	0.114E+03	0.207E+01	0.1770E+00	0.981E+02	0.223E+01

Table 2: (Continued).

E_n (eV)	$\sigma_{n,\gamma}$ (b)	$\Delta\sigma_{n,\gamma}$ (b)	E_n (eV)	$\sigma_{n,\gamma}$ (b)	$\Delta\sigma_{n,\gamma}$ (b)
0.1774E+00	0.106E+03	0.214E+01	0.1950E+00	0.833E+02	0.207E+01
0.1778E+00	0.106E+03	0.210E+01	0.1954E+00	0.796E+02	0.209E+01
0.1782E+00	0.103E+03	0.220E+01	0.1959E+00	0.957E+02	0.232E+01
0.1787E+00	0.981E+02	0.214E+01	0.1963E+00	0.981E+02	0.228E+01
0.1791E+00	0.112E+03	0.227E+01	0.1968E+00	0.988E+02	0.232E+01
0.1795E+00	0.101E+03	0.217E+01	0.1972E+00	0.957E+02	0.225E+01
0.1799E+00	0.116E+03	0.236E+01	0.1977E+00	0.938E+02	0.228E+01
0.1803E+00	0.104E+03	0.221E+01	0.1981E+00	0.951E+02	0.225E+01
0.1807E+00	0.957E+02	0.216E+01	0.1986E+00	0.920E+02	0.224E+01
0.1811E+00	0.103E+03	0.222E+01	0.1991E+00	0.102E+03	0.241E+01
0.1815E+00	0.109E+03	0.232E+01	0.1995E+00	0.113E+03	0.242E+01
0.1820E+00	0.103E+03	0.221E+01	0.2000E+00	0.994E+02	0.236E+01
0.1824E+00	0.114E+03	0.225E+01	0.2005E+00	0.988E+02	0.228E+01
0.1828E+00	0.111E+03	0.236E+01	0.2009E+00	0.102E+03	0.235E+01
0.1832E+00	0.111E+03	0.231E+01	0.2014E+00	0.994E+02	0.237E+01
0.1837E+00	0.101E+03	0.214E+01	0.2018E+00	0.100E+03	0.239E+01
0.1841E+00	0.957E+02	0.204E+01	0.2023E+00	0.889E+02	0.225E+01
0.1845E+00	0.103E+03	0.221E+01	0.2028E+00	0.105E+03	0.262E+01
0.1849E+00	0.883E+02	0.219E+01	0.2032E+00	0.957E+02	0.239E+01
0.1854E+00	0.889E+02	0.215E+01	0.2037E+00	0.988E+02	0.235E+01
0.1858E+00	0.109E+03	0.237E+01	0.2042E+00	0.858E+02	0.220E+01
0.1862E+00	0.107E+03	0.236E+01	0.2046E+00	0.105E+03	0.238E+01
0.1866E+00	0.104E+03	0.230E+01	0.2051E+00	0.790E+02	0.215E+01
0.1871E+00	0.107E+03	0.231E+01	0.2056E+00	0.895E+02	0.225E+01
0.1875E+00	0.114E+03	0.237E+01	0.2061E+00	0.944E+02	0.241E+01
0.1879E+00	0.115E+03	0.240E+01	0.2065E+00	0.110E+03	0.264E+01
0.1884E+00	0.914E+02	0.217E+01	0.2070E+00	0.895E+02	0.227E+01
0.1888E+00	0.102E+03	0.228E+01	0.2075E+00	0.864E+02	0.222E+01
0.1892E+00	0.106E+03	0.245E+01	0.2080E+00	0.846E+02	0.229E+01
0.1897E+00	0.104E+03	0.226E+01	0.2085E+00	0.901E+02	0.227E+01
0.1901E+00	0.907E+02	0.210E+01	0.2089E+00	0.102E+03	0.252E+01
0.1905E+00	0.963E+02	0.215E+01	0.2094E+00	0.821E+02	0.220E+01
0.1910E+00	0.944E+02	0.217E+01	0.2099E+00	0.784E+02	0.225E+01
0.1914E+00	0.963E+02	0.212E+01	0.2104E+00	0.112E+03	0.263E+01
0.1919E+00	0.944E+02	0.214E+01	0.2109E+00	0.710E+02	0.201E+01
0.1923E+00	0.944E+02	0.216E+01	0.2113E+00	0.821E+02	0.225E+01
0.1928E+00	0.100E+03	0.225E+01	0.2118E+00	0.815E+02	0.210E+01
0.1932E+00	0.870E+02	0.206E+01	0.2123E+00	0.796E+02	0.219E+01
0.1936E+00	0.100E+03	0.227E+01	0.2128E+00	0.328E+02	0.218E+01
0.1941E+00	0.119E+03	0.251E+01	0.2133E+00	0.102E+03	0.251E+01
0.1945E+00	0.981E+02	0.217E+01	0.2138E+00	0.698E+02	0.212E+01

Table 2: (Continued).

E_n (eV)	$\sigma_{n,\gamma}$ (b)	$\Delta\sigma_{n,\gamma}$ (b)	E_n (eV)	$\sigma_{n,\gamma}$ (b)	$\Delta\sigma_{n,\gamma}$ (b)
0.2143E+00	0.957E+02	0.246E+01	0.2355E+00	0.864E+02	0.233E+01
0.2148E+00	0.889E+02	0.227E+01	0.2360E+00	0.858E+02	0.259E+01
0.2153E+00	0.710E+02	0.203E+01	0.2366E+00	0.864E+02	0.240E+01
0.2158E+00	0.932E+02	0.238E+01	0.2371E+00	0.877E+02	0.246E+01
0.2163E+00	0.883E+02	0.243E+01	0.2377E+00	0.877E+02	0.248E+01
0.2168E+00	0.914E+02	0.244E+01	0.2382E+00	0.790E+02	0.237E+01
0.2173E+00	0.981E+02	0.239E+01	0.2388E+00	0.858E+02	0.250E+01
0.2178E+00	0.944E+02	0.235E+01	0.2393E+00	0.102E+03	0.267E+01
0.2183E+00	0.100E+03	0.248E+01	0.2399E+00	0.864E+02	0.245E+01
0.2188E+00	0.938E+02	0.241E+01	0.2404E+00	0.765E+02	0.242E+01
0.2193E+00	0.105E+03	0.245E+01	0.2410E+00	0.852E+02	0.249E+01
0.2198E+00	0.772E+02	0.214E+01	0.2415E+00	0.809E+02	0.246E+01
0.2203E+00	0.988E+02	0.264E+01	0.2421E+00	0.833E+02	0.246E+01
0.2208E+00	0.926E+02	0.244E+01	0.2427E+00	0.883E+02	0.269E+01
0.2213E+00	0.833E+02	0.237E+01	0.2432E+00	0.759E+02	0.244E+01
0.2218E+00	0.833E+02	0.226E+01	0.2438E+00	0.716E+02	0.222E+01
0.2223E+00	0.679E+02	0.227E+01	0.2443E+00	0.907E+02	0.256E+01
0.2228E+00	0.895E+02	0.246E+01	0.2449E+00	0.827E+02	0.252E+01
0.2234E+00	0.883E+02	0.251E+01	0.2455E+00	0.858E+02	0.256E+01
0.2239E+00	0.691E+02	0.202E+01	0.2460E+00	0.716E+02	0.241E+01
0.2244E+00	0.377E+02	0.222E+01	0.2466E+00	0.914E+02	0.261E+01
0.2249E+00	0.102E+03	0.257E+01	0.2472E+00	0.517E+02	0.221E+01
0.2254E+00	0.827E+02	0.227E+01	0.2477E+00	0.617E+02	0.231E+01
0.2259E+00	0.802E+02	0.231E+01	0.2483E+00	0.753E+02	0.228E+01
0.2265E+00	0.969E+02	0.246E+01	0.2489E+00	0.809E+02	0.248E+01
0.2270E+00	0.895E+02	0.236E+01	0.2495E+00	0.642E+02	0.209E+01
0.2275E+00	0.660E+02	0.222E+01	0.2500E+00	0.883E+02	0.262E+01
0.2280E+00	0.883E+02	0.249E+01	0.2506E+00	0.883E+02	0.265E+01
0.2286E+00	0.609E+02	0.221E+01	0.2512E+00	0.772E+02	0.250E+01
0.2291E+00	0.685E+02	0.217E+01	0.2518E+00	0.747E+02	0.242E+01
0.2296E+00	0.603E+02	0.227E+01	0.2524E+00	0.560E+02	0.209E+01
0.2301E+00	0.772E+02	0.225E+01	0.2529E+00	0.858E+02	0.256E+01
0.2307E+00	0.877E+02	0.238E+01	0.2535E+00	0.741E+02	0.236E+01
0.2312E+00	0.957E+02	0.252E+01	0.2541E+00	0.827E+02	0.281E+01
0.2317E+00	0.846E+02	0.240E+01	0.2547E+00	0.833E+02	0.255E+01
0.2323E+00	0.778E+02	0.224E+01	0.2553E+00	0.858E+02	0.262E+01
0.2328E+00	0.858E+02	0.235E+01	0.2559E+00	0.535E+02	0.239E+01
0.2333E+00	0.747E+02	0.226E+01	0.2564E+00	0.753E+02	0.256E+01
0.2339E+00	0.784E+02	0.238E+01	0.2570E+00	0.642E+02	0.248E+01
0.2344E+00	0.784E+02	0.225E+01	0.2576E+00	0.747E+02	0.235E+01
0.2350E+00	0.932E+02	0.262E+01	0.2582E+00	0.679E+02	0.227E+01

Table 2: (Continued).

E_n (eV)	$\sigma_{n,\gamma}$ (b)	$\Delta\sigma_{n,\gamma}$ (b)	E_n (eV)	$\sigma_{n,\gamma}$ (b)	$\Delta\sigma_{n,\gamma}$ (b)
0.2588E+00	0.623E+02	0.230E+01	0.2844E+00	0.815E+02	0.315E+01
0.2594E+00	0.957E+02	0.288E+01	0.2851E+00	0.765E+02	0.285E+01
0.2600E+00	0.889E+02	0.254E+01	0.2858E+00	0.679E+02	0.267E+01
0.2606E+00	0.660E+02	0.235E+01	0.2864E+00	0.765E+02	0.294E+01
0.2612E+00	0.772E+02	0.243E+01	0.2871E+00	0.877E+02	0.293E+01
0.2618E+00	0.759E+02	0.257E+01	0.2877E+00	0.821E+02	0.284E+01
0.2624E+00	0.883E+02	0.278E+01	0.2884E+00	0.589E+02	0.250E+01
0.2630E+00	0.728E+02	0.233E+01	0.2891E+00	0.753E+02	0.288E+01
0.2636E+00	0.877E+02	0.262E+01	0.2897E+00	0.691E+02	0.278E+01
0.2642E+00	0.821E+02	0.277E+01	0.2904E+00	0.858E+02	0.315E+01
0.2648E+00	0.920E+02	0.283E+01	0.2911E+00	0.559E+02	0.265E+01
0.2655E+00	0.759E+02	0.241E+01	0.2917E+00	0.778E+02	0.298E+01
0.2661E+00	0.833E+02	0.278E+01	0.2924E+00	0.802E+02	0.293E+01
0.2667E+00	0.870E+02	0.266E+01	0.2931E+00	0.735E+02	0.284E+01
0.2673E+00	0.778E+02	0.271E+01	0.2938E+00	0.827E+02	0.307E+01
0.2679E+00	0.821E+02	0.269E+01	0.2944E+00	0.698E+02	0.293E+01
0.2685E+00	0.858E+02	0.271E+01	0.2951E+00	0.722E+02	0.280E+01
0.2691E+00	0.784E+02	0.262E+01	0.2958E+00	0.710E+02	0.293E+01
0.2698E+00	0.642E+02	0.239E+01	0.2965E+00	0.667E+02	0.290E+01
0.2704E+00	0.685E+02	0.241E+01	0.2972E+00	0.710E+02	0.300E+01
0.2710E+00	0.710E+02	0.256E+01	0.2979E+00	0.587E+02	0.271E+01
0.2716E+00	0.623E+02	0.242E+01	0.2985E+00	0.481E+02	0.267E+01
0.2723E+00	0.895E+02	0.288E+01	0.2992E+00	0.685E+02	0.285E+01
0.2729E+00	0.660E+02	0.256E+01	0.2999E+00	0.698E+02	0.291E+01
0.2735E+00	0.592E+02	0.241E+01	0.3006E+00	0.525E+02	0.277E+01
0.2742E+00	0.790E+02	0.272E+01	0.3013E+00	0.753E+02	0.302E+01
0.2748E+00	0.759E+02	0.270E+01	0.3020E+00	0.772E+02	0.308E+01
0.2754E+00	0.654E+02	0.244E+01	0.3027E+00	0.553E+02	0.278E+01
0.2761E+00	0.573E+02	0.240E+01	0.3034E+00	0.759E+02	0.327E+01
0.2767E+00	0.759E+02	0.271E+01	0.3041E+00	0.636E+02	0.288E+01
0.2773E+00	0.833E+02	0.295E+01	0.3048E+00	0.591E+02	0.286E+01
0.2780E+00	0.685E+02	0.272E+01	0.3055E+00	0.642E+02	0.291E+01
0.2786E+00	0.790E+02	0.279E+01	0.3062E+00	0.722E+02	0.296E+01
0.2792E+00	0.514E+02	0.238E+01	0.3069E+00	0.446E+02	0.288E+01
0.2799E+00	0.685E+02	0.275E+01	0.3076E+00	0.660E+02	0.293E+01
0.2805E+00	0.648E+02	0.260E+01	0.3083E+00	0.617E+02	0.294E+01
0.2812E+00	0.858E+02	0.294E+01	0.3090E+00	0.796E+02	0.322E+01
0.2818E+00	0.741E+02	0.258E+01	0.3097E+00	0.314E+02	0.281E+01
0.2825E+00	0.710E+02	0.274E+01	0.3105E+00	0.698E+02	0.297E+01
0.2831E+00	0.673E+02	0.282E+01	0.3112E+00	0.691E+02	0.325E+01
0.2838E+00	0.704E+02	0.259E+01	0.3119E+00	0.772E+02	0.323E+01

Table 2: (Continued).

E_n (eV)	$\sigma_{n,\gamma}$ (b)	$\Delta\sigma_{n,\gamma}$ (b)	E_n (eV)	$\sigma_{n,\gamma}$ (b)	$\Delta\sigma_{n,\gamma}$ (b)
0.3126E+00	0.642E+02	0.311E+01	0.3436E+00	0.556E+02	0.296E+01
0.3133E+00	0.444E+02	0.289E+01	0.3444E+00	0.536E+02	0.308E+01
0.3140E+00	0.580E+02	0.302E+01	0.3451E+00	0.539E+02	0.306E+01
0.3148E+00	0.568E+02	0.311E+01	0.3459E+00	0.587E+02	0.331E+01
0.3155E+00	0.685E+02	0.309E+01	0.3467E+00	0.477E+02	0.296E+01
0.3162E+00	0.716E+02	0.310E+01	0.3475E+00	0.642E+02	0.316E+01
0.3170E+00	0.698E+02	0.317E+01	0.3483E+00	0.722E+02	0.335E+01
0.3177E+00	0.698E+02	0.328E+01	0.3491E+00	0.815E+02	0.343E+01
0.3184E+00	0.560E+02	0.304E+01	0.3499E+00	0.588E+02	0.317E+01
0.3192E+00	0.833E+02	0.335E+01	0.3507E+00	0.585E+02	0.307E+01
0.3199E+00	0.765E+02	0.314E+01	0.3516E+00	0.352E+02	0.299E+01
0.3206E+00	0.515E+02	0.297E+01	0.3524E+00	0.440E+02	0.294E+01
0.3214E+00	0.623E+02	0.306E+01	0.3532E+00	0.530E+02	0.309E+01
0.3221E+00	0.514E+02	0.301E+01	0.3540E+00	0.558E+02	0.317E+01
0.3228E+00	0.679E+02	0.317E+01	0.3548E+00	0.490E+02	0.289E+01
0.3236E+00	0.468E+02	0.280E+01	0.3556E+00	0.434E+02	0.297E+01
0.3243E+00	0.636E+02	0.308E+01	0.3564E+00	0.601E+02	0.326E+01
0.3251E+00	0.691E+02	0.327E+01	0.3573E+00	0.388E+02	0.290E+01
0.3258E+00	0.642E+02	0.327E+01	0.3581E+00	0.537E+02	0.304E+01
0.3266E+00	0.535E+02	0.302E+01	0.3589E+00	0.464E+02	0.280E+01
0.3273E+00	0.541E+02	0.307E+01	0.3598E+00	0.560E+02	0.312E+01
0.3281E+00	0.432E+02	0.288E+01	0.3606E+00	0.667E+02	0.311E+01
0.3289E+00	0.341E+02	0.288E+01	0.3614E+00	0.508E+02	0.294E+01
0.3296E+00	0.728E+02	0.338E+01	0.3622E+00	0.552E+02	0.304E+01
0.3304E+00	0.704E+02	0.316E+01	0.3631E+00	0.462E+02	0.304E+01
0.3311E+00	0.691E+02	0.312E+01	0.3639E+00	0.617E+02	0.319E+01
0.3319E+00	0.513E+02	0.299E+01	0.3647E+00	0.441E+02	0.294E+01
0.3327E+00	0.473E+02	0.296E+01	0.3656E+00	0.267E+02	0.287E+01
0.3334E+00	0.636E+02	0.322E+01	0.3664E+00	0.501E+02	0.288E+01
0.3342E+00	0.660E+02	0.309E+01	0.3673E+00	0.648E+02	0.323E+01
0.3350E+00	0.741E+02	0.340E+01	0.3681E+00	0.654E+02	0.309E+01
0.3357E+00	0.630E+02	0.319E+01	0.3690E+00	0.506E+02	0.323E+01
0.3365E+00	0.617E+02	0.299E+01	0.3698E+00	0.591E+02	0.324E+01
0.3373E+00	0.566E+02	0.328E+01	0.3707E+00	0.600E+02	0.332E+01
0.3381E+00	0.498E+02	0.302E+01	0.3715E+00	0.507E+02	0.338E+01
0.3388E+00	0.471E+02	0.286E+01	0.3724E+00	0.254E+02	0.303E+01
0.3396E+00	0.685E+02	0.325E+01	0.3733E+00	0.446E+02	0.322E+01
0.3404E+00	0.765E+02	0.328E+01	0.3741E+00	0.578E+02	0.316E+01
0.3412E+00	0.616E+02	0.310E+01	0.3750E+00	0.198E+02	0.306E+01
0.3420E+00	0.648E+02	0.299E+01	0.3758E+00	0.495E+02	0.312E+01
0.3428E+00	0.564E+02	0.292E+01	0.3767E+00	0.401E+02	0.313E+01

Table 2: (Continued).

E_n (eV)	$\sigma_{n,\gamma}$ (b)	$\Delta\sigma_{n,\gamma}$ (b)	E_n (eV)	$\sigma_{n,\gamma}$ (b)	$\Delta\sigma_{n,\gamma}$ (b)
0.3776E+00	0.493E+02	0.334E+01	0.4150E+00	0.493E+02	0.425E+01
0.3784E+00	0.428E+02	0.316E+01	0.4159E+00	0.399E+02	0.430E+01
0.3793E+00	0.660E+02	0.335E+01	0.4169E+00	0.468E+02	0.416E+01
0.3802E+00	0.438E+02	0.312E+01	0.4178E+00	0.556E+02	0.428E+01
0.3811E+00	0.446E+02	0.318E+01	0.4188E+00	0.506E+02	0.423E+01
0.3819E+00	0.636E+02	0.348E+01	0.4198E+00	0.604E+02	0.455E+01
0.3828E+00	0.614E+02	0.348E+01	0.4207E+00	0.419E+02	0.433E+01
0.3837E+00	0.642E+02	0.342E+01	0.4217E+00	0.507E+02	0.442E+01
0.3846E+00	0.535E+02	0.329E+01	0.4227E+00	0.741E+02	0.481E+01
0.3855E+00	0.343E+02	0.311E+01	0.4236E+00	0.355E+02	0.438E+01
0.3864E+00	0.449E+02	0.333E+01	0.4246E+00	0.550E+02	0.478E+01
0.3873E+00	0.563E+02	0.345E+01	0.4256E+00	0.598E+02	0.485E+01
0.3882E+00	0.667E+02	0.358E+01	0.4266E+00	0.562E+02	0.472E+01
0.3891E+00	0.353E+02	0.342E+01	0.4276E+00	0.290E+02	0.430E+01
0.3899E+00	0.612E+02	0.360E+01	0.4286E+00	0.778E+02	0.485E+01
0.3908E+00	0.495E+02	0.354E+01	0.4295E+00	0.833E+02	0.507E+01
0.3917E+00	0.389E+02	0.326E+01	0.4305E+00	0.373E+02	0.459E+01
0.3926E+00	0.716E+02	0.362E+01	0.4315E+00	0.582E+02	0.489E+01
0.3936E+00	0.815E+02	0.380E+01	0.4325E+00	0.534E+02	0.460E+01
0.3945E+00	0.474E+02	0.348E+01	0.4335E+00	0.520E+02	0.465E+01
0.3954E+00	0.435E+02	0.358E+01	0.4345E+00	0.521E+02	0.482E+01
0.3963E+00	0.430E+02	0.348E+01	0.4355E+00	0.365E+02	0.475E+01
0.3972E+00	0.257E+02	0.347E+01	0.4365E+00	0.598E+02	0.480E+01
0.3981E+00	0.480E+02	0.333E+01	0.4375E+00	0.477E+02	0.466E+01
0.3990E+00	0.541E+02	0.373E+01	0.4385E+00	0.716E+02	0.480E+01
0.3999E+00	0.390E+02	0.353E+01	0.4395E+00	0.728E+02	0.495E+01
0.4009E+00	0.691E+02	0.393E+01	0.4405E+00	0.759E+02	0.543E+01
0.4018E+00	0.233E+02	0.359E+01	0.4416E+00	0.180E+02	0.460E+01
0.4027E+00	0.335E+02	0.363E+01	0.4426E+00	0.543E+02	0.486E+01
0.4036E+00	0.609E+02	0.411E+01	0.4436E+00	0.527E+02	0.494E+01
0.4046E+00	0.548E+02	0.397E+01	0.4446E+00	0.357E+02	0.478E+01
0.4055E+00	0.613E+02	0.404E+01	0.4457E+00	0.617E+02	0.496E+01
0.4064E+00	0.417E+02	0.379E+01	0.4467E+00	0.747E+02	0.499E+01
0.4074E+00	0.241E+02	0.375E+01	0.4477E+00	0.667E+02	0.543E+01
0.4083E+00	0.291E+02	0.385E+01	0.4487E+00	0.494E+02	0.507E+01
0.4093E+00	0.554E+02	0.415E+01	0.4498E+00	0.577E+02	0.507E+01
0.4102E+00	0.478E+02	0.390E+01	0.4508E+00	0.612E+02	0.525E+01
0.4112E+00	0.642E+02	0.422E+01	0.4519E+00	0.759E+02	0.525E+01
0.4121E+00	0.601E+02	0.436E+01	0.4529E+00	0.556E+02	0.509E+01
0.4130E+00	0.498E+02	0.425E+01	0.4539E+00	0.109E+03	0.574E+01
0.4140E+00	0.499E+02	0.433E+01	0.4550E+00	0.593E+02	0.526E+01

Table 2: (Continued).

E_n (eV)	$\sigma_{n,\gamma}$ (b)	$\Delta\sigma_{n,\gamma}$ (b)	E_n (eV)	$\sigma_{n,\gamma}$ (b)	$\Delta\sigma_{n,\gamma}$ (b)
0.4560E+00	0.588E+02	0.521E+01	0.5012E+00	0.414E+02	0.380E+01
0.4571E+00	0.630E+02	0.534E+01	0.5023E+00	0.230E+02	0.375E+01
0.4581E+00	0.599E+02	0.507E+01	0.5035E+00	0.423E+02	0.398E+01
0.4592E+00	0.593E+02	0.505E+01	0.5047E+00	0.469E+02	0.375E+01
0.4603E+00	0.529E+02	0.494E+01	0.5058E+00	0.532E+02	0.398E+01
0.4613E+00	0.443E+02	0.486E+01	0.5070E+00	0.340E+02	0.355E+01
0.4624E+00	0.554E+02	0.511E+01	0.5082E+00	0.271E+02	0.343E+01
0.4635E+00	0.397E+02	0.540E+01	0.5093E+00	0.474E+02	0.358E+01
0.4645E+00	0.509E+02	0.496E+01	0.5105E+00	0.583E+02	0.372E+01
0.4656E+00	0.667E+02	0.509E+01	0.5117E+00	0.488E+02	0.366E+01
0.4667E+00	0.412E+02	0.503E+01	0.5129E+00	0.414E+02	0.359E+01
0.4677E+00	0.334E+02	0.475E+01	0.5140E+00	0.307E+02	0.330E+01
0.4688E+00	0.330E+02	0.466E+01	0.5152E+00	0.429E+02	0.339E+01
0.4699E+00	0.580E+02	0.511E+01	0.5164E+00	0.323E+02	0.331E+01
0.4710E+00	0.704E+02	0.504E+01	0.5176E+00	0.299E+02	0.322E+01
0.4721E+00	0.477E+02	0.491E+01	0.5188E+00	0.537E+02	0.341E+01
0.4732E+00	0.604E+02	0.483E+01	0.5200E+00	0.548E+02	0.353E+01
0.4742E+00	0.428E+02	0.474E+01	0.5212E+00	0.400E+02	0.338E+01
0.4753E+00	0.567E+02	0.492E+01	0.5224E+00	0.295E+02	0.312E+01
0.4764E+00	0.614E+02	0.482E+01	0.5236E+00	0.428E+02	0.315E+01
0.4775E+00	0.877E+02	0.523E+01	0.5248E+00	0.476E+02	0.301E+01
0.4786E+00	0.617E+02	0.501E+01	0.5260E+00	0.444E+02	0.330E+01
0.4797E+00	0.340E+02	0.462E+01	0.5272E+00	0.287E+02	0.307E+01
0.4808E+00	0.562E+02	0.470E+01	0.5285E+00	0.452E+02	0.319E+01
0.4820E+00	0.612E+02	0.517E+01	0.5297E+00	0.576E+02	0.301E+01
0.4831E+00	0.173E+02	0.430E+01	0.5309E+00	0.383E+02	0.301E+01
0.4842E+00	0.585E+02	0.470E+01	0.5321E+00	0.122E+02	0.293E+01
0.4853E+00	0.392E+02	0.436E+01	0.5333E+00	0.385E+02	0.294E+01
0.4864E+00	0.456E+02	0.431E+01	0.5346E+00	0.470E+02	0.296E+01
0.4875E+00	0.380E+02	0.448E+01	0.5358E+00	0.581E+02	0.321E+01
0.4886E+00	0.336E+02	0.407E+01	0.5370E+00	0.487E+02	0.313E+01
0.4898E+00	0.380E+02	0.396E+01	0.5383E+00	0.660E+02	0.327E+01
0.4909E+00	0.438E+02	0.428E+01	0.5395E+00	0.407E+02	0.290E+01
0.4920E+00	0.377E+02	0.415E+01	0.5408E+00	0.362E+02	0.262E+01
0.4932E+00	0.464E+02	0.427E+01	0.5420E+00	0.370E+02	0.272E+01
0.4943E+00	0.493E+02	0.422E+01	0.5433E+00	0.580E+02	0.292E+01
0.4954E+00	0.179E+02	0.373E+01	0.5445E+00	0.439E+02	0.252E+01
0.4966E+00	0.432E+02	0.414E+01	0.5458E+00	0.416E+02	0.262E+01
0.4977E+00	0.375E+02	0.422E+01	0.5470E+00	0.515E+02	0.281E+01
0.4989E+00	0.759E+02	0.444E+01	0.5483E+00	0.422E+02	0.254E+01
0.5000E+00	0.623E+02	0.409E+01	0.5495E+00	0.459E+02	0.275E+01

Table 2: (Continued).

E_n (eV)	$\sigma_{n,\gamma}$ (b)	$\Delta\sigma_{n,\gamma}$ (b)	E_n (eV)	$\sigma_{n,\gamma}$ (b)	$\Delta\sigma_{n,\gamma}$ (b)
0.5508E+00	0.507E+02	0.276E+01	0.6053E+00	0.407E+02	0.198E+01
0.5521E+00	0.270E+02	0.221E+01	0.6067E+00	0.391E+02	0.181E+01
0.5533E+00	0.459E+02	0.268E+01	0.6081E+00	0.504E+02	0.219E+01
0.5546E+00	0.373E+02	0.261E+01	0.6095E+00	0.425E+02	0.203E+01
0.5559E+00	0.519E+02	0.278E+01	0.6109E+00	0.597E+02	0.230E+01
0.5572E+00	0.472E+02	0.255E+01	0.6123E+00	0.481E+02	0.211E+01
0.5585E+00	0.642E+02	0.296E+01	0.6138E+00	0.471E+02	0.220E+01
0.5598E+00	0.243E+02	0.202E+01	0.6152E+00	0.501E+02	0.198E+01
0.5610E+00	0.571E+02	0.265E+01	0.6166E+00	0.378E+02	0.194E+01
0.5623E+00	-0.566E+01	0.194E+01	0.6180E+00	0.398E+02	0.211E+01
0.5636E+00	0.352E+02	0.242E+01	0.6194E+00	0.544E+02	0.214E+01
0.5649E+00	0.399E+02	0.236E+01	0.6209E+00	0.577E+02	0.217E+01
0.5662E+00	0.317E+02	0.206E+01	0.6223E+00	0.520E+02	0.186E+01
0.5675E+00	0.602E+02	0.267E+01	0.6237E+00	0.435E+02	0.199E+01
0.5688E+00	0.405E+02	0.231E+01	0.6252E+00	0.324E+02	0.159E+01
0.5702E+00	0.362E+02	0.228E+01	0.6266E+00	0.571E+02	0.217E+01
0.5715E+00	0.482E+02	0.253E+01	0.6281E+00	0.533E+02	0.207E+01
0.5728E+00	0.237E+02	0.198E+01	0.6295E+00	0.342E+02	0.152E+01
0.5741E+00	0.494E+02	0.245E+01	0.6310E+00	0.409E+02	0.198E+01
0.5754E+00	0.454E+02	0.240E+01	0.6324E+00	0.433E+02	0.201E+01
0.5768E+00	0.343E+02	0.209E+01	0.6339E+00	0.550E+02	0.209E+01
0.5781E+00	0.395E+02	0.214E+01	0.6353E+00	0.568E+02	0.236E+01
0.5794E+00	0.481E+02	0.228E+01	0.6368E+00	0.336E+02	0.177E+01
0.5808E+00	0.412E+02	0.229E+01	0.6383E+00	0.444E+02	0.181E+01
0.5821E+00	0.323E+02	0.186E+01	0.6397E+00	0.522E+02	0.211E+01
0.5835E+00	0.617E+02	0.250E+01	0.6412E+00	0.262E+02	0.144E+01
0.5848E+00	0.518E+02	0.219E+01	0.6427E+00	0.367E+02	0.163E+01
0.5861E+00	0.401E+02	0.211E+01	0.6442E+00	0.448E+02	0.193E+01
0.5875E+00	0.485E+02	0.247E+01	0.6457E+00	0.488E+02	0.198E+01
0.5888E+00	0.544E+02	0.238E+01	0.6471E+00	0.277E+02	0.160E+01
0.5902E+00	0.502E+02	0.217E+01	0.6486E+00	0.375E+02	0.162E+01
0.5916E+00	0.393E+02	0.208E+01	0.6501E+00	0.369E+02	0.167E+01
0.5929E+00	0.422E+02	0.235E+01	0.6516E+00	0.432E+02	0.178E+01
0.5943E+00	0.567E+02	0.234E+01	0.6531E+00	0.527E+02	0.194E+01
0.5957E+00	0.462E+02	0.225E+01	0.6546E+00	0.451E+02	0.179E+01
0.5970E+00	0.434E+02	0.223E+01	0.6561E+00	0.554E+02	0.207E+01
0.5984E+00	0.473E+02	0.219E+01	0.6577E+00	0.397E+02	0.164E+01
0.5998E+00	0.515E+02	0.234E+01	0.6592E+00	0.460E+02	0.191E+01
0.6012E+00	0.464E+02	0.215E+01	0.6607E+00	0.471E+02	0.190E+01
0.6026E+00	0.525E+02	0.220E+01	0.6622E+00	0.593E+02	0.195E+01
0.6040E+00	0.432E+02	0.198E+01	0.6637E+00	0.437E+02	0.176E+01

Table 2: (Continued).

E_n (eV)	$\sigma_{n,\gamma}$ (b)	$\Delta\sigma_{n,\gamma}$ (b)	E_n (eV)	$\sigma_{n,\gamma}$ (b)	$\Delta\sigma_{n,\gamma}$ (b)
0.6653E+00	0.288E+02	0.153E+01	0.7311E+00	0.548E+02	0.194E+01
0.6668E+00	0.488E+02	0.183E+01	0.7328E+00	0.462E+02	0.171E+01
0.6683E+00	0.549E+02	0.189E+01	0.7345E+00	0.482E+02	0.183E+01
0.6699E+00	0.481E+02	0.210E+01	0.7362E+00	0.350E+02	0.149E+01
0.6714E+00	0.573E+02	0.207E+01	0.7379E+00	0.421E+02	0.161E+01
0.6730E+00	0.490E+02	0.181E+01	0.7396E+00	0.377E+02	0.180E+01
0.6745E+00	0.396E+02	0.174E+01	0.7413E+00	0.426E+02	0.167E+01
0.6761E+00	0.378E+02	0.189E+01	0.7430E+00	0.452E+02	0.164E+01
0.6776E+00	0.450E+02	0.182E+01	0.7447E+00	0.481E+02	0.173E+01
0.6792E+00	0.435E+02	0.180E+01	0.7465E+00	0.392E+02	0.158E+01
0.6808E+00	0.340E+02	0.162E+01	0.7482E+00	0.457E+02	0.178E+01
0.6823E+00	0.412E+02	0.193E+01	0.7499E+00	0.428E+02	0.157E+01
0.6839E+00	0.499E+02	0.193E+01	0.7516E+00	0.332E+02	0.135E+01
0.6855E+00	0.490E+02	0.166E+01	0.7534E+00	0.413E+02	0.169E+01
0.6871E+00	0.457E+02	0.177E+01	0.7551E+00	0.509E+02	0.198E+01
0.6887E+00	0.461E+02	0.185E+01	0.7568E+00	0.396E+02	0.143E+01
0.6902E+00	0.499E+02	0.209E+01	0.7586E+00	0.472E+02	0.149E+01
0.6918E+00	0.331E+02	0.147E+01	0.7603E+00	0.367E+02	0.143E+01
0.6934E+00	0.583E+02	0.189E+01	0.7621E+00	0.477E+02	0.170E+01
0.6950E+00	0.423E+02	0.175E+01	0.7638E+00	0.383E+02	0.146E+01
0.6966E+00	0.287E+02	0.141E+01	0.7656E+00	0.421E+02	0.170E+01
0.6982E+00	0.471E+02	0.163E+01	0.7674E+00	0.501E+02	0.170E+01
0.6998E+00	0.502E+02	0.204E+01	0.7691E+00	0.502E+02	0.167E+01
0.7015E+00	0.359E+02	0.171E+01	0.7709E+00	0.369E+02	0.145E+01
0.7031E+00	0.436E+02	0.172E+01	0.7727E+00	0.529E+02	0.202E+01
0.7047E+00	0.402E+02	0.177E+01	0.7745E+00	0.460E+02	0.178E+01
0.7063E+00	0.135E+02	0.149E+01	0.7763E+00	0.517E+02	0.201E+01
0.7079E+00	0.475E+02	0.196E+01	0.7780E+00	0.519E+02	0.183E+01
0.7096E+00	0.451E+02	0.185E+01	0.7798E+00	0.267E+02	0.128E+01
0.7112E+00	0.510E+02	0.198E+01	0.7816E+00	0.397E+02	0.146E+01
0.7128E+00	0.436E+02	0.185E+01	0.7834E+00	0.384E+02	0.150E+01
0.7145E+00	0.444E+02	0.174E+01	0.7852E+00	0.470E+02	0.165E+01
0.7161E+00	0.409E+02	0.157E+01	0.7871E+00	0.399E+02	0.164E+01
0.7178E+00	0.397E+02	0.168E+01	0.7889E+00	0.494E+02	0.173E+01
0.7194E+00	0.434E+02	0.198E+01	0.7907E+00	0.442E+02	0.189E+01
0.7211E+00	0.412E+02	0.158E+01	0.7925E+00	0.272E+02	0.131E+01
0.7228E+00	0.428E+02	0.175E+01	0.7943E+00	0.466E+02	0.175E+01
0.7244E+00	0.537E+02	0.194E+01	0.7962E+00	0.533E+02	0.208E+01
0.7261E+00	0.462E+02	0.168E+01	0.7980E+00	0.506E+02	0.181E+01
0.7278E+00	0.401E+02	0.155E+01	0.7998E+00	0.372E+02	0.133E+01
0.7295E+00	0.485E+02	0.174E+01	0.8017E+00	0.517E+02	0.185E+01

Table 2: (Continued).

E_n (eV)	$\sigma_{n,\gamma}$ (b)	$\Delta\sigma_{n,\gamma}$ (b)	E_n (eV)	$\sigma_{n,\gamma}$ (b)	$\Delta\sigma_{n,\gamma}$ (b)
0.8035E+00	0.491E+02	0.189E+01	0.8831E+00	0.274E+02	0.127E+01
0.8054E+00	0.364E+02	0.154E+01	0.8851E+00	0.364E+02	0.147E+01
0.8072E+00	0.388E+02	0.157E+01	0.8872E+00	0.345E+02	0.180E+01
0.8091E+00	0.366E+02	0.138E+01	0.8892E+00	0.370E+02	0.148E+01
0.8110E+00	0.339E+02	0.146E+01	0.8913E+00	0.415E+02	0.159E+01
0.8128E+00	0.386E+02	0.158E+01	0.8933E+00	0.313E+02	0.136E+01
0.8147E+00	0.383E+02	0.145E+01	0.8954E+00	0.447E+02	0.186E+01
0.8166E+00	0.241E+02	0.125E+01	0.8974E+00	0.473E+02	0.179E+01
0.8185E+00	0.498E+02	0.165E+01	0.8995E+00	0.582E+02	0.204E+01
0.8203E+00	0.268E+02	0.120E+01	0.9016E+00	0.406E+02	0.157E+01
0.8222E+00	0.474E+02	0.171E+01	0.9036E+00	0.393E+02	0.165E+01
0.8241E+00	0.429E+02	0.152E+01	0.9057E+00	0.338E+02	0.154E+01
0.8260E+00	0.393E+02	0.163E+01	0.9078E+00	0.380E+02	0.149E+01
0.8279E+00	0.460E+02	0.167E+01	0.9099E+00	0.315E+02	0.152E+01
0.8299E+00	0.499E+02	0.190E+01	0.9120E+00	0.244E+02	0.150E+01
0.8318E+00	0.421E+02	0.173E+01	0.9141E+00	0.438E+02	0.156E+01
0.8337E+00	0.516E+02	0.182E+01	0.9162E+00	0.442E+02	0.160E+01
0.8356E+00	0.288E+02	0.114E+01	0.9183E+00	0.367E+02	0.161E+01
0.8375E+00	0.399E+02	0.131E+01	0.9204E+00	0.363E+02	0.144E+01
0.8395E+00	0.427E+02	0.135E+01	0.9226E+00	0.325E+02	0.154E+01
0.8414E+00	0.367E+02	0.152E+01	0.9247E+00	0.415E+02	0.165E+01
0.8433E+00	0.388E+02	0.159E+01	0.9268E+00	0.431E+02	0.164E+01
0.8453E+00	0.408E+02	0.147E+01	0.9290E+00	0.416E+02	0.171E+01
0.8472E+00	0.406E+02	0.170E+01	0.9311E+00	0.403E+02	0.177E+01
0.8492E+00	0.378E+02	0.167E+01	0.9333E+00	0.451E+02	0.201E+01
0.8511E+00	0.355E+02	0.141E+01	0.9354E+00	0.440E+02	0.157E+01
0.8531E+00	0.348E+02	0.136E+01	0.9376E+00	0.480E+02	0.167E+01
0.8551E+00	0.546E+02	0.217E+01	0.9397E+00	0.445E+02	0.176E+01
0.8570E+00	0.390E+02	0.172E+01	0.9419E+00	0.378E+02	0.167E+01
0.8590E+00	0.375E+02	0.164E+01	0.9441E+00	0.472E+02	0.214E+01
0.8610E+00	0.397E+02	0.156E+01	0.9462E+00	0.360E+02	0.161E+01
0.8630E+00	0.429E+02	0.178E+01	0.9484E+00	0.347E+02	0.146E+01
0.8650E+00	0.428E+02	0.172E+01	0.9506E+00	0.410E+02	0.178E+01
0.8670E+00	0.314E+02	0.163E+01	0.9528E+00	0.542E+02	0.221E+01
0.8690E+00	0.457E+02	0.169E+01	0.9550E+00	0.441E+02	0.186E+01
0.8710E+00	0.365E+02	0.144E+01	0.9572E+00	0.249E+02	0.151E+01
0.8730E+00	0.452E+02	0.173E+01	0.9594E+00	0.315E+02	0.146E+01
0.8750E+00	0.430E+02	0.160E+01	0.9616E+00	0.209E+02	0.153E+01
0.8770E+00	0.381E+02	0.153E+01	0.9638E+00	0.339E+02	0.166E+01
0.8790E+00	0.424E+02	0.174E+01	0.9661E+00	0.327E+02	0.159E+01
0.8810E+00	0.273E+02	0.134E+01	0.9683E+00	0.551E+02	0.198E+01

Table 2: (Continued).

E_n (eV)	$\sigma_{n,\gamma}$ (b)	$\Delta\sigma_{n,\gamma}$ (b)	E_n (eV)	$\sigma_{n,\gamma}$ (b)	$\Delta\sigma_{n,\gamma}$ (b)
0.9705E+00	0.544E+02	0.219E+01	0.1067E+01	0.273E+02	0.211E+01
0.9728E+00	0.336E+02	0.165E+01	0.1069E+01	0.383E+02	0.214E+01
0.9750E+00	0.409E+02	0.189E+01	0.1071E+01	0.209E+02	0.192E+01
0.9772E+00	0.430E+02	0.186E+01	0.1074E+01	0.435E+02	0.228E+01
0.9795E+00	0.151E+02	0.156E+01	0.1077E+01	0.312E+02	0.231E+01
0.9818E+00	0.417E+02	0.209E+01	0.1079E+01	0.354E+02	0.223E+01
0.9840E+00	0.383E+02	0.186E+01	0.1081E+01	0.394E+02	0.210E+01
0.9863E+00	0.252E+02	0.160E+01	0.1084E+01	0.385E+02	0.215E+01
0.9886E+00	0.385E+02	0.191E+01	0.1086E+01	0.503E+02	0.236E+01
0.9908E+00	0.242E+02	0.165E+01	0.1089E+01	0.431E+02	0.223E+01
0.9931E+00	0.331E+02	0.170E+01	0.1091E+01	0.177E+02	0.189E+01
0.9954E+00	0.391E+02	0.183E+01	0.1094E+01	0.410E+02	0.191E+01
0.9977E+00	0.374E+02	0.185E+01	0.1097E+01	0.412E+02	0.196E+01
0.1000E+01	0.358E+02	0.175E+01	0.1099E+01	0.455E+02	0.222E+01
0.1002E+01	0.383E+02	0.192E+01	0.1102E+01	0.369E+02	0.207E+01
0.1005E+01	0.423E+02	0.221E+01	0.1104E+01	0.348E+02	0.172E+01
0.1007E+01	0.290E+02	0.191E+01	0.1107E+01	0.226E+02	0.174E+01
0.1009E+01	0.222E+02	0.174E+01	0.1109E+01	0.340E+02	0.167E+01
0.1012E+01	0.347E+02	0.204E+01	0.1112E+01	0.462E+02	0.198E+01
0.1014E+01	0.348E+02	0.219E+01	0.1114E+01	0.344E+02	0.185E+01
0.1016E+01	0.383E+02	0.210E+01	0.1117E+01	0.136E+02	0.145E+01
0.1019E+01	0.477E+02	0.228E+01	0.1119E+01	0.310E+02	0.170E+01
0.1021E+01	0.338E+02	0.220E+01	0.1122E+01	0.243E+02	0.171E+01
0.1023E+01	0.431E+02	0.224E+01	0.1125E+01	0.540E+02	0.214E+01
0.1026E+01	0.517E+02	0.248E+01	0.1127E+01	0.577E+02	0.221E+01
0.1028E+01	0.275E+02	0.198E+01	0.1130E+01	0.427E+02	0.191E+01
0.1030E+01	0.388E+02	0.227E+01	0.1132E+01	0.372E+02	0.167E+01
0.1033E+01	0.383E+02	0.210E+01	0.1135E+01	0.431E+02	0.205E+01
0.1035E+01	0.341E+02	0.236E+01	0.1138E+01	0.490E+02	0.220E+01
0.1038E+01	0.517E+02	0.273E+01	0.1140E+01	0.449E+02	0.181E+01
0.1040E+01	0.332E+02	0.225E+01	0.1143E+01	0.346E+02	0.160E+01
0.1042E+01	0.283E+02	0.225E+01	0.1145E+01	0.312E+02	0.154E+01
0.1045E+01	0.378E+02	0.246E+01	0.1148E+01	0.432E+02	0.186E+01
0.1047E+01	0.493E+02	0.273E+01	0.1151E+01	0.417E+02	0.177E+01
0.1049E+01	0.193E+02	0.213E+01	0.1153E+01	0.466E+02	0.186E+01
0.1052E+01	0.328E+02	0.222E+01	0.1156E+01	0.152E+02	0.152E+01
0.1054E+01	0.527E+02	0.280E+01	0.1159E+01	0.294E+02	0.143E+01
0.1057E+01	0.468E+02	0.259E+01	0.1161E+01	0.357E+02	0.165E+01
0.1059E+01	0.357E+02	0.223E+01	0.1164E+01	0.403E+02	0.172E+01
0.1062E+01	0.241E+02	0.211E+01	0.1167E+01	0.563E+01	0.149E+01
0.1064E+01	0.531E+02	0.259E+01	0.1169E+01	0.361E+02	0.170E+01

Table 2: (Continued).

E_n (eV)	$\sigma_{n,\gamma}$ (b)	$\Delta\sigma_{n,\gamma}$ (b)	E_n (eV)	$\sigma_{n,\gamma}$ (b)	$\Delta\sigma_{n,\gamma}$ (b)
0.1172E+01	0.331E+02	0.141E+01	0.1288E+01	0.610E+02	0.189E+01
0.1175E+01	0.432E+02	0.171E+01	0.1291E+01	0.478E+02	0.172E+01
0.1178E+01	0.429E+02	0.169E+01	0.1294E+01	0.538E+02	0.178E+01
0.1180E+01	0.463E+02	0.167E+01	0.1297E+01	0.549E+02	0.189E+01
0.1183E+01	0.469E+02	0.169E+01	0.1300E+01	0.488E+02	0.175E+01
0.1186E+01	0.387E+02	0.172E+01	0.1303E+01	0.504E+02	0.202E+01
0.1189E+01	0.522E+02	0.188E+01	0.1306E+01	0.648E+02	0.236E+01
0.1191E+01	0.527E+02	0.188E+01	0.1309E+01	0.531E+02	0.191E+01
0.1194E+01	0.395E+02	0.155E+01	0.1312E+01	0.566E+02	0.201E+01
0.1197E+01	0.556E+02	0.197E+01	0.1315E+01	0.372E+02	0.148E+01
0.1199E+01	0.341E+02	0.141E+01	0.1318E+01	0.514E+02	0.204E+01
0.1202E+01	0.263E+02	0.119E+01	0.1321E+01	0.573E+02	0.188E+01
0.1205E+01	0.364E+02	0.162E+01	0.1324E+01	0.469E+02	0.172E+01
0.1208E+01	0.415E+02	0.168E+01	0.1327E+01	0.472E+02	0.162E+01
0.1211E+01	0.445E+02	0.171E+01	0.1331E+01	0.617E+02	0.198E+01
0.1213E+01	0.288E+02	0.131E+01	0.1334E+01	0.601E+02	0.215E+01
0.1216E+01	0.410E+02	0.155E+01	0.1337E+01	0.508E+02	0.190E+01
0.1219E+01	0.486E+02	0.157E+01	0.1340E+01	0.614E+02	0.207E+01
0.1222E+01	0.385E+02	0.164E+01	0.1343E+01	0.454E+02	0.176E+01
0.1225E+01	0.319E+02	0.138E+01	0.1346E+01	0.471E+02	0.148E+01
0.1227E+01	0.521E+02	0.180E+01	0.1349E+01	0.499E+02	0.219E+01
0.1230E+01	0.465E+02	0.171E+01	0.1352E+01	0.577E+02	0.199E+01
0.1233E+01	0.297E+02	0.154E+01	0.1355E+01	0.538E+02	0.188E+01
0.1236E+01	0.484E+02	0.182E+01	0.1358E+01	0.531E+02	0.186E+01
0.1239E+01	0.484E+02	0.183E+01	0.1361E+01	0.636E+02	0.239E+01
0.1242E+01	0.473E+02	0.178E+01	0.1365E+01	0.636E+02	0.272E+01
0.1245E+01	0.399E+02	0.187E+01	0.1368E+01	0.572E+02	0.189E+01
0.1247E+01	0.421E+02	0.170E+01	0.1371E+01	0.504E+02	0.197E+01
0.1250E+01	0.507E+02	0.179E+01	0.1374E+01	0.517E+02	0.175E+01
0.1253E+01	0.504E+02	0.212E+01	0.1377E+01	0.464E+02	0.150E+01
0.1256E+01	0.502E+02	0.191E+01	0.1380E+01	0.648E+02	0.216E+01
0.1259E+01	0.523E+02	0.191E+01	0.1384E+01	0.499E+02	0.188E+01
0.1262E+01	0.458E+02	0.164E+01	0.1387E+01	0.431E+02	0.159E+01
0.1265E+01	0.434E+02	0.156E+01	0.1390E+01	0.716E+02	0.225E+01
0.1268E+01	0.532E+02	0.206E+01	0.1393E+01	0.483E+02	0.165E+01
0.1271E+01	0.467E+02	0.162E+01	0.1396E+01	0.575E+02	0.204E+01
0.1273E+01	0.464E+02	0.165E+01	0.1400E+01	0.568E+02	0.206E+01
0.1276E+01	0.547E+02	0.188E+01	0.1403E+01	0.595E+02	0.223E+01
0.1279E+01	0.526E+02	0.192E+01	0.1406E+01	0.685E+02	0.215E+01
0.1282E+01	0.456E+02	0.165E+01	0.1409E+01	0.648E+02	0.191E+01
0.1285E+01	0.391E+02	0.144E+01	0.1413E+01	0.583E+02	0.201E+01

Table 2: (Continued).

E_n (eV)	$\sigma_{n,\gamma}$ (b)	$\Delta\sigma_{n,\gamma}$ (b)	E_n (eV)	$\sigma_{n,\gamma}$ (b)	$\Delta\sigma_{n,\gamma}$ (b)
0.1416E+01	0.474E+02	0.142E+01	0.1556E+01	0.107E+03	0.298E+01
0.1419E+01	0.623E+02	0.210E+01	0.1560E+01	0.115E+03	0.302E+01
0.1422E+01	0.493E+02	0.183E+01	0.1563E+01	0.103E+03	0.291E+01
0.1426E+01	0.660E+02	0.207E+01	0.1567E+01	0.100E+03	0.264E+01
0.1429E+01	0.485E+02	0.207E+01	0.1570E+01	0.102E+03	0.280E+01
0.1432E+01	0.506E+02	0.174E+01	0.1574E+01	0.123E+03	0.300E+01
0.1436E+01	0.583E+02	0.185E+01	0.1578E+01	0.110E+03	0.265E+01
0.1439E+01	0.648E+02	0.201E+01	0.1581E+01	0.114E+03	0.301E+01
0.1442E+01	0.784E+02	0.229E+01	0.1585E+01	0.114E+03	0.285E+01
0.1445E+01	0.555E+02	0.191E+01	0.1589E+01	0.119E+03	0.304E+01
0.1449E+01	0.467E+02	0.165E+01	0.1592E+01	0.117E+03	0.303E+01
0.1452E+01	0.710E+02	0.209E+01	0.1596E+01	0.126E+03	0.316E+01
0.1456E+01	0.753E+02	0.225E+01	0.1600E+01	0.133E+03	0.324E+01
0.1459E+01	0.557E+02	0.190E+01	0.1603E+01	0.135E+03	0.297E+01
0.1462E+01	0.704E+02	0.217E+01	0.1607E+01	0.143E+03	0.328E+01
0.1465E+01	0.560E+02	0.191E+01	0.1611E+01	0.150E+03	0.329E+01
0.1469E+01	0.563E+02	0.175E+01	0.1614E+01	0.146E+03	0.344E+01
0.1472E+01	0.759E+02	0.219E+01	0.1618E+01	0.177E+03	0.373E+01
0.1476E+01	0.728E+02	0.234E+01	0.1622E+01	0.192E+03	0.413E+01
0.1479E+01	0.286E+02	0.177E+01	0.1625E+01	0.174E+03	0.382E+01
0.1482E+01	0.827E+02	0.231E+01	0.1629E+01	0.187E+03	0.397E+01
0.1486E+01	0.821E+02	0.235E+01	0.1633E+01	0.192E+03	0.380E+01
0.1489E+01	0.716E+02	0.244E+01	0.1637E+01	0.212E+03	0.425E+01
0.1493E+01	0.685E+02	0.209E+01	0.1641E+01	0.225E+03	0.445E+01
0.1496E+01	0.747E+02	0.204E+01	0.1644E+01	0.238E+03	0.454E+01
0.1500E+01	0.691E+02	0.224E+01	0.1648E+01	0.236E+03	0.446E+01
0.1503E+01	0.784E+02	0.230E+01	0.1652E+01	0.259E+03	0.479E+01
0.1507E+01	0.765E+02	0.215E+01	0.1656E+01	0.289E+03	0.489E+01
0.1510E+01	0.790E+02	0.223E+01	0.1660E+01	0.302E+03	0.514E+01
0.1514E+01	0.728E+02	0.235E+01	0.1663E+01	0.292E+03	0.490E+01
0.1517E+01	0.784E+02	0.223E+01	0.1667E+01	0.307E+03	0.525E+01
0.1520E+01	0.796E+02	0.234E+01	0.1671E+01	0.325E+03	0.535E+01
0.1524E+01	0.716E+02	0.224E+01	0.1675E+01	0.344E+03	0.572E+01
0.1528E+01	0.870E+02	0.265E+01	0.1679E+01	0.352E+03	0.560E+01
0.1531E+01	0.790E+02	0.222E+01	0.1683E+01	0.354E+03	0.566E+01
0.1535E+01	0.802E+02	0.270E+01	0.1687E+01	0.396E+03	0.599E+01
0.1538E+01	0.809E+02	0.248E+01	0.1690E+01	0.423E+03	0.617E+01
0.1542E+01	0.852E+02	0.229E+01	0.1694E+01	0.439E+03	0.616E+01
0.1545E+01	0.821E+02	0.236E+01	0.1698E+01	0.443E+03	0.648E+01
0.1549E+01	0.988E+02	0.231E+01	0.1702E+01	0.477E+03	0.654E+01
0.1552E+01	0.914E+02	0.265E+01	0.1706E+01	0.442E+03	0.630E+01

Table 2: (Continued).

E_n (eV)	$\sigma_{n,\gamma}$ (b)	$\Delta\sigma_{n,\gamma}$ (b)	E_n (eV)	$\sigma_{n,\gamma}$ (b)	$\Delta\sigma_{n,\gamma}$ (b)
0.1710E+01	0.454E+03	0.642E+01	0.1879E+01	0.140E+03	0.346E+01
0.1714E+01	0.431E+03	0.654E+01	0.1884E+01	0.136E+03	0.337E+01
0.1718E+01	0.493E+03	0.667E+01	0.1888E+01	0.120E+03	0.344E+01
0.1722E+01	0.515E+03	0.685E+01	0.1892E+01	0.125E+03	0.330E+01
0.1726E+01	0.468E+03	0.660E+01	0.1897E+01	0.142E+03	0.351E+01
0.1730E+01	0.451E+03	0.623E+01	0.1901E+01	0.130E+03	0.319E+01
0.1734E+01	0.475E+03	0.673E+01	0.1906E+01	0.112E+03	0.298E+01
0.1738E+01	0.449E+03	0.673E+01	0.1910E+01	0.134E+03	0.315E+01
0.1742E+01	0.420E+03	0.612E+01	0.1914E+01	0.109E+03	0.268E+01
0.1746E+01	0.487E+03	0.691E+01	0.1919E+01	0.107E+03	0.270E+01
0.1750E+01	0.386E+03	0.595E+01	0.1923E+01	0.123E+03	0.320E+01
0.1754E+01	0.393E+03	0.596E+01	0.1928E+01	0.110E+03	0.310E+01
0.1758E+01	0.342E+03	0.591E+01	0.1932E+01	0.134E+03	0.293E+01
0.1762E+01	0.370E+03	0.572E+01	0.1936E+01	0.932E+02	0.268E+01
0.1766E+01	0.357E+03	0.590E+01	0.1941E+01	0.117E+03	0.308E+01
0.1770E+01	0.327E+03	0.543E+01	0.1945E+01	0.135E+03	0.311E+01
0.1774E+01	0.275E+03	0.491E+01	0.1950E+01	0.115E+03	0.302E+01
0.1778E+01	0.296E+03	0.527E+01	0.1954E+01	0.115E+03	0.314E+01
0.1782E+01	0.272E+03	0.495E+01	0.1959E+01	0.134E+03	0.312E+01
0.1786E+01	0.253E+03	0.465E+01	0.1963E+01	0.140E+03	0.341E+01
0.1791E+01	0.230E+03	0.440E+01	0.1968E+01	0.134E+03	0.342E+01
0.1795E+01	0.233E+03	0.441E+01	0.1972E+01	0.138E+03	0.330E+01
0.1799E+01	0.206E+03	0.420E+01	0.1977E+01	0.112E+03	0.288E+01
0.1803E+01	0.206E+03	0.410E+01	0.1982E+01	0.164E+03	0.351E+01
0.1807E+01	0.190E+03	0.410E+01	0.1986E+01	0.134E+03	0.319E+01
0.1811E+01	0.199E+03	0.425E+01	0.1991E+01	0.133E+03	0.338E+01
0.1816E+01	0.176E+03	0.371E+01	0.1995E+01	0.146E+03	0.325E+01
0.1820E+01	0.183E+03	0.386E+01	0.2000E+01	0.172E+03	0.386E+01
0.1824E+01	0.151E+03	0.369E+01	0.2004E+01	0.167E+03	0.358E+01
0.1828E+01	0.159E+03	0.362E+01	0.2009E+01	0.149E+03	0.338E+01
0.1832E+01	0.160E+03	0.362E+01	0.2014E+01	0.147E+03	0.338E+01
0.1837E+01	0.130E+03	0.311E+01	0.2018E+01	0.171E+03	0.350E+01
0.1841E+01	0.152E+03	0.369E+01	0.2023E+01	0.149E+03	0.333E+01
0.1845E+01	0.149E+03	0.351E+01	0.2028E+01	0.143E+03	0.345E+01
0.1849E+01	0.123E+03	0.302E+01	0.2032E+01	0.133E+03	0.325E+01
0.1854E+01	0.145E+03	0.352E+01	0.2037E+01	0.154E+03	0.329E+01
0.1858E+01	0.142E+03	0.305E+01	0.2042E+01	0.171E+03	0.375E+01
0.1862E+01	0.128E+03	0.302E+01	0.2046E+01	0.185E+03	0.374E+01
0.1866E+01	0.151E+03	0.389E+01	0.2051E+01	0.165E+03	0.360E+01
0.1871E+01	0.126E+03	0.318E+01	0.2056E+01	0.166E+03	0.377E+01
0.1875E+01	0.131E+03	0.319E+01	0.2061E+01	0.174E+03	0.399E+01

Table 2: (Continued).

E_n (eV)	$\sigma_{n,\gamma}$ (b)	$\Delta\sigma_{n,\gamma}$ (b)	E_n (eV)	$\sigma_{n,\gamma}$ (b)	$\Delta\sigma_{n,\gamma}$ (b)
0.2065E+01	0.167E+03	0.369E+01	0.2270E+01	0.691E+03	0.827E+01
0.2070E+01	0.173E+03	0.378E+01	0.2275E+01	0.710E+03	0.852E+01
0.2075E+01	0.176E+03	0.352E+01	0.2280E+01	0.765E+03	0.883E+01
0.2080E+01	0.179E+03	0.372E+01	0.2286E+01	0.790E+03	0.864E+01
0.2085E+01	0.191E+03	0.417E+01	0.2291E+01	0.883E+03	0.944E+01
0.2089E+01	0.194E+03	0.404E+01	0.2296E+01	0.895E+03	0.895E+01
0.2094E+01	0.219E+03	0.456E+01	0.2301E+01	0.102E+04	0.101E+02
0.2099E+01	0.228E+03	0.462E+01	0.2307E+01	0.104E+04	0.994E+01
0.2104E+01	0.219E+03	0.449E+01	0.2312E+01	0.123E+04	0.112E+02
0.2109E+01	0.201E+03	0.398E+01	0.2317E+01	0.118E+04	0.106E+02
0.2114E+01	0.225E+03	0.431E+01	0.2323E+01	0.138E+04	0.120E+02
0.2118E+01	0.199E+03	0.406E+01	0.2328E+01	0.139E+04	0.115E+02
0.2123E+01	0.254E+03	0.446E+01	0.2333E+01	0.153E+04	0.120E+02
0.2128E+01	0.238E+03	0.448E+01	0.2339E+01	0.169E+04	0.131E+02
0.2133E+01	0.267E+03	0.503E+01	0.2344E+01	0.186E+04	0.141E+02
0.2138E+01	0.251E+03	0.454E+01	0.2350E+01	0.194E+04	0.138E+02
0.2143E+01	0.270E+03	0.481E+01	0.2355E+01	0.215E+04	0.146E+02
0.2148E+01	0.247E+03	0.473E+01	0.2361E+01	0.225E+04	0.146E+02
0.2153E+01	0.274E+03	0.480E+01	0.2366E+01	0.238E+04	0.155E+02
0.2158E+01	0.300E+03	0.549E+01	0.2371E+01	0.283E+04	0.169E+02
0.2163E+01	0.293E+03	0.520E+01	0.2377E+01	0.304E+04	0.173E+02
0.2168E+01	0.292E+03	0.494E+01	0.2382E+01	0.335E+04	0.186E+02
0.2173E+01	0.330E+03	0.540E+01	0.2388E+01	0.361E+04	0.190E+02
0.2178E+01	0.328E+03	0.545E+01	0.2393E+01	0.374E+04	0.191E+02
0.2183E+01	0.310E+03	0.542E+01	0.2399E+01	0.394E+04	0.202E+02
0.2188E+01	0.353E+03	0.593E+01	0.2404E+01	0.415E+04	0.199E+02
0.2193E+01	0.360E+03	0.580E+01	0.2410E+01	0.480E+04	0.219E+02
0.2198E+01	0.372E+03	0.583E+01	0.2415E+01	0.496E+04	0.222E+02
0.2203E+01	0.422E+03	0.615E+01	0.2421E+01	0.514E+04	0.221E+02
0.2208E+01	0.410E+03	0.610E+01	0.2427E+01	0.498E+04	0.225E+02
0.2213E+01	0.401E+03	0.617E+01	0.2432E+01	0.569E+04	0.238E+02
0.2218E+01	0.440E+03	0.660E+01	0.2438E+01	0.579E+04	0.234E+02
0.2223E+01	0.466E+03	0.679E+01	0.2443E+01	0.601E+04	0.241E+02
0.2228E+01	0.466E+03	0.685E+01	0.2449E+01	0.617E+04	0.243E+02
0.2234E+01	0.465E+03	0.660E+01	0.2455E+01	0.593E+04	0.234E+02
0.2239E+01	0.511E+03	0.722E+01	0.2460E+01	0.613E+04	0.241E+02
0.2244E+01	0.511E+03	0.685E+01	0.2466E+01	0.590E+04	0.238E+02
0.2249E+01	0.545E+03	0.741E+01	0.2472E+01	0.578E+04	0.238E+02
0.2254E+01	0.536E+03	0.698E+01	0.2477E+01	0.572E+04	0.236E+02
0.2259E+01	0.572E+03	0.728E+01	0.2483E+01	0.543E+04	0.229E+02
0.2265E+01	0.606E+03	0.716E+01	0.2489E+01	0.493E+04	0.219E+02

Table 2: (Continued).

E_n (eV)	$\sigma_{n,\gamma}$ (b)	$\Delta\sigma_{n,\gamma}$ (b)	E_n (eV)	$\sigma_{n,\gamma}$ (b)	$\Delta\sigma_{n,\gamma}$ (b)
0.2495E+01	0.450E+04	0.210E+02	0.2742E+01	0.283E+03	0.516E+01
0.2500E+01	0.445E+04	0.214E+02	0.2748E+01	0.259E+03	0.491E+01
0.2506E+01	0.388E+04	0.194E+02	0.2754E+01	0.235E+03	0.467E+01
0.2512E+01	0.363E+04	0.187E+02	0.2761E+01	0.283E+03	0.542E+01
0.2518E+01	0.340E+04	0.185E+02	0.2767E+01	0.272E+03	0.506E+01
0.2523E+01	0.297E+04	0.173E+02	0.2773E+01	0.212E+03	0.448E+01
0.2529E+01	0.268E+04	0.161E+02	0.2780E+01	0.206E+03	0.431E+01
0.2535E+01	0.252E+04	0.158E+02	0.2786E+01	0.234E+03	0.454E+01
0.2541E+01	0.228E+04	0.151E+02	0.2793E+01	0.215E+03	0.422E+01
0.2547E+01	0.204E+04	0.143E+02	0.2799E+01	0.209E+03	0.427E+01
0.2553E+01	0.186E+04	0.136E+02	0.2805E+01	0.231E+03	0.444E+01
0.2559E+01	0.165E+04	0.128E+02	0.2812E+01	0.200E+03	0.419E+01
0.2565E+01	0.150E+04	0.123E+02	0.2818E+01	0.204E+03	0.423E+01
0.2570E+01	0.142E+04	0.121E+02	0.2825E+01	0.206E+03	0.438E+01
0.2576E+01	0.138E+04	0.115E+02	0.2831E+01	0.210E+03	0.428E+01
0.2582E+01	0.117E+04	0.108E+02	0.2838E+01	0.188E+03	0.404E+01
0.2588E+01	0.113E+04	0.107E+02	0.2845E+01	0.187E+03	0.407E+01
0.2594E+01	0.938E+03	0.944E+01	0.2851E+01	0.178E+03	0.388E+01
0.2600E+01	0.938E+03	0.957E+01	0.2858E+01	0.220E+03	0.465E+01
0.2606E+01	0.846E+03	0.926E+01	0.2864E+01	0.159E+03	0.358E+01
0.2612E+01	0.802E+03	0.889E+01	0.2871E+01	0.169E+03	0.377E+01
0.2618E+01	0.685E+03	0.821E+01	0.2877E+01	0.162E+03	0.380E+01
0.2624E+01	0.722E+03	0.870E+01	0.2884E+01	0.187E+03	0.403E+01
0.2630E+01	0.615E+03	0.765E+01	0.2891E+01	0.183E+03	0.386E+01
0.2636E+01	0.557E+03	0.710E+01	0.2897E+01	0.209E+03	0.409E+01
0.2642E+01	0.567E+03	0.759E+01	0.2904E+01	0.156E+03	0.352E+01
0.2648E+01	0.527E+03	0.722E+01	0.2911E+01	0.190E+03	0.404E+01
0.2655E+01	0.476E+03	0.685E+01	0.2917E+01	0.168E+03	0.368E+01
0.2661E+01	0.485E+03	0.673E+01	0.2924E+01	0.195E+03	0.432E+01
0.2667E+01	0.446E+03	0.654E+01	0.2931E+01	0.209E+03	0.428E+01
0.2673E+01	0.443E+03	0.660E+01	0.2938E+01	0.206E+03	0.427E+01
0.2679E+01	0.427E+03	0.630E+01	0.2944E+01	0.188E+03	0.411E+01
0.2685E+01	0.390E+03	0.578E+01	0.2951E+01	0.224E+03	0.448E+01
0.2691E+01	0.350E+03	0.559E+01	0.2958E+01	0.202E+03	0.426E+01
0.2698E+01	0.378E+03	0.599E+01	0.2965E+01	0.205E+03	0.434E+01
0.2704E+01	0.338E+03	0.574E+01	0.2972E+01	0.230E+03	0.459E+01
0.2710E+01	0.343E+03	0.585E+01	0.2978E+01	0.179E+03	0.391E+01
0.2716E+01	0.300E+03	0.535E+01	0.2985E+01	0.252E+03	0.507E+01
0.2723E+01	0.308E+03	0.535E+01	0.2992E+01	0.227E+03	0.457E+01
0.2729E+01	0.307E+03	0.518E+01	0.2999E+01	0.246E+03	0.483E+01
0.2735E+01	0.286E+03	0.495E+01	0.3006E+01	0.198E+03	0.385E+01

Table 2: (Continued).

E_n (eV)	$\sigma_{n,\gamma}$ (b)	$\Delta\sigma_{n,\gamma}$ (b)	E_n (eV)	$\sigma_{n,\gamma}$ (b)	$\Delta\sigma_{n,\gamma}$ (b)
0.3013E+01	0.251E+03	0.464E+01	0.3311E+01	0.302E+04	0.173E+02
0.3020E+01	0.265E+03	0.510E+01	0.3319E+01	0.278E+04	0.165E+02
0.3027E+01	0.269E+03	0.501E+01	0.3327E+01	0.256E+04	0.160E+02
0.3034E+01	0.278E+03	0.472E+01	0.3334E+01	0.247E+04	0.157E+02
0.3041E+01	0.286E+03	0.497E+01	0.3342E+01	0.223E+04	0.154E+02
0.3048E+01	0.320E+03	0.553E+01	0.3350E+01	0.203E+04	0.144E+02
0.3055E+01	0.277E+03	0.519E+01	0.3357E+01	0.178E+04	0.138E+02
0.3062E+01	0.310E+03	0.566E+01	0.3365E+01	0.166E+04	0.135E+02
0.3069E+01	0.318E+03	0.548E+01	0.3373E+01	0.144E+04	0.122E+02
0.3076E+01	0.367E+03	0.570E+01	0.3381E+01	0.127E+04	0.115E+02
0.3083E+01	0.370E+03	0.612E+01	0.3388E+01	0.106E+04	0.107E+02
0.3090E+01	0.390E+03	0.611E+01	0.3396E+01	0.988E+03	0.101E+02
0.3097E+01	0.439E+03	0.691E+01	0.3404E+01	0.895E+03	0.963E+01
0.3105E+01	0.459E+03	0.667E+01	0.3412E+01	0.772E+03	0.920E+01
0.3112E+01	0.518E+03	0.710E+01	0.3420E+01	0.704E+03	0.870E+01
0.3119E+01	0.526E+03	0.710E+01	0.3428E+01	0.636E+03	0.852E+01
0.3126E+01	0.582E+03	0.753E+01	0.3436E+01	0.580E+03	0.753E+01
0.3133E+01	0.599E+03	0.759E+01	0.3444E+01	0.525E+03	0.728E+01
0.3141E+01	0.685E+03	0.833E+01	0.3451E+01	0.476E+03	0.698E+01
0.3148E+01	0.716E+03	0.852E+01	0.3459E+01	0.385E+03	0.630E+01
0.3155E+01	0.809E+03	0.920E+01	0.3467E+01	0.431E+03	0.667E+01
0.3162E+01	0.858E+03	0.926E+01	0.3475E+01	0.380E+03	0.660E+01
0.3170E+01	0.975E+03	0.963E+01	0.3483E+01	0.380E+03	0.642E+01
0.3177E+01	0.112E+04	0.107E+02	0.3491E+01	0.336E+03	0.572E+01
0.3184E+01	0.115E+04	0.107E+02	0.3500E+01	0.320E+03	0.571E+01
0.3191E+01	0.135E+04	0.117E+02	0.3507E+01	0.301E+03	0.567E+01
0.3199E+01	0.143E+04	0.124E+02	0.3516E+01	0.319E+03	0.517E+01
0.3206E+01	0.167E+04	0.131E+02	0.3524E+01	0.235E+03	0.466E+01
0.3214E+01	0.175E+04	0.133E+02	0.3532E+01	0.277E+03	0.533E+01
0.3221E+01	0.193E+04	0.138E+02	0.3540E+01	0.307E+03	0.583E+01
0.3228E+01	0.212E+04	0.146E+02	0.3548E+01	0.283E+03	0.553E+01
0.3236E+01	0.233E+04	0.154E+02	0.3556E+01	0.249E+03	0.508E+01
0.3243E+01	0.253E+04	0.160E+02	0.3565E+01	0.248E+03	0.470E+01
0.3251E+01	0.269E+04	0.161E+02	0.3573E+01	0.223E+03	0.467E+01
0.3258E+01	0.287E+04	0.171E+02	0.3581E+01	0.209E+03	0.444E+01
0.3266E+01	0.306E+04	0.175E+02	0.3589E+01	0.234E+03	0.473E+01
0.3273E+01	0.309E+04	0.176E+02	0.3598E+01	0.205E+03	0.456E+01
0.3281E+01	0.321E+04	0.178E+02	0.3606E+01	0.227E+03	0.451E+01
0.3289E+01	0.317E+04	0.179E+02	0.3614E+01	0.219E+03	0.464E+01
0.3296E+01	0.315E+04	0.175E+02	0.3622E+01	0.228E+03	0.480E+01
0.3304E+01	0.320E+04	0.181E+02	0.3631E+01	0.251E+03	0.546E+01

Table 2: (Continued).

E_n (eV)	$\sigma_{n,\gamma}$ (b)	$\Delta\sigma_{n,\gamma}$ (b)	E_n (eV)	$\sigma_{n,\gamma}$ (b)	$\Delta\sigma_{n,\gamma}$ (b)
0.3639E+01	0.213E+03	0.452E+01	0.3999E+01	0.192E+04	0.145E+02
0.3648E+01	0.230E+03	0.475E+01	0.4009E+01	0.167E+04	0.133E+02
0.3656E+01	0.228E+03	0.475E+01	0.4018E+01	0.152E+04	0.127E+02
0.3664E+01	0.280E+03	0.566E+01	0.4027E+01	0.109E+04	0.994E+01
0.3673E+01	0.271E+03	0.518E+01	0.4036E+01	0.104E+04	0.102E+02
0.3681E+01	0.291E+03	0.530E+01	0.4046E+01	0.957E+03	0.975E+01
0.3690E+01	0.286E+03	0.574E+01	0.4055E+01	0.759E+03	0.852E+01
0.3698E+01	0.321E+03	0.586E+01	0.4064E+01	0.691E+03	0.827E+01
0.3707E+01	0.359E+03	0.594E+01	0.4074E+01	0.593E+03	0.716E+01
0.3715E+01	0.323E+03	0.575E+01	0.4083E+01	0.570E+03	0.784E+01
0.3724E+01	0.375E+03	0.642E+01	0.4093E+01	0.491E+03	0.691E+01
0.3733E+01	0.384E+03	0.630E+01	0.4102E+01	0.434E+03	0.667E+01
0.3741E+01	0.405E+03	0.623E+01	0.4111E+01	0.356E+03	0.572E+01
0.3750E+01	0.458E+03	0.691E+01	0.4121E+01	0.348E+03	0.559E+01
0.3758E+01	0.515E+03	0.728E+01	0.4130E+01	0.302E+03	0.509E+01
0.3767E+01	0.467E+03	0.673E+01	0.4140E+01	0.291E+03	0.529E+01
0.3776E+01	0.588E+03	0.772E+01	0.4149E+01	0.238E+03	0.470E+01
0.3784E+01	0.642E+03	0.796E+01	0.4159E+01	0.208E+03	0.415E+01
0.3793E+01	0.753E+03	0.883E+01	0.4169E+01	0.225E+03	0.465E+01
0.3802E+01	0.802E+03	0.920E+01	0.4178E+01	0.190E+03	0.423E+01
0.3811E+01	0.883E+03	0.944E+01	0.4188E+01	0.174E+03	0.393E+01
0.3819E+01	0.988E+03	0.100E+02	0.4198E+01	0.200E+03	0.436E+01
0.3828E+01	0.109E+04	0.107E+02	0.4207E+01	0.166E+03	0.376E+01
0.3837E+01	0.127E+04	0.114E+02	0.4217E+01	0.159E+03	0.364E+01
0.3846E+01	0.140E+04	0.119E+02	0.4227E+01	0.149E+03	0.333E+01
0.3855E+01	0.149E+04	0.120E+02	0.4236E+01	0.138E+03	0.325E+01
0.3864E+01	0.174E+04	0.134E+02	0.4246E+01	0.136E+03	0.345E+01
0.3873E+01	0.184E+04	0.135E+02	0.4256E+01	0.131E+03	0.320E+01
0.3882E+01	0.225E+04	0.157E+02	0.4266E+01	0.108E+03	0.299E+01
0.3891E+01	0.242E+04	0.157E+02	0.4276E+01	0.109E+03	0.291E+01
0.3899E+01	0.262E+04	0.165E+02	0.4286E+01	0.994E+02	0.283E+01
0.3908E+01	0.286E+04	0.175E+02	0.4295E+01	0.111E+03	0.310E+01
0.3917E+01	0.286E+04	0.166E+02	0.4305E+01	0.821E+02	0.263E+01
0.3926E+01	0.311E+04	0.178E+02	0.4315E+01	0.802E+02	0.261E+01
0.3935E+01	0.293E+04	0.172E+02	0.4325E+01	0.988E+02	0.281E+01
0.3945E+01	0.315E+04	0.178E+02	0.4335E+01	0.846E+02	0.252E+01
0.3954E+01	0.288E+04	0.175E+02	0.4345E+01	0.840E+02	0.252E+01
0.3963E+01	0.278E+04	0.167E+02	0.4355E+01	0.636E+02	0.232E+01
0.3972E+01	0.261E+04	0.164E+02	0.4365E+01	0.963E+02	0.276E+01
0.3981E+01	0.228E+04	0.151E+02	0.4375E+01	0.673E+02	0.231E+01
0.3990E+01	0.209E+04	0.145E+02	0.4385E+01	0.710E+02	0.224E+01

Table 2: (Continued).

E_n (eV)	$\sigma_{n,\gamma}$ (b)	$\Delta\sigma_{n,\gamma}$ (b)	E_n (eV)	$\sigma_{n,\gamma}$ (b)	$\Delta\sigma_{n,\gamma}$ (b)
0.4395E+01	0.698E+02	0.215E+01	0.4831E+01	0.753E+02	0.228E+01
0.4405E+01	0.630E+02	0.221E+01	0.4842E+01	0.833E+02	0.267E+01
0.4416E+01	0.722E+02	0.273E+01	0.4853E+01	0.575E+02	0.203E+01
0.4426E+01	0.660E+02	0.229E+01	0.4864E+01	0.532E+02	0.182E+01
0.4436E+01	0.579E+02	0.203E+01	0.4875E+01	0.636E+02	0.228E+01
0.4446E+01	0.501E+02	0.183E+01	0.4886E+01	0.505E+02	0.185E+01
0.4457E+01	0.590E+02	0.180E+01	0.4898E+01	0.465E+02	0.166E+01
0.4467E+01	0.660E+02	0.224E+01	0.4909E+01	0.373E+02	0.144E+01
0.4477E+01	0.550E+02	0.178E+01	0.4920E+01	0.430E+02	0.173E+01
0.4488E+01	0.530E+02	0.191E+01	0.4932E+01	0.391E+02	0.146E+01
0.4498E+01	0.667E+02	0.213E+01	0.4943E+01	0.362E+02	0.135E+01
0.4508E+01	0.510E+02	0.185E+01	0.4955E+01	0.256E+02	0.120E+01
0.4519E+01	0.728E+02	0.239E+01	0.4966E+01	0.366E+02	0.163E+01
0.4529E+01	0.559E+02	0.190E+01	0.4977E+01	0.234E+02	0.117E+01
0.4539E+01	0.457E+02	0.175E+01	0.4989E+01	0.255E+02	0.104E+01
0.4550E+01	0.495E+02	0.184E+01	0.5000E+01	0.347E+02	0.152E+01
0.4560E+01	0.385E+02	0.140E+01	0.5012E+01	0.255E+02	0.110E+01
0.4571E+01	0.548E+02	0.207E+01	0.5023E+01	0.357E+02	0.138E+01
0.4581E+01	0.553E+02	0.215E+01	0.5035E+01	0.263E+02	0.125E+01
0.4592E+01	0.601E+02	0.216E+01	0.5047E+01	0.250E+02	0.123E+01
0.4603E+01	0.480E+02	0.178E+01	0.5058E+01	0.270E+02	0.134E+01
0.4613E+01	0.551E+02	0.173E+01	0.5070E+01	0.278E+02	0.130E+01
0.4624E+01	0.535E+02	0.190E+01	0.5082E+01	0.229E+02	0.110E+01
0.4635E+01	0.601E+02	0.218E+01	0.5093E+01	0.351E+02	0.147E+01
0.4645E+01	0.601E+02	0.210E+01	0.5105E+01	0.343E+02	0.149E+01
0.4656E+01	0.704E+02	0.228E+01	0.5117E+01	0.238E+02	0.122E+01
0.4667E+01	0.415E+02	0.154E+01	0.5129E+01	0.294E+02	0.114E+01
0.4677E+01	0.741E+02	0.235E+01	0.5140E+01	0.186E+02	0.102E+01
0.4688E+01	0.877E+02	0.259E+01	0.5152E+01	0.179E+02	0.109E+01
0.4699E+01	0.846E+02	0.269E+01	0.5164E+01	0.201E+02	0.901E+00
0.4710E+01	0.889E+02	0.252E+01	0.5176E+01	0.243E+02	0.796E+00
0.4721E+01	0.870E+02	0.261E+01	0.5188E+01	0.239E+02	0.122E+01
0.4732E+01	0.105E+03	0.286E+01	0.5200E+01	0.318E+02	0.121E+01
0.4742E+01	0.107E+03	0.281E+01	0.5212E+01	0.252E+02	0.138E+01
0.4753E+01	0.109E+03	0.309E+01	0.5224E+01	0.307E+02	0.128E+01
0.4764E+01	0.114E+03	0.333E+01	0.5236E+01	0.214E+02	0.120E+01
0.4775E+01	0.101E+03	0.299E+01	0.5248E+01	0.226E+02	0.926E+00
0.4786E+01	0.975E+02	0.291E+01	0.5260E+01	0.195E+02	0.914E+00
0.4797E+01	0.107E+03	0.300E+01	0.5272E+01	0.271E+02	0.141E+01
0.4808E+01	0.116E+03	0.287E+01	0.5285E+01	0.133E+02	0.577E+00
0.4819E+01	0.840E+02	0.248E+01	0.5297E+01	0.212E+02	0.101E+01

Table 2: (Continued).

E_n (eV)	$\sigma_{n,\gamma}$ (b)	$\Delta\sigma_{n,\gamma}$ (b)	E_n (eV)	$\sigma_{n,\gamma}$ (b)	$\Delta\sigma_{n,\gamma}$ (b)
0.5309E+01	0.131E+02	0.104E+01	0.5834E+01	0.465E+02	0.175E+01
0.5321E+01	0.223E+02	0.125E+01	0.5848E+01	0.765E+02	0.226E+01
0.5333E+01	0.160E+02	0.101E+01	0.5861E+01	0.821E+02	0.240E+01
0.5346E+01	0.193E+02	0.111E+01	0.5875E+01	0.858E+02	0.270E+01
0.5358E+01	0.232E+02	0.129E+01	0.5888E+01	0.109E+03	0.293E+01
0.5370E+01	0.156E+02	0.109E+01	0.5902E+01	0.128E+03	0.335E+01
0.5383E+01	0.735E+01	0.102E+01	0.5916E+01	0.110E+03	0.305E+01
0.5395E+01	0.272E+02	0.150E+01	0.5929E+01	0.153E+03	0.341E+01
0.5407E+01	0.236E+02	0.146E+01	0.5943E+01	0.143E+03	0.347E+01
0.5420E+01	0.259E+02	0.159E+01	0.5957E+01	0.183E+03	0.385E+01
0.5432E+01	0.286E+02	0.140E+01	0.5970E+01	0.187E+03	0.423E+01
0.5445E+01	0.117E+02	0.607E+00	0.5984E+01	0.212E+03	0.443E+01
0.5458E+01	0.134E+02	0.778E+00	0.5998E+01	0.269E+03	0.525E+01
0.5470E+01	0.118E+02	0.103E+01	0.6012E+01	0.293E+03	0.540E+01
0.5483E+01	0.328E+02	0.143E+01	0.6026E+01	0.348E+03	0.573E+01
0.5495E+01	0.224E+02	0.895E+00	0.6040E+01	0.401E+03	0.654E+01
0.5508E+01	0.360E+02	0.172E+01	0.6053E+01	0.478E+03	0.685E+01
0.5521E+01	0.330E+02	0.131E+01	0.6067E+01	0.526E+03	0.704E+01
0.5534E+01	0.365E+02	0.166E+01	0.6081E+01	0.636E+03	0.809E+01
0.5546E+01	0.303E+02	0.150E+01	0.6095E+01	0.728E+03	0.858E+01
0.5559E+01	0.320E+02	0.147E+01	0.6109E+01	0.796E+03	0.901E+01
0.5572E+01	0.133E+02	0.106E+01	0.6123E+01	0.889E+03	0.944E+01
0.5585E+01	0.173E+02	0.846E+00	0.6138E+01	0.951E+03	0.994E+01
0.5598E+01	0.323E+02	0.148E+01	0.6152E+01	0.951E+03	0.994E+01
0.5610E+01	0.115E+02	0.654E+00	0.6166E+01	0.907E+03	0.926E+01
0.5623E+01	0.323E+02	0.120E+01	0.6180E+01	0.877E+03	0.901E+01
0.5636E+01	0.293E+02	0.139E+01	0.6194E+01	0.784E+03	0.895E+01
0.5649E+01	0.340E+02	0.132E+01	0.6209E+01	0.722E+03	0.833E+01
0.5662E+01	0.240E+02	0.118E+01	0.6223E+01	0.593E+03	0.765E+01
0.5675E+01	0.354E+02	0.142E+01	0.6237E+01	0.562E+03	0.759E+01
0.5688E+01	0.296E+02	0.148E+01	0.6252E+01	0.390E+03	0.609E+01
0.5702E+01	0.314E+02	0.116E+01	0.6266E+01	0.371E+03	0.609E+01
0.5715E+01	0.305E+02	0.139E+01	0.6281E+01	0.285E+03	0.527E+01
0.5728E+01	0.535E+02	0.209E+01	0.6295E+01	0.239E+03	0.467E+01
0.5741E+01	0.329E+02	0.159E+01	0.6310E+01	0.205E+03	0.436E+01
0.5754E+01	0.362E+02	0.174E+01	0.6324E+01	0.165E+03	0.378E+01
0.5768E+01	0.445E+02	0.158E+01	0.6339E+01	0.127E+03	0.397E+01
0.5781E+01	0.468E+02	0.181E+01	0.6353E+01	0.914E+02	0.251E+01
0.5794E+01	0.642E+02	0.214E+01	0.6368E+01	0.895E+02	0.260E+01
0.5808E+01	0.520E+02	0.190E+01	0.6383E+01	0.772E+02	0.256E+01
0.5821E+01	0.604E+02	0.228E+01	0.6397E+01	0.636E+02	0.207E+01

Table 2: (Continued).

E_n (eV)	$\sigma_{n,\gamma}$ (b)	$\Delta\sigma_{n,\gamma}$ (b)	E_n (eV)	$\sigma_{n,\gamma}$ (b)	$\Delta\sigma_{n,\gamma}$ (b)
0.6412E+01	0.679E+02	0.214E+01	0.7047E+01	0.258E+02	0.177E+01
0.6427E+01	0.698E+02	0.223E+01	0.7063E+01	0.154E+02	0.114E+01
0.6442E+01	0.464E+02	0.161E+01	0.7080E+01	0.129E+02	0.151E+01
0.6457E+01	0.454E+02	0.180E+01	0.7096E+01	0.385E+01	0.864E+00
0.6471E+01	0.421E+02	0.159E+01	0.7112E+01	0.126E+02	0.149E+01
0.6486E+01	0.437E+02	0.170E+01	0.7128E+01	0.172E+02	0.160E+01
0.6501E+01	0.357E+02	0.148E+01	0.7145E+01	0.220E+02	0.196E+01
0.6516E+01	0.344E+02	0.157E+01	0.7161E+01	0.190E+02	0.130E+01
0.6531E+01	0.433E+02	0.183E+01	0.7178E+01	0.938E+01	0.190E+01
0.6546E+01	0.456E+02	0.177E+01	0.7194E+01	0.623E+01	0.178E+01
0.6562E+01	0.410E+02	0.178E+01	0.7211E+01	0.151E+02	0.206E+01
0.6577E+01	0.154E+02	0.119E+01	0.7228E+01	0.753E+01	0.172E+01
0.6592E+01	0.223E+02	0.122E+01	0.7244E+01	0.630E+01	0.190E+01
0.6607E+01	0.323E+02	0.135E+01	0.7261E+01	0.141E+02	0.173E+01
0.6622E+01	0.380E+02	0.160E+01	0.7278E+01	-0.212E+01	0.159E+01
0.6637E+01	0.256E+02	0.135E+01	0.7295E+01	0.148E+02	0.189E+01
0.6653E+01	0.259E+02	0.109E+01	0.7311E+01	0.852E+01	0.181E+01
0.6668E+01	0.217E+02	0.920E+00	0.7328E+01	0.199E+02	0.196E+01
0.6683E+01	0.344E+02	0.140E+01	0.7345E+01	0.215E+02	0.226E+01
0.6699E+01	0.207E+02	0.115E+01	0.7362E+01	0.101E+02	0.207E+01
0.6714E+01	0.255E+02	0.883E+00	0.7379E+01	0.111E+02	0.198E+01
0.6730E+01	0.150E+02	0.778E+00	0.7396E+01	0.104E+02	0.211E+01
0.6745E+01	0.188E+02	0.125E+01	0.7413E+01	0.141E+02	0.214E+01
0.6761E+01	0.219E+02	0.170E+01	0.7430E+01	0.176E+02	0.214E+01
0.6776E+01	0.211E+02	0.975E+00	0.7447E+01	0.142E+02	0.206E+01
0.6792E+01	0.125E+02	0.957E+00	0.7464E+01	0.514E+01	0.197E+01
0.6808E+01	0.107E+02	0.586E+00	0.7482E+01	0.901E+01	0.187E+01
0.6823E+01	0.951E+01	0.648E+00	0.7499E+01	0.572E+01	0.156E+01
0.6839E+01	0.144E+02	0.858E+00	0.7516E+01	0.187E+02	0.196E+01
0.6855E+01	0.128E+02	0.846E+00	0.7534E+01	0.133E+02	0.168E+01
0.6871E+01	0.240E+02	0.123E+01	0.7551E+01	0.143E+02	0.141E+01
0.6886E+01	0.852E+01	0.840E+00	0.7568E+01	0.143E+02	0.130E+01
0.6902E+01	0.162E+02	0.102E+01	0.7586E+01	0.124E+02	0.142E+01
0.6918E+01	0.920E+01	0.926E+00	0.7603E+01	0.218E+02	0.128E+01
0.6934E+01	0.162E+02	0.106E+01	0.7621E+01	0.241E+02	0.110E+01
0.6950E+01	0.116E+02	0.914E+00	0.7638E+01	0.247E+02	0.107E+01
0.6966E+01	0.128E+02	0.120E+01	0.7656E+01	0.204E+02	0.105E+01
0.6982E+01	0.138E+02	0.981E+00	0.7674E+01	-0.575E+01	0.759E+00
0.6998E+01	0.728E+01	0.907E+00	0.7691E+01	0.159E+02	0.926E+00
0.7015E+01	0.115E+02	0.104E+01	0.7709E+01	0.951E+01	0.716E+00
0.7031E+01	0.889E+01	0.951E+00	0.7727E+01	0.223E+02	0.121E+01

Table 2: (Continued).

E_n (eV)	$\sigma_{n,\gamma}$ (b)	$\Delta\sigma_{n,\gamma}$ (b)	E_n (eV)	$\sigma_{n,\gamma}$ (b)	$\Delta\sigma_{n,\gamma}$ (b)
0.7745E+01	0.270E+02	0.108E+01	0.8511E+01	0.273E+03	0.553E+01
0.7762E+01	0.145E+02	0.809E+00	0.8531E+01	0.299E+03	0.509E+01
0.7780E+01	0.302E+02	0.163E+01	0.8551E+01	0.297E+03	0.525E+01
0.7798E+01	0.211E+02	0.765E+00	0.8570E+01	0.369E+03	0.590E+01
0.7816E+01	0.204E+02	0.852E+00	0.8590E+01	0.394E+03	0.623E+01
0.7834E+01	0.274E+02	0.130E+01	0.8610E+01	0.506E+03	0.710E+01
0.7852E+01	0.277E+02	0.113E+01	0.8630E+01	0.552E+03	0.753E+01
0.7871E+01	0.212E+02	0.858E+00	0.8650E+01	0.704E+03	0.827E+01
0.7889E+01	0.288E+02	0.119E+01	0.8670E+01	0.784E+03	0.877E+01
0.7907E+01	0.258E+02	0.121E+01	0.8690E+01	0.895E+03	0.957E+01
0.7925E+01	0.292E+02	0.114E+01	0.8710E+01	0.118E+04	0.110E+02
0.7943E+01	0.322E+02	0.158E+01	0.8730E+01	0.141E+04	0.120E+02
0.7962E+01	0.274E+02	0.137E+01	0.8750E+01	0.178E+04	0.133E+02
0.7980E+01	0.364E+02	0.143E+01	0.8770E+01	0.214E+04	0.149E+02
0.7998E+01	0.305E+02	0.113E+01	0.8790E+01	0.257E+04	0.165E+02
0.8017E+01	0.378E+02	0.139E+01	0.8811E+01	0.304E+04	0.173E+02
0.8035E+01	0.473E+02	0.213E+01	0.8831E+01	0.315E+04	0.178E+02
0.8054E+01	0.459E+02	0.179E+01	0.8851E+01	0.349E+04	0.190E+02
0.8072E+01	0.414E+02	0.149E+01	0.8872E+01	0.333E+04	0.188E+02
0.8091E+01	0.398E+02	0.146E+01	0.8892E+01	0.338E+04	0.189E+02
0.8110E+01	0.392E+02	0.167E+01	0.8913E+01	0.291E+04	0.177E+02
0.8128E+01	0.438E+02	0.177E+01	0.8933E+01	0.249E+04	0.158E+02
0.8147E+01	0.438E+02	0.187E+01	0.8954E+01	0.188E+04	0.136E+02
0.8166E+01	0.343E+02	0.140E+01	0.8974E+01	0.155E+04	0.129E+02
0.8185E+01	0.538E+02	0.185E+01	0.8995E+01	0.125E+04	0.112E+02
0.8203E+01	0.579E+02	0.187E+01	0.9016E+01	0.907E+03	0.975E+01
0.8222E+01	0.607E+02	0.215E+01	0.9036E+01	0.673E+03	0.815E+01
0.8241E+01	0.587E+02	0.193E+01	0.9057E+01	0.478E+03	0.673E+01
0.8260E+01	0.691E+02	0.217E+01	0.9078E+01	0.392E+03	0.610E+01
0.8279E+01	0.741E+02	0.234E+01	0.9099E+01	0.344E+03	0.583E+01
0.8299E+01	0.679E+02	0.209E+01	0.9120E+01	0.273E+03	0.526E+01
0.8318E+01	0.877E+02	0.247E+01	0.9141E+01	0.214E+03	0.472E+01
0.8337E+01	0.975E+02	0.286E+01	0.9162E+01	0.191E+03	0.440E+01
0.8356E+01	0.877E+02	0.267E+01	0.9183E+01	0.154E+03	0.372E+01
0.8375E+01	0.127E+03	0.323E+01	0.9205E+01	0.154E+03	0.369E+01
0.8395E+01	0.130E+03	0.317E+01	0.9226E+01	0.144E+03	0.369E+01
0.8414E+01	0.128E+03	0.316E+01	0.9247E+01	0.112E+03	0.314E+01
0.8433E+01	0.158E+03	0.371E+01	0.9268E+01	0.108E+03	0.323E+01
0.8453E+01	0.164E+03	0.401E+01	0.9290E+01	0.938E+02	0.264E+01
0.8472E+01	0.215E+03	0.461E+01	0.9311E+01	0.833E+02	0.270E+01
0.8492E+01	0.229E+03	0.483E+01	0.9333E+01	0.809E+02	0.266E+01

Table 2: (Continued).

E_n (eV)	$\sigma_{n,\gamma}$ (b)	$\Delta\sigma_{n,\gamma}$ (b)	E_n (eV)	$\sigma_{n,\gamma}$ (b)	$\Delta\sigma_{n,\gamma}$ (b)
0.9354E+01	0.753E+02	0.245E+01	0.1028E+02	0.203E+02	0.130E+01
0.9376E+01	0.673E+02	0.210E+01	0.1030E+02	0.147E+02	0.981E+00
0.9397E+01	0.556E+02	0.207E+01	0.1033E+02	0.218E+02	0.119E+01
0.9419E+01	0.472E+02	0.175E+01	0.1035E+02	0.262E+02	0.137E+01
0.9441E+01	0.510E+02	0.211E+01	0.1038E+02	0.840E+01	0.914E+00
0.9462E+01	0.545E+02	0.193E+01	0.1040E+02	0.895E+01	0.143E+01
0.9484E+01	0.568E+02	0.222E+01	0.1042E+02	0.104E+02	0.149E+01
0.9506E+01	0.310E+02	0.142E+01	0.1045E+02	0.208E+02	0.165E+01
0.9528E+01	0.286E+02	0.129E+01	0.1047E+02	0.299E+02	0.196E+01
0.9550E+01	0.357E+02	0.135E+01	0.1049E+02	0.144E+02	0.148E+01
0.9572E+01	0.428E+02	0.170E+01	0.1052E+02	0.206E+02	0.193E+01
0.9594E+01	0.426E+02	0.152E+01	0.1054E+02	0.258E+02	0.178E+01
0.9616E+01	0.359E+02	0.152E+01	0.1057E+02	0.299E+02	0.169E+01
0.9638E+01	0.233E+02	0.944E+00	0.1059E+02	0.142E+02	0.130E+01
0.9660E+01	0.306E+02	0.135E+01	0.1062E+02	0.272E+02	0.153E+01
0.9683E+01	0.257E+02	0.109E+01	0.1064E+02	0.120E+02	0.938E+00
0.9705E+01	0.313E+02	0.112E+01	0.1067E+02	0.267E+02	0.134E+01
0.9727E+01	0.302E+02	0.148E+01	0.1069E+02	0.248E+02	0.114E+01
0.9750E+01	0.322E+02	0.136E+01	0.1072E+02	0.281E+02	0.123E+01
0.9772E+01	0.210E+02	0.101E+01	0.1074E+02	0.315E+02	0.161E+01
0.9795E+01	0.217E+02	0.115E+01	0.1077E+02	0.239E+02	0.146E+01
0.9818E+01	0.263E+02	0.140E+01	0.1079E+02	0.266E+02	0.132E+01
0.9840E+01	0.177E+02	0.901E+00	0.1081E+02	0.352E+02	0.157E+01
0.9863E+01	0.230E+02	0.988E+00	0.1084E+02	0.341E+02	0.155E+01
0.9885E+01	0.167E+02	0.889E+00	0.1086E+02	0.372E+02	0.164E+01
0.9908E+01	0.172E+02	0.104E+01	0.1089E+02	0.536E+02	0.215E+01
0.9931E+01	0.225E+02	0.120E+01	0.1091E+02	0.589E+02	0.227E+01
0.9954E+01	0.173E+02	0.895E+00	0.1094E+02	0.459E+02	0.188E+01
0.9977E+01	0.285E+02	0.166E+01	0.1097E+02	0.636E+02	0.203E+01
0.1000E+02	0.209E+02	0.969E+00	0.1099E+02	0.599E+02	0.227E+01
0.1002E+02	0.203E+02	0.105E+01	0.1102E+02	0.667E+02	0.212E+01
0.1005E+02	0.248E+02	0.120E+01	0.1104E+02	0.111E+03	0.326E+01
0.1007E+02	0.182E+02	0.759E+00	0.1107E+02	0.778E+02	0.223E+01
0.1009E+02	0.219E+02	0.118E+01	0.1109E+02	0.101E+03	0.296E+01
0.1012E+02	-0.402E+00	0.241E+00	0.1112E+02	0.119E+03	0.334E+01
0.1014E+02	0.240E+02	0.123E+01	0.1114E+02	0.135E+03	0.349E+01
0.1016E+02	0.243E+02	0.125E+01	0.1117E+02	0.151E+03	0.340E+01
0.1019E+02	0.356E+01	0.419E+00	0.1119E+02	0.196E+03	0.444E+01
0.1021E+02	0.249E+02	0.135E+01	0.1122E+02	0.199E+03	0.440E+01
0.1023E+02	0.183E+02	0.107E+01	0.1125E+02	0.251E+03	0.507E+01
0.1026E+02	0.225E+02	0.117E+01	0.1127E+02	0.248E+03	0.499E+01

Table 2: (Continued).

E_n (eV)	$\sigma_{n,\gamma}$ (b)	$\Delta\sigma_{n,\gamma}$ (b)	E_n (eV)	$\sigma_{n,\gamma}$ (b)	$\Delta\sigma_{n,\gamma}$ (b)
0.1130E+02	0.290E+03	0.527E+01	0.1242E+02	0.103E+03	0.304E+01
0.1132E+02	0.362E+03	0.623E+01	0.1244E+02	0.963E+02	0.307E+01
0.1135E+02	0.363E+03	0.581E+01	0.1247E+02	0.114E+03	0.312E+01
0.1138E+02	0.461E+03	0.673E+01	0.1250E+02	0.827E+02	0.269E+01
0.1140E+02	0.570E+03	0.759E+01	0.1253E+02	0.772E+02	0.336E+01
0.1143E+02	0.778E+03	0.944E+01	0.1256E+02	0.741E+02	0.277E+01
0.1145E+02	0.846E+03	0.895E+01	0.1259E+02	0.538E+02	0.240E+01
0.1148E+02	0.111E+04	0.106E+02	0.1262E+02	0.534E+02	0.251E+01
0.1151E+02	0.146E+04	0.123E+02	0.1265E+02	0.320E+02	0.177E+01
0.1153E+02	0.169E+04	0.133E+02	0.1268E+02	0.315E+02	0.175E+01
0.1156E+02	0.207E+04	0.140E+02	0.1271E+02	0.260E+02	0.185E+01
0.1159E+02	0.243E+04	0.160E+02	0.1273E+02	0.356E+02	0.204E+01
0.1161E+02	0.252E+04	0.161E+02	0.1276E+02	0.452E+02	0.212E+01
0.1164E+02	0.242E+04	0.158E+02	0.1279E+02	0.239E+02	0.151E+01
0.1167E+02	0.230E+04	0.153E+02	0.1282E+02	0.395E+02	0.162E+01
0.1169E+02	0.206E+04	0.144E+02	0.1285E+02	0.404E+02	0.217E+01
0.1172E+02	0.164E+04	0.131E+02	0.1288E+02	0.445E+02	0.173E+01
0.1175E+02	0.127E+04	0.117E+02	0.1291E+02	0.330E+02	0.143E+01
0.1178E+02	0.914E+03	0.994E+01	0.1294E+02	0.324E+02	0.125E+01
0.1180E+02	0.654E+03	0.809E+01	0.1297E+02	0.494E+02	0.252E+01
0.1183E+02	0.444E+03	0.679E+01	0.1300E+02	0.511E+02	0.185E+01
0.1186E+02	0.317E+03	0.530E+01	0.1303E+02	0.728E+02	0.223E+01
0.1189E+02	0.257E+03	0.491E+01	0.1306E+02	0.815E+02	0.273E+01
0.1191E+02	0.170E+03	0.386E+01	0.1309E+02	0.109E+03	0.338E+01
0.1194E+02	0.172E+03	0.348E+01	0.1312E+02	0.135E+03	0.333E+01
0.1197E+02	0.122E+03	0.393E+01	0.1315E+02	0.174E+03	0.435E+01
0.1199E+02	0.107E+03	0.291E+01	0.1318E+02	0.199E+03	0.405E+01
0.1202E+02	0.994E+02	0.315E+01	0.1321E+02	0.203E+03	0.422E+01
0.1205E+02	0.944E+02	0.290E+01	0.1324E+02	0.234E+03	0.485E+01
0.1208E+02	0.981E+02	0.286E+01	0.1327E+02	0.198E+03	0.418E+01
0.1211E+02	0.957E+02	0.314E+01	0.1331E+02	0.151E+03	0.362E+01
0.1213E+02	0.691E+02	0.249E+01	0.1334E+02	0.135E+03	0.336E+01
0.1216E+02	0.509E+02	0.199E+01	0.1337E+02	0.108E+03	0.320E+01
0.1219E+02	0.660E+02	0.238E+01	0.1340E+02	0.660E+02	0.238E+01
0.1222E+02	0.617E+02	0.241E+01	0.1343E+02	0.551E+02	0.194E+01
0.1225E+02	0.630E+02	0.210E+01	0.1346E+02	0.300E+02	0.115E+01
0.1227E+02	0.698E+02	0.231E+01	0.1349E+02	0.243E+02	0.106E+01
0.1230E+02	0.790E+02	0.279E+01	0.1352E+02	0.200E+02	0.114E+01
0.1233E+02	0.772E+02	0.244E+01	0.1355E+02	0.190E+02	0.117E+01
0.1236E+02	0.827E+02	0.268E+01	0.1358E+02	0.169E+02	0.963E+00
0.1239E+02	0.926E+02	0.286E+01	0.1361E+02	0.138E+02	0.852E+00

Table 2: (Continued).

E_n (eV)	$\sigma_{n,\gamma}$ (b)	$\Delta\sigma_{n,\gamma}$ (b)	E_n (eV)	$\sigma_{n,\gamma}$ (b)	$\Delta\sigma_{n,\gamma}$ (b)
0.1365E+02	0.157E+02	0.113E+01	0.1500E+02	0.273E+02	0.162E+01
0.1368E+02	0.107E+02	0.722E+00	0.1503E+02	0.374E+02	0.162E+01
0.1371E+02	0.108E+02	0.957E+00	0.1507E+02	0.375E+02	0.178E+01
0.1374E+02	0.115E+02	0.679E+00	0.1510E+02	0.679E+02	0.265E+01
0.1377E+02	0.154E+02	0.944E+00	0.1514E+02	0.580E+02	0.234E+01
0.1380E+02	0.104E+02	0.129E+01	0.1517E+02	0.833E+02	0.299E+01
0.1384E+02	0.138E+01	0.428E+00	0.1520E+02	0.123E+03	0.383E+01
0.1387E+02	0.134E+02	0.617E+00	0.1524E+02	0.102E+03	0.315E+01
0.1390E+02	0.136E+02	0.616E+00	0.1528E+02	0.144E+03	0.391E+01
0.1393E+02	0.298E+01	0.340E+00	0.1531E+02	0.124E+03	0.422E+01
0.1396E+02	0.765E+01	0.403E+00	0.1535E+02	0.139E+03	0.366E+01
0.1400E+02	0.485E+01	0.864E+00	0.1538E+02	0.944E+02	0.287E+01
0.1403E+02	0.124E+02	0.648E+00	0.1542E+02	0.747E+02	0.242E+01
0.1406E+02	0.540E+01	0.382E+00	0.1545E+02	0.735E+02	0.243E+01
0.1409E+02	0.130E+02	0.704E+00	0.1549E+02	0.457E+02	0.173E+01
0.1412E+02	0.741E+01	0.561E+00	0.1552E+02	0.215E+02	0.112E+01
0.1416E+02	0.704E+01	0.548E+00	0.1556E+02	0.194E+02	0.889E+00
0.1419E+02	0.123E+02	0.616E+00	0.1560E+02	0.280E+02	0.126E+01
0.1422E+02	0.145E+02	0.969E+00	0.1563E+02	0.142E+02	0.679E+00
0.1426E+02	0.679E+01	0.321E+00	0.1567E+02	0.119E+02	0.464E+00
0.1429E+02	0.359E+01	0.178E+00	0.1570E+02	0.183E+02	0.914E+00
0.1432E+02	0.139E+02	0.704E+00	0.1574E+02	0.254E+02	0.101E+01
0.1435E+02	0.137E+02	0.106E+01	0.1578E+02	0.957E+01	0.497E+00
0.1439E+02	0.660E+01	0.494E+00	0.1581E+02	0.138E+02	0.846E+00
0.1442E+02	0.120E+02	0.735E+00	0.1585E+02	0.142E+02	0.735E+00
0.1445E+02	0.735E+01	0.691E+00	0.1589E+02	0.189E+02	0.105E+01
0.1449E+02	0.130E+02	0.852E+00	0.1592E+02	0.259E+02	0.100E+01
0.1452E+02	0.203E+02	0.131E+01	0.1596E+02	0.183E+02	0.833E+00
0.1456E+02	0.101E+02	0.827E+00	0.1600E+02	0.199E+02	0.108E+01
0.1459E+02	0.125E+02	0.994E+00	0.1603E+02	0.344E+02	0.149E+01
0.1462E+02	0.186E+02	0.121E+01	0.1607E+02	0.269E+02	0.127E+01
0.1465E+02	0.691E+01	0.821E+00	0.1611E+02	0.375E+02	0.167E+01
0.1469E+02	0.698E+01	0.107E+01	0.1614E+02	0.312E+02	0.133E+01
0.1472E+02	0.648E+01	0.135E+01	0.1618E+02	0.467E+02	0.186E+01
0.1476E+02	0.864E+01	0.133E+01	0.1622E+02	0.660E+02	0.214E+01
0.1479E+02	0.269E+02	0.171E+01	0.1625E+02	0.554E+02	0.231E+01
0.1482E+02	0.253E+02	0.160E+01	0.1629E+02	0.584E+02	0.236E+01
0.1486E+02	0.180E+02	0.204E+01	0.1633E+02	0.728E+02	0.235E+01
0.1489E+02	0.272E+02	0.156E+01	0.1637E+02	0.852E+02	0.267E+01
0.1493E+02	0.225E+02	0.143E+01	0.1641E+02	0.102E+03	0.283E+01
0.1496E+02	0.324E+02	0.167E+01	0.1644E+02	0.938E+02	0.256E+01

Table 2: (Continued).

E_n (eV)	$\sigma_{n,\gamma}$ (b)	$\Delta\sigma_{n,\gamma}$ (b)	E_n (eV)	$\sigma_{n,\gamma}$ (b)	$\Delta\sigma_{n,\gamma}$ (b)
0.1648E+02	0.135E+03	0.321E+01	0.1811E+02	0.138E+04	0.123E+02
0.1652E+02	0.178E+03	0.404E+01	0.1816E+02	0.105E+04	0.106E+02
0.1656E+02	0.240E+03	0.513E+01	0.1820E+02	0.698E+03	0.877E+01
0.1660E+02	0.298E+03	0.562E+01	0.1824E+02	0.471E+03	0.685E+01
0.1663E+02	0.373E+03	0.630E+01	0.1828E+02	0.349E+03	0.567E+01
0.1667E+02	0.470E+03	0.710E+01	0.1832E+02	0.248E+03	0.475E+01
0.1671E+02	0.562E+03	0.790E+01	0.1836E+02	0.283E+03	0.551E+01
0.1675E+02	0.575E+03	0.772E+01	0.1841E+02	0.220E+03	0.439E+01
0.1679E+02	0.509E+03	0.735E+01	0.1845E+02	0.251E+03	0.464E+01
0.1683E+02	0.386E+03	0.595E+01	0.1849E+02	0.257E+03	0.496E+01
0.1687E+02	0.317E+03	0.551E+01	0.1853E+02	0.364E+03	0.648E+01
0.1690E+02	0.232E+03	0.451E+01	0.1858E+02	0.348E+03	0.558E+01
0.1694E+02	0.160E+03	0.417E+01	0.1862E+02	0.536E+03	0.722E+01
0.1698E+02	0.109E+03	0.333E+01	0.1866E+02	0.691E+03	0.901E+01
0.1702E+02	0.778E+02	0.238E+01	0.1871E+02	0.852E+03	0.944E+01
0.1706E+02	0.691E+02	0.220E+01	0.1875E+02	0.102E+04	0.107E+02
0.1710E+02	0.406E+02	0.150E+01	0.1879E+02	0.944E+03	0.101E+02
0.1714E+02	0.602E+02	0.210E+01	0.1884E+02	0.969E+03	0.106E+02
0.1718E+02	0.593E+02	0.211E+01	0.1888E+02	0.648E+03	0.815E+01
0.1722E+02	0.870E+02	0.268E+01	0.1892E+02	0.525E+03	0.741E+01
0.1726E+02	0.790E+02	0.265E+01	0.1897E+02	0.321E+03	0.554E+01
0.1730E+02	0.981E+02	0.292E+01	0.1901E+02	0.240E+03	0.485E+01
0.1734E+02	0.969E+02	0.257E+01	0.1906E+02	0.181E+03	0.438E+01
0.1738E+02	0.124E+03	0.373E+01	0.1910E+02	0.143E+03	0.401E+01
0.1742E+02	0.148E+03	0.386E+01	0.1914E+02	0.148E+03	0.377E+01
0.1746E+02	0.163E+03	0.391E+01	0.1919E+02	0.120E+03	0.324E+01
0.1750E+02	0.215E+03	0.505E+01	0.1923E+02	0.143E+03	0.361E+01
0.1754E+02	0.252E+03	0.500E+01	0.1927E+02	0.143E+03	0.376E+01
0.1758E+02	0.292E+03	0.509E+01	0.1932E+02	0.173E+03	0.387E+01
0.1762E+02	0.302E+03	0.565E+01	0.1936E+02	0.201E+03	0.478E+01
0.1766E+02	0.266E+03	0.499E+01	0.1941E+02	0.229E+03	0.496E+01
0.1770E+02	0.306E+03	0.583E+01	0.1945E+02	0.275E+03	0.511E+01
0.1774E+02	0.375E+03	0.630E+01	0.1950E+02	0.273E+03	0.493E+01
0.1778E+02	0.438E+03	0.710E+01	0.1954E+02	0.388E+03	0.648E+01
0.1782E+02	0.590E+03	0.821E+01	0.1959E+02	0.372E+03	0.588E+01
0.1786E+02	0.710E+03	0.877E+01	0.1963E+02	0.504E+03	0.710E+01
0.1791E+02	0.957E+03	0.100E+02	0.1968E+02	0.679E+03	0.864E+01
0.1795E+02	0.114E+04	0.105E+02	0.1972E+02	0.809E+03	0.901E+01
0.1799E+02	0.144E+04	0.122E+02	0.1977E+02	0.105E+04	0.102E+02
0.1803E+02	0.157E+04	0.128E+02	0.1982E+02	0.132E+04	0.123E+02
0.1807E+02	0.157E+04	0.133E+02	0.1986E+02	0.173E+04	0.138E+02

Table 2: (Continued).

E_n (eV)	$\sigma_{n,\gamma}$ (b)	$\Delta\sigma_{n,\gamma}$ (b)	E_n (eV)	$\sigma_{n,\gamma}$ (b)	$\Delta\sigma_{n,\gamma}$ (b)
0.1991E+02	0.222E+04	0.154E+02	0.2188E+02	0.365E+02	0.140E+01
0.1995E+02	0.263E+04	0.161E+02	0.2193E+02	0.476E+02	0.191E+01
0.2000E+02	0.298E+04	0.174E+02	0.2198E+02	0.562E+02	0.217E+01
0.2005E+02	0.345E+04	0.190E+02	0.2203E+02	0.654E+02	0.212E+01
0.2009E+02	0.302E+04	0.175E+02	0.2208E+02	0.790E+02	0.300E+01
0.2014E+02	0.290E+04	0.177E+02	0.2213E+02	0.796E+02	0.260E+01
0.2018E+02	0.204E+04	0.145E+02	0.2218E+02	0.852E+02	0.291E+01
0.2023E+02	0.148E+04	0.125E+02	0.2223E+02	0.148E+03	0.381E+01
0.2028E+02	0.914E+03	0.944E+01	0.2228E+02	0.173E+03	0.425E+01
0.2032E+02	0.609E+03	0.796E+01	0.2234E+02	0.187E+03	0.451E+01
0.2037E+02	0.376E+03	0.617E+01	0.2239E+02	0.273E+03	0.542E+01
0.2042E+02	0.275E+03	0.539E+01	0.2244E+02	0.386E+03	0.602E+01
0.2046E+02	0.193E+03	0.412E+01	0.2249E+02	0.496E+03	0.722E+01
0.2051E+02	0.141E+03	0.360E+01	0.2254E+02	0.557E+03	0.722E+01
0.2056E+02	0.109E+03	0.312E+01	0.2259E+02	0.623E+03	0.802E+01
0.2061E+02	0.889E+02	0.262E+01	0.2265E+02	0.514E+03	0.710E+01
0.2065E+02	0.454E+02	0.174E+01	0.2270E+02	0.410E+03	0.685E+01
0.2070E+02	0.895E+02	0.278E+01	0.2275E+02	0.291E+03	0.569E+01
0.2075E+02	0.606E+02	0.212E+01	0.2280E+02	0.161E+03	0.383E+01
0.2080E+02	0.561E+02	0.205E+01	0.2286E+02	0.802E+02	0.259E+01
0.2084E+02	0.503E+02	0.188E+01	0.2291E+02	0.716E+02	0.263E+01
0.2089E+02	0.410E+02	0.165E+01	0.2296E+02	0.802E+02	0.263E+01
0.2094E+02	0.473E+02	0.174E+01	0.2301E+02	0.654E+02	0.233E+01
0.2099E+02	0.406E+02	0.167E+01	0.2307E+02	0.583E+02	0.198E+01
0.2104E+02	0.304E+02	0.142E+01	0.2312E+02	0.877E+02	0.295E+01
0.2109E+02	0.430E+02	0.204E+01	0.2317E+02	0.605E+02	0.215E+01
0.2114E+02	0.440E+02	0.183E+01	0.2323E+02	0.963E+02	0.278E+01
0.2118E+02	0.667E+01	0.951E+00	0.2328E+02	0.920E+02	0.277E+01
0.2123E+02	0.194E+02	0.975E+00	0.2333E+02	0.132E+03	0.353E+01
0.2128E+02	0.331E+02	0.130E+01	0.2339E+02	0.196E+03	0.431E+01
0.2133E+02	0.266E+02	0.136E+01	0.2344E+02	0.214E+03	0.443E+01
0.2138E+02	0.240E+02	0.107E+01	0.2350E+02	0.269E+03	0.485E+01
0.2143E+02	0.187E+02	0.138E+01	0.2355E+02	0.369E+03	0.600E+01
0.2148E+02	0.288E+02	0.111E+01	0.2360E+02	0.430E+03	0.617E+01
0.2153E+02	0.302E+02	0.135E+01	0.2366E+02	0.467E+03	0.691E+01
0.2158E+02	0.157E+02	0.772E+00	0.2371E+02	0.565E+03	0.747E+01
0.2163E+02	0.227E+02	0.126E+01	0.2377E+02	0.523E+03	0.716E+01
0.2168E+02	0.265E+02	0.139E+01	0.2382E+02	0.394E+03	0.636E+01
0.2173E+02	0.267E+02	0.172E+01	0.2388E+02	0.270E+03	0.522E+01
0.2178E+02	0.385E+02	0.181E+01	0.2393E+02	0.170E+03	0.365E+01
0.2183E+02	0.440E+02	0.197E+01	0.2399E+02	0.901E+02	0.284E+01

Table 2: (Continued).

E_n (eV)	$\sigma_{n,\gamma}$ (b)	$\Delta\sigma_{n,\gamma}$ (b)	E_n (eV)	$\sigma_{n,\gamma}$ (b)	$\Delta\sigma_{n,\gamma}$ (b)
0.2404E+02	0.490E+02	0.169E+01	0.2642E+02	0.159E+02	0.630E+00
0.2410E+02	0.550E+02	0.196E+01	0.2649E+02	0.386E+01	0.480E+00
0.2416E+02	0.223E+02	0.140E+01	0.2655E+02	0.401E+01	0.587E+00
0.2421E+02	0.162E+02	0.895E+00	0.2661E+02	-0.914E+01	0.319E+00
0.2427E+02	0.610E+01	0.481E+00	0.2667E+02	-0.790E+01	0.549E+00
0.2432E+02	0.206E+02	0.120E+01	0.2673E+02	0.852E+00	0.115E+01
0.2438E+02	0.101E+02	0.914E+00	0.2679E+02	0.772E+00	0.951E+00
0.2443E+02	0.121E+02	0.102E+01	0.2685E+02	-0.308E+01	0.673E+00
0.2449E+02	0.125E+02	0.901E+00	0.2692E+02	-0.167E+00	0.406E+00
0.2455E+02	0.109E+02	0.951E+00	0.2698E+02	0.610E+01	0.135E+01
0.2460E+02	-0.580E+01	0.802E+00	0.2704E+02	0.802E+01	0.375E+00
0.2466E+02	-0.146E+01	0.981E+00	0.2710E+02	0.660E+01	0.503E+00
0.2472E+02	0.439E+01	0.852E+00	0.2716E+02	0.304E+01	-0.123E+00
0.2477E+02	0.202E+01	0.513E+00	0.2723E+02	0.185E+02	0.864E+00
0.2483E+02	0.520E+01	0.741E+00	0.2729E+02	0.118E+02	0.370E+00
0.2489E+02	0.102E+02	0.475E+00	0.2735E+02	0.741E+01	0.630E+00
0.2495E+02	0.944E+01	0.784E+00	0.2742E+02	0.630E+01	0.333E+00
0.2500E+02	0.623E+01	0.604E+00	0.2748E+02	0.133E+02	0.877E+00
0.2506E+02	0.528E+01	0.320E+00	0.2754E+02	-0.741E+01	0.220E+00
0.2512E+02	0.963E+01	0.427E+00	0.2761E+02	0.858E+01	0.293E+00
0.2518E+02	0.115E+02	0.753E+00	0.2767E+02	0.558E+01	0.427E+00
0.2524E+02	0.118E+02	0.475E+00	0.2773E+02	0.203E+02	0.852E+00
0.2529E+02	0.809E+01	0.698E+00	0.2780E+02	0.186E+02	0.642E+00
0.2535E+02	0.846E+01	0.407E+00	0.2786E+02	0.167E+02	0.691E+00
0.2541E+02	0.883E+01	0.483E+00	0.2792E+02	0.207E+02	0.883E+00
0.2547E+02	0.107E+02	0.497E+00	0.2799E+02	0.210E+02	0.722E+00
0.2553E+02	0.122E+02	0.722E+00	0.2805E+02	0.331E+02	0.122E+01
0.2559E+02	0.103E+02	0.448E+00	0.2812E+02	0.263E+02	0.112E+01
0.2565E+02	0.494E+01	0.450E+00	0.2818E+02	0.403E+02	0.124E+01
0.2570E+02	0.846E+01	0.596E+00	0.2825E+02	0.470E+02	0.142E+01
0.2576E+02	0.840E+01	0.298E+00	0.2831E+02	0.679E+02	0.196E+01
0.2582E+02	0.204E+02	0.920E+00	0.2838E+02	0.907E+02	0.229E+01
0.2588E+02	0.194E+02	0.802E+00	0.2844E+02	0.101E+03	0.255E+01
0.2594E+02	0.269E+02	0.130E+01	0.2851E+02	0.144E+03	0.328E+01
0.2600E+02	0.217E+02	0.889E+00	0.2858E+02	0.231E+03	0.432E+01
0.2606E+02	0.352E+02	0.146E+01	0.2864E+02	0.240E+03	0.446E+01
0.2612E+02	0.427E+02	0.139E+01	0.2871E+02	0.332E+03	0.540E+01
0.2618E+02	0.243E+02	0.107E+01	0.2877E+02	0.332E+03	0.564E+01
0.2624E+02	0.289E+02	0.135E+01	0.2884E+02	0.251E+03	0.457E+01
0.2630E+02	-0.289E+01	0.821E+00	0.2891E+02	0.136E+03	0.325E+01
0.2636E+02	0.241E+02	0.963E+00	0.2897E+02	0.883E+02	0.221E+01

Table 2: (Continued).

E_n (eV)	$\sigma_{n,\gamma}$ (b)	$\Delta\sigma_{n,\gamma}$ (b)	E_n (eV)	$\sigma_{n,\gamma}$ (b)	$\Delta\sigma_{n,\gamma}$ (b)
0.2904E+02	0.446E+02	0.151E+01	0.3192E+02	0.167E+02	0.593E+00
0.2911E+02	0.282E+02	0.132E+01	0.3199E+02	0.122E+02	0.481E+00
0.2917E+02	0.249E+02	0.114E+01	0.3206E+02	0.122E+02	0.596E+00
0.2924E+02	0.938E+01	0.741E+00	0.3214E+02	0.135E+02	0.588E+00
0.2931E+02	0.599E+01	0.436E+00	0.3221E+02	0.137E+02	0.592E+00
0.2938E+02	0.584E+01	0.446E+00	0.3228E+02	0.381E+01	0.765E+00
0.2944E+02	0.193E+01	0.414E+00	0.3236E+02	0.317E+02	0.123E+01
0.2951E+02	0.138E+02	0.821E+00	0.3243E+02	0.309E+02	0.115E+01
0.2958E+02	0.111E+02	0.453E+00	0.3251E+02	0.531E+02	0.202E+01
0.2965E+02	0.741E+01	0.558E+00	0.3258E+02	0.335E+02	0.108E+01
0.2972E+02	0.149E+02	0.772E+00	0.3266E+02	0.337E+02	0.125E+01
0.2978E+02	0.252E+02	0.901E+00	0.3273E+02	0.117E+02	0.728E+00
0.2985E+02	0.427E+02	0.119E+01	0.3281E+02	0.160E+02	0.815E+00
0.2992E+02	0.377E+02	0.148E+01	0.3288E+02	0.107E+02	0.833E+00
0.2999E+02	0.648E+02	0.202E+01	0.3296E+02	-0.372E+01	0.119E-01
0.3006E+02	0.602E+02	0.206E+01	0.3304E+02	0.160E+02	0.778E+00
0.3013E+02	0.564E+02	0.216E+01	0.3311E+02	0.138E+02	0.406E+00
0.3020E+02	0.408E+02	0.141E+01	0.3319E+02	0.179E+02	0.765E+00
0.3027E+02	0.286E+02	0.162E+01	0.3327E+02	0.186E+02	0.759E+00
0.3034E+02	0.154E+02	0.673E+00	0.3334E+02	0.148E+02	0.630E+00
0.3041E+02	0.255E+02	0.104E+01	0.3342E+02	0.170E+02	0.722E+00
0.3048E+02	0.280E+02	0.147E+01	0.3350E+02	0.202E+02	0.691E+00
0.3055E+02	0.262E+02	0.138E+01	0.3357E+02	0.228E+02	0.784E+00
0.3062E+02	0.336E+02	0.106E+01	0.3365E+02	0.448E+02	0.159E+01
0.3069E+02	0.309E+02	0.148E+01	0.3373E+02	0.338E+02	0.112E+01
0.3076E+02	0.381E+02	0.139E+01	0.3381E+02	0.399E+02	0.183E+01
0.3083E+02	0.584E+02	0.199E+01	0.3388E+02	0.506E+02	0.180E+01
0.3090E+02	0.648E+02	0.222E+01	0.3396E+02	0.741E+02	0.188E+01
0.3097E+02	0.673E+02	0.190E+01	0.3404E+02	0.573E+02	0.184E+01
0.3105E+02	0.107E+03	0.277E+01	0.3412E+02	0.114E+03	0.285E+01
0.3112E+02	0.185E+03	0.402E+01	0.3420E+02	0.115E+03	0.294E+01
0.3119E+02	0.247E+03	0.456E+01	0.3428E+02	0.169E+03	0.378E+01
0.3126E+02	0.301E+03	0.491E+01	0.3436E+02	0.218E+03	0.439E+01
0.3133E+02	0.374E+03	0.609E+01	0.3444E+02	0.352E+03	0.598E+01
0.3141E+02	0.317E+03	0.527E+01	0.3451E+02	0.476E+03	0.654E+01
0.3148E+02	0.230E+03	0.475E+01	0.3459E+02	0.581E+03	0.753E+01
0.3155E+02	0.129E+03	0.323E+01	0.3467E+02	0.542E+03	0.747E+01
0.3162E+02	0.685E+02	0.242E+01	0.3475E+02	0.484E+03	0.679E+01
0.3170E+02	0.309E+02	0.129E+01	0.3483E+02	0.262E+03	0.504E+01
0.3177E+02	0.314E+02	0.149E+01	0.3491E+02	0.156E+03	0.361E+01
0.3184E+02	0.208E+02	0.117E+01	0.3499E+02	0.100E+03	0.320E+01

Table 2: (Continued).

E_n (eV)	$\sigma_{n,\gamma}$ (b)	$\Delta\sigma_{n,\gamma}$ (b)	E_n (eV)	$\sigma_{n,\gamma}$ (b)	$\Delta\sigma_{n,\gamma}$ (b)
0.3508E+02	0.585E+02	0.225E+01	0.3855E+02	0.520E+03	0.741E+01
0.3516E+02	0.349E+02	0.133E+01	0.3864E+02	0.382E+03	0.623E+01
0.3524E+02	0.335E+02	0.129E+01	0.3873E+02	0.186E+03	0.432E+01
0.3532E+02	0.362E+02	0.124E+01	0.3881E+02	0.101E+03	0.288E+01
0.3540E+02	0.341E+02	0.155E+01	0.3890E+02	0.429E+02	0.155E+01
0.3548E+02	0.354E+02	0.143E+01	0.3899E+02	0.320E+02	0.211E+01
0.3556E+02	0.338E+02	0.165E+01	0.3908E+02	0.195E+02	0.105E+01
0.3565E+02	0.297E+02	0.128E+01	0.3917E+02	0.176E+02	0.110E+01
0.3573E+02	0.383E+02	0.179E+01	0.3926E+02	0.107E+02	0.821E+00
0.3581E+02	0.424E+02	0.135E+01	0.3935E+02	0.170E+02	0.119E+01
0.3589E+02	0.357E+02	0.137E+01	0.3945E+02	0.138E+02	0.109E+01
0.3597E+02	0.477E+02	0.154E+01	0.3954E+02	0.151E+02	0.108E+01
0.3606E+02	0.573E+02	0.217E+01	0.3963E+02	0.125E+02	0.901E+00
0.3614E+02	0.576E+02	0.209E+01	0.3972E+02	0.328E+01	-0.673E-02
0.3622E+02	0.870E+02	0.288E+01	0.3981E+02	0.129E+02	0.765E+00
0.3631E+02	0.129E+03	0.329E+01	0.3990E+02	0.137E+02	0.607E+00
0.3639E+02	0.128E+03	0.327E+01	0.3999E+02	0.146E+02	0.698E+00
0.3647E+02	0.186E+03	0.433E+01	0.4009E+02	0.122E+02	0.556E+00
0.3656E+02	0.275E+03	0.540E+01	0.4018E+02	0.183E+02	0.815E+00
0.3664E+02	0.346E+03	0.567E+01	0.4027E+02	0.143E+02	0.504E+00
0.3673E+02	0.467E+03	0.710E+01	0.4037E+02	0.827E+01	0.451E+00
0.3681E+02	0.450E+03	0.660E+01	0.4046E+02	0.243E+02	0.113E+01
0.3690E+02	0.329E+03	0.581E+01	0.4055E+02	0.155E+02	0.685E+00
0.3698E+02	0.196E+03	0.425E+01	0.4064E+02	0.228E+02	0.102E+01
0.3707E+02	0.151E+03	0.386E+01	0.4074E+02	0.318E+02	0.153E+01
0.3715E+02	0.104E+03	0.314E+01	0.4083E+02	0.221E+02	0.114E+01
0.3724E+02	0.110E+03	0.327E+01	0.4093E+02	0.523E+02	0.211E+01
0.3733E+02	0.136E+03	0.357E+01	0.4102E+02	0.362E+02	0.146E+01
0.3741E+02	0.146E+03	0.394E+01	0.4112E+02	0.858E+02	0.230E+01
0.3750E+02	0.206E+03	0.426E+01	0.4121E+02	0.124E+03	0.333E+01
0.3758E+02	0.217E+03	0.442E+01	0.4131E+02	0.109E+03	0.301E+01
0.3767E+02	0.377E+03	0.623E+01	0.4140E+02	0.128E+03	0.366E+01
0.3776E+02	0.449E+03	0.679E+01	0.4149E+02	0.969E+02	0.303E+01
0.3784E+02	0.580E+03	0.759E+01	0.4159E+02	0.852E+02	0.312E+01
0.3793E+02	0.623E+03	0.790E+01	0.4169E+02	0.679E+02	0.272E+01
0.3802E+02	0.468E+03	0.673E+01	0.4178E+02	0.895E+02	0.267E+01
0.3811E+02	0.384E+03	0.609E+01	0.4188E+02	0.115E+03	0.380E+01
0.3819E+02	0.393E+03	0.648E+01	0.4198E+02	0.129E+03	0.359E+01
0.3828E+02	0.540E+03	0.753E+01	0.4207E+02	0.195E+03	0.429E+01
0.3837E+02	0.648E+03	0.815E+01	0.4217E+02	0.312E+03	0.550E+01
0.3846E+02	0.611E+03	0.809E+01	0.4227E+02	0.346E+03	0.575E+01

Table 2: (Continued).

E_n (eV)	$\sigma_{n,\gamma}$ (b)	$\Delta\sigma_{n,\gamma}$ (b)	E_n (eV)	$\sigma_{n,\gamma}$ (b)	$\Delta\sigma_{n,\gamma}$ (b)
0.4236E+02	0.431E+03	0.654E+01	0.4656E+02	0.445E+02	0.235E+01
0.4246E+02	0.328E+03	0.572E+01	0.4667E+02	0.462E+02	0.194E+01
0.4256E+02	0.211E+03	0.430E+01	0.4677E+02	0.493E+02	0.210E+01
0.4266E+02	0.144E+03	0.343E+01	0.4688E+02	0.784E+02	0.293E+01
0.4276E+02	0.840E+02	0.247E+01	0.4699E+02	0.119E+03	0.350E+01
0.4285E+02	0.969E+02	0.299E+01	0.4710E+02	0.127E+03	0.342E+01
0.4295E+02	0.113E+03	0.328E+01	0.4721E+02	0.181E+03	0.414E+01
0.4305E+02	0.108E+03	0.285E+01	0.4731E+02	0.183E+03	0.395E+01
0.4315E+02	0.211E+03	0.460E+01	0.4742E+02	0.172E+03	0.373E+01
0.4325E+02	0.226E+03	0.457E+01	0.4753E+02	0.177E+03	0.441E+01
0.4335E+02	0.307E+03	0.583E+01	0.4764E+02	0.128E+03	0.340E+01
0.4345E+02	0.282E+03	0.541E+01	0.4775E+02	0.187E+03	0.412E+01
0.4355E+02	0.192E+03	0.422E+01	0.4786E+02	0.281E+03	0.552E+01
0.4365E+02	0.981E+02	0.270E+01	0.4797E+02	0.415E+03	0.691E+01
0.4375E+02	0.570E+02	0.224E+01	0.4808E+02	0.478E+03	0.685E+01
0.4385E+02	0.230E+02	0.994E+00	0.4819E+02	0.425E+03	0.636E+01
0.4395E+02	0.163E+02	0.840E+00	0.4831E+02	0.271E+03	0.505E+01
0.4406E+02	0.191E+02	0.975E+00	0.4842E+02	0.145E+03	0.346E+01
0.4416E+02	0.147E+02	0.784E+00	0.4853E+02	0.840E+02	0.278E+01
0.4426E+02	0.188E+02	0.108E+01	0.4864E+02	0.466E+02	0.164E+01
0.4436E+02	0.152E+02	0.679E+00	0.4875E+02	0.433E+02	0.167E+01
0.4446E+02	0.102E+02	0.590E+00	0.4887E+02	0.306E+02	0.126E+01
0.4457E+02	0.988E+01	0.833E+00	0.4898E+02	0.493E+02	0.201E+01
0.4467E+02	0.188E+02	0.115E+01	0.4909E+02	0.485E+02	0.170E+01
0.4477E+02	0.302E+02	0.130E+01	0.4920E+02	0.514E+02	0.225E+01
0.4488E+02	0.325E+02	0.114E+01	0.4932E+02	0.594E+02	0.199E+01
0.4498E+02	0.507E+02	0.182E+01	0.4943E+02	0.877E+02	0.280E+01
0.4508E+02	0.578E+02	0.214E+01	0.4954E+02	0.107E+03	0.299E+01
0.4519E+02	0.600E+02	0.218E+01	0.4966E+02	0.140E+03	0.364E+01
0.4529E+02	0.216E+02	0.111E+01	0.4977E+02	0.126E+03	0.318E+01
0.4539E+02	0.274E+02	0.121E+01	0.4989E+02	0.141E+03	0.348E+01
0.4550E+02	0.355E+02	0.181E+01	0.5000E+02	0.162E+03	0.392E+01
0.4560E+02	0.341E+02	0.160E+01	0.5012E+02	0.241E+03	0.518E+01
0.4571E+02	0.591E+02	0.210E+01	0.5023E+02	0.259E+03	0.513E+01
0.4581E+02	0.858E+02	0.256E+01	0.5035E+02	0.236E+03	0.468E+01
0.4592E+02	0.105E+03	0.299E+01	0.5047E+02	0.201E+03	0.452E+01
0.4603E+02	0.120E+03	0.331E+01	0.5058E+02	0.213E+03	0.457E+01
0.4613E+02	0.728E+02	0.233E+01	0.5070E+02	0.287E+03	0.523E+01
0.4624E+02	0.691E+02	0.259E+01	0.5082E+02	0.430E+03	0.660E+01
0.4635E+02	0.294E+02	0.148E+01	0.5093E+02	0.498E+03	0.728E+01
0.4645E+02	0.308E+02	0.157E+01	0.5105E+02	0.553E+03	0.765E+01

Table 2: (Continued).

E_n (eV)	$\sigma_{n,\gamma}$ (b)	$\Delta\sigma_{n,\gamma}$ (b)	E_n (eV)	$\sigma_{n,\gamma}$ (b)	$\Delta\sigma_{n,\gamma}$ (b)
0.5117E+02	0.349E+03	0.613E+01	0.5623E+02	0.173E+02	0.864E+00
0.5129E+02	0.199E+03	0.439E+01	0.5636E+02	0.115E+02	0.759E+00
0.5140E+02	0.163E+03	0.402E+01	0.5649E+02	0.926E+01	0.840E+00
0.5152E+02	0.102E+03	0.270E+01	0.5662E+02	0.405E+01	0.988E-01
0.5164E+02	0.131E+03	0.322E+01	0.5675E+02	0.430E+01	0.328E+00
0.5176E+02	0.135E+03	0.335E+01	0.5688E+02	0.889E+01	0.510E+00
0.5188E+02	0.154E+03	0.369E+01	0.5702E+02	0.648E+01	0.528E+00
0.5200E+02	0.172E+03	0.402E+01	0.5715E+02	0.162E+01	-0.220E-01
0.5212E+02	0.289E+03	0.554E+01	0.5728E+02	0.130E+02	0.920E+00
0.5224E+02	0.399E+03	0.673E+01	0.5741E+02	0.183E+01	0.366E+00
0.5236E+02	0.583E+03	0.796E+01	0.5754E+02	0.765E+01	0.102E+01
0.5248E+02	0.883E+03	0.101E+02	0.5768E+02	0.679E+01	0.833E+00
0.5260E+02	0.840E+03	0.944E+01	0.5781E+02	0.932E+01	0.107E+01
0.5272E+02	0.594E+03	0.741E+01	0.5794E+02	0.846E+01	0.589E+00
0.5285E+02	0.349E+03	0.572E+01	0.5808E+02	0.107E+02	0.815E+00
0.5297E+02	0.239E+03	0.474E+01	0.5821E+02	0.220E+02	0.125E+01
0.5309E+02	0.164E+03	0.374E+01	0.5835E+02	0.184E+02	0.112E+01
0.5321E+02	0.190E+03	0.427E+01	0.5848E+02	0.275E+02	0.143E+01
0.5333E+02	0.257E+03	0.497E+01	0.5861E+02	0.272E+02	0.148E+01
0.5346E+02	0.198E+03	0.417E+01	0.5875E+02	0.235E+02	0.117E+01
0.5358E+02	0.166E+03	0.387E+01	0.5888E+02	0.323E+02	0.140E+01
0.5370E+02	0.120E+03	0.313E+01	0.5902E+02	0.537E+02	0.175E+01
0.5383E+02	0.142E+03	0.358E+01	0.5916E+02	0.642E+02	0.230E+01
0.5395E+02	0.156E+03	0.350E+01	0.5929E+02	0.858E+02	0.258E+01
0.5408E+02	0.222E+03	0.473E+01	0.5943E+02	0.104E+03	0.334E+01
0.5420E+02	0.349E+03	0.605E+01	0.5957E+02	0.914E+02	0.282E+01
0.5433E+02	0.551E+03	0.778E+01	0.5970E+02	0.110E+03	0.303E+01
0.5445E+02	0.716E+03	0.883E+01	0.5984E+02	0.127E+03	0.327E+01
0.5458E+02	0.759E+03	0.889E+01	0.5998E+02	0.207E+03	0.459E+01
0.5470E+02	0.517E+03	0.728E+01	0.6012E+02	0.201E+03	0.414E+01
0.5483E+02	0.245E+03	0.486E+01	0.6026E+02	0.163E+03	0.383E+01
0.5495E+02	0.111E+03	0.328E+01	0.6040E+02	0.148E+03	0.335E+01
0.5508E+02	0.704E+02	0.236E+01	0.6053E+02	0.210E+03	0.428E+01
0.5521E+02	0.437E+02	0.176E+01	0.6067E+02	0.278E+03	0.556E+01
0.5533E+02	0.392E+02	0.149E+01	0.6081E+02	0.457E+03	0.722E+01
0.5546E+02	0.338E+02	0.156E+01	0.6095E+02	0.540E+03	0.765E+01
0.5559E+02	0.623E+02	0.228E+01	0.6109E+02	0.685E+03	0.889E+01
0.5572E+02	0.790E+02	0.254E+01	0.6124E+02	0.815E+03	0.975E+01
0.5585E+02	0.772E+02	0.283E+01	0.6138E+02	0.667E+03	0.833E+01
0.5598E+02	0.551E+02	0.195E+01	0.6152E+02	0.414E+03	0.636E+01
0.5610E+02	0.331E+02	0.136E+01	0.6166E+02	0.217E+03	0.457E+01

Table 2: (Continued).

E_n (eV)	$\sigma_{n,\gamma}$ (b)	$\Delta\sigma_{n,\gamma}$ (b)	E_n (eV)	$\sigma_{n,\gamma}$ (b)	$\Delta\sigma_{n,\gamma}$ (b)
0.6180E+02	0.104E+03	0.284E+01	0.6792E+02	0.542E+02	0.204E+01
0.6194E+02	0.112E+03	0.295E+01	0.6808E+02	0.753E+02	0.251E+01
0.6209E+02	0.969E+02	0.290E+01	0.6823E+02	0.130E+03	0.323E+01
0.6223E+02	0.110E+03	0.320E+01	0.6839E+02	0.159E+03	0.392E+01
0.6237E+02	0.119E+03	0.325E+01	0.6855E+02	0.195E+03	0.413E+01
0.6252E+02	0.162E+03	0.391E+01	0.6871E+02	0.191E+03	0.420E+01
0.6266E+02	0.220E+03	0.473E+01	0.6886E+02	0.117E+03	0.306E+01
0.6281E+02	0.254E+03	0.474E+01	0.6902E+02	0.523E+02	0.215E+01
0.6295E+02	0.283E+03	0.523E+01	0.6918E+02	0.262E+02	0.112E+01
0.6310E+02	0.259E+03	0.488E+01	0.6934E+02	0.180E+02	0.846E+00
0.6324E+02	0.245E+03	0.513E+01	0.6950E+02	0.121E+02	0.765E+00
0.6339E+02	0.270E+03	0.487E+01	0.6966E+02	0.190E+02	0.107E+01
0.6353E+02	0.330E+03	0.566E+01	0.6982E+02	0.296E+02	0.118E+01
0.6368E+02	0.441E+03	0.648E+01	0.6998E+02	0.412E+02	0.177E+01
0.6383E+02	0.741E+03	0.901E+01	0.7015E+02	0.833E+02	0.266E+01
0.6397E+02	0.963E+03	0.101E+02	0.7031E+02	0.105E+03	0.311E+01
0.6412E+02	0.106E+04	0.103E+02	0.7047E+02	0.119E+03	0.316E+01
0.6427E+02	0.112E+04	0.110E+02	0.7063E+02	0.963E+02	0.286E+01
0.6442E+02	0.105E+04	0.109E+02	0.7079E+02	0.431E+02	0.165E+01
0.6457E+02	0.796E+03	0.944E+01	0.7096E+02	0.160E+02	0.883E+00
0.6471E+02	0.457E+03	0.704E+01	0.7112E+02	0.344E+01	0.654E+00
0.6486E+02	0.175E+03	0.406E+01	0.7129E+02	0.156E+02	0.667E+00
0.6501E+02	0.667E+02	0.235E+01	0.7145E+02	0.219E+02	0.117E+01
0.6516E+02	0.479E+02	0.185E+01	0.7161E+02	0.349E+02	0.142E+01
0.6531E+02	0.282E+02	0.110E+01	0.7178E+02	0.301E+02	0.128E+01
0.6546E+02	0.327E+02	0.140E+01	0.7194E+02	0.172E+02	0.969E+00
0.6561E+02	0.137E+02	0.550E+00	0.7211E+02	0.741E+01	0.753E+00
0.6577E+02	0.186E+02	0.106E+01	0.7228E+02	0.266E+01	-0.114E-01
0.6592E+02	0.335E+02	0.130E+01	0.7244E+02	0.549E+01	0.366E+00
0.6607E+02	0.222E+02	0.129E+01	0.7261E+02	-0.710E+01	-0.198E-01
0.6622E+02	0.406E+02	0.136E+01	0.7278E+02	0.623E+00	0.113E+00
0.6637E+02	0.283E+02	0.134E+01	0.7295E+02	0.503E+01	0.496E+00
0.6653E+02	0.226E+02	0.119E+01	0.7311E+02	0.988E+01	0.335E+00
0.6668E+02	0.544E+02	0.230E+01	0.7328E+02	0.398E+01	0.170E-01
0.6683E+02	0.496E+02	0.169E+01	0.7345E+02	0.784E+01	0.141E+00
0.6699E+02	0.103E+03	0.325E+01	0.7362E+02	0.139E+02	0.673E+00
0.6714E+02	0.138E+03	0.360E+01	0.7379E+02	0.151E+02	0.691E+00
0.6730E+02	0.131E+03	0.346E+01	0.7396E+02	0.238E+02	0.122E+01
0.6745E+02	0.157E+03	0.380E+01	0.7413E+02	0.229E+02	0.125E+01
0.6761E+02	0.981E+02	0.281E+01	0.7430E+02	0.300E+02	0.957E+00
0.6776E+02	0.735E+02	0.220E+01	0.7447E+02	0.126E+02	0.460E+00

Table 2: (Continued).

E_n (eV)	$\sigma_{n,\gamma}$ (b)	$\Delta\sigma_{n,\gamma}$ (b)	E_n (eV)	$\sigma_{n,\gamma}$ (b)	$\Delta\sigma_{n,\gamma}$ (b)
0.7464E+02	0.159E+02	0.114E+01	0.8204E+02	0.938E+02	0.288E+01
0.7482E+02	0.175E+02	0.778E+00	0.8222E+02	0.459E+02	0.200E+01
0.7499E+02	0.106E+02	0.573E+00	0.8241E+02	0.273E+02	0.821E+00
0.7516E+02	0.214E+02	0.108E+01	0.8260E+02	0.152E+02	0.883E+00
0.7534E+02	0.207E+02	0.926E+00	0.8279E+02	0.165E+02	0.957E+00
0.7551E+02	0.196E+02	0.914E+00	0.8299E+02	0.436E+02	0.186E+01
0.7568E+02	0.393E+02	0.150E+01	0.8318E+02	0.546E+02	0.167E+01
0.7586E+02	0.409E+02	0.161E+01	0.8337E+02	0.914E+02	0.288E+01
0.7603E+02	0.642E+02	0.204E+01	0.8356E+02	0.120E+03	0.352E+01
0.7621E+02	0.546E+02	0.201E+01	0.8375E+02	0.809E+02	0.218E+01
0.7638E+02	0.512E+02	0.169E+01	0.8395E+02	0.355E+02	0.141E+01
0.7656E+02	0.852E+02	0.282E+01	0.8414E+02	0.243E+02	0.944E+00
0.7674E+02	0.944E+02	0.251E+01	0.8433E+02	0.136E+02	0.568E+00
0.7691E+02	0.165E+03	0.378E+01	0.8453E+02	0.232E+02	0.105E+01
0.7709E+02	0.311E+03	0.593E+01	0.8472E+02	0.336E+02	0.107E+01
0.7727E+02	0.345E+03	0.623E+01	0.8492E+02	0.160E+02	0.106E+01
0.7745E+02	0.341E+03	0.605E+01	0.8511E+02	0.290E+01	0.492E+00
0.7762E+02	0.269E+03	0.554E+01	0.8531E+02	0.323E+02	0.172E+01
0.7780E+02	0.129E+03	0.401E+01	0.8551E+02	0.204E+02	0.963E+00
0.7798E+02	0.704E+02	0.235E+01	0.8570E+02	0.240E+02	0.102E+01
0.7816E+02	0.184E+02	0.132E+01	0.8590E+02	0.241E+02	0.100E+01
0.7834E+02	0.343E+02	0.175E+01	0.8610E+02	0.499E+02	0.185E+01
0.7852E+02	0.128E+01	0.425E+00	0.8630E+02	0.299E+02	0.103E+01
0.7871E+02	0.170E+02	0.104E+01	0.8650E+02	0.667E+02	0.217E+01
0.7889E+02	0.231E+02	0.120E+01	0.8670E+02	0.772E+02	0.214E+01
0.7907E+02	0.123E+02	0.988E+00	0.8690E+02	0.864E+02	0.254E+01
0.7925E+02	0.177E+02	0.118E+01	0.8710E+02	0.175E+03	0.433E+01
0.7943E+02	0.110E+02	0.846E+00	0.8730E+02	0.208E+03	0.404E+01
0.7962E+02	0.164E+02	0.809E+00	0.8750E+02	0.299E+03	0.547E+01
0.7980E+02	0.325E+02	0.191E+01	0.8770E+02	0.196E+03	0.390E+01
0.7998E+02	0.397E+02	0.161E+01	0.8790E+02	0.151E+03	0.377E+01
0.8017E+02	0.354E+02	0.173E+01	0.8811E+02	0.124E+03	0.317E+01
0.8035E+02	0.685E+02	0.224E+01	0.8831E+02	0.103E+03	0.283E+01
0.8054E+02	0.128E+03	0.377E+01	0.8851E+02	0.104E+03	0.294E+01
0.8072E+02	0.145E+03	0.385E+01	0.8872E+02	0.512E+02	0.169E+01
0.8091E+02	0.103E+03	0.290E+01	0.8892E+02	0.185E+02	0.710E+00
0.8110E+02	0.648E+02	0.216E+01	0.8912E+02	0.215E+02	0.926E+00
0.8128E+02	0.735E+02	0.243E+01	0.8933E+02	0.753E+01	0.412E+00
0.8147E+02	0.580E+02	0.206E+01	0.8954E+02	0.988E+01	0.335E+00
0.8166E+02	0.944E+02	0.288E+01	0.8974E+02	0.214E+02	0.104E+01
0.8185E+02	0.105E+03	0.277E+01	0.8995E+02	0.242E+02	0.938E+00

Table 2: (Continued).

E_n (eV)	$\sigma_{n,\gamma}$ (b)	$\Delta\sigma_{n,\gamma}$ (b)	E_n (eV)	$\sigma_{n,\gamma}$ (b)	$\Delta\sigma_{n,\gamma}$ (b)
0.9016E+02	0.204E+02	0.753E+00	0.9908E+02	0.598E+02	0.202E+01
0.9036E+02	0.313E+02	0.142E+01	0.9931E+02	0.412E+02	0.151E+01
0.9057E+02	0.312E+02	0.136E+01	0.9954E+02	0.220E+02	0.778E+00
0.9078E+02	0.465E+02	0.191E+01	0.9977E+02	0.285E+02	0.901E+00
0.9099E+02	0.858E+02	0.263E+01	0.1000E+03	0.391E+02	0.123E+01
0.9120E+02	0.858E+02	0.251E+01	0.1002E+03	0.516E+02	0.148E+01
0.9141E+02	0.926E+02	0.289E+01	0.1005E+03	0.778E+02	0.256E+01
0.9162E+02	0.846E+02	0.236E+01	0.1007E+03	0.988E+02	0.262E+01
0.9183E+02	0.660E+02	0.194E+01	0.1009E+03	0.115E+03	0.283E+01
0.9204E+02	0.462E+02	0.172E+01	0.1012E+03	0.177E+03	0.391E+01
0.9226E+02	0.510E+02	0.171E+01	0.1014E+03	0.120E+03	0.317E+01
0.9247E+02	0.747E+02	0.225E+01	0.1016E+03	0.106E+03	0.283E+01
0.9268E+02	0.109E+03	0.299E+01	0.1019E+03	0.104E+03	0.243E+01
0.9290E+02	0.118E+03	0.304E+01	0.1021E+03	0.914E+02	0.234E+01
0.9311E+02	0.160E+03	0.360E+01	0.1023E+03	0.106E+03	0.273E+01
0.9332E+02	0.250E+03	0.506E+01	0.1026E+03	0.198E+03	0.404E+01
0.9354E+02	0.330E+03	0.536E+01	0.1028E+03	0.290E+03	0.488E+01
0.9376E+02	0.543E+03	0.722E+01	0.1030E+03	0.402E+03	0.623E+01
0.9397E+02	0.526E+03	0.716E+01	0.1033E+03	0.222E+03	0.418E+01
0.9419E+02	0.347E+03	0.577E+01	0.1035E+03	0.117E+03	0.291E+01
0.9441E+02	0.178E+03	0.402E+01	0.1038E+03	0.425E+02	0.135E+01
0.9462E+02	0.428E+02	0.156E+01	0.1040E+03	0.367E+02	0.141E+01
0.9484E+02	0.312E+02	0.104E+01	0.1042E+03	0.433E+02	0.149E+01
0.9506E+02	0.269E+02	0.926E+00	0.1045E+03	0.361E+02	0.883E+00
0.9528E+02	0.157E+02	0.128E+01	0.1047E+03	0.456E+02	0.136E+01
0.9550E+02	0.348E+02	0.112E+01	0.1049E+03	0.327E+02	0.907E+00
0.9572E+02	0.514E+02	0.159E+01	0.1052E+03	0.546E+02	0.170E+01
0.9594E+02	0.275E+02	0.102E+01	0.1054E+03	0.117E+03	0.317E+01
0.9616E+02	0.493E+02	0.166E+01	0.1057E+03	0.149E+03	0.343E+01
0.9638E+02	0.328E+02	0.120E+01	0.1059E+03	0.205E+03	0.448E+01
0.9661E+02	0.510E+02	0.197E+01	0.1062E+03	0.269E+03	0.540E+01
0.9683E+02	0.543E+02	0.179E+01	0.1064E+03	0.226E+03	0.442E+01
0.9705E+02	0.821E+02	0.209E+01	0.1067E+03	0.167E+03	0.364E+01
0.9728E+02	0.112E+03	0.259E+01	0.1069E+03	0.132E+03	0.351E+01
0.9750E+02	0.143E+03	0.350E+01	0.1072E+03	0.648E+02	0.220E+01
0.9772E+02	0.162E+03	0.373E+01	0.1074E+03	0.359E+02	0.125E+01
0.9795E+02	0.251E+03	0.488E+01	0.1077E+03	0.809E+02	0.255E+01
0.9818E+02	0.296E+03	0.530E+01	0.1079E+03	0.132E+03	0.320E+01
0.9840E+02	0.319E+03	0.524E+01	0.1081E+03	0.165E+03	0.352E+01
0.9863E+02	0.242E+03	0.492E+01	0.1084E+03	0.149E+03	0.349E+01
0.9886E+02	0.122E+03	0.294E+01	0.1086E+03	0.592E+02	0.195E+01

Table 2: (Continued).

E_n (eV)	$\sigma_{n,\gamma}$ (b)	$\Delta\sigma_{n,\gamma}$ (b)	E_n (eV)	$\sigma_{n,\gamma}$ (b)	$\Delta\sigma_{n,\gamma}$ (b)
0.1089E+03	0.434E+02	0.185E+01	0.1197E+03	0.529E+02	0.188E+01
0.1091E+03	0.219E+02	0.101E+01	0.1199E+03	0.716E+02	0.231E+01
0.1094E+03	0.523E+01	0.444E+00	0.1202E+03	0.507E+02	0.165E+01
0.1097E+03	0.176E+02	0.110E+01	0.1205E+03	0.585E+02	0.188E+01
0.1099E+03	0.840E+01	0.802E+00	0.1208E+03	0.100E+02	0.722E+00
0.1102E+03	0.438E+01	0.284E+00	0.1211E+03	0.315E+02	0.145E+01
0.1104E+03	0.951E+01	0.630E+00	0.1213E+03	0.642E+02	0.214E+01
0.1107E+03	0.728E+01	0.329E+00	0.1216E+03	0.759E+02	0.222E+01
0.1109E+03	0.704E+01	0.458E+00	0.1219E+03	0.103E+03	0.271E+01
0.1112E+03	0.139E+02	0.753E+00	0.1222E+03	0.206E+03	0.507E+01
0.1114E+03	0.194E+02	0.100E+01	0.1225E+03	0.235E+03	0.488E+01
0.1117E+03	0.994E+01	0.331E+00	0.1227E+03	0.198E+03	0.454E+01
0.1119E+03	0.840E+01	0.575E+00	0.1230E+03	0.914E+02	0.251E+01
0.1122E+03	0.194E+02	0.101E+01	0.1233E+03	0.440E+02	0.140E+01
0.1125E+03	0.409E+01	0.429E+00	0.1236E+03	0.340E+02	0.133E+01
0.1127E+03	0.273E+02	0.113E+01	0.1239E+03	0.288E+02	0.112E+01
0.1130E+03	0.189E+02	0.932E+00	0.1242E+03	0.522E+02	0.184E+01
0.1132E+03	0.114E+02	0.796E+00	0.1244E+03	0.648E+02	0.218E+01
0.1135E+03	0.134E+02	0.759E+00	0.1247E+03	0.889E+02	0.278E+01
0.1138E+03	0.251E+02	0.101E+01	0.1250E+03	0.654E+02	0.225E+01
0.1140E+03	0.258E+02	0.870E+00	0.1253E+03	0.222E+02	0.815E+00
0.1143E+03	0.229E+02	0.122E+01	0.1256E+03	0.269E+02	0.115E+01
0.1146E+03	0.152E+02	0.728E+00	0.1259E+03	0.315E+02	0.142E+01
0.1148E+03	0.197E+02	0.821E+00	0.1262E+03	0.367E+02	0.130E+01
0.1151E+03	0.143E+02	0.574E+00	0.1265E+03	0.386E+02	0.140E+01
0.1153E+03	0.178E+02	0.907E+00	0.1268E+03	0.304E+02	0.110E+01
0.1156E+03	0.259E+02	0.122E+01	0.1271E+03	0.114E+02	0.368E+00
0.1159E+03	0.198E+02	0.907E+00	0.1273E+03	0.160E+02	0.118E+01
0.1161E+03	0.429E+02	0.164E+01	0.1276E+03	0.250E+02	0.100E+01
0.1164E+03	0.423E+02	0.151E+01	0.1279E+03	0.508E+02	0.139E+01
0.1167E+03	0.566E+02	0.225E+01	0.1282E+03	0.698E+02	0.233E+01
0.1169E+03	0.567E+02	0.148E+01	0.1285E+03	0.565E+02	0.185E+01
0.1172E+03	0.444E+02	0.170E+01	0.1288E+03	0.320E+02	0.136E+01
0.1175E+03	0.852E+02	0.257E+01	0.1291E+03	0.164E+02	0.778E+00
0.1178E+03	0.148E+03	0.370E+01	0.1294E+03	0.137E+02	0.716E+00
0.1180E+03	0.182E+03	0.383E+01	0.1297E+03	-1.27E+01	-1.198E+00
0.1183E+03	0.190E+03	0.384E+01	0.1300E+03	0.151E+01	-1.144E+00
0.1186E+03	0.117E+03	0.309E+01	0.1303E+03	0.759E+01	-2.72E+00
0.1188E+03	0.142E+03	0.341E+01	0.1306E+03	0.107E+02	0.106E+00
0.1191E+03	0.114E+03	0.294E+01	0.1309E+03	0.176E+02	0.920E+00
0.1194E+03	0.557E+02	0.169E+01	0.1312E+03	0.189E+02	0.547E+00

Table 2: (Continued).

E_n (eV)	$\sigma_{n,\gamma}$ (b)	$\Delta\sigma_{n,\gamma}$ (b)	E_n (eV)	$\sigma_{n,\gamma}$ (b)	$\Delta\sigma_{n,\gamma}$ (b)
0.1315E+03	0.177E+02	0.753E+00	0.1445E+03	0.289E+02	0.111E+01
0.1318E+03	0.110E+02	0.400E+00	0.1449E+03	0.236E+02	0.133E+01
0.1321E+03	0.327E+02	0.178E+01	0.1452E+03	0.419E+02	0.146E+01
0.1324E+03	0.133E+02	0.500E+00	0.1456E+03	0.483E+02	0.190E+01
0.1327E+03	-.698E+00	-.386E-01	0.1459E+03	0.685E+02	0.220E+01
0.1331E+03	0.784E+01	0.223E+00	0.1462E+03	0.124E+03	0.367E+01
0.1334E+03	0.128E+01	0.210E-01	0.1466E+03	0.115E+03	0.304E+01
0.1337E+03	0.401E+01	0.606E-01	0.1469E+03	0.907E+02	0.252E+01
0.1340E+03	0.698E+01	0.223E+00	0.1472E+03	0.108E+03	0.343E+01
0.1343E+03	0.473E+01	-.112E+00	0.1476E+03	0.117E+03	0.325E+01
0.1346E+03	-.483E+01	-.291E+00	0.1479E+03	0.815E+02	0.259E+01
0.1349E+03	0.154E+01	-.636E-01	0.1482E+03	0.307E+02	0.135E+01
0.1352E+03	0.181E+02	0.858E+00	0.1486E+03	0.164E+02	0.685E+00
0.1355E+03	0.236E+02	0.106E+01	0.1489E+03	0.294E+02	0.134E+01
0.1358E+03	0.386E+02	0.143E+01	0.1493E+03	0.143E+02	0.790E+00
0.1361E+03	0.394E+02	0.153E+01	0.1496E+03	0.145E+02	0.877E+00
0.1365E+03	0.278E+02	0.139E+01	0.1500E+03	0.325E+02	0.149E+01
0.1368E+03	0.154E+02	0.679E+00	0.1503E+03	0.258E+02	0.153E+01
0.1371E+03	-.351E+01	-.784E-01	0.1507E+03	0.288E+02	0.136E+01
0.1374E+03	0.109E+02	0.400E+00	0.1510E+03	0.735E+02	0.276E+01
0.1377E+03	0.147E+02	0.852E+00	0.1514E+03	0.963E+02	0.282E+01
0.1380E+03	0.107E+02	0.617E+00	0.1517E+03	0.132E+03	0.341E+01
0.1384E+03	0.256E+02	0.858E+00	0.1521E+03	0.123E+03	0.340E+01
0.1387E+03	0.157E+02	0.827E+00	0.1524E+03	0.772E+02	0.225E+01
0.1390E+03	0.138E+02	0.938E+00	0.1528E+03	0.483E+02	0.219E+01
0.1393E+03	0.443E+02	0.173E+01	0.1531E+03	0.429E+02	0.152E+01
0.1396E+03	0.685E+02	0.230E+01	0.1535E+03	0.821E+02	0.257E+01
0.1400E+03	0.504E+02	0.217E+01	0.1538E+03	0.142E+03	0.352E+01
0.1403E+03	0.429E+02	0.138E+01	0.1542E+03	0.117E+03	0.352E+01
0.1406E+03	0.321E+02	0.143E+01	0.1545E+03	0.102E+03	0.301E+01
0.1409E+03	0.685E+02	0.213E+01	0.1549E+03	0.981E+02	0.289E+01
0.1412E+03	0.131E+03	0.328E+01	0.1552E+03	0.115E+03	0.378E+01
0.1416E+03	0.139E+03	0.365E+01	0.1556E+03	0.109E+03	0.306E+01
0.1419E+03	0.901E+02	0.272E+01	0.1560E+03	0.133E+03	0.306E+01
0.1422E+03	0.451E+02	0.170E+01	0.1563E+03	0.138E+03	0.330E+01
0.1426E+03	0.156E+02	0.691E+00	0.1567E+03	0.177E+03	0.409E+01
0.1429E+03	0.254E+02	0.938E+00	0.1570E+03	0.205E+03	0.439E+01
0.1432E+03	0.217E+02	0.883E+00	0.1574E+03	0.348E+03	0.614E+01
0.1436E+03	0.204E+02	0.111E+01	0.1578E+03	0.467E+03	0.691E+01
0.1439E+03	0.256E+02	0.994E+00	0.1581E+03	0.404E+03	0.660E+01
0.1442E+03	0.153E+02	0.581E+00	0.1585E+03	0.190E+03	0.425E+01

Table 2: (Continued).

E_n (eV)	$\sigma_{n,\gamma}$ (b)	$\Delta\sigma_{n,\gamma}$ (b)	E_n (eV)	$\sigma_{n,\gamma}$ (b)	$\Delta\sigma_{n,\gamma}$ (b)
0.1589E+03	0.648E+02	0.214E+01	0.1746E+03	0.314E+02	0.115E+01
0.1592E+03	0.319E+02	0.115E+01	0.1750E+03	0.439E+02	0.169E+01
0.1596E+03	0.344E+02	0.159E+01	0.1754E+03	0.249E+02	0.105E+01
0.1600E+03	0.528E+02	0.178E+01	0.1758E+03	0.430E+02	0.183E+01
0.1603E+03	0.698E+02	0.235E+01	0.1762E+03	0.470E+02	0.149E+01
0.1607E+03	0.809E+02	0.273E+01	0.1766E+03	0.735E+02	0.249E+01
0.1611E+03	0.101E+03	0.298E+01	0.1770E+03	0.125E+03	0.340E+01
0.1614E+03	0.106E+03	0.273E+01	0.1774E+03	0.210E+03	0.504E+01
0.1618E+03	0.129E+03	0.348E+01	0.1778E+03	0.141E+03	0.348E+01
0.1622E+03	0.116E+03	0.333E+01	0.1782E+03	0.747E+02	0.246E+01
0.1626E+03	0.840E+02	0.264E+01	0.1786E+03	0.410E+02	0.173E+01
0.1629E+03	0.188E+02	0.957E+00	0.1791E+03	0.451E+02	0.257E+01
0.1633E+03	0.203E+02	0.604E+00	0.1795E+03	0.510E+02	0.196E+01
0.1637E+03	0.815E+01	0.441E+00	0.1799E+03	0.858E+02	0.270E+01
0.1641E+03	0.778E+01	0.519E+00	0.1803E+03	0.642E+02	0.194E+01
0.1644E+03	0.127E+02	0.759E+00	0.1807E+03	0.623E+02	0.202E+01
0.1648E+03	0.371E+01	0.630E+00	0.1811E+03	0.356E+02	0.163E+01
0.1652E+03	0.753E+01	0.614E+00	0.1816E+03	0.415E+02	0.183E+01
0.1656E+03	0.177E+02	0.741E+00	0.1820E+03	0.852E+02	0.277E+01
0.1660E+03	0.148E+02	0.480E+00	0.1824E+03	0.536E+02	0.182E+01
0.1663E+03	0.351E+01	0.206E-01	0.1828E+03	0.571E+02	0.221E+01
0.1667E+03	0.114E+02	0.504E+00	0.1832E+03	0.576E+02	0.199E+01
0.1671E+03	0.251E+02	0.120E+01	0.1836E+03	0.802E+02	0.280E+01
0.1675E+03	0.278E+02	0.127E+01	0.1841E+03	0.102E+03	0.299E+01
0.1679E+03	0.301E+02	0.137E+01	0.1845E+03	0.169E+03	0.420E+01
0.1683E+03	0.236E+02	0.130E+01	0.1849E+03	0.200E+03	0.429E+01
0.1687E+03	0.179E+02	0.809E+00	0.1854E+03	0.205E+03	0.446E+01
0.1690E+03	0.100E+02	0.642E+00	0.1858E+03	0.244E+03	0.504E+01
0.1694E+03	0.226E+02	0.106E+01	0.1862E+03	0.275E+03	0.514E+01
0.1698E+03	0.143E+02	0.535E+00	0.1866E+03	0.184E+03	0.486E+01
0.1702E+03	0.236E+02	0.109E+01	0.1871E+03	0.932E+02	0.265E+01
0.1706E+03	0.424E+02	0.161E+01	0.1875E+03	0.456E+02	0.191E+01
0.1710E+03	0.475E+02	0.146E+01	0.1879E+03	0.275E+02	0.117E+01
0.1714E+03	0.957E+02	0.280E+01	0.1884E+03	0.232E+02	0.107E+01
0.1718E+03	0.115E+03	0.346E+01	0.1888E+03	0.166E+02	0.994E+00
0.1722E+03	0.102E+03	0.316E+01	0.1892E+03	0.187E+02	0.122E+01
0.1726E+03	0.341E+02	0.142E+01	0.1897E+03	0.180E+02	0.648E+00
0.1730E+03	0.975E+01	0.617E+00	0.1901E+03	0.218E+02	0.130E+01
0.1734E+03	0.213E+02	0.827E+00	0.1906E+03	0.231E+02	0.126E+01
0.1738E+03	0.238E+02	0.112E+01	0.1910E+03	0.340E+02	0.130E+01
0.1742E+03	0.173E+02	0.815E+00	0.1914E+03	0.493E+02	0.188E+01

Table 2: (Continued).

E_n (eV)	$\sigma_{n,\gamma}$ (b)	$\Delta\sigma_{n,\gamma}$ (b)	E_n (eV)	$\sigma_{n,\gamma}$ (b)	$\Delta\sigma_{n,\gamma}$ (b)
0.1919E+03	0.122E+03	0.327E+01	0.2109E+03	0.307E+02	0.130E+01
0.1923E+03	0.926E+02	0.281E+01	0.2114E+03	0.271E+02	0.135E+01
0.1928E+03	0.821E+02	0.267E+01	0.2118E+03	0.440E+02	0.171E+01
0.1932E+03	0.969E+02	0.286E+01	0.2123E+03	0.543E+02	0.249E+01
0.1936E+03	0.115E+03	0.346E+01	0.2128E+03	0.870E+02	0.261E+01
0.1941E+03	0.162E+03	0.465E+01	0.2133E+03	0.833E+02	0.279E+01
0.1945E+03	0.165E+03	0.471E+01	0.2138E+03	0.926E+02	0.286E+01
0.1950E+03	0.994E+02	0.292E+01	0.2143E+03	0.461E+02	0.186E+01
0.1954E+03	0.815E+02	0.280E+01	0.2148E+03	0.556E+02	0.242E+01
0.1959E+03	0.926E+02	0.293E+01	0.2153E+03	0.574E+02	0.211E+01
0.1963E+03	0.498E+02	0.145E+01	0.2158E+03	0.765E+02	0.269E+01
0.1968E+03	0.833E+01	0.351E+00	0.2163E+03	0.498E+02	0.200E+01
0.1972E+03	0.128E+02	0.568E+00	0.2168E+03	0.251E+02	0.895E+00
0.1977E+03	0.209E+02	0.119E+01	0.2173E+03	0.160E+02	0.901E+00
0.1981E+03	0.108E+02	0.722E+00	0.2178E+03	0.319E+02	0.107E+01
0.1986E+03	0.292E+02	0.116E+01	0.2183E+03	0.225E+02	0.122E+01
0.1991E+03	0.531E+01	0.117E+01	0.2188E+03	0.300E+02	0.145E+01
0.1995E+03	0.273E+02	0.197E+01	0.2193E+03	0.194E+02	0.920E+00
0.2000E+03	0.351E+02	0.169E+01	0.2198E+03	0.222E+02	0.883E+00
0.2004E+03	0.286E+02	0.131E+01	0.2203E+03	0.252E+02	0.123E+01
0.2009E+03	0.362E+02	0.148E+01	0.2208E+03	0.293E+02	0.102E+01
0.2014E+03	0.480E+02	0.217E+01	0.2213E+03	0.601E+02	0.210E+01
0.2018E+03	0.281E+02	0.107E+01	0.2218E+03	0.580E+02	0.193E+01
0.2023E+03	0.188E+02	0.741E+00	0.2223E+03	0.648E+02	0.275E+01
0.2028E+03	0.341E+02	0.153E+01	0.2228E+03	0.343E+02	0.141E+01
0.2032E+03	0.237E+02	0.106E+01	0.2234E+03	0.227E+02	0.120E+01
0.2037E+03	0.136E+02	0.636E+00	0.2239E+03	0.280E+02	0.136E+01
0.2042E+03	0.199E+02	0.895E+00	0.2244E+03	0.250E+02	0.187E+01
0.2046E+03	0.355E+02	0.136E+01	0.2249E+03	0.165E+02	0.735E+00
0.2051E+03	0.517E+02	0.185E+01	0.2254E+03	0.453E+02	0.144E+01
0.2056E+03	0.595E+02	0.238E+01	0.2259E+03	0.796E+02	0.286E+01
0.2061E+03	0.428E+02	0.169E+01	0.2265E+03	0.864E+02	0.287E+01
0.2065E+03	0.256E+02	0.951E+00	0.2270E+03	0.596E+02	0.227E+01
0.2070E+03	0.181E+02	0.802E+00	0.2275E+03	0.289E+02	0.125E+01
0.2075E+03	0.128E+02	0.112E+01	0.2280E+03	0.344E+02	0.151E+01
0.2080E+03	0.963E+01	0.636E+00	0.2286E+03	0.344E+02	0.146E+01
0.2084E+03	0.228E+02	0.133E+01	0.2291E+03	0.378E+02	0.131E+01
0.2089E+03	0.155E+02	0.883E+00	0.2296E+03	0.367E+02	0.159E+01
0.2094E+03	0.309E+02	0.154E+01	0.2301E+03	0.383E+02	0.147E+01
0.2099E+03	0.332E+02	0.130E+01	0.2307E+03	0.630E+02	0.212E+01
0.2104E+03	0.398E+02	0.146E+01	0.2312E+03	0.100E+03	0.306E+01

Table 2: (Continued).

E_n (eV)	$\sigma_{n,\gamma}$ (b)	$\Delta\sigma_{n,\gamma}$ (b)	E_n (eV)	$\sigma_{n,\gamma}$ (b)	$\Delta\sigma_{n,\gamma}$ (b)
0.2317E+03	0.101E+03	0.293E+01	0.2547E+03	0.716E+02	0.285E+01
0.2323E+03	0.710E+02	0.255E+01	0.2553E+03	0.586E+02	0.206E+01
0.2328E+03	0.790E+02	0.251E+01	0.2559E+03	0.549E+02	0.219E+01
0.2334E+03	0.889E+02	0.272E+01	0.2565E+03	0.575E+02	0.204E+01
0.2339E+03	0.583E+02	0.178E+01	0.2570E+03	0.486E+02	0.180E+01
0.2344E+03	0.419E+02	0.151E+01	0.2576E+03	0.472E+02	0.173E+01
0.2350E+03	0.242E+02	0.128E+01	0.2582E+03	0.642E+02	0.225E+01
0.2355E+03	0.220E+02	0.122E+01	0.2588E+03	0.503E+02	0.220E+01
0.2361E+03	0.220E+02	0.137E+01	0.2594E+03	0.351E+02	0.157E+01
0.2366E+03	0.441E+02	0.154E+01	0.2600E+03	0.449E+02	0.166E+01
0.2371E+03	0.648E+02	0.265E+01	0.2606E+03	0.580E+02	0.252E+01
0.2377E+03	0.278E+02	0.926E+00	0.2612E+03	0.710E+02	0.270E+01
0.2382E+03	0.517E+02	0.197E+01	0.2618E+03	0.704E+02	0.222E+01
0.2388E+03	0.504E+02	0.148E+01	0.2624E+03	0.329E+02	0.122E+01
0.2393E+03	0.475E+02	0.204E+01	0.2630E+03	0.177E+02	0.562E+00
0.2399E+03	0.463E+02	0.174E+01	0.2636E+03	0.144E+02	0.741E+00
0.2404E+03	0.301E+02	0.141E+01	0.2642E+03	0.704E+01	0.483E+00
0.2410E+03	0.685E+02	0.223E+01	0.2649E+03	0.149E+02	0.852E+00
0.2416E+03	0.685E+02	0.230E+01	0.2655E+03	0.149E+02	0.784E+00
0.2421E+03	0.753E+02	0.251E+01	0.2661E+03	0.870E+01	0.341E+00
0.2427E+03	0.104E+03	0.357E+01	0.2667E+03	0.381E+01	0.125E+00
0.2432E+03	0.102E+03	0.338E+01	0.2673E+03	0.132E+02	0.772E+00
0.2438E+03	0.920E+02	0.296E+01	0.2679E+03	0.320E+02	0.146E+01
0.2443E+03	0.765E+02	0.266E+01	0.2685E+03	0.367E+02	0.167E+01
0.2449E+03	0.673E+02	0.231E+01	0.2691E+03	0.173E+02	0.122E+01
0.2455E+03	0.673E+02	0.228E+01	0.2698E+03	0.288E+02	0.169E+01
0.2460E+03	0.101E+03	0.312E+01	0.2704E+03	0.315E+02	0.162E+01
0.2466E+03	0.938E+02	0.290E+01	0.2710E+03	0.444E+02	0.186E+01
0.2472E+03	0.110E+03	0.308E+01	0.2716E+03	0.747E+02	0.250E+01
0.2477E+03	0.101E+03	0.293E+01	0.2723E+03	0.388E+02	0.160E+01
0.2483E+03	0.589E+02	0.192E+01	0.2729E+03	0.310E+02	0.127E+01
0.2489E+03	0.552E+02	0.176E+01	0.2735E+03	0.459E+02	0.213E+01
0.2495E+03	0.510E+02	0.233E+01	0.2742E+03	0.412E+02	0.200E+01
0.2500E+03	0.667E+02	0.217E+01	0.2748E+03	0.352E+02	0.162E+01
0.2506E+03	0.957E+02	0.278E+01	0.2754E+03	0.351E+02	0.142E+01
0.2512E+03	0.106E+03	0.294E+01	0.2761E+03	0.362E+02	0.155E+01
0.2518E+03	0.926E+02	0.280E+01	0.2767E+03	0.507E+02	0.184E+01
0.2524E+03	0.494E+02	0.196E+01	0.2773E+03	0.667E+02	0.244E+01
0.2529E+03	0.415E+02	0.184E+01	0.2780E+03	0.581E+02	0.217E+01
0.2535E+03	0.385E+02	0.182E+01	0.2786E+03	0.759E+02	0.240E+01
0.2541E+03	0.606E+02	0.230E+01	0.2792E+03	0.616E+02	0.212E+01

Table 2: (Continued).

E_n (eV)	$\sigma_{n,\gamma}$ (b)	$\Delta\sigma_{n,\gamma}$ (b)	E_n (eV)	$\sigma_{n,\gamma}$ (b)	$\Delta\sigma_{n,\gamma}$ (b)
0.2799E+03	0.870E+02	0.281E+01	0.3076E+03	0.194E+02	0.106E+01
0.2805E+03	0.101E+03	0.274E+01	0.3079E+03	0.378E+02	0.152E+01
0.2812E+03	0.103E+03	0.323E+01	0.3877E+03	0.365E+02	0.150E+01
0.2818E+03	0.864E+02	0.281E+01	0.4881E+03	0.360E+02	0.149E+01
0.2825E+03	0.586E+02	0.215E+01	0.6145E+03	0.218E+02	0.116E+01
0.2831E+03	0.398E+02	0.204E+01	0.7736E+03	0.240E+02	0.122E+01
0.2838E+03	0.559E+02	0.228E+01	0.9738E+03	0.192E+02	0.109E+01
0.2845E+03	0.753E+02	0.254E+01	0.1226E+04	0.142E+02	0.938E+00
0.2851E+03	0.444E+02	0.149E+01	0.1543E+04	0.116E+02	0.846E+00
0.2858E+03	0.220E+02	0.889E+00	0.1943E+04	0.106E+02	0.809E+00
0.2864E+03	0.202E+02	0.121E+01			
0.2871E+03	0.159E+02	0.111E+01			
0.2877E+03	0.164E+02	0.673E+00			
0.2884E+03	0.286E+02	0.152E+01			
0.2891E+03	0.280E+02	0.117E+01			
0.2897E+03	0.214E+02	0.124E+01			
0.2904E+03	0.130E+02	0.735E+00			
0.2911E+03	0.162E+02	0.722E+00			
0.2917E+03	0.286E+02	0.106E+01			
0.2924E+03	0.182E+02	0.944E+00			
0.2931E+03	0.217E+02	0.118E+01			
0.2938E+03	0.351E+02	0.140E+01			
0.2944E+03	0.585E+02	0.254E+01			
0.2951E+03	0.541E+02	0.216E+01			
0.2958E+03	0.532E+02	0.178E+01			
0.2965E+03	0.444E+02	0.160E+01			
0.2972E+03	0.457E+02	0.206E+01			
0.2979E+03	0.328E+02	0.156E+01			
0.2985E+03	0.346E+02	0.191E+01			
0.2992E+03	0.493E+02	0.236E+01			
0.2999E+03	0.463E+02	0.186E+01			
0.3006E+03	0.691E+02	0.257E+01			
0.3013E+03	0.994E+02	0.321E+01			
0.3020E+03	0.107E+03	0.329E+01			
0.3027E+03	0.914E+02	0.294E+01			
0.3034E+03	0.599E+02	0.218E+01			
0.3041E+03	0.393E+02	0.166E+01			
0.3048E+03	0.263E+02	0.114E+01			
0.3055E+03	0.168E+02	0.107E+01			
0.3062E+03	0.181E+02	0.920E+00			
0.3069E+03	0.183E+02	0.108E+01			